

ББК 34.63-56
Р33
УДК 621.9.025.7(035)

В. П. Жедь, Г. В. Боровский, Я. А. Музыкант, Г. М. Ипполитов
Рецензент канд. техн. наук **О. Б. Арбузов**

Р33 Режущие инструменты, оснащенные сверхтвёрдыми и керамическими материалами, и их применение: Справочник/
В. П. Жедь, Г. В. Боровский, Я. А. Музыкант, Г. М. Ипполитов. — М.: Машиностроение, 1987. — 320 с., ил.
(В пер.): 1 р. 40 к.

Рассмотрены физико-технические свойства разновидностей кубического нитрида бора (эльбор-Р, белбор-Р, гексанит-Р и др.), синтетических алмазов и керамики. Изложены основные сведения по технологиям их производства и областям применения. Приведены примеры технологий обработки заготовок типовых деталей инструментами, оснащенными этими материалами, и данные о достигаемой точности, шероховатости и эффективности обработки.
Для инженерно-технических работников машиностроительных предприятий.

P 270300000-225 225-87
038(01)-87

ББК 34.63-56

СПРАВОЧНОЕ ИЗДАНИЕ

**Виктор Петрович Жедь, Георгий Владиславович Боровский,
Яков Абрамович Музыкант, Георгий Михайлович Ипполитов**

**РЕЖУЩИЕ ИНСТРУМЕНТЫ, ОСНАЩЕННЫЕ СВЕРХТВЕРДЫМИ И
КЕРАМИЧЕСКИМИ МАТЕРИАЛАМИ, И ИХ ПРИМЕНЕНИЕ**

Редактор *И. С. Форстен*
Художественный редактор *А. С. Вершинкин*
Технический редактор *Ф. П. Мельниченко*
Корректоры *Т. В. Багдасарян, Л. Е. Сонюшкина*

ИБ № 4765

Сдано в набор 05.09.86. Подписано в печать 28.01.87. Т-04548.
Формат 60×90 1/16. Бумага типографская № 2. Гарнитура литературная.
Печать высокая. Усл. печ. л. 20,0. Усл. кр.-отт. 20,0. Уч. изд. л. 20,05.
Тираж 28500 экз. Заказ 226. Цена 1 р. 40 к.

Ордена Трудового Красного Знамени издательство «Машиностроение», 107076, Москва,
Стромынский пер., 4
Ленинградская типография № 6 ордена Трудового Красного Знамени
Ленинградского объединения «Техническая книга» им. Евгении Соколовой
Союзполиграфпрома при Государственном комитете СССР
по делам издательств, полиграфии и книжной торговли.
193144, г. Ленинград, ул. Монсенько, 10.

СОДЕРЖАНИЕ

Предисловие	3
1. Поликристаллические синтетические сверхтвердые материалы (СТМ) и керамика	7
1.1. Основы производства, марки и свойства СТМ	7
1.2. Основы производства, марки и свойства керамики	15
1.3. Области применения режущих инструментов из СТМ и керамики	27
2. Конструкции и номенклатура режущих инструментов, оснащенных СТМ и керамикой	30
2.1. Режущие инструменты, оснащенные СТМ	30
2.2. Режущие инструменты с пластинами из керамики	53
3. Основные закономерности резания материалов инструментами, оснащенными СТМ и керамикой	69
3.1. Точение и фрезерование инструментами, оснащенными СТМ	69
3.2. Точение и фрезерование инструментами, оснащенными керамикой	75
4. Режимы резания инструментами, оснащенными СТМ и керамикой	91
4.1. Режимы резания инструментами, оснащенными СТМ	91
4.2. Режимы резания инструментами, оснащенными керамикой	113
5. Технологические особенности и опыт применения инструментов, оснащенных СТМ и керамикой	130
5.1. Технологические особенности применения инструментов, оснащенных СТМ и керамикой	130
5.2. Опыт применения инструментов, оснащенных СТМ и керамикой	131
5.3. Шлифование и заточка инструментов, оснащенных СТМ и керамикой	144
6. Станки для эффективной эксплуатации режущих инструментов, оснащенных СТМ и керамикой	166
7. Методика расчета экономического эффекта от внедрения инструментов, оснащенных СТМ и керамикой	212
Приложения	
1. Номенклатура режущих инструментов, оснащенных СТМ на основе нитрида бора	222
2. Номенклатура режущих инструментов, оснащенных керамикой	235

Содержание

3. Обозначение режущих пластин согласно ГОСТ 19042—80	250
4. Обозначение токарных резцов для наружного точения согласно ГОСТ 26476—85	252
5. Обозначение расточных державок согласно системе ISO	253
6. Обозначение резцов-вставок согласно ГОСТ 26476—85	254
7. Приближенные соотношения чисел твердости	255
8. Частота вращения заготовки или торцовой фрезы в зависимости от ее диаметра и скорости резания	258
9. Информационные карты механической обработки	261
Список литературы	314
Предметный указатель	314

ПРЕДИСЛОВИЕ

Значительное повышение производительности обработки заготовок достигается благодаря использованию режущих инструментов, оснащенных поликристаллами сверхтвердых материалов (СТМ) на основе кубического (КНБ) и вюрцитоподобного (ВНБ) нитрида бора, синтетических алмазов (СА), а также керамическими материалами (керамикой).

В настоящее время инструментальная промышленность выпускает две группы инструментальных СТМ на основе: 1) нитрида бора — композиты, 2) углерода — поликристаллические алмазы АСПК (карбонадо), АСБ (баллас), СКМ, СВБН и др. Эти две группы СТМ практически имеют не связанные друг с другом области применения, определяемые их физико-механическими свойствами и химическим составом. Твердость поликристаллических алмазов выше, чем твердость композитов, а теплостойкость в 1,5—2 раза ниже. Композиты практически инертны к черным металлам, а алмазы проявляют по отношению к ним значительную активность при высоких контактных температурах и давлениях, имеющих место в зоне резания. Поэтому режущие инструменты из композитов применяют главным образом для обработки чугунов и сталей, а из синтетических алмазов — для обработки цветных металлов и сплавов, неметаллических материалов. Область применения поликристаллических синтетических алмазов значительно шире, чем область применения дефицитных природных алмазов. Композит не имеет природных аналогов. Керамика на основе оксида алюминия наиболее эффективна при точении с повышенной скоростью нетермообработанных конструкционных сталей и серых чугунов, оксиднокарбидная керамика — при обработке закаленных сталей, отбеленных высокопрочных чугунов, а керамику на основе нитрида кремния все шире применяют для обработки жаропрочных сплавов на никелевой основе и чугунов.

Инструменты из СТМ и керамики получили широкое распространение в отечественной промышленности, прежде всего в станкостроении, автомобильном и сельскохозяйственном машиностроении, машиностроении для легкой и пищевой промышленности, в целях предварительной и окончательной обработки заготовок из чугунов, нетермообработанных и закаленных сталей, твердых и

Предисловие

труднообрабатываемых сплавов взамен традиционных твердо-сплавных инструментов, а также шлифовальных кругов.

Внедрение инструментов из СТМ и керамики позволяет: реализовать принцип концентрации операций; усовершенствовать или полностью перестроить технологию обработки; уменьшить в 2—10 раз основное время обработки заготовки; упростить технологический цикл, исключив или сократив по времени некоторые операции; улучшить качество обработанной поверхности (отсутствие микротрещин, прижогов и т. п.); высвободить рабочих, оборудование и производственные площади.

Рациональное применение инструментов из СТМ и керамики обеспечивает одновременное повышение производительности и качества обработки деталей, гарантирует рост эффективности производства.

Внедрение новых или усовершенствование действующих процессов изготовления деталей машин с применением инструмента из СТМ и керамики — один из эффективных путей интенсификации металлообработки.

Высокая эффективность обработки заготовок достигается благодаря использованию инструментов из СТМ и керамики в первую очередь на автоматических линиях, станках с ЧПУ, многоцелевых станках, в гибких производственных модулях и системах. Это объясняется тем, что поступающие на указанное выше оборудование заготовки более идентичны по физико-механическим свойствам, припускам, состоянию поверхности, чем заготовки, поступающие на универсальные станки. Обработка на станках с ЧПУ позволяет обеспечивать оптимальный режим резания, плавно вводить и выводить инструмент из контакта с обрабатываемой заготовкой. На автоматизированном оборудовании чаще всего применяют систему принудительной смены инструмента, его централизованное восстановление, высокоеффективный контроль за эксплуатацией.

Расширение применения инструментов из СТМ и керамики обусловлено внедрением в машиностроение все больших объемов труднообрабатываемых материалов, процессов точного литья с малыми припусками под механическую обработку, а также созданием нового высокопроизводительного автоматизированного оборудования в комплексе с эффективным режущим инструментом из СТМ и керамики.

Авторы полагают, что использование приведенных в справочнике данных будет способствовать расширению областей применения, увеличению удельного веса и рациональному использованию прогрессивных инструментов в металлообработке, а также повышению производительности и качества обработки заготовок деталей машин.

1. ПОЛИКРИСТАЛЛИЧЕСКИЕ СИНТЕТИЧЕСКИЕ СВЕРХТВЕРДЫЕ МАТЕРИАЛЫ (СТМ) И КЕРАМИКА

1.1. Основы производства, марки и свойства СТМ

Применяемые для лезвийного инструмента СТМ являются плотными модификациями углерода и нитрида бора. Впервые синтетический алмаз и кубический нитрид бора были получены методом каталитического синтеза. В СССР сверхтвердые фазы углерода и нитрида бора были получены в 1959 г. под руководством академика Л. Ф. Верещагина также методом каталитического синтеза при высоких статических давлениях. В результате прямого фазового перехода в однокомпонентной системе алмаз был впервые синтезирован в 1961 г. путем ударного сжатия графита, а путем статического сжатия — в 1963 г. Одновременно с этим был осуществлен и бескатализаторный синтез плотных модификаций нитрида бора при статическом сжатии. В условиях ударного сжатия образование вюрцитной модификации при прямом фазовом переходе было впервые зафиксировано в СССР Л. В. Альтшулером и А. Н. Дреминым.

Размеры получаемых такими способами СТМ, как правило, не превышали долей миллиметра; СТМ являлись монокристаллами или представляли собой поликристаллические агрегаты, состоящие из отдельных монокристаллических зерен. Небольшие размеры синтезируемых зерен СТМ предопределили первоначальное их использование только в абразивных инструментах.

Применение их для изготовления лезвийного инструмента стало возможным после получения алмаза и нитрида бора в виде крупных поликристаллических образований. Графит и графитоподобный нитрид бора, имеющие слоистую структуру, являются очень мягкими материалами. Их смазывающие свойства объясняются легкостью скольжения плоскостей относительно друг друга. Графитоподобный нитрид бора получил название «белого графита». Алмаз и плотные модификации нитрида бора, имеющие тетраэдическое распределение атомов в решетке, являются самыми твердыми структурами.

Области существования различных полиморфных модификаций определяются фазовой диаграммой, которая содержит кривые равновесия всех стабильных фаз. На рис. 1.1 представлена фазовая диаграмма углерода и нитрида бора. Она определяет области термодинамической стабильности и относительную устойчивость

Поликристаллические СТМ и керамика

различных модификаций углерода и нитрида бора. Линия 1 диаграмм состояния углерода и нитрида бора является линией равновесия слоистых и тетраэдрических фаз. При давлении ниже линии 1 термодинамически стабильными модификациями углерода и нитрида бора являются графит и графитоподобный нитрид бора BN_r, выше линии 1 — тетраэдрические фазы углерода и нитрида бора. При нормальных условиях стабильными фазами углерода и нитрида бора являются графит и графитоподобный нитрид бора. Линия 3 является линией плавления углерода и нитрида бора. К линии 1 на диаграмме состояния примыкают заштрихованные области, которые соответствуют реализуемым на практике

превращениям графита в алмаз и BN_r — в кубический нитрид бора (сфалеритный) BN_{cф} в присутствии специально вводимых добавок — катализаторов — растворителей. Последние позволяют приблизить условия образования алмаза и BN_{cф} к равновес-

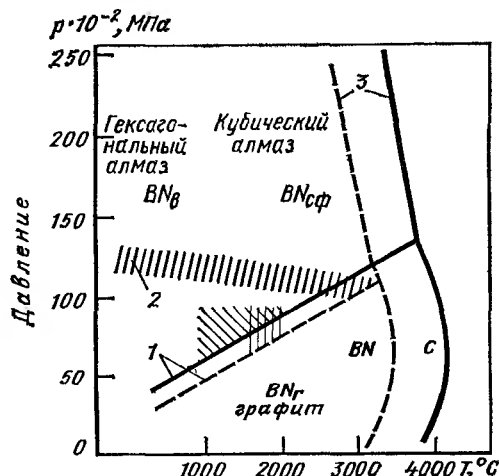


Рис. 1.1. Диаграмма состояния углерода и нитрида бора:
1 — линия равновесия слоистых и тетраэдрических фаз; 2 — линия равновесия прямых фазовых переходов; 3 — линия плавления

ным и снизить необходимое давление превращения. Превращение графита и BN_r в плотные модификации возможно также и в результате прямого превращения в однокомпонентной системе без катализаторов или растворителей.

Заштрихованная область 2 на диаграмме состояния показывает температурную зависимость порогового давления прямых фазовых переходов.

Таким образом, с термодинамической точки зрения для синтеза плотных модификаций углерода и нитрида бора необходимо попасть в определенную область их фазовых диаграмм путем изменения давления и температуры. На практике это достигается путем статического или динамического сжатия графита или графитоподобного нитрида бора.

В настоящее время существует большое разнообразие СТМ на основе плотных модификаций нитрида бора. Они различаются технологией их получения, структурой и основными физико-механическими свойствами.

Основы производства, марки и свойства СТМ

Технология их получения основана на трех физико-химических процессах:

- 1) фазовом переходе графитоподобного нитрида бора в кубический: $\text{BN}_{\text{г}}^{\text{PT}} \rightarrow \text{BN}_{\text{сф}}$;
- 2) фазовом переходе вюрцитного нитрида бора в кубический: $\text{BN}_{\text{в}}^{\text{PT}} \rightarrow \text{BN}_{\text{сф}}$;
- 3) спекании частиц $\text{BN}_{\text{сф}}$.

Все СТМ, выпускаемые в СССР и за рубежом, в зависимости от вида основного процесса, протекающего при синтезе и определяющего свойства СТМ, можно разделить на три группы.

1. СТМ, синтез которых основан на фазовом превращении графитоподобного нитрида бора в кубический. Поликристаллические сверхтвердые материалы, полученные таким способом, состоят из зерен $\text{BN}_{\text{сф}}$, а при использовании в процессе синтеза катализаторов — и из сопутствующих фаз, образующихся в процессе синтеза. Все разновидности СТМ этой группы отличаются друг от друга наличием или отсутствием катализатора, его видом, структурой и зернистостью исходного $\text{BN}_{\text{г}}$, параметрами синтеза и т. д. Из материалов этой группы в СССР в настоящее время производят композит 01 — эльбор РМ и композит 02 — белбор. За рубежом СТМ этой группы не выпускают.

2. СТМ, получение которых основано на частичном или полном превращении вюрцитного нитрида бора в кубический: $\text{BN}_{\text{в}} \rightarrow \text{BN}_{\text{сф}}$. Отдельные материалы этой группы отличаются друг от друга в основном составом исходной шихты, не меняющим принципиальным образом их свойства [исходная шихта $\text{BN}_{\text{в}}$; $\text{BN}_{\text{в}} + \text{BN}_{\text{сф}}$; $\text{BN}_{\text{в}} + \text{BN}_{\text{сф}} + \text{связующее}$; активированный $\text{BN}_{\text{в}}$ и (или) $\text{BN}_{\text{сф}}$ и т. д.]. В СССР в настоящее время из материалов этой группы производят однослойный и двухслойный композит 10 (гексанит-Р) и различные модификации композита 09 (ПТНБ, ПТНБ-ИК и др.). За рубежом выпуск материалов данного класса с использованием превращения вюрцитного нитрида бора осуществляется в Японии фирмой «Ниппон Ойл Фатс». Материал разработан фирмой совместно с токийским государственным университетом и выпускается под торговым названием вюрцин.

3. СТМ, получение которых основано на спекании частиц $\text{BN}_{\text{сф}}$. Эта группа материалов является самой многочисленной, так как возможны различные варианты связки и технологии спекания. Материалы различаются размером, структурой и свойствами используемого зерна $\text{BN}_{\text{сф}}$, составом, видом, дисперсностью и химической активностью связующего — металлов, карбидов, нитридов, карбонитридов, оксидов и др., а также технологией спекания. При этом возможно использование следующих технологических процессов: простое вдавливание частиц $\text{BN}_{\text{сф}}$ в металлическую матрицу, спекание зерен $\text{BN}_{\text{сф}}$ с зернами связки, спекание в усло-

Поликристаллические СТМ и керамика

виях, обеспечивающих химическое взаимодействие BN со связкой с образованием сложных фаз (керамических, интерметаллоидных соединений и др.). В настоящее время создано большое число материалов посредством спекания зерна BN_{сф} со связкой. За рубежом СТМ на основе кубического нитрида бора получают только по этой технологии.

В СССР в настоящее время выпускают композит 05 модификации «ИТ» (в дальнейшем — композит 05), киборит и ниборит.

Наиболее известными зарубежными материалами являются боразон, амборит и сумиборон (BN).

Уникальные физические и химические свойства (высокая химическая устойчивость, твердость, износостойкость) этих материалов объясняются чисто ковалентным характером связи атомов в нитриде бора в сочетании с высокой локализацией валентных электронов у атомов.

Термостойкость инструментального материала является его важной характеристикой. Приводимый в литературе широкий интервал значений термической устойчивости BN (600—1450 °C) объясняется как сложностью физико-химических процессов, происходящих при нагреве BN, так и неопределенностью в какой-то степени термина «термостойкость» применительно к СТМ.

При рассмотрении термостойкости поликристаллических СТМ на основе алмаза и плотных модификаций нитрида бора (они часто являются композиционными и количество связующего в них может достигать 40 %) следует учитывать, что их термостойкость может определяться как термической устойчивостью BN и алмаза, так и изменением при нагреве свойств связующего и примесей. В свою очередь, термическая устойчивость алмаза и BN на воздухе определяется как термической стабильностью фаз высокого давления, так и их химической стойкостью в данных условиях, в основном относительно окислительных процессов. Следовательно, термическая устойчивость связана с одновременным протеканием двух процессов: окислением алмаза и плотных модификаций нитрида бора кислородом воздуха и обратным фазовым переходом (графитизацией), поскольку они находятся в термодинамически неравновесном состоянии. Например, заметное количество продуктов коррозии при окислении поверхности композита 10 (гексанита-Р) кислородом воздуха при атмосферном давлении появляется при температуре, превышающей 900 °C, через 20—30 мин. Влияние каждого из перечисленных процессов на термостойкость СТМ для каждого конкретного материала следует рассматривать индивидуально, исходя из его состава и структуры.

Твердость — условная характеристика; она зависит от формы наконечника, нагрузки, характера подготовки поверхности к измерениям.

Основы производства, марки и свойства СТМ

У СТМ (алмаза и BN) отчетливо наблюдается различие в значениях твердости, измеренных наконечниками Виккерса и Кнунпа*. В области нагрузок $P < 10$ Н твердость зависит от нагрузки (не выполняется закон механического подобия Кирпичева—Кика), наблюдается существенная зависимость от нагрузки как восстановленного, так и невосстановленного отпечатков. В области нагрузок $P > 20$ Н при измерении индентором Кнунпа удается получить значения твердости, в малой степени зависящие от нагрузки. Значения твердости СТМ на основе BN представлены в табл. 1.1

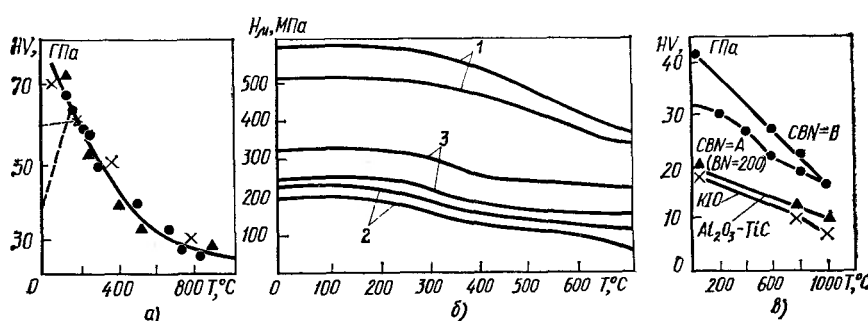


Рис. 1.2. Зависимость твердости HV поликристаллов на основе BN от температуры:

a — для гексанита-Р, измеренные при нагрузке 500 г; *б* — для композитов 01 (1), 05 (2) и 10 (3), измеренные при нагрузке 470 г после нагрева пластины; *в* — для суминборона BN 200, боразона, твердого сплава K10 и керамики

Измерение твердости СТМ достаточно сложно из-за соизмеримости в условиях высоких температур твердостей алмазного индентора и измеряемых материалов, вследствие чего происходит интенсивное изнашивание инденторов. Температурная зависимость твердости СТМ на основе BN представлена на рис. 1.2. Как видно, в интервале температур 20–1000 °С наблюдается постепенное падение твердости СТМ в 1,5–2 раза. Наблюданное некоторыми исследователями снижение твердости при $T > 1300$ °С, вероятно, связано с интенсификацией обратного фазового превращения плотных модификаций нитрида бора.

Предел прочности на сжатие $\sigma_{ск}$ определяют путем сжатия шлифованных по торцам образцов, как правило, цилиндрической формы, между плоскопараллельными твердосплавными пластинами на прессе или испытательной машине. При сжатии фиксируют силу, при которой произошло разрушение, а прочность определяют как отношение разрушающей (критической) силы к площади минимального сечения: $\sigma_{ск} = P_{кр}/F_0$.

* Обычно НК $\approx 0,8HV$.

1.1. Физико-механические свойства сверхтвердых материалов на основе нитрида бора (20 °C)

Материал	ρ , г/см ³	Твер- дость HV	$\sigma_{\text{сж}}$	$\sigma_{\text{д.с}}$	$\sigma_{\text{и}}$	E	Коэффи- циент Пуас- сона ν	K_{Ic} , МПа·м ^{1/2}	Коэффи- циент тепло- провод- ности λ , Вт/(м·К)	Коэффи- циент линейно- го рас- ширения $\alpha \cdot 10^6$, 1/°C	Удель- ная теплоем- кость C , Дж/(г·°C)	Термостой- кость, °C
			ГПа									
Композит 01 (эль- бор-РМ)	3,4	37	2,7	0,44	—	840	—	4,2	60—80 (77 °C); 160—180 (627 °C)	—	—	—
Композит 02 (бел- бор)	—	—	4—6,5	—	—	—	—	—	—	—	—	—
Композит 05	4,3	18,8	2,2	0,22	0,47	620	0,16	6,7	—	—	—	—
Композит 09 (ПТНБ)	—	—	3,4—4,9	—	1,00	—	—	—	—	—	—	—
Композит 10 (гек- санит-Р)	3,4; 3,28— 3,36	30	2,6; 2—4; 3,0	— 0,32 —	1,0—1,2; 1,2—1,5	712; 1000	0,14	3,8; 15—17	21—80 25—30 (77 °C); 40—60 (627 °C)	—	—	—
Боразон	3,48	45	—	—	—	—	—	—	—	5,6	—	—
Амборит	—	40,5	—	0,45	0,57	680	0,22	—	105—135	—	—	1300, 1100
Сумиборон BN200	4,2	30—35	—	—	—	—	—	—	37,8	5,6; 4,7	628	—
Вюрцин	—	30—40	—	—	0,8	—	—	13	21 (40 °C); 30 (400 °C)	7,9	797 (40 °C); 1515 (400 °C)	—

Примечание. Различные значения одного и того же параметра даны из разных источников.

Основы производства, марки и свойства СТМ

Для большинства СТМ на основе BN $\sigma_{сж} = 2,2 \dots 2,7$ ГПа (см. табл. 1.1). Исключение составляют $\sigma_{сж}$, композит 09 (3—5 ГПа) и композит 02 (4—6,5 ГПа).

При испытании на растяжение сверхтвердых материалов, так же как и других хрупких материалов (керамика, бетон и др.), для определения предела прочности на растяжение $\sigma_p^{д.с}$ используют метод диаметрального сжатия. Такая схема нагружения позволяет проводить испытания образцов технологичной формы — дисков и цилиндров.

Разрушающее напряжение при диаметральном сжатии рассчитывают по формуле $\sigma_p^{д.с} = \sigma_1 = 2P_{кр}/(Dh)$, где D и h — соответственно диаметр и толщина диска.

Данные по значениям предела прочности на изгиб σ_u для СТМ на основе BN немногочисленны и довольно противоречивы.

Упругие постоянные: модуль Юнга E и коэффициент Пуассона определяются в основном по методике, основанной на измерении резонансных частот вынужденных колебаний дискового образца и плотности исследуемого материала.

Коэффициент трещиностойкости K_{lc} или критический коэффициент интенсивности напряжений в вершине трещины является характеристикой сопротивления разрушению материалов. Высокая твердость, прочность и модуль упругости, сложность механической обработки и небольшие размеры образцов из СТМ ограничивают применение большинства используемых в настоящее время методов определения коэффициента трещиностойкости. Для определения коэффициента трещиностойкости K_{lc} СТМ используют метод диаметрального сжатия диска с трещиной и метод определения вязкости разрушения керамики по внедрению индентора. Значения коэффициента трещиностойкости K_{lc} для СТМ на основе BN, измеренные методом диаметрального сжатия, составляют 3,8—6,7 МПа· $M^{1/2}$ (табл. 1.1).

Для гексанита-Р по методике Эванса при нагрузке 50 Н получены значения $K_{lc} = 16 \dots 18$ МПа· $M^{1/2}$, близкие к значениям K_{lc} для твердых сплавов.

Различие значений K_{lc} , измеренных по различным методикам для гексанита-Р, в 4—5 раз свидетельствует о недостаточной изученности сложных физических процессов деформирования и разрушения СТМ.

По технологии получения СТМ на основе алмаза можно разделить на две группы: поликристаллы алмаза, получаемые в результате фазового перехода графита в алмаз; поликристаллы алмаза, получаемые спеканием алмазных зерен.

К поликристаллам, получаемым посредством фазового перехода графита в алмаз в присутствии катализаторов при давлении и температуре, соответствующих области термодинамической ста-

Поликристаллические СТМ и керамика

1.2. Физико-механические свойства сверхтвёрдых материалов на основе алмаза (20°C)

Материал	ρ , г/см ³	НК (HV)	$\sigma_{\text{сж}}$	$\sigma_{\text{п. с}}$	$\sigma_{\text{н}}$	E		
							Коэффициент Пуассона ν	Термостойкость, $^{\circ}\text{C}$
				ГПа				
АСБ	3,5—3,9	(50—114)	0,21—0,40	—	0,5—1,0	—	—	600—720
АСПК	3,5—4,0	(92—150)	—	—	0,5—1,0	—	—	800
СВБН	3,34—3,46	70—100	8—10	—	—	—	—	950
Карбонит	3,2—3,4	39—44	4,42—5,88	—	—	—	—	—
Компакс	—	80	—	—	—	—	—	700
Синдит	—	50	—	1,29	1,1	841	0,22	700
Мегадаймонд	3,1—3,48	—	—	—	—	—	—	800

1.3. Коэффициент трения СТМ на основе алмаза

Сопряженный материал	Коэффициент трения		
	природного алмаза	АСПК	АСБ
Медь М1	0,05—0,07	0,10—0,14	0,15—0,22
Латунь Л62	0,05—0,07	0,10—0,13	0,15—0,24
Латунь ЛС59-1	0,05—0,06	0,10—0,12	0,15—0,20
Магниевый сплав МА8	0,06—0,08	0,12—0,14	0,17—0,26
Сталь 20	0,08—0,10	0,14—0,18	0,20—0,30
Дюралюминий Д16Т	0,06—0,07	0,10—0,12	0,18—0,25

бильности алмаза, относятся карбонадо (АСПК) и баллас (АСБ), названные так благодаря идентичности их структуры структуре природных карбонадо и баллаза.

Из материалов, получаемых спеканием алмазных зерен, в СССР в настоящее время производят СВБН, карбонит и СКМ.

Поликристаллы СВБН получают спеканием алмазного порошка на твердосплавной подложке. Получаемые двухслойные заготовки диаметром 3,6—4,0 мм и высотой до 2—3 мм припаивают в вершине твердосплавной пластины стандартных размеров.

Карбонит и СКМ получают спеканием порошков синтетического алмаза со специальным покрытием при давлении и температуре, соответствующих области термодинамической стабильности алмаза.

За рубежом на основе технологии спекания алмазных зерен выпускают поликристаллические материалы компакс, сумидиа, синдит и др.

Свойства СТМ на основе алмаза приведены в табл. 1.2 и 1.3.

Основы производства, марки и свойства керамики

1.2. Основы производства, марки и свойства керамики

В СССР и за рубежом интенсивно ведут работы по расширению применения металлообрабатывающего инструмента, оснащенного режущими сменными многогранными пластинами (СМП) из керамики различных марок.

Основными преимуществами применения керамики являются повышение производительности и качества обработки, стабильность цен и практически неограниченные сырьевые ресурсы исходного материала, имеющегося в каждой стране. Керамику, выпускаемую в СССР и за рубежом, в настоящее время можно разделить на несколько групп, которые различаются химическим составом, методом производства и областями применения.

Первая группа — это наиболее широко известная оксидная (чистая, или «белая») керамика, состоящая в основном из оксида алюминия Al_2O_3 и легирующих добавок (MgO , ZrO_2 и др.).

Пластины из оксидной керамики получают холодным прессованием с последующим спеканием. Процесс экономичен, стоимость таких пластин минимальна. В состав оксидной керамики не входят дефицитные материалы. Основной недостаток этих пластин — относительно небольшая прочность; но твердость и краснотоность их высоки.

Представителями этой керамики (табл. 1.4) являются ЦМ-332 и ВО-13 (СССР) и зарубежные: CX3 («Ниппон Техникал Керамик», Япония), ДИСАЛ 100 («Диас Тирнов», ЧССР), АС5 («Карл Хертель», ФРГ), SN56, SN60 («Фельдмюлле», ФРГ); W80, («Сумитомо Электрик», Япония), НРС-Н1 («Тошиба Тунгалой», Япония); V-34, V-44 («Валенайт», США).

Вторая группа керамики — оксидно-карбидная (смешанная, «металлическая», «черная») керамика, состоящая из оксида Al_2O_3 (до 60 %), TiC (до 20—40 %), ZrO_2 (до 20—40 %) и других карбидов тугоплавких металлов с некоторыми легирующими добавками. Пластины из оксидно-карбидной керамики получают горячим прессованием в графитовых пресс-формах. Процесс более трудоемок, чем процесс получения оксидной керамики. Пластины применяют для обработки ковких, отбеленных чугунов, термоулучшенных, цементуемых и закаленных на твердость HRC 30—65 сталей (см. табл. 1.4).

Наиболее известными марками керамики этой группы являются отечественная ВОК-60 и зарубежные SHT-1, SH-1, SH-20 («Фельдмюлле»), HC-2 («Ниппон Техникал Керамик»), НРС-А2 («Тошиба Тунгалой»), CC650 («Сандвик Коромант», Швеция) и др.

К третьей группе относится керамика на основе нитрида кремния (Si_3N_4) с легированием оксидами иттрия, циркония, алюминия

1.4. Основные марки и физико-механические свойства пластин из керамики отечественного и зарубежного производства

Фирма-изготовитель, страна	Марка, способ изготовления	Химическая основа, цвет пластин	Твердость	Плотность, г/см ³	$\sigma_{\text{и}}$	$\sigma_{\text{сж}}$	Размер зерна, мкм
					МПа	МПа	
<i>I. Оксидная керамика</i>							
СССР	ЦМ-332, холодное прессование	$\text{Al}_2\text{O}_3 \geq 99\%$, $\text{MgO} < 1\%$, белый	HRA 91	3,85—3,90	300—350	—	4
	ВО-13, холодное прессование	$\text{Al}_2\text{O}_3 > 99\%$, белый	HRA 92	3,92—3,95	450—500	2700—3000	3—4
	ВШ-75, горячее прессование	Al_2O_3 , черно-серый	HRA 91—92	3,98	500	2500—3000	3
«Фельдмюлле» (ФРГ)	SN56, холодное прессование	$\text{Al}_2\text{O}_3 = 99,7\%$, белый	HV 24 000	3,91	550	—	2,8
	SN60, холодное прессование	$\text{Al}_2\text{O}_3 > 90\%$, $\text{ZrO}_2 < 10\%$, белый	HV 20 000	3,97	440	—	3
	SN80, холодное прессование	$\text{Al}_2\text{O}_3 > 80\%$, $\text{ZrO}_2 < 20\%$, белый	HV 20 000	4,16	500	—	—
«Видиа Крупп», ФРГ	Widalox G	$\text{Al}_2\text{O}_3 \approx 95\%$, $\text{ZrO}_2 \approx 5\%$, белый	HV ₃₀ 17 300	4,02	700	5000	2

Основы производства, марки и свойства керамики

Продолжение табл. 1.4

Фирма-изгото-витель, страна	Марка, способ изготавления	Химическая основа, цвет пластин	Твердость	Плотность, г/см ³	σ_i	$\sigma_{сж}$	Размер зерна, мкм
					МПа	МПа	
«Карл Хертель» (ФРГ)	AC5, холодное прессование	Al_2O_3 , белый	HV ₁₀ 17 000	3,99	480	—	2
«Сандвик Коромант», Швеция	GC 620	$\text{Al}_2\text{O}_3 + \text{ZrO}_2$, белый	HV 16 500	3,97	—	—	2—3
«Тошиба Тунголой», Япония	LXA	Al_2O_3 , белый	—	—	—	—	—
«Сумитомо электрик», Япония	W80, горячее изостатическое прессование	Al_2O_3 , белый	HV 24 000	3,97—3,98	700—800	—	1,2—1,6
«Ниппон Техническая Керамика», Япония	CX3, горячее изостатическое прессование	Al_2O_3 , белый	HRA 93,5	4,00	1110	—	2—3
	CI, холодное прессование	Al_2O_3 , белый	HRA 93—94	3,94	400—500	—	2—3
	HCl, горячее прессование	Al_2O_3 , белый	HRA 94,5	3,98	600—700	—	2
«Ниппон Тунгстен», Япония	NPC-H1, горячее изостатическое прессование	Al_2O_3 , белый	HV 24 000	—	—	—	—

Поликристаллические СТМ и керамика

Продолжение табл. 1.4

Фирма-изготовитель, страна	Марка, способ изготовления	Химическая основа, цвет пластины	Твердость	Плотность, г/см ³	σ_u	σ_{cjk}	Размер зерна, мкм
					МПа	МПа	
«Диас Тырнов», ЧССР	ДИСАЛ 100	Al ₂ O ₃ , белый	HV 24 000	3,97—3,98	400—500	—	—
	ДИСАЛ 210/220	Al ₂ O ₃ + ZrO ₂ , белый	HV 24 000	—	450—500	—	—
«Валенайт», США	V-34, горячее прессование	Al ₂ O ₃ , черный	HRA 94	—	690	—	—
	V-44, холодное прессование	Al ₂ O ₃ , белый	HRA 93—94	—	718—775	—	—
«Кеннаметал», США	K060, холодное прессование	99,9 % Al ₂ O ₃ , белый	HRA 93,5	—	700—770	—	—
СССР	II. Оксидно-карбидная керамика						
	ВОК-60, горячее прессование	Al ₂ O ₃ ≥ 60 %,	HRA 94	4,2	600	—	2—3
	В-3, горячее прессование	TiC < 40 % и др., черный	HRA 93	4,3	550—650	—	2—3
«Видиа Крупп», ФРГ	ВОК-63, горячее прессование		HRA 94	4,20—4,30	650—700	—	2—3
	Widalox R, горячее прессование	Al ₂ O ₃ + TiC + ZrO ₂ , черный	HV ₃₀ 17 300	4,12	650	4800	2

Продолжение табл. 1.4

Фирма-изготовитель, страна	Марка, способ изготовления	Химическая основа, цвет пластин	Твердость	Плотность, г/см ³	σ_u	$\sigma_{сж}$	Размер зерна, мкм
					МПа	МПа	
«Фельдмюлле», ФРГ	SHT-1, горячее прессование	$Al_2O_3 + TiC$, черный	HV 30 000	4,28	650	—	1,8
	SH-1, горячее прессование	$Al_2O_3 > 60\%$, $TiC < 40\%$, черный	HV 25 000	4,3	380	—	2
	SH-20, горячее прессование	$Al_2O_3 > 80\%$, $TiC < 20\%$, черный	HV 21 000	4,28	400	—	2
	SH-20F		—	—	—	—	—
«Карл Хертель», ФРГ	MC2, горячее прессование	$Al_2O_3 + TiC$, черный	HV ₁₀ 20 000	4,3	500	—	2
«Сандвик Коромант», Швеция	CC650, горячее прессование	$Al_2O_3 + TiN +$ $+ TiC + ZrO_2$, темно-коричневый	HV 18 000	4,27	400—500	—	—
«Тошиба Тунголой», Япония	LX-21	$Al_2O_3 + TiC$	—	—	—	—	—
«Сумитомо электрик», Япония	NB90S, горячее изостатическое прессование	$Al_2O_3 + TiC$, черный	HV 30 000	4,3—4,35	950	—	0,8—1,2
	NB90M, горячее изостатическое прессование	$Al_2O_3 + TiC$, черный	HV 29 000	4,35—4,40	900	—	0,8—1,2

Продолжение табл. 1.4

Фирма-изготовитель, страна	Марка, способ изготовления	Химическая основа, цвет пластин	Твердость	Плотность, г/см ³	σ_i	$\sigma_{сж}$	Размер зерна, мкм
					МПа	МПа	
«Ниппоп Техническая Керамика», Япония	HC-2, горячее прессование	$Al_2O_3 +$ карбиды, черный	HRA 94,5	4,3	700—800	1350	2
«Ниппон Тунгстен», Япония	NPC-A2	$Al_2O_3 + TiC$	HRA 94	4,24	850	—	—
«Диас Тырнов», ЧССР	ДИСАЛ 300	$Al_2O_3 + TiC$	HV 25 000	—	500	—	—
«Валенайт», США	V-32, горячее прессование	$Al_2O_3 +$ карбиды, черный	HRA 94,5—96	—	830	—	—
«Карбалой», США	Ger Max 460, горячее прессование	—	HRA 91—93	—	600—700	—	—
«Кеннаметал», США	K090, горячее прессование	$Al_2O_3 + TiC$, черный	HRA 95	—	910—940	—	—
СССР	ОНТ-20 (кортилит), горячее прессование	$Al_2O_3 + TiN$, темно-коричневый	HRA 90—92	4,39	640	—	—
III. Керамика на основе нитрида кремния							
СССР	Силинит-Р, прессование	горячее	На основе Si_3N_4 , коричневый	HRA 92—94	3,2—3,4	500—700	2500

Основы производства, марки и свойства керамики

Продолжение табл. 1.4

Фирма-изгото-витель, страна	Марка, способ изготовления	Химическая основа, цвет пластин	Твердость	Плотность, г/см ³	σ_i	$\sigma_{сж}$	Размер зерна, мкм
					МПа	МПа	
«Фельдмюлле», ФРГ	SL100	Si_3N_4 , фиолетовый	HV 21 000	—	—	—	—
«Сандвик Коромант», Швеция	CC 680	$Si_3N_4 + Al_2O_3 + IrO_3$, серый	HV 14 500	3,17	—	—	—
«Кеннаметал», США	Кион 2000, горячее прессование	$Si_3N_4 + Al_2O_3$	HV 16 000 ($T = 20^{\circ}C$) HV 13 000 ($T = 1000^{\circ}C$)	—	1200	—	—
	Кион 3000	$Si_3N_4 + Al_2O_3$	—	—	—	—	—
«Кемикал Металлургикал», США	Quantum 5000, горячее прессование	$Si_3N_4 + IrO_3 + Al_2O_3 (70\%) + TiC$ (до 30 %)	HRA 93,5	3,19	703	—	—
«Ниппон Техническая керамика», Япония	SP4, горячее изостатическое прессование	$Si_3N_4 + Y_2O_3 + ZrO_2 + Al_2O_3$ с износостойким покрытием Al_2O_3	—	—	—	—	—
	SX4, горячее изостатическое прессование	То же, без износостойкого покрытия	—	—	—	—	—
«Форд Мотор», США	S-8, горячее прессование	$Si_3N_4 + Y_2O_3 + Al_2O_3$, черный	HRA 89—91	—	833—914	—	—

Поликристаллические СТМ и керамика

и др. Пластины получают методом горячего прессования. Известны зарубежные марки керамики этого типа: Кион 2000, Кион 3000 («Кеннаметал», США); СС680 («Сандвик Коромант»); SL100 («Фельдмюлле»); S-8 («Форд Мотор», США) и др. (см. табл. 1.4).

Отечественную керамику на основе нитрида кремния-сили-
нит-Р получают методами горячего прессования.

Надежность пластин при резании достигается благодаря высоким требованиям к технологии их изготовления, в том числе к исходному сырью: глинозему, карбиду титана, оксиду циркония и нитриду кремния. Вопросам качества сырья изготавители отводят значительную роль.

Керамическое сырье подвергают испытаниям по установленной методике и прежде всего определяют:

химическую чистоту (загрязнение глинозема соединениями Na_2O , SiO_2 , CaO недопустимо);

влажность;

площадь поверхности зерен, которая характеризует активность материала при спекании и позволяет оценивать предполагаемую зернистость;

прессуемость (определяется условиями переработки глинозема).

Если указанные испытания дали положительные результаты, то затем проверяют плотность спекания и зернистость.

В процессе спекания крупные зерна растут за счет мелких. Если шихта содержит слишком много мелких зерен, то происходит интенсивный рост небольшого числа крупных зерен, и средние размеры зерен керамики получаются очень большими. Если же шихта содержит много крупных зерен, то материала, необходимого для роста зерен, недостаточно, и во время спекания требуемая заданная плотность керамики не достигается. Сырье Al_2O_3 перерабатывают в промежуточный продукт — «массу». Вначале дозируют небольшие количества легирующих добавок, облегчающих спекание и тормозящих рост зерен. При смешивании эти добавки равномерно распределяются по всему объему массы; получается водная суспензия, которую после введения связующих веществ подвергают распылительной сушке. После этого процесс прерывается, и у полученной массы контролируют: химическую чистоту; обрабатываемость; плотность; средний диаметр зерен.

Если все проверки дают положительные результаты, то приступают к прессованию заготовок и последующему их спеканию.

Чистую оксидную керамику получают методом холодного прессования, т. е. Al_2O_3 прессуют при 20°C в пластины различных форм и затем подвергают спеканию. Эта технология очень экономична, она положена в основу производства 90 % всех режущих пластин.

Плотность и зависящая от нее остаточная пористость спеченных пластин определяется давлением при прессовании. В про-

цессе спекания происходит усадка прессованных пластин с одновременным ростом отдельных поликристаллов в более крупные зерна. Достижение высокой плотности и тонкозернистой структуры очень сложно потому, что уплотнение во время нагрева возможно только благодаря росту зерен. Следовательно, необходимо тормозить рост зерен и в то же время добиваться высокой плотности пластин. Фирма «Фельдмюлле» разработала специальное оборудование и технологию спекания для изготовления пластин из керамики, которые позволяют получать средние значения зернистости не более 2 мкм при плотности, равной 98—99 % теоретической. На качество режущих пластин из керамики влияет не только средний размер зерна, но и гранулометрический состав.

Наиболее часто встречающийся размер зерен примерно 2,2 мкм, а зерен, размер которых превышает 6 мкм, практически нет.

Прочность керамики зависит от среднего размера зерна и, например, для оксидной керамики снижается от 3,80—4,20 ГПа до 2,55—3,00 ГПа при увеличении размеров зерен соответственно от 2—3 до 5,8—6,5 мкм.

У оксидно-карбидной керамики гранулометрический состав еще более тонкозернистый, и средний размер зерен Al_2O_3 в основном меньше 2 мкм, а размер зерен карбида титана составляет 1—3 мкм.

При высокой температуре, которая действует в условиях резания, твердость пластин из оксидной и оксидно-карбидной керамики SN56 и SHT-1 в 2,—2,5 раза выше, чем твердых сплавов.

Существенным недостатком керамики является ее хрупкость — чувствительность к механическим и термическим ударным нагрузкам. Для устранения этого недостатка разработаны различные составы оксидно-карбидной керамики.

Включение в керамику на основе оксида алюминия моноклинной двуокиси циркония ZrO_2 вызывает улучшение структуры и тем самым заметно повышает ее прочность.

Исходным материалом для производства оксидной и оксидно-карбидной керамики в СССР является технический глинозем, полученный из гидрата глинозема прокаливанием при температуре 1100—1200 °C и представляющий собой смесь двух модификаций: $\gamma\text{-}\text{Al}_2\text{O}_3$ с плотностью 3,65 г/см³ и $\alpha\text{-}\text{Al}_2\text{O}_3$ с плотностью 3,96 г/см³. Полный переход γ в α -модификацию достигается при $T = 1400 \dots 1600$ °C. Производство оксидной керамики включает несколько этапов.

1. Прокаленный до 1500—1550 °C глинозем подвергают тонкому виброподготовке в течение 1—2 ч до получения частиц размером 1 мкм (до 80 % в основной массе) при максимальном размере частиц 2 мкм. Полученный продукт обогащают и сушат.

2. В сухой порошок оксида алюминия вводят модифицирующую добавку оксида магния (0,5—1,0 %), затем производят пластификацию и холодное прессование полученной смеси.

Поликристаллические СТМ и керамика

3. Спекают отпрессованные пластины при температуре около 1750 °С и кратковременном режиме отжига с выдержкой в течение 5—10 мин в области температурного максимума.

4. Выполняют механическую обработку заготовок пластин.

Установлено, что оптимальная дисперсия исходного порошка для спекания оксидной керамики составляет 0,5—0,75 мкм.

Рост зерна α -глинозема (содержание фракции 0,5 мкм в пределах 40—70 %) идет весьма медленно до $T = 1600 \dots 1650$ °С. При $T = 1650$ °С размер спеченной керамики составляет 2—3 мкм. При $T = 1680 \dots 1740$ °С начинается стремительный рост кристаллов, их размеры могут достигать 30—50 мкм, а конфигурация изменяется: кристаллы вытягиваются, принимают удлиненную форму. Такое протекание рекристаллизации характерно, например, для тонкомолотого глинозема ГО.

Введение в глинозем легирующих добавок резко меняет протекание рекристаллизации. Легирующие добавки можно разделить на три группы: замедлители, ускорители и промежуточные. Замедлители рекристаллизации — оксиды магния, кремния, железа, кальция, натрия. Оксид магния является очень эффективным замедлителем кристаллизации. Введение даже сотых долей процента оксида магния резко приостанавливает рост кристаллов. Механизм торможения роста кристаллов при введении оксида магния можно представить следующим образом. Оксид магния, распределенный в порошке α -глинозема, адсорбируется на гранях кристаллических агрегатов. Адсорбция оксида магния идет интенсивнее на гранях кристаллов, обладающих большой энергией роста. При нагревании порошка оксид магния реагирует с оксидом алюминия, образуя на поверхности зерен шпинелевую оболочку, более плотную на одних гранях и менее плотную на других. Эта шпинелевая оболочка в дальнейшем замедляет рост кристаллов, обусловливая мелкую и изометрическую форму зерен.

Режим спекания оказывает большое влияние на конечные свойства керамики. Оптимальная температура спекания керамики зависит от дисперсности исходного порошка, наличия в нем примесей и продолжительности нагревания. При размере зерен порошка 0,5—1,0 мкм (40—70 % по массе) и наличии легирующей присадки (до 0,5—1,0 % по массе) спекание пластин оксидной керамики возможно при $T = 1710$ °С с выдержкой в течение 5—10 мин. При увеличении температуры до 1780—1820 °С выдержка может быть сокращена до 1—2 мин.

Установлено, что оптимальными являются непродолжительные выдержки при высоких температурах. Длительность выдержки в области температурного максимума является важнейшим средством управления структурой и свойствами спеченной керамики с легирующими добавками.

Основы производства, марки и свойства керамики

Оксидная керамика ВО-13 представляет собой материал на основе оксида алюминия с незначительными добавками оксида магния и относится к группе I керамических материалов (см. табл. 1.4). Ее изготавливают методами порошковой металлургии, холодным прессованием с последующим спеканием. Средний размер зерна ВО-13 до 4 мкм. Отечественная промышленность освоила выпуск керамики ВО-13 в виде шлифованных сменных многогранных пластин по ТУ 19-4203-125—81. Резцы с пластины из керамики ВО-13 широко применяют при точении нетермообработанных «сырых» сталей, серых чугунов. Эффективность применения этой керамики определяется ее относительно невысокой стоимостью по сравнению со стоимостью оксидно-карбидной керамики.

Исходным материалом для получения оксидно-нитридной керамики кортинит (ОНТ 20) является глинозем ГЛМК по ТУ 48-5-200—79 и нитрид титана по ТУ 88-021—82 (см. табл. 1.4).

Силинит-Р входит в группу III (см. табл. 1.4) керамики на основе соединений нитрида кремния с карбидами и оксидом алюминия.

Особенности силинита-Р определяются специфическими свойствами кристаллической структуры нитрида кремния (Si_3N_4) и ковалентным типом связи между атомами. Именно наличие жестких направленных связей между атомами азота и кремния в решетке обуславливает высокую твердость, малый коэффициент линейного расширения, стабильность физико-механических свойств в широком диапазоне изменения температуры. По этой же причине в силините-Р заторможена диффузия, что обуславливает его высокую стойкость в условиях адгезионного и диффузионного изнашивания. Силинит-Р имеет повышенную по сравнению с другими разновидностями оксидной керамики энергию разрушения или связанную с этой энергией трещиностойкость (коэффициент $K_{lc} \approx 4,5 \text{ МПа} \cdot \text{м}^{1/2}$).

Коэффициент K_{lc} определяли методом трехточечного изгиба с надрезом. Образцы силинита-Р изготавливали на прессе ПА 803 горячего прессования прямого нагрева в многоместной графитовой матрице, рассчитанной на одновременное получение четырех прямоугольных штабиков (образцов) размером $5 \times 5 \times 35$ мм. Температуру контролировали с помощью оптического пирометра ОПГИР-017. Полученные образцы шлифовали алмазными кругами зернистостью 60/40 и затем делали надрез толщиной 0,2 мм и глубиной 2 мм.

Коэффициент K_{lc} рассчитывали по формуле

$$K_{lc} = \frac{3}{2} \Psi \frac{Fl}{b_0^2} \sqrt{a}, \quad (1.1)$$

Поликристаллические СТМ и керамика

где ψ — геометрический фактор, характеризующий отношение величины излома к площади сечения образца; F — разрушающая сила; l — расстояние между опорами; b — ширина образца, мм; ω — высота образца, мм; a — глубина назреза на образце.

Для $U\omega = 4$ получаем

$$\psi = 1,93 - 3,07 \frac{a}{\omega} + 14,53 \left(\frac{a}{\omega} \right)^2 - 25,11 \left(\frac{a}{\omega} \right)^3 + 25,8 \left(\frac{a}{\omega} \right)^4. \quad (1.2)$$

Изготовление керамики на основе нитрида кремния не требует применения дефицитных материалов, а также уникального или нестандартного технологического оборудования. В качестве основного исходного сырья используют порошок нитрида кремния β -модификации со средним размером частиц 0,6—1,2 мкм, производимый серийно в промышленных условиях. Горячее прессование выполняют в многоместных графитовых матрицах, позволяющих одновременно спекать до 50 заготовок в зависимости от размера пластин.

Изготовление пластин начинают с размола компонентов смеси и приготовления шихты. Затем выполняют смешивание компонентов, мокрый размол приготовленной шихты, сушку, дозирование и горячее прессование. Закончив прессование, разбирают пресс-форму, вынимают спрессованные заготовки и передают их на механическую обработку.

Качество и стабильность режущих пластин в значительной степени определяются следующими факторами: содержанием карбида титана и оксида алюминия в исходной шихте, временем размола смеси, температурой и временем выдержки при горячем прессовании, давлением прессования.

Для определения режущих свойств керамики провели сравнительные испытания при точении стали ХВГ (HRC 60—62) по режиму: $v = 50$ м/мин; $t = 0,25$ мм; $S = 0,075$ мм/об. Геометрические параметры режущей части резцов: $\varphi = 45^\circ$; $\varphi_1 = 15^\circ$; $\alpha = \alpha_1 = 7^\circ$ и $\gamma = -15^\circ$. Испытывали керамику обычного и оптимального состава. Стойкость резцов составляла $T_{ob} = 60$ мин и $T_{opt} = 105$ мин.

Ниже приведены значения составляющей силы резания P_y для тех же материалов в зависимости от продолжительности точения:

Время точения t , мин	20	40	60	80	100
Составляющая силы резания P_y , Н, для					
керамики состава:					
обычного	280	385	400	—	—
оптимального	150	235	295	370	387

Анализ результатов показывает, что увеличение коэффициента K_{lc} приводит к уменьшению P_y и интенсивности изнашивания в начальный период. Это свидетельствует о повышении прочности и более длительном сохранении остроты режущих кромок.

1.3. Области применения режущих инструментов из СТМ и керамики

Области применения композита разных марок определяются размерами и физико-механическими характеристиками поликристаллов.

Композит 01 и композит 02 — поликристаллы из кубического нитрида бора (КНБ) с минимальным количеством примесей — применяют для тонкого и чистового точения, преимущественно без удара, и торцового фрезерования закаленных сталей и чугунов любой твердости, твердых сплавов ($Co \geq 15\%$) с глубиной резания 0,05—0,5 мм (максимально допустимая глубина резания 1,0 мм).

Композит 05 — поликристаллы, спеченные из зерен КНБ со связкой, — применяют для предварительного и окончательного точения без удара закаленных сталей ($HRC_s < 60$) и чугунов любой твердости с глубиной резания 0,05—3,0 мм, а также для торцового фрезерования заготовок из чугуна любой твердости, в том числе по корке, с глубиной резания 0,05—6,0 мм.

Композит 10 и двухслойные пластины из композита 10Д (композит 10 на подложке из твердого сплава) — поликристаллы на основе вюрцитоподобного нитрида бора (ВНБ) — применяют для предварительного и окончательного точения с ударом и без удара и торцового фрезерования сталей и чугунов любой твердости, твердых сплавов ($Co \geq 15\%$) с глубиной резания 0,05—3,0 мм, прерывистого точения (наличие на обрабатываемой поверхности отверстий, пазов, инородных включений).

Инструмент, оснащенный поликристаллическими алмазами (ПКА), предназначен для чистовой обработки цветных металлов и сплавов, неметаллических материалов вместо твердосплавного инструмента.

Таким образом, инструменты из СТМ на основе нитрида бора и алмаза имеют свои области применения и практически не конкурируют друг с другом.

Области применения керамики и СТМ на основе нитрида бора в значительной степени перекрываются.

Резцы с пластинами или вставками из композита 01 обладают способностью самозатачиваться при изнашивании, т. е. сохранять радиус скругления режущей кромки почти неизменным в пределах $r = 20 \dots 50$ мкм в течение всего периода стойкости.

Это способствует уменьшению шероховатости обработанной поверхности и, как следствие, повышает стойкость резцов по технологическому критерию при чистовой обработке. Резцы с пластинами из керамики такой способностью не обладают — кромка у них скругляется значительно интенсивнее и больше.

Поликристаллические СТМ и керамика

1.5. Рекомендации по выбору марки керамики

Обрабатываемый материал	Твердость	Керамика для обработки		
		тонкой	чистовой	получистовой
Чугун: серый	HB 143—289	BO-13, VШ, ЦМ-332	BO-13, VШ, ЦМ-332	BO-13, VШ, ЦМ-332
ковкий	HB 163—269	BO-13, VШ	VШ, BO-13, B-3	VШ, B-3, BO-13
	HB 170—369	VШ, B-3, BO-13	B-3, сили- нит-Р, VШ, BO-13	B-3, сили- нит-Р, VШ, BOK-60
отбеленный	HB 400—650	BOK-60, кортилит, B-3	BOK-60, кортилит, B-3	BOK-60, кортилит, B-3
Сталь: качественная кон- струкционная	HB 160—229	BO-13, VШ, ЦМ-332	BO-13, VШ, ЦМ-332	BO-13, VШ, ЦМ-332
конструкционная легированная	HB 179—229	BO-13, VШ, ЦМ-332	BO-13, VШ, ЦМ-332	BO-13, VШ, ЦМ-332
улучшенная	HB 229—380	VШ, BO-13, BOK-60, силинит-Р	VШ, BO-13, BOK-60, силинит-Р	B-3, BOK-60, VШ, BO-13
цементуемая зака- ленная	HRC ₉ 36—48	BOK-60, кортилит, B-3	BOK-60, кортилит, B-3	BOK-60, B-3, кортилит
	HRC ₉ 48—57	BOK-60, кортилит	BOK-60, B-3, кортилит	Кортилит, BOK-60, кортилит
	HRC ₉ 57—64	BOK-60, B-3, BOK-71, кортилит	BOK-60, B-3, кортилит, BOK-71	BOK-60, B-3, кортилит, BOK-71
Цветные металлы на основе меди	HB 60—120	B-3, кортилит	B-3, кортилит	B-3, кортилит
Сплавы на основе ни- келя	—	Силинит-Р	Силинит-Р	Силинит-Р
		Кортилит	Кортилит	Кортилит

Области применения СТМ и керамики

Композит 01 обладает определенным преимуществом по сравнению с керамикой при точении закаленных сталей высокой твердости во всем диапазоне режимов резания, характерных для обработки этих материалов, а также при точении серого и высокопрочного чугунов со сравнительно небольшими сечениями среза.

Керамика предпочтительнее при точении заготовок из ферритных ковких чугунов и незакаленных конструкционных сталей (в последнем случае композиты всех марок при скоростях резания выше 250 м/мин, присущих керамике, практически неработоспособны).

При точении серого и высокопрочного чугунов со значительными сечениями среза ($S = 0,2 \dots 0,25$ мм/об и более) у композита 01 выше износстойкость, но силы резания и шероховатость обработанной поверхности те же, что и при точении инструментами с пластинами из керамики. В этих случаях выбор керамики или СТМ определяется конкретными технологическими условиями и экономической целесообразностью.

Исследование и опыт внедрения инструментов с пластинами из керамики различных марок позволяют рекомендовать следующие области ее применения:

оксидная (чистая, белая) керамика ВО-13, ЦМ-332, ВШ-75 — для чистовой и получистовой обработки нетермообработанных сталей, серых чугунов с высокими скоростями резания (до 800—1000 м/мин);

оксидно-карбидная (смешанная, черная) керамика ВОК-60, ВОК-63, В-З, кортигит ОНТ-20 — для чистовой, получистовой и прерывистой обработки ковких, высокопрочных, отбеленных, модифицированных чугунов, сталей, закаленных до HRC_9 30—55 и HRC_9 56—65; кроме того, керамика В-З и ОНТ-20 рекомендуется для обработки цветных металлов на основе меди;

нитридная керамика силинит-Р — для получистовой обработки чугунов.

Рекомендации по областям применения и выбору различных марок отечественной керамики даны в табл. 1.5. Исходя из конкретных условий обработки (состояние оборудования, припуски на обработку, требования к качеству и т. д.), в каждом случае следует корректировать применение той или другой марки керамики вплоть до проведения сравнительных экспресс-испытаний. Керамика ЦМ-332 в настоящее время заменяется керамикой ВО-13.

2. КОНСТРУКЦИИ И НОМЕНКЛАТУРА РЕЖУЩИХ ИНСТРУМЕНТОВ, ОСНАЩЕННЫХ СТМ И КЕРАМИКОЙ

2.1. Режущие инструменты, оснащенные СТМ

Эксплуатационные показатели инструмента из СТМ — период стойкости, число периодов стойкости (повторных заточек режущих кромок), предельно допустимая площадь сечения срезаемого слоя (подача и глубина резания) и конструкция — в значительной степени зависят от способа и технологии закрепления поликристаллического режущего элемента в инструменте.

Главным направлением развития конструкций инструментов из СТМ является создание резцов и фрез с механическим креплением цельных и двухслойных, круглых и многогранных шлифованных режущих пластин [4].

Перетачиваемый инструмент, оснащенный СТМ, рекомендуется лишь в тех случаях, когда конструкция с механическим креплением пластин технически невозможна (из-за вида инструмента, его габаритов, геометрических параметров и т. п.).

В СССР выпускают широкую номенклатуру (см. приложение 1) токарных и расточных резцов, режущих пластин и вставок с неразъемно закрепленным поликристаллом, торцовых фрез, оснащенных композитом.

В перетачиваемых вставках, токарных и расточных резцах с неразъемным креплением поликристалла композита 01 и композита 10 последний закреплен путем вакуумной пайки, пайки металлизированных заготовок на установке ТВЧ или динамического горячего прессования. Лучшее качество обеспечивает пайка поликристаллов в стальной или твердосплавный (для мелкоразмерного инструмента) корпус адгезионно-активным припоем в вакууме.

Выпускают круглые вставки ($D \times L = 8 \times 16; 8 \times 18; 8 \times 20$ мм), оснащенные поликристаллами композитов 01 и 10 (рис. 2.1), для токарных, подрезных и расточных резцов сечением $16 \times 16; 20 \times 20; 25 \times 25; 25 \times 20$ мм с механическим креплением (винтом или прихватом) таких вставок (рис. 2.2), а также расточные резцы круглого ($D \times L$ равно $10 \times 25; 12 \times 25; 16 \times 30; 16 \times 60$ мм; ϕ равно $35; 45; 60^\circ$) и прямоугольного ($B \times H = 10 \times 10 \times 40; 10 \times 10 \times 65; 12 \times 12 \times 70; 16 \times 16 \times 80$ мм; ϕ равно $15; 30; 45; 60^\circ$) сечений (рис. 2.3), в том числе для координатно-расточных станков для обработки отверстий диаметром 5—30 мм (оснащаются поликристаллами композитов 01 и 10, рис. 2.4).

Режущие инструменты, оснащенные СТМ

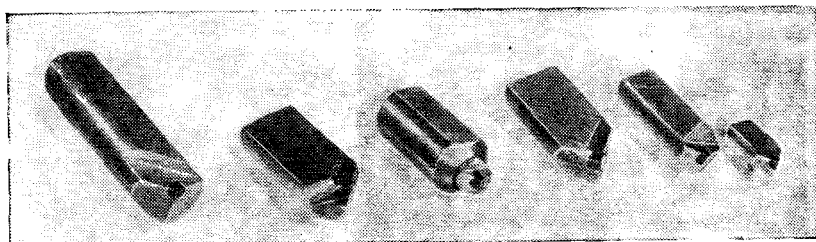


Рис. 2.1. Вставки резцовые с неразъемно закрепленным (запаянным) поликристаллом композитов 01, 02 или 10

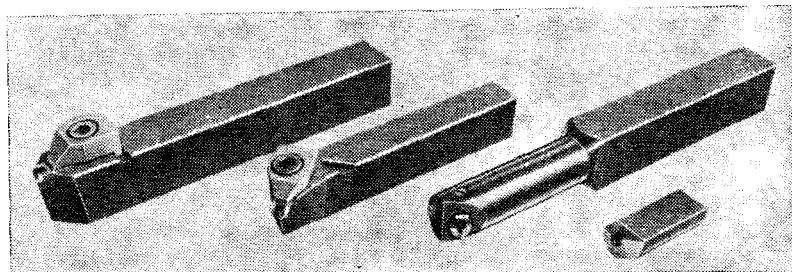


Рис. 2.2. Резцы токарные сборные с перетачиваемыми вставками, оснащенными композитом 01, 02 или 10

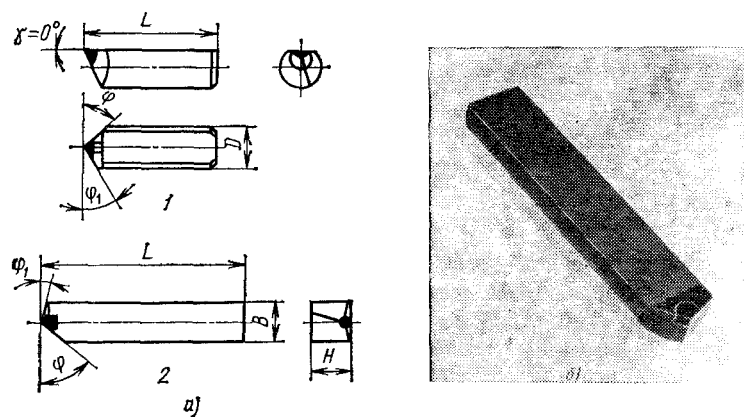


Рис. 2.3. Раствочные резцы, оснащенные композитом 01 или 10:
а — конструкция; 1 — круглого сечения; 2 — прямоугольного сечения; б — общий вид

Выпускают также токарные резцы со вставками, оснащенными поликристаллами композита 02.

Конструкции и номенклатура режущих инструментов

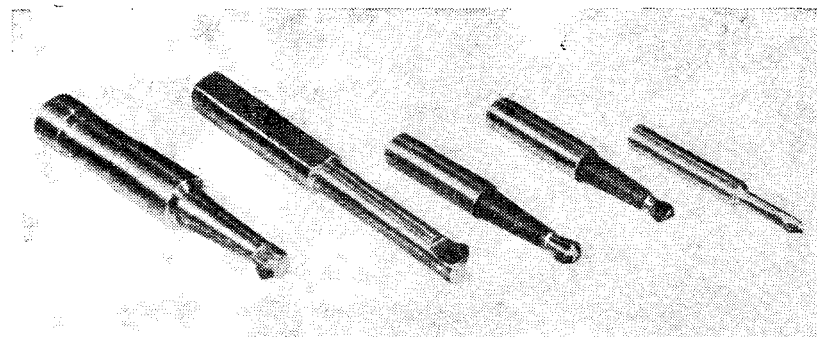


Рис. 2.4. Расточные резцы для координатно-расточных станков, оснащенные композитом 01 или 10

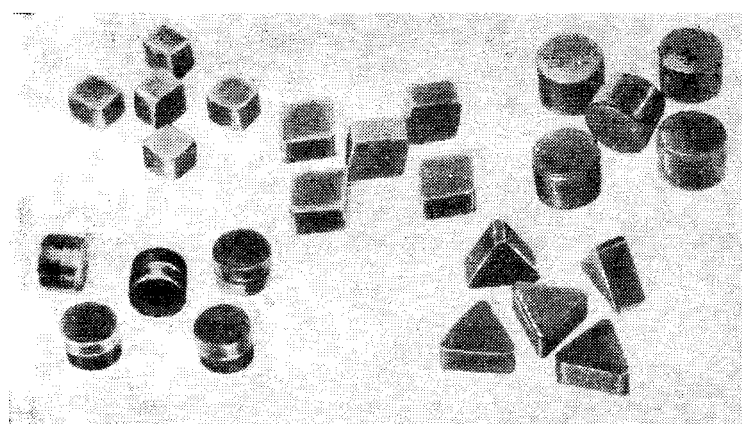
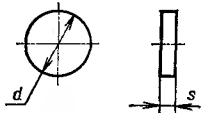
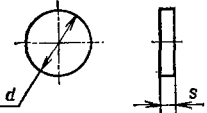
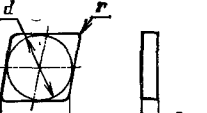
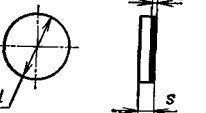
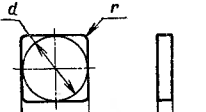
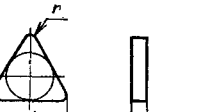
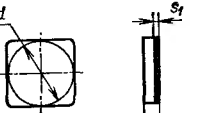


Рис. 2.5. Режущие цельные и двухслойные пластины из композитов

Инструмент с механическим креплением круглых и многоугольных пластин из СТМ имеет ряд важных преимуществ перед напайным: не требуется повторная заточка у потребителей; повышается надежность закрепления режущего элемента; увеличивается стабильность эксплуатационных показателей пластин.

В настоящее время освоено производство шлифованных по всем поверхностям цельных круглых пластин из композита 01, цельных круглых, ромбических, квадратных и трехгранных пластин из композита 05, двухслойных круглых, квадратных и ромбических пластин из композита 10Д (рис. 2.5, табл. 2.1 и 2.2). Степени точности пластин приведены в табл. 2.3.

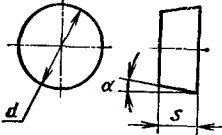
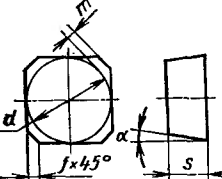
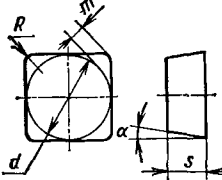
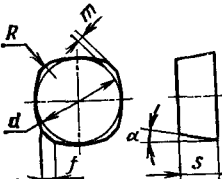
2.1. Режущие пластины из композита для резцов

Композит 01	Композит 05	Композит 10 Д (двухслойная)
<p>Круглая</p>  <p>$d = 3,6 \text{ MM}; s = 3,18 \text{ MM};$ $s = 2,38 \text{ MM}$</p>	<p>Круглая</p>  <p>$d = 6,35 \text{ MM}; s = 3,97 \text{ MM};$ $d = 7,0 \text{ MM}; s = 5,0 \text{ MM};$ $d = 9,52 \text{ MM}; s = 3,97 \text{ MM},$ $d = 12,7 \text{ MM}; s = 3,97 \text{ MM}$</p> <p>Ромбическая ($80^\circ$)</p>  <p>$d = 5,56 \text{ MM}; s = 3,97 \text{ MM};$ $d = 6,35 \text{ MM}; s = 3,97 \text{ MM}$</p>	<p>Круглая</p>  <p>$d = 5,56 \text{ MM}; s = 3,97 \text{ MM};$ $d = 6,35 \text{ MM}; s = 3,97 \text{ MM}$</p> <p>Ромбическая ($80^\circ$)</p>  <p>$d = 3,97 \text{ MM}; s = 3,97 \text{ MM};$ $d = 5,56 \text{ MM}; s = 3,97 \text{ MM}$</p>
<p>Квадратная</p>  <p>$d = 5,56 \text{ MM}; s = 3,97 \text{ MM};$ $d = 6,35 \text{ MM}; s = 3,97 \text{ MM}$</p>	<p>Трехгранная</p>  <p>$d = 4,76 \text{ MM}; s = 3,97 \text{ MM};$ $d = 5,56 \text{ MM}; s = 3,97 \text{ MM}$</p>	<p>Квадратная</p>  <p>$d = 3,97 \text{ MM}; s = 3,97 \text{ MM};$ $d = 5,56 \text{ MM}; s = 3,97 \text{ MM}$</p>

Приимечания: 1. Пластины изготавливают степеней точности У, М и Г; радиусы при вершине многогранных пластин 0,2; 0,4; 0,8; 1,2; 1,6 мм.
 2. Режущие кромки пластин в двух исполнениях: F (острая) и T (со стандартной защитной фаской $0,2 \times 20^\circ$).

Конструкции и номенклатура режущих инструментов

2.2. Режущие пластины из СТМ степени точности Н для оснащения торцовых регулируемых фрез кассетной конструкции

Эскизы	Материал	<i>d</i>	<i>s</i>	<i>f</i>	<i>R</i>	$\alpha, {}^\circ$
		мм				
	K05	6,35 9,52	3,97	—	—	0
	K10Д	5,56 6,35				
	ПКА	5,56 6,35 9,52		3,97 или 3,18		
	K05	5,56 6,35 9,52	3,97	1,0 1,2 1,4	—	0
	K10Д	5,56 6,35		1,0 1,2		
	ПКА	5,56 6,35 9,52		3,97 или 3,18	1,0 1,2 1,4	
	K05	5,56 6,35 9,52	3,97	—	1,2 1,6	0
	K10Д	5,56 6,35			1,2 1,6	
	ПКА	5,56 6,35 9,52		3,97 или 3,18	1,2 1,6	
	K05	5,56 6,35 9,52	3,97	1,0 1,2 1,4	30 40 60	0
	K10Д	5,56 6,35		1,0 1,2	30 40	
	ПКА	5,56 6,35 9,52		3,97 или 3,18	1,0 1,2 1,4	

П р и м е ч а н и я: 1. Допуски размеров пластин: $s \pm 0,025$; $d \pm 0,013$; $m \pm 0,013$.
 2. К05 — сокращенное обозначение композита 05, К10Д — композита 10Д, ПКА — поликристаллических алмазов.

Режущие инструменты, оснащенные СТМ

2.3. Предельные отклонения размеров круглых я многогранных режущих пластин из композита

Контролируемые параметры	Степень точности			
	U	M	G	H*
Диаметр вписанной окружности d	±0,08	±0,05	±0,025	±0,013
Диаметр круглых пластин d	±0,08	±0,05	±0,025	±0,013
Толщина s	±0,13	±0,13	±0,13	±0,025
Размер t	±0,13	±0,08	±0,025	±0,013
Толщина рабочего слоя из СТМ у двухслойных пластин	±0,20	±0,20	±0,20	±0,20
Угол при вершине,	±15	±15	±0,5	±0,5
Угол задний, °	-1	-1	-1	-1
Отклонение от перпендикулярности боковых поверхностей опорным (для плоских с $\alpha = 0$),	±30	±30	±15	±4
Отклонение от параллельности опорных поверхностей	0,025	0,025	0,025	0,008
Отклонение от плоскости опорных поверхностей:				
выпуклость	0,005	0,005	0,005	0,005
вогнутость	0,015	0,015	0,015	0,015
Отклонение от плоскости боковых поверхностей:				
выпуклость	0,025	0,025	0,010	0,010
вогнутость	0,025	0,025	0,010	0,010

* Степень точности пластин для фрез.

П р и м е ч а н и я: 1. Линейные размеры — в мм.

2. Размер t служит для задания номинального положения вершины пластины. Предельные отклонения размера t являются предельными отклонениями вершины пластины от номинального положения.

Серийное производство пластин из СТМ с диаметром вписанной окружности выше 13 мм экономически неоправданно: такие пластины находят применение лишь в редких случаях. Специальные инструменты для снятия больших припусков создают на основе ступенчатых конструкций. Многогранные твердосплавные пластины стандартных размеров с запаянным в одном из углов двухслойным режущим элементом из СТМ целесообразны для алмазных инструментов. Это объясняется тем, что их внедрение эффективно даже без изменения режима резания — за счет повышения стойкости в десятки и сотни раз. В этом случае в ту же инструментальную наладку, в корпус резца или фрезы устанавливают новую пластину с размерами, равными размерам замененной твердосплавной пластины. Внедрение инструментов из СТМ на основе нитрида бора всегда требует резкой интенсификации режима резания, новых оборудования и оснастки.

Конструкции и номенклатура режущих инструментов

Рекомендуется выпускать цельные и двухслойные, негативные (без задних углов) и позитивные (с задними углами) пластины и с их использованием создавать инструмент и спецнадлаки.

Выпускают токарные проходные, подрезные и расточные резцы с механическим креплением круглых и многограных пластин из

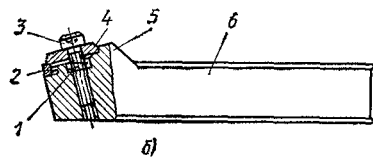
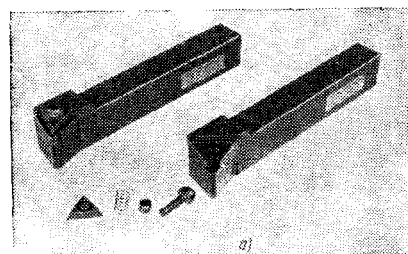


Рис. 2.6. Резец токарный сборный с механическим креплением пластин из композита (пластина базируется в закрытом гнезде в корпусе):
а — общий вид; б — конструкция; 1 — пружина; 2 — режущая плата из композита; 3 — крепежный винт; 4 — прихват; 5 — опорный выступ; 6 — корпус

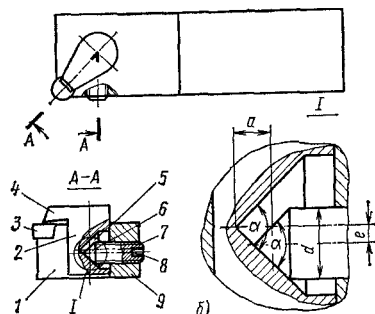
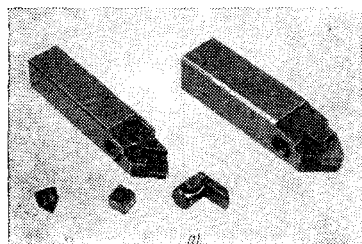


Рис. 2.7. Резцовая расточная вставка с механическим креплением ромбических пластин из композита:

а — общий вид; б — конструкция; 1 — цилиндрическое отверстие в корпусе; 2 — цилиндрическая направляющая прихваты; 3 — режущая пластина; 4 — прихват; 5 — коническая поверхность прихваты; 6 — коническая поверхность крепежного винта; 7 — крепежный винт; 8 — отверстие под ключ; 9 — корпус

композитов 01, 05 и 10Д (рис. 2.6), резцовые вставки с механическим креплением ромбических пластин из композитов 05 и 10Д для сверлильно-фрезерно-расточных станков с ЧПУ (рис. 2.7), вставки (рис. 2.8) с механическим креплением круглых пластин из композита 01 и ромбических — из композита 05. По заказам потребителей поставляются токарные проходные ступенчатые резцы с механическим креплением круглых пластин из композитов 05 и 10Д для обработки прокатных валков с глубиной резания до 6—8 мм (рис. 2.9). Режущая плата базируется в глухом пазу в корпусе из закаленной инструментальной стали твердостью

Режущие инструменты, оснащенные СТМ

HRC₅ 50—60 и зажимается сверху прихватом также из закаленной стали. Пружина служит для фиксации прихвата при замене пластины.

В отдельных случаях для повышения технологичности изготовления резца боковые базы выполняют в виде съемного сепаратора, который приклеивают к корпусу. Однако цельный корпус с глухим гнездом безусловно предпочтительнее. Разработана конструкция резца с боковым расположением крепежного винта (см. рис. 2.7).

Рис. 2.8. Резцовая расточная регулируемая вставка с механическим креплением пластины из композита

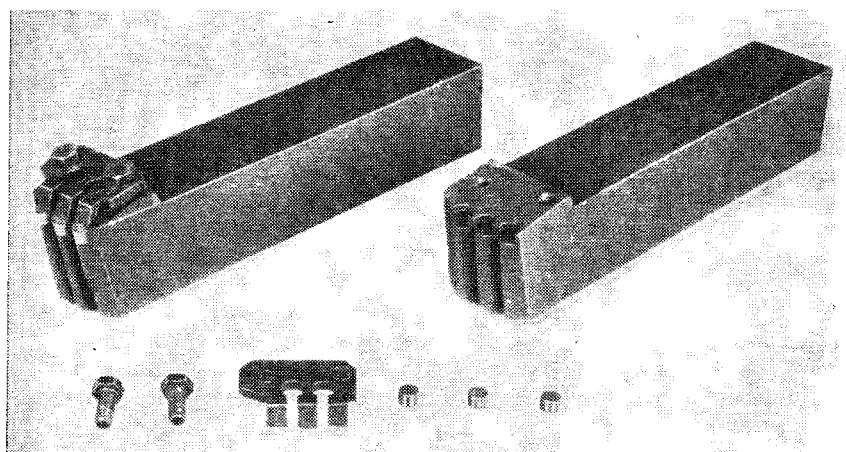
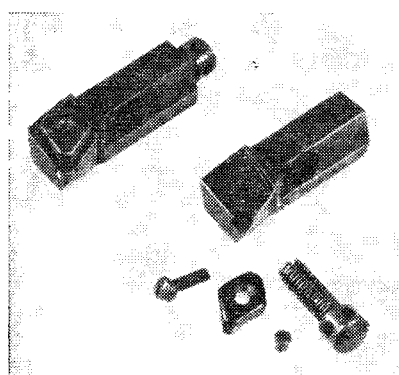


Рис. 2.9. Резец токарный ступенчатый для обработки прокатных валков

Разработана также компактная конструкция расточного резца круглого сечения диаметром 12 мм с механическим креплением пластин из композита (рис. 2.10).

Основные направления конструирования фрез из композита определяются теми технологическими задачами, которые должны эффективно решаться благодаря их применению.

Конструкции и номенклатура режущих инструментов

Выпускают торцовые сборные фрезы диаметром 40—200 мм со вставными перетачиваемыми ножами, оснащенными поликристаллами композитов 01 или 10 (рис. 2.11), с регулируемым торцовым биением до 0,002 мм (например, в приспособлении, показанном на рис. 2.12). Для снижения шероховатости обработанной поверхности при работе с повышенными подачами радиус вершины ножей выполняют 20—50 мм. Область применения этих фрез — обработка открытых и закрытых (типа направляющих «Ласточкин хвост») поверхностей на шлифовальных и координатно-расточных станках взамен предварительного и окончательного шлифования, частично взамен шабрения. Фрезы (рис. 2.11, б) состоят из корпуса 1 и вставных ножей 3, закрепленных в корпусе клиньями 2 с помощью винтов 4. Пружина 5 создает постоянное силовое замыкание клина с ножом для предохранения его от выпадания из корпуса при раскреплении винтов, а также для того чтобы было



Рис. 2.10. Резцовая расточная вставка круглого сечения с пластиной из композита 01

возможно плавное регулирование осевого положения ножа в отверстии с помощью регулировочного ключа 6. Существуют иные конструктивные исполнения, в равной мере обеспечивающие быструю и точную настройку минимального торцового биения. При соединительные размеры предусмотрены в двух исполнениях — для шлифовальных и металорежущих станков. Глубина резания — не более 0,5 мм при продольных подачах до 5 м/мин (большой радиус при вершине ножей — необходимый конструктивный элемент, обеспечивающий возможность нормальной работы на высоких подачах). Параметр шероховатости обработанной поверхности $R_a = 0,2 \dots 2,0 \text{ мкм}$.

Разработаны торцовые сборные фрезы кассетной конструкции диаметром 125—800 мм с механическим креплением высокоточных пластин круглой и квадратной формы из композитов 05 и 10Д (рис. 2.13), с регулируемым торцовым биением режущих кромок 0,002—0,012 мм в зависимости от диаметра. Такая фреза (рис. 2.13, б) состоит из корпуса 1 и сменных кассет с режущими пластинами 9. Кассеты крепят в пазах корпуса винтами 8. Кассеты состоят из державки 2, прихвата 6, крепежного винта 7, сухаря-клина 3 и регулировочного винта 4 с контргайкой 5. Конструкция фрезы предусматривает осевую регулировку кассет. Предварительная осевая регулировка осуществляется вин-

Режущие инструменты, оснащенные СТ М

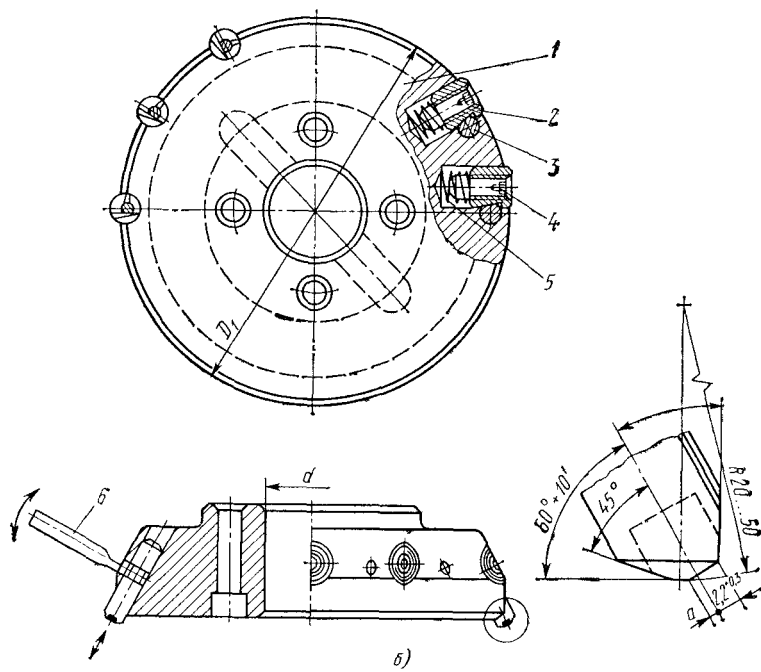
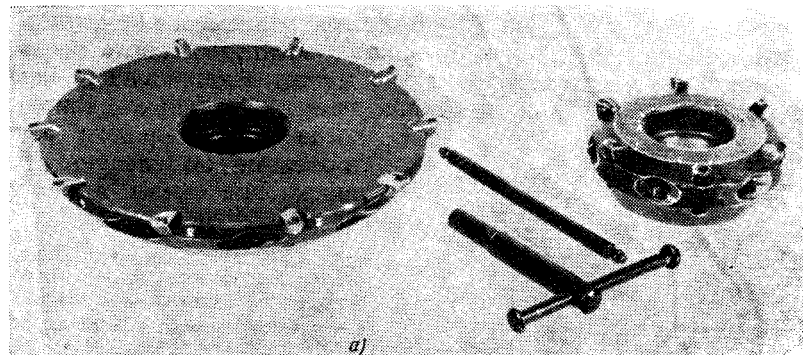


Рис. 2.11. Фреза торцовая насадная регулируемая со вставными перетачивае-
мыми ножами, оснащенными композитами 01 или 10:

а — общий вид; б — конструкция

Конструкции и номенклатура режущих инструментов

тами 4, окончательная осевая регулировка, обеспечивающая торцовое биение режущих кромок 1—5 мкм (в зависимости от диаметра фрезы), осуществляется при полностью затянутых после предварительного регулирования винтах 8 только в направлении перемещения кассет от опорного торца фрезы. Дотягивать винты 8

после окончательного регулирования не следует. Балансировка фрезы выполня-

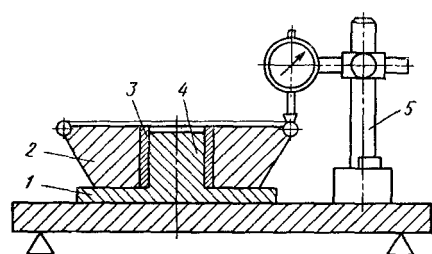


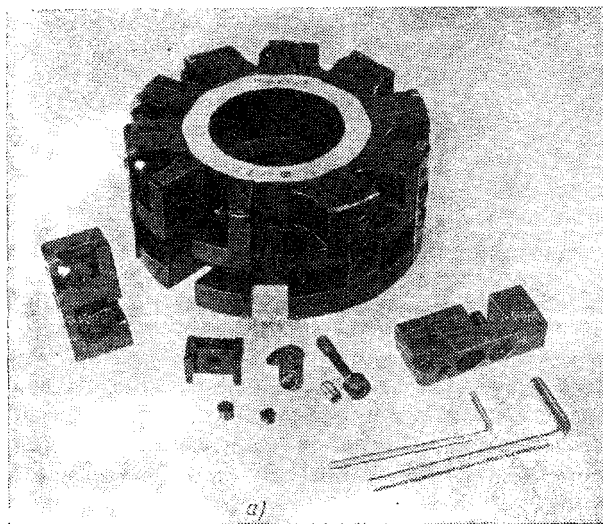
Рис. 2.12. Приспособление для настройки торцового биения ножей регулируемой фрезы вне станка:

1 — опорный фланец; 2 — фреза; 3 — сменная центрирующая втулка; 4 — штифт; 5 — магнитная стойка с микронным индикатором

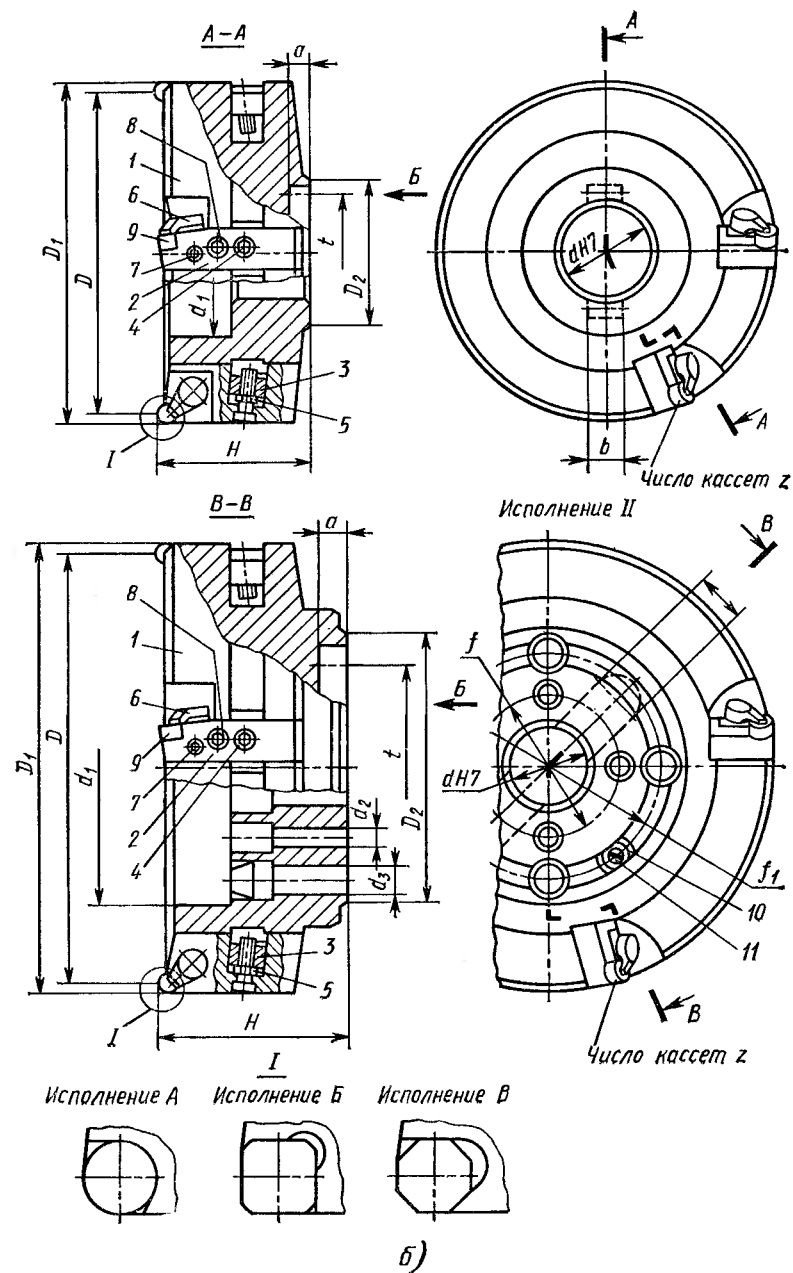
ется с помощью сухарей 10, 11. Затраты времени на столь точную настройку малого биения, которое обеспечивает высокопроизводительную работу с большими подачами и высоким качеством, составляют не более 1 мин в расчете на каждый зуб фрезы. При этом высокой квалификации оператора не требуется. Преимущество кассетной конструкции фрез перед другими конструкциями состоит также и в том, что один и тот же корпус в за-

Рис. 2.13. Фреза торцовая насадная регулируемая кассетной конструкции с механическим креплением неперетачиваемых прецизионных пластин из композитов 01, 05, 10Д:

а — общий вид; б — конструкция (см. стр. 41)



Режущие инструменты, оснащенные СТМ



Конструкции и номенклатура режущих инструментов

2.4. Размеры кассетных регулируемых фрез, мм (см. рис. 2.13, б)

Исполнение	D	D ₁	D ₂	d	d ₁	H	f	f ₁	d ₂	d ₃	b	a	t	z
I	125	130	72	40	56						16,4 ^{+0,11}	9	66	10
	160	165					—	—						14
	200	205	92	50	68	63		—	—		18,4 ^{+0,13}	10		
	160	165		40	88		66,7						92	18
	200	205						14			16,4 H12	9		14
	250	255	160		130								155	24
II	315	320	230			220								30
	400	405		60	300		101,6				25,7 H12	14		40
	500	505	260		400	80		177,8		22			220	50
	630	635			530									60
	800	805			700									80

висимости от конкретной задачи может быть оснащен кассетами с пластинами не только из композита, но и из поликристаллических алмазов, твердых сплавов, керамики, что делает данную конструкцию практически универсальной. Основные размеры фрез приведены в табл. 2.4.

Область применения фрез кассетной конструкции — предварительная и окончательная обработка плоских поверхностей взамен твердосплавных фрез и шлифовальных кругов на специальных станках, станках с ЧПУ, автоматических линиях, многоцелевых станках, гибких производственных модулях и системах. Глубина резания — до 6 мм. Продольная подача — до 2,5 м/мин. Параметр шероховатости обработанной поверхности $R_a = 0,4 \dots 2,5$ мкм.

Выпускают торцовые сборные нерегулируемые фрезы диаметром 20—100 мм с механическим креплением презионных пластин из композита. Однорядные фрезы — с пластинами из компо-

Режущие инструменты, оснащенные СТМ

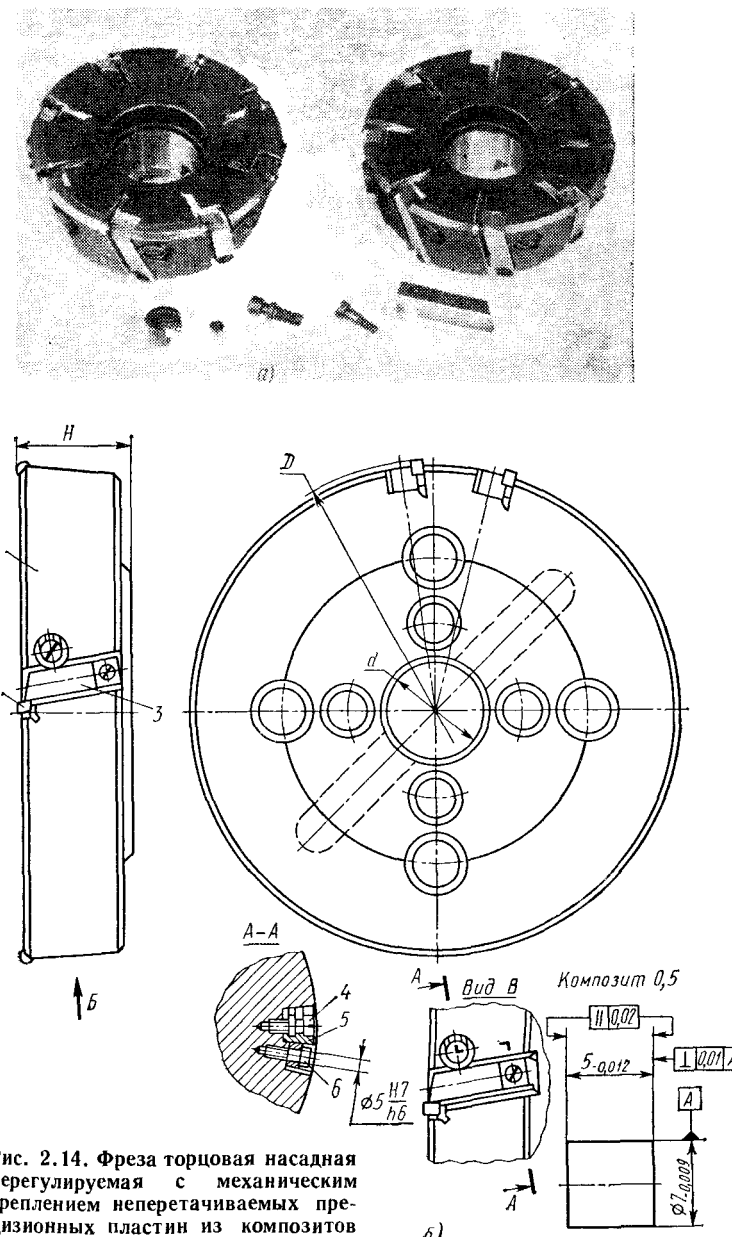


Рис. 2.14. Фреза торцовая насадная нерегулируемая с механическим креплением неперетачиваемых прессионных пластин из композитов 01, 05 и 10Д:
 а — общий вид; б — конструкция; 1 — пластина; 2 — корпус; 3 — качающийся прихват; 4, 6 — винты; 5 — клин

Конструкции и номенклатура режущих инструментов

зитов 05 и 10Д (рис. 2.14), ступенчатые — с пластинами из композита 05 (рис. 2.15). Сравнительно небольшое торцовое биение (у однорядных фрез 0,02—0,05 мм, у ступенчатых — 0,04—0,07 мм в зависимости от диаметра) достигается высокой точностью изготовления соответствующих конструктивных элементов и использованием прецизионных пластин. Однорядные фрезы удобны в эксплуатации, особенно на сверлильно-фрезерно-расточных

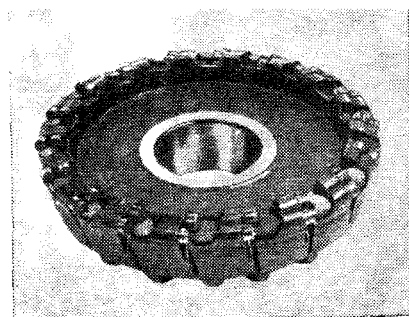


Рис. 2.15. Фреза торцовая насадная ступенчатая нерегулируемая с механическим креплением круглых неперетачиваемых прецизионных пластин из композита 05

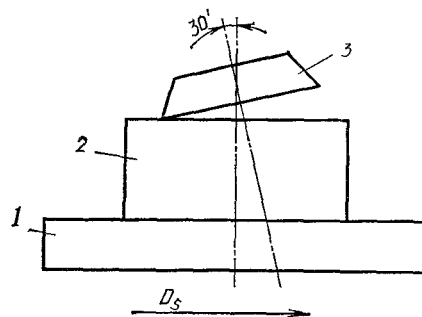


Рис. 2.16. Рекомендуемая схема фрезерования с наклоном шпинделя:
1 — стол станка; 2 — заготовка; 3 — фреза

станках с ЧПУ (диаметр 80 и 100 мм). Глубина резания однорядными фрезами — до 3 мм, ступенчатыми — до 6 мм. Продольные подачи — не более 0,1 мм/зуб. Параметр шероховатости обработанной поверхности серого чугуна $Ra = 0,8 \dots 6,0 \text{ мкм}$.

Таким образом, с помощью сборных фрез из композита обеспечиваются тонкая, чистовая, получистовая обработка, а также фрезерование чугунов по корке непосредственно после литья в широком диапазоне глубин резания и подач взамен шлифования и фрезерования твердосплавным инструментом.

Фрезы со вставными ножами менее удобны в эксплуатации, так как для них требуются повторные заточки. Поэтому их применение ограничивается, как правило, обработкой заготовок на шлифовальных станках взамен шлифовальных кругов, когда подачи очень велики (более 1,5—2 м/мин).

На фрезерных и расточных станках при обработке открытых и полузакрытых плоскостей корпусных деталей наиболее целесообразно применять регулируемые фрезы с механическим креплением точных пластин.

Для сокращения рабочего хода фрезы и уменьшения износа пластин из композита ось шпинделя станка следует наклонять на угол до $30'$ (рис. 2.16).

Резущие инструменты, оснащенные СТМ

Создан новый вид инструмента, оснащенного пластиинами из композита 05, — зенковки для обработки отверстий в высокоабразивных углепластиках (рис. 2.17). По сравнению с цельными твердосплавными зенковками эти зенковки в 4 раза дороже, однако стойкость их в 20 раз выше. Кроме того, качество обработанной поверхности существенно выше: после обработки 8—10 отверстий твердосплавной зенковкой появляются отслоения углепластика, трещины, увеличивается шероховатость, тогда как после обработки даже 200 отверстий зенковкой с пластиинами из композита 05 эти явления отсутствуют.

За рубежом производят режущие элементы из СТМ на основе нитри-

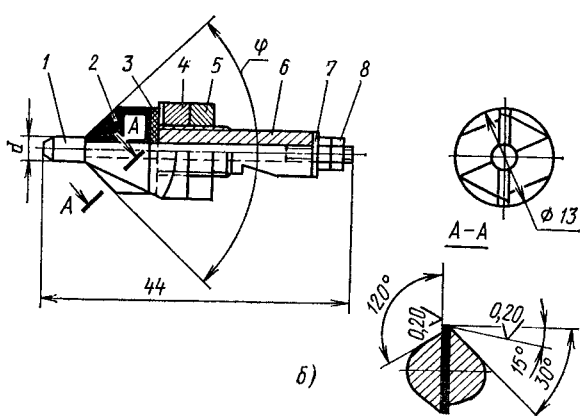
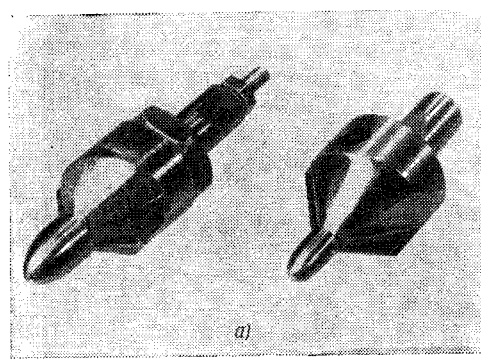


Рис. 2.17. Зенковка с механическим креплением пластин из композита 05:
а — общий вид; б — конструкция $d = 3 \dots 6$ мм; φ равно 90° и 120° ; 1 — направляющий штырь; 2 — специальная пятигранный перетачиваемая пластина из композита 05; 3 — демифрикционная шайба; 4 — корпус; 5 — контргайка; 6 — полый винт-хвостовик; 7 — шайба; 8 — гайка

да бора: боразона — фирма «Дженерал Электрик» (США); амборита — фирмы «Де Бирс» (Великобритания); сумибороны — фирма «Сумитомо Электрик» (Япония). Эти режущие элементы используют для производства инструмента многие фирмы в Европе, Америке и Японии. Режущие элементы изготавливают в двух исполнениях: цельные (амборит) и двухслойные (боразон, сумибортон). Преимущество цельных пластин из амборита — удвоенный ресурс работы по сравнению с односторонними двухслойными пластинами, а двухслойных режущих элементов с тонким (около

Конструкции и номенклатура режущих инструментов

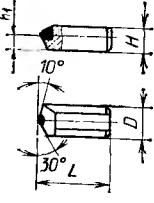
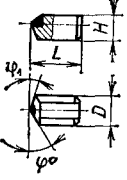
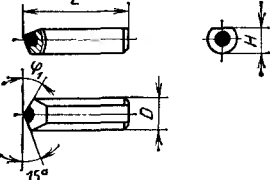
0,5 мм) рабочим слоем из СТМ на твердосплавной подложке — повышенная прочность, обеспечиваемая подложкой. Преимущество двухслойных элементов в основном заключается в простоте и надежности их пайки к корпусу неразъемного перетачиваемого инструмента (припаивается твердый сплав к стали или к твердому сплаву). Поэтому амборит выпускают только в виде цельных круглых и многогранных неперетачиваемых пластин, а боразон и сумиборон — как в виде пластин, так и в виде напайных элементов в форме секторов и сегментов. Двухслойные неперетачиваемые пластины, кроме того, изготавливают как в негативном (без задних углов), так и в позитивном (с задними углами) исполнении. В СССР выпускают алмазные резцы, оснащенные поликристаллами АСПК. Поликристалл запаивают в цилиндрическую или прямоугольную стальную вставку (табл. 2.5), которую затем механически закрепляют в инструменте. Изготавливают токарные проходные, подрезные и расточные резцы, оснащенные такими вставками. Заточенные вставки имеют отрицательные передние углы $-3^\circ \dots -10^\circ$ и радиус при вершине $r = 0,2 \dots 0,6$ мм, однако по заявке заказчика геометрические параметры могут быть изменены (положительный передний угол $0 \dots +10^\circ$; $r = 0,8 \dots 2,0$ мм; выглаживающая фаска на задней поверхности $0,05 \dots 0,10$ мм с $\alpha_s = 0$; фаска при вершине резца шириной $f = 0,3 \dots 1,5$ мм вместо радиуса r и т. п.). Поставляют также незаточенные вставки, если геометрические параметры заточенных вставок не устраивают потребителя. Такие вставки могут использоваться также и для торцовых фрез. Недостатки вставок — низкая прочность закрепления поликристаллов и высокий коэффициент вариации стойкости — объясняются свойствами АСПК: плохой смачиваемостью припоями, наличием центрального металлического стержня и большого количества примесей. Выпускаются также вставки, оснащенные поликристаллами АСБ, аналогичной номенклатуре. Однако в режущих инструментах чаще применяют вставки с АСПК.

В табл. 2.6 приведены основные характеристики поликристаллов синтетических алмазов, выпускаемых в СССР, для изготовления режущего инструмента.

Дальнейшее развитие алмазные режущие инструменты получили на основе использования двухслойных элементов различных форм и размеров с рабочим слоем из спеченных зерен синтетических алмазов на подложке из твердого сплава. Толщина алмазного слоя 0,5—0,8 мм. Преимущества двухслойных элементов перед поликристаллами АСПК и АСБ весьма существенны: изотропия свойств, повышенная прочность, стабильность эксплуатационных показателей, простота и надежность их пайки к корпусу инструмента благодаря твердосплавной подложке. Конструирование инструментов на базе таких элементов идет по двум направлениям:

Режущие инструменты, оснащенные СТМ

2.5. Вставки резцовые, оснащенные поликристаллами синтетического алмаза АСПК

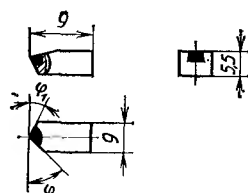
Размеры и геометрические параметры						Размеры и геометрические параметры					
D	H	L	h	Φ	Φ ₁	D	H	L	h	Φ	Φ ₁
мм						мм					
Незаточенные вставки						Цилиндрические вставки к фасочным резцам					
											
8	—	25	—	—	—	8	6,7	12	5,0	—	—
10	—	35	—	—	—	9	7,2	15	5,5	—	—
12	—	40	—	—	—	10	7,7	15	6,0	—	—
16	—	50	—	—	—						
Цилиндрические вставки						Цилиндрические вставки для прямого крепления в державках и оправках					
											
7	5,9	18	—	45	15	7	5,9	18	—	30	—
7	5,9	18	—	15	45	8	6,4	25	—	30	—
7	5,9	12	—	30	15	8	6,4	35	—	30	—
7	5,9	12	—	45	15	10	7,4	40	—	30	—
7	5,9	12	—	50	50	12	8,4	60	—	30	—
7	5,9	15	—	15	45	16	10,4	80	—	30	—
7	5,9	15	—	45	15	7	5,9	18	—	45	—
8	6,4	20	—	15	45	8	6,4	25	—	45	—
8	6,4	20	—	45	15	8	6,4	35	—	45	—
8	6,4	25	—	15	45	10	7,4	40	—	45	—
8	6,4	25	—	45	15	12	8,4	60	—	45	—
8	6,4	30	—	15	45	16	10,4	80	—	45	—
8	6,4	30	—	45	15	7	5,9	18	—	45	—
9	6,9	15	—	30	15	8	6,4	25	—	45	—
9	6,9	15	—	45	15	8	6,4	35	—	45	—
9	6,9	15	—	50	50	10	7,4	40	—	45	—
10	7,4	15	—	30	15	12	8,4	60	—	45	—
10	7,4	15	—	45	15	16	10,4	80	—	45	—
10	7,4	15	—	50	50	7	5,9	18	—	45	—
12	8,4	20	—	30	15	8	6,4	25	—	45	—
12	8,4	20	—	45	15	8	6,4	35	—	45	—
12	8,4	20	—	50	50	10	7,4	40	—	45	—
16	10,4	20	—	30	15	12	8,4	60	—	45	—
16	10,4	20	—	45	15	16	10,4	80	—	45	—
16	10,4	20	—	50	50						

Конструкции и номенклатура режущих инструментов

Продолжение табл. 2.5

Размеры и геометрические параметры						Размеры и геометрические параметры					
D	H	L	b	φ	Φ ₁	D	H	L	b	φ	Φ ₁
мм						мм					

Прямоугольные вставки



-	-	-	-	45	15	-	-	-	-	15	30
-	-	-	-	15	45	-	-	-	-	50	50
-	-	-	-	30	15	-	-	-	-	45	45

2.6. Основные характеристики поликристаллов синтетических алмазов для режущего инструмента

Марка поликристалла	Микротвердость HV, ГПа	Предел прочности при сжатии, МПа	Модуль упругости, ГПа	Термостойкость, °С	Форма, размеры поликристаллов (диаметр×высота), мм
АСБ-1; АСБ-5; АСБ-6; АСБ-Р АСПК; АСПВ СВ; СВС; СВАБ СКМ АМК	90—100	400—800	850	700	Сфера, полусфера, цилиндр, (5—6)×(2,5—6,5)
		400—800	850	700—900	Цилиндр, (4—4,5)×(4—5)
	100	5000	850	700	Цилиндр, 4×4
	100	5000	850	700	Цилиндр, (3—8)×(3—5)
	78—80	4500—5000	—	850—900	Цилиндр, (3—6)×(1,5—4)
АМК-Т	82—86	5000—5500	—	750	Цилиндр, (3—6)×(1,5—4)
ДАП; ДИАМЕТ (двухслойные пластины)	100	8000	—	700	Диск, (5—14)×(3—6)
АМК-25; АМК-27 (двухслойные пластины)	75—84	5000	—	650—700	Цилиндр, (3—8)×(1—5)

Режущие инструменты, оснащенные СТМ

напайные инструменты, затачиваемые и повторно затачиваемые по мере затупления;

инструменты с механическим креплением многограных режущих пластин.

Напайные инструменты, т. е. инструменты, у которых двухслойные элементы припаивают непосредственно к корпусу (резцы, фрезы, сверла, развертки и т. п.), изготавливают в тех случаях, когда создать подобные инструменты с механическим креплением пластин технически невозможно. Заточка и повторные заточки этих инструментов не только трудоемки, но, что самое главное, требуют специальных заточных станков высокой жесткости и специальных кругов.

Механически закрепляемые многогранные режущие пластины изготавливают в двух существенно различающихся исполнениях:

1) пластины, состоящие из корпуса, выполненного из конструкционного материала (твердого сплава, легированной инструментальной или быстрорежущей стали), и запаянного в одну из вершин двухслойного режущего элемента (табл. 2.7);

2) двухслойные круглые и многогранные повторно не затачиваемые пластины со сплошным алмазным рабочим слоем на твердосплавной подложке (табл. 2.8); такие пластины могут быть цельными, без подложки.

Первые имеют форму и размеры стандартных твердосплавных пластин, в том числе с центральным отверстием, и поэтому могут быть использованы во всех существующих конструкциях инструментов с механическим креплением пластин. Однако эти пластины с одной режущей кромкой для восстановления режущих свойств нужно повторно затачивать, что крайне затруднительно для потребителей в силу вышеуказанных причин. Практика показывает, что их повторные заточки целесообразны только при достаточно большом количестве используемых инструментов. Единственный правильный подход к эксплуатации алмазного напайного инструмента — это организация централизованной повторной заточки на заводе-изготовителе.

Двухслойные круглые и многогранные пластины не нуждаются в повторных заточках, что чрезвычайно упрощает эксплуатацию алмазных инструментов (это становится почти столь же просто, как обслуживание обычного твердосплавного инструмента), однако из-за сравнительно малых размеров (табл. 2.8) для них нередко требуются специальные державки. Разовое изготовление державки проще и доступнее, чем постоянные повторные заточки алмазных инструментов. Вследствие этого такое направление дальнейшего развития алмазных пластин наиболее перспективно.

Конструкции резцов и кассетных регулируемых торцовых фрез с механическим креплением пластин из синтетических алмазов степени точности U, M, G и H аналогичны конструкциям инструментов из СТМ на основе нитрида бора.

Конструкции и номенклатура режущих инструментов

**2.7. Пластины сменные многогранные, оснащенные СВБН
(ТУ 19-4206-113-80)**

Обозначение пластин класса точности У	Размеры, мм					
	d	s	r	m	α_s°	H*
01111-090204	TNUN-090204			0,4	7,937	
01111-090208	TNUN-090208			0,8	7,540	0
01111-090212	TNUN-090212			1,2	7,143	
01111-090220	TNUN-090220			2,0	6,350	
01311-090204	TPUN-090204			0,4	7,937	
01311-090208	TPUN-090208			0,8	7,540	11
01311-090212	TPUN-090212	5,556	2,38	1,2	7,143	
01311-090220	TPUN-090220			2,0	6,350	
01411-090204	TEUN-090204			0,4	7,937	
01411-090208	TEUN-090208			0,8	7,540	
01411-090212	TEUN-090212			1,2	7,143	
01411-090220	TEUN-090220			2,0	6,350	
01111-110208	TNUN-110208			0,8	8,731	
01111-110212	TNUN-110212	6,350	2,38	1,2	8,334	
01111-110220	TNUN-110220			2,0	7,541	0
01111-110312	TNUN-110312	—	3,18	1,2	8,334	1,8
01311-110208	TPUN-110208			0,8	8,731	
01311-110212	TPUN-110212			1,2	8,334	11
01311-110220	TPUN-110220			2,0	7,541	
01411-110208	TEUN-110208	6,350	2,38	0,8	8,731	
01411-110212	TEUN-110212			1,2	8,334	18
01411-110220	TEUN-110220			2,0	7,541	
01111-160308	TNUN-160308			0,8	13,494	0
01111-160312	TNUN-160312			1,2	13,097	
01111-160308	TPUN-160308	9,525	3,18	0,8	13,494	11
01311-160312	TPUN-160312			1,2	13,097	2,0
01411-160308	TEUN-160308			0,8	13,494	
01411-160312	TEUN-160312			1,2	13,097	18

Режущие инструменты, оснащенные СТМ

Продолжение табл. 2.7

Обозначение пластин класса точности U	Размеры, мм					
	d	s	r	m	α_r°	H*
03111—060204	SNUN—060204			0,4	1,150	
03111—060208	SNUN—060208			0,8	0,986	0
03111—060212	SNUN—060212			1,2	0,821	
03111—060220	SNUN—060220			2,0	0,493	
03311—060204	SPUN—060204			0,4	1,150	
03311—060208	SPUN—060208			0,8	0,986	11
03311—060212	SPUN—060212	6,350	2,38	1,2	0,821	
03311—060220	SPUN—060220			2,0	0,493	1,8
03411—060204	SEUN—060204			0,4	1,150	
03411—060208	SEUN—060208			0,8	0,986	
03411—060212	SEUN—060212			1,2	0,821	18
03411—060220	SEUN—060220			2,0	0,493	
03111—090308	SNUN—090308			0,8	1,644	
03111—090312	SNUN—090312			1,2	1,479	0
03111—090320	SNUN—090320			2,0	1,150	
03311—090308	SPUN—090308			0,8	1,644	
03311—090312	SPUN—090312	9,525	3,18	1,2	1,479	11
03311—090320	SPUN—090320			2,0	1,150	2,0
03411—090308	SEUN—090308			0,8	1,644	
03411—090312	SEUN—090312			1,2	1,479	18
03411—090320	SEUN—090320			2,0	1,150	
03111—120308	SNUN—120308			0,8	2,301	0
03111—120312	SNUN—120312			1,2	2,137	
03311—120308	SPUN—120308	12,700	3,18	0,8	2,301	11
03311—120312	SPUN—120312			1,2	2,137	2,0
03411—120308	SEUN—120308			0,8	2,301	18
03411—120312	SEUN—120312			1,2	2,137	

* Размеры для справок.

Конструкции и номенклатура режущих инструментов

**2.8. Многогранные повторно затачиваемые алмазные пластины
степени точности У, М и Г для резцов**

Форма пластины, эскиз	d , мм	s , мм	r , мм	α_n , °
Правильная трехгранная	3,97	1,59	0,2; 0,4; 0,8; 1,2;	0; 7; 11; 18 (20)
	4,76	2,38	2,0 0,2; 0,4; 0,8; 1,2	0; 7; 11; 18 (20)
Квадратная	4,76	1,59	0,2; 0,4; 0,8	0; 7; 11; 18 (20)
	5,56	2,38	0,2; 0,4; 0,8; 1,2	0; 7; 11; 18 (20)
Ромбическая (80°)	4,76	1,59	0,2; 0,4; 0,8	0; 7; 11; 18 (20)
	5,56	2,38	0,2; 0,4; 0,8; 1,2	0; 7; 11; 18 (20)
Круглая	5,56	1,59	—	0; 7; 11; 18 (20)
	6,35	2,38	—	0; 7; 11; 18 (20)
	8,00	2,38	—	0; 7; 11; 18 (20)

Режущие инструменты с пластинами из керамики

Режущие инструменты, оснащенные поликристаллическими синтетическими алмазами, так же как и инструменты из нитрида бора, изготавливают многие зарубежные фирмы, а двухслойные элементы из спеченного слоя алмазов на твердосплавной подложке производят лишь несколько крупных фирм.

Двухслойные режущие элементы в виде секторов, сегментов и круглых заготовок припаивают к корпусу инструмента припом на основе серебра, а затем затачивают на специальных станках специальными алмазными кругами с обильным охлаждением.

Рабочие поверхности инструмента окончательно доводят и полируют.

Как правило, учитывая сложность повторных заточек алмазных резцов и пластин, эти операции выполняет изготавитель инструментов в ходе его эксплуатации до полного изнашивания, причем стоимость повторных заточек нередко входит в первоначальную стоимость инструмента.

В целом номенклатура инструментов, оснащенных поликристаллическими алмазами, аналогична номенклатуре инструментов из СТМ на основе нитрида бора.

Рис. 2.18. Двухслойные заготовки для напайного инструмента:
1 — твердый сплав; 2 — алмазный рабочий слой

Изготовители не ограничивают свою номенклатуру и предлагают любые инструменты по заказам, в том числе фасонные точные резцы для обработки канавок различной конфигурации.

С целью увеличения прочности пайки алмазных режущих элементов фирма «Де Бирс» начала выпускать заготовки в виде плоских шайб (рис. 2.18) с $D = 15,88$ мм и $s = 1,6$ или $s = 3,18$ мм, в которых алмазный слой окружен твердым сплавом. После разрезки получаются секторы с опорной и боковой цилиндрической стенками из твердого сплава, что увеличивает на 60—70 % площадь под пайку и число повторных заточек инструмента (практически до полного изнашивания всего алмазного слоя).

Широкая номенклатура режущих инструментов из СТМ позволяет создавать комплексные технологические процессы изготовления деталей с преимущественным использованием этих высокопроизводительных и износостойких инструментов, что особенно важно в автоматизированном производстве.

2.2. Режущие инструменты с пластинами из керамики

СССР в конце сороковых годов начал промышленное производство пластин из керамики монокорунд Т48 и оксидной керамики микролит ЦМ-332 для лезвийных режущих инструментов.

Конструкции и номенклатура режущих инструментов

2.9. Предельные отклонения основных параметров режущих пластин

Контролируемый параметр	Предельные отклонения для пластин классов	
	U	G
Диаметр вписанной окружности d : до 9,525 св. 9,525 до 12,700 св. 12,700 до 19,050	$\pm 0,080$ $\pm 0,130$ $\pm 0,180$	$\pm 0,025$
Диаметр круглых пластин d	—	$-0,025$
Толщина s	$\pm 0,13$	$\pm 0,13$
Размер m при d : до 9,525 св. 9,525 до 12,700 св. 12,700 до 19,050	$\pm 0,130$ $\pm 0,200$ $\pm 0,270$	$\pm 0,025$
Радиус при вершине	$\pm 0,1$	$\pm 0,1$
Угол при вершине,	± 30	± 5
Отклонение от параллельности опорных поверхностей	0,025	0,025
Отклонение от перпендикулярности задних поверхностей к опорной	± 30	± 15
Отклонение от плоскости опорной поверхности: выпуклость вогнутость	0,005 0,015	0,005 0,015
Отклонение от плоскости задних поверхностей: выпуклость вогнутость	0,025 0,050	0,010 0,010
Ширина фаски f	$\pm 0,05$	$\pm 0,05$
Угол наклона фаски, °	± 2	± 2

П р и м е ч а н и е. Линейные размеры — в мм.

Режущие инструменты с пластинами из керамики

2.10. Геометрические параметры режущих пластин из керамики

Ширина фаски f		γ_Φ	
Размер, мм	Шифр цифровой	Значение,	Шифр цифровой
0,2	1	10	1
0,4	2	15	2
0,6	3	20	3
0,8	4	30	4

2.11. Допустимые зоны выкрашиваний на режущих пластинах

Зоны выкрашиваний	Размеры (мм) зоны выкрашивания (глубина X × протяженность) при длине режущей кромки пластин, мм	
	До 16	Св. 16
A	0,10×0,20	0,10×0,20
B	0,15×0,25	0,15×0,25
C	—	0,20×0,30

Пластины выпускали как для механического крепления в резцах и фрезах, так и для напайки. В настоящее время материалы керамические инструментальные производят по ГОСТ 26630—85, ТУ 2-036-942—84 и другой документации. Форма и размеры пластин из керамики должны соответствовать установленной ГОСТ 25003—81 отраслевой технической документации, разработанной предприятиями Минцветмета, Минстанкпрома.

Отечественные предприятия выпускают для оснащения режущего инструмента пластины из оксидной, оксидно-карбидной и нитридной керамики. Пластины выпускают двух классов точности: U — шлифование по опорным и задним поверхностям; G — шлифование по опорным и задним поверхностям с более жесткими допусками (табл. 2.9). Предельные отклонения контролируемых параметров пластин должны соответствовать указанным в табл. 2.9. Сопряжение режущих кромок и радиуса при вершине должно быть плавным. Пластины выпускают с фасками шириной $f = 0,2$ мм и углом наклона фаски $\gamma_\Phi = 20^\circ$ по всему периметру с двух сторон (для двусторонних негативных пластин). По требованию заказчика допускается изготовление пластин с геометрическими параметрами фасок, указанными в табл. 2.10.

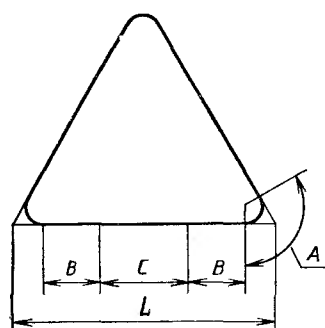


Рис. 2.19. Расположение и размеры допустимых зон выкрашивания на режущих пластинах из керамики

Параметры шероховатости пластин не должны превышать: у задних опорных поверхностей $R_a = 0,32$ мкм; у фасок режущих кромок $R_a = 0,63$ мкм. На поверхностях пластин не должно быть трещин, сколов и налипаний.

Выкрашивания на режущих кромках различаются в зависимости от классов исполнения по величине и расположению на

Конструкции и номенклатура режущих инструментов

режущей кромке. В ГОСТ 25003—81 предусмотрены допустимые зоны расположения выкрашиваний (рис. 2.19).

Для пластин класса G на режущих кромках на расстоянии до 3 мм от вершины не должно быть выкрашиваний глубиной более 0,05 мм и протяженностью более 0,10 мм. На остальных частях режущих кромок пластин класса G не должно быть выкрашиваний глубиной более 0,10 мм и протяженностью более 0,20 мм.

На режущей кромке пластин круглой формы класса G не должно быть выкрашиваний глубиной более 0,10 мм и протяженностью более 0,2 на расстоянии не менее 4 мм. Для пластин класса U размеры зон выкрашиваний на режущих кромках не должны превышать значений, указанных в табл. 2.11.

Общее число выкрашиваний на всех режущих кромках с каждой стороны пластины должно быть не более трех, в том числе на радиусах при вершине — не более одного.

Приемочный контроль пластин из керамики на заводе-изготовителе осуществляется в соответствии с ГОСТ 4872—75 и ГОСТ 18242—72. Партия должна состоять из пластин одинаковых формы, размеров и марки керамики, одновременно предъявляемых к приемке по одному документу. Установлен следующий приемочный уровень качества: критические дефекты всех классов не допускаются; малозначительные дефекты для пластин класса G — 2,5 %, пластин класса U — 4 %.

К критическим дефектам относятся трещины, сколы, налипания, выкрашивания и т. п. Методы проверки и контроля линейных и угловых размеров пластин из твердого сплава и керамики сходны (см. ГОСТ 25003—81).

Маркируют пластины, нанося круг диаметром не более 3 мм красного цвета (пластины из ВОК-60) или белого цвета (пластины из В-3). Пластины упаковывают в специальные пластмассовые футлярчики с индивидуальными ячейками для каждой пластины. Всего в одном футлярчике не более 10 пластин. Пластины с габаритными размерами 16×16 мм и более можно упаковывать в целлофан по ГОСТ 7730—74 или другие полимерные пленки.

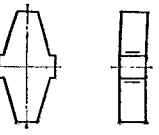
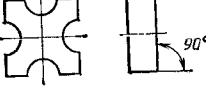
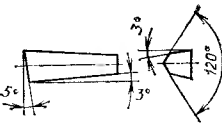
В групповую тару, отправляемую заказчику, завод-изготовитель вкладывает паспорт на пластины, в котором указаны: количество пластин и их масса; результаты испытаний; наименование предприятия-изготовителя; марки керамики; обозначение пластин по ГОСТ; номер партии и дата выпуска.

Завод — изготовитель пластин гарантирует соответствие пластин требованиям ГОСТ 25003—81 и стойкость их в соответствии с требованиями технической документации, утвержденной в установленном порядке.

Исследования термоциклической прочности (стойкости) пластин керамики ВОК-60, ВОК-63, В-3 и ЦМ-332 проводили при $T = 700 \dots 1100^{\circ}\text{C}$, причем пластины выдерживали в зоне на-

Режущие инструменты с пластинами из керамики

2.12. Номенклатура специальных режущих пластин из керамики отечественного производства

Эскиз пластины	Марка керамики			Эскиз пластины	Марка керамики		
	ВО-13	ВОК-60	ОНТ-20		ВО-13	ВОК-60	ОНТ-20
	-	+	+		-	-	+
	-	+	+		+	+	+

грева в течение 10 мин и затем охлаждали сжатым воздухом под давлением 405 кПа.

Установлено, что пластины из ВОК-60 и ВОК-63 выдерживали 110 циклов нагрева до 700 °С и появления на их поверхности трещин, а пластины В-3 и ЦМ-332 — 55 циклов. Специально подготовленные образцы из керамики испытывали на циклическую прочность при $T = 20 \dots 1000$ °С. Сила удара составляла 700 Н при частоте нагружения 50 Гц. Испытания показали, что циклическая прочность керамики при $T < 600$ °С примерно в 15 раз меньше циклической прочности твердых сплавов. Наибольшую циклическую прочность показала керамика ВОК-63, наименьшую — керамика В-3.

Установлена зависимость стойкости керамики от ее плотности. Опыты проводили при фрезеровании серого чугуна СЧ 20 однозубой фрезой диаметром 250 мм с механическим креплением квадратных пластин из ВОК-60. При $v = 450$ м/мин $S_z = 0,40$ мм/зуб и $t = 1$ мм. После 2000 м пути резания у пластин плотностью $\gamma = 4,08$ г/см³ износ $h_3 = 0,7$ мм, а у пластин плотностью $\gamma = 4,22$ г/см³ $h_3 = 0,35$ мм при прочих равных условиях.

Учитывая потребность в специальных инструментах, отечественная промышленность осваивает производство пластин специальных форм и размеров из керамики различных марок, в частности для нарезания ручьевых канавок шкипов и др. (табл. 2.12).

За рубежом выпускают режущие пластины из керамики как стандартного, так и специального исполнения.

Конструкции и номенклатура режущих инструментов

Пластины ДИСАЛ 100 (ЧССР) изготавливают трехгранной, квадратной, круглой и ромбических форм, класса G в основном толщиной 8 мм. В перспективе в ЧССР планируют значительно увеличить типы и номенклатуру пластин, в первую очередь из полусмешанной керамики ДИСАЛ 200 и смешанной — ДИСАЛ 300.

Производят специальные ромбические ($\varepsilon = 55^\circ$) пластины со скосенными сторонами, пятигранные пластины с задними углами, пластины для точения наружных галтелей, радиусов и т. п.

Выпускают пластины для отрезания, прорезания прямых и трапецеидальных канавок. Для специальных пластин указанных форм и размеров изготавляются резцовые державки и корпуса фрез.

Для точения прокатных валков и т. п. в Японии выпускают специальные круглые пластины с центральной нижней цилиндрической выступающей частью, которая помещается в отверстие гнезда державки, чем увеличивается надежность закрепления пластины. Этим предотвращается ее перемещение под действием сил резания.

Фирма «Кеннаметал» (США) разработала керамический материал и режущие сменные пластины из него под названием КИОН 2000 на основе кремния, алюминия, кислорода и азота. Материал имеет высокие стойкость к термоударам и вязкость.

По термоударной стойкости КИОН 2000 соответствует оксидной керамике, а вязкость его близка к вязкости твердых сплавов с износостойкими покрытиями оксидом алюминия.

Фирма «Хертель» (ФРГ) изготавливает 17 типов пластин 98 форморазмеров из оксидной (AC5) и 49 форморазмеров из оксидно-карбидной (MC2) керамики. Фирма «Ниппон техникал керамика» выпускает 26 типов и 219 форморазмеров пластин из керамики CX-3 и NC-2.

Фирмы «Хертель», «Ниппон техникал керамика» и некоторые другие выпускают пластины без отверстия и с центральным цилиндрическим отверстием, что позволяет применять эти пластины в конструкциях резцов и фрез типа C и P, т. е. с креплением прихватом (C) и качающимся штифтом, рычагом и т. п. (тип P).

Выпускают пластины с задними углами $\alpha = 7^\circ$ и $\alpha = 11^\circ$, например трехгранные и квадратные для обработки деталей малой жесткости, обработки отверстий, пазов. Изготавливают пластины с длиной режущей кромки L, равной 6; 9 и 11 мм и толщиной s, равной 1,59; 2,38 и 3,18 мм, с задними углами α , равными 5 и 11° . Это позволяет создавать инструменты с механическим креплением пластин для обработки отверстий диаметром 10—34 мм, концевые инструменты для обработки пазов и т. п.

Зарубежные фирмы производят пластины для отрезных и канавочных резцов, точения радиусных фасок, нарезания трапецеидальных канавок и клиновых ручьев на шкивах, снятия радиусных кромок на трубах и т. д.

Режущие инструменты с пластинами из керамики

Для фрезерования выпускают пластины НС2 квадратной формы с режущей кромкой радиусом $r = 114,3$ мм ($4,5"$), $K_{t.p.} = 3,2 \cdot 10^{-6}$ 1/°С. При температуре 400 °С у КИОН 2000 твердость HV 16 000, а при 1000 °С твердость несколько снижается, но остается достаточно высокой: HV 13 000. Нитридную керамику «Квантум 5000» получают горячим прессованием. Основой ее являются порошок нитрида кремния (92 %), оксиды иттрия (6 %) и алюминия (2 %). «Квантум 5000» состоит на 70 % из указанного выше нитрида кремния, легированного оксидами иттрия и алюминия, и на 30 % — из карбида титана, который вводят для обеспечения высокой твердости и сопротивления абразивному износу. Ударная вязкость керамики «Квантум 5000» высока: $a_k = 4,3$, в то время как у холоднопрессованной чисто оксидной керамики Al_2O_3 $a_k = 2,2 \dots 2,5$; у смешанной горячепрессованной ($\text{Al}_2\text{O}_3 + \text{TiC}$) $a_k = 3,1 \dots 3,5$, а у сиалона $\text{Si}_3\text{N}_4 + \text{Al}_2\text{O}_3$ $a_k = 3,8 \dots 4,0$.

При испытании на ударную вязкость пластины из керамики «Квантум 5000» остались без изменений, а четыре (из пяти пластин горячепрессованной смешанной керамики) разрушились.

Пластины из нитридной керамики S-8 получают горячим прессованием и распиловкой с последующим шлифованием граней. Кроме нитрида кремния, в исходный материал добавляют оксиды иттрия и алюминия. У пластин из S-8 твердость HRA 89—91, прочность на поперечный излом составляет 843,7—914 МПа. Процесс изготовления керамики строго контролируется на всех этапах, особенно ее мелкозернистость.

Фирма «Валенайт» выпускает пластины из керамики V-32. Их изготавливают за одну операцию: нагревают до необходимой температуры спекания при высоком давлении. Предел прочности на изгиб (относительно трех точек) составляет 840 МПа. Эти пластины предназначены для наружного точения изношенных прокатных валков, которые имеют поверхностный слой, упрочненный до HRC 62, с трещинами, сколами и включениями, что приводит к прерывистому характеру резания. Такие валки обрабатывают при $v = 33$ м/мин и $S = 0,20$ мм/об. Валки твердостью HRC 34—39 обрабатывают при $v = 80 \dots 120$ м/мин и $S = 0,15$ мм/об.

Фирма «Валенайт» выпускает большие пластины: круглые — диаметром 31,6 мм; прямоугольные — размером 38,1 × 19,05 × 12,7 мм; прямоугольные со скосенными режущими кромками у вершин (по диагонали друг к другу) — размером 38,1 × 19,05 × 12,7 мм; квадратные со скругленными по радиусу режущими кромками и с диаметром вписанной окружности 38,1 мм.

Эта фирма изготавливает пластины из холоднопрессованной керамики V-44, которые характеризуются стойкостью, повышенной на 25 % по сравнению со стойкостью обычных пластин холодного прессования и высоким сопротивлением поперечному разрушению.

Конструкции и номенклатура режущих инструментов

Толщина этих пластин $s = 8$ мм, что обеспечивает их высокую прочность.

Керамика V-44 рекомендуется для черновой и чистовой обработки чугуна, углеродистых и легированных сталей, отожженных и отпущеных инструментальных и штамповых сталей, ферритных и мартенситных коррозионно-стойких сталей.

В настоящее время в нашей стране разработаны и выпускаются инструментальными заводами Минстанкпрома резцы, токарные фрезы и расточные головки, конструкции которых унифицированы

с конструкциями инструментов с пластинами без отверстий из твердых сплавов [1].

Резцы. За основу конструктивного решения узла крепления пластин в резцах принята конструкция, широко апробированная на Волжском автомобильном заводе (ГОСТ 26611—85, ГОСТ 26612—85).

Режущая пластина базируется на боковые поверхности глухого (карманного) гнезда державки и прижимается к опорной поверхности

прихватом сверху (рис. 2.20). По кодификации ISO и ГОСТ 26496—85 этот тип крепления относится к группе С.

Выпускают резцы в двух исполнениях: C_1 — для пластин с задними углами (рис. 2.20, а), C_3 — для пластин без задних углов (рис. 2.20, б).

Для резцов с пластинами из керамики, которые в основном выпускаются без задних углов, применяется исполнение C_3 . Опорная пластина крепится винтом к гнезду державки, в которой имеется резьбовое отверстие. Для быстрой смены крепления пластины используется винт с двумя разнонаправленными резьбами. По правой нарезке винт ввертывается в державку, а по левой — соединяется с прихватом. Для пластин с плоской передней поверхностью для завивания и дробления стружки применяют накладные стружколомы из твердого сплава ВК8 по ГОСТ 19084—80 и ГОСТ 19085—80. Применяют также стружколомы другой формы и из других инструментальных материалов, например безвольфрамовых твердых сплавов. Накладные стружколомы при обработке стали эффективно работают при продольной подаче $S = 0,25 \dots 0,80$ мм/об. В зоне малых подач следует работать с большими скоростями резания, что способствует эффективному стружкодроблению.

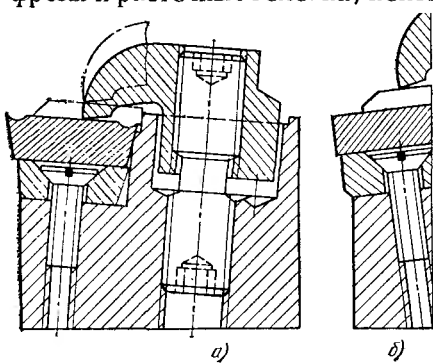


Рис. 2.20. Узел крепления резцов с пластинами, имеющими задние углы (а) и не имеющими задних углов (б)

Режущие инструменты с пластинами из керамики

Для предохранения гнезда державки при поломке режущей пластины ее размещают на 0,1—0,2 мм выше опорной пластины, которая, в свою очередь, выступает на 0,5—0,8 мм над гнездом державки.

В резцах исполнения C_2 применяют негативные пластины, а задние углы α и α_1 , угол режущей кромки λ и передний угол γ

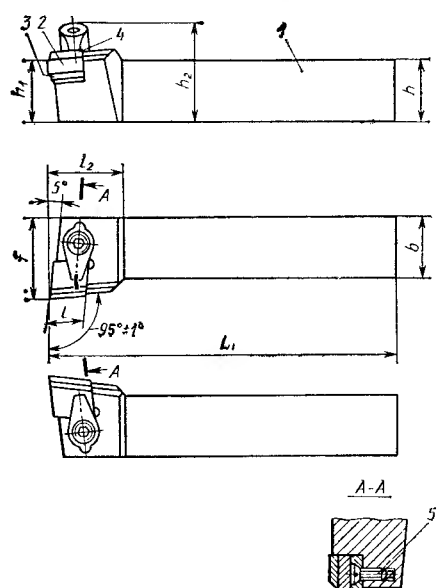


Рис. 2.21. Резец с механическим креплением ромбической пластины из керамики;
1 — державка; 2 — опорная пластина; 3 — режущая пластина; 4 — стружколом; 5 — винт

предусматривают исполнение резцов без опорной пластины и с винтом с односторонней резьбой см. рис. 2.22.

Расточные резцы с пластинами из керамики выпускают с креплением последних как непосредственно в резцодержателе станка, так и через разрезные пружинящие втулки-оправки.

Разработанные ВНИИИнструмент конструкции токарных резцов с механическим креплением пластин прихватом включают 26 типов от 12×12 до 40×40 мм в соответствии с ГОСТ 26611—85 и ГОСТ 26612—85. Для станков с ЧПУ инструментальные заводы централизованно выпускают резцы с квадратным сечением профиля державки. Для трехгранных пластин предусмотрено, например, пять типов державок: $\varphi = 93^\circ$ (отогнутые), $\varphi = 90^\circ$ (прямые и отогнутые), $\varphi = 60^\circ$ (отогнутые) и $\varphi = 90^\circ$ (отогнутые торцевые), что обеспечивает широкие возможности применения резцов.

получают благодаря выполнению опорной поверхности гнезда державки наклонной. Угол наклона поверхности задают в плоскости, проходящей через вершину пластины под определенными углами к боковым и опорной поверхностям державки (рис. 2.21).

У токарных расточных резцов, выполненных в соответствии с требованиями ISO 5609.2, державка круглого сечения. Разработаны резцы с одной верхней лыской или с тремя лысками на державке (рис. 2.22).

Принципиальное конструктивное решение узла крепления токарных расточных резцов то же, что и у резцов для наружной обработки. Для того чтобы можно было растачивать отверстия малого диаметра, пре-

Конструкции и номенклатура режущих инструментов

Разработанная номенклатура типоразмеров резцов высокоеффективна на пооперационной технологии, что показал опыт ВАЗА и других предприятий автотракторостроения. Керамические пластины с цилиндрическим отверстием закрепляют L-образным рычагом с базированием в гнездо державки (рис. 2.23).

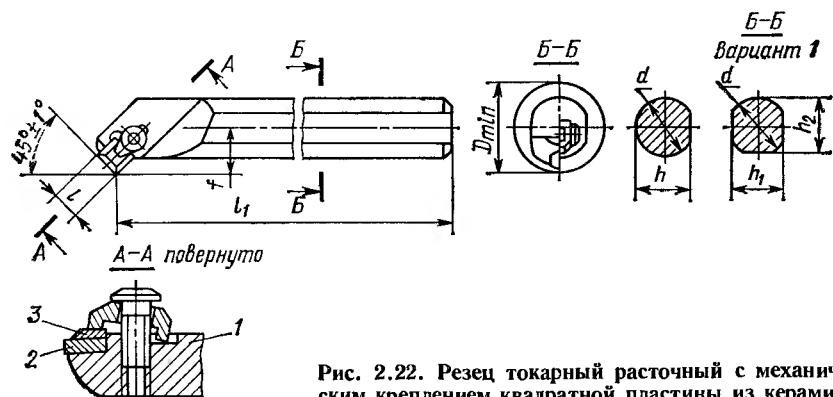


Рис. 2.22. Резец токарный расточный с механическим креплением квадратной пластины из керамики

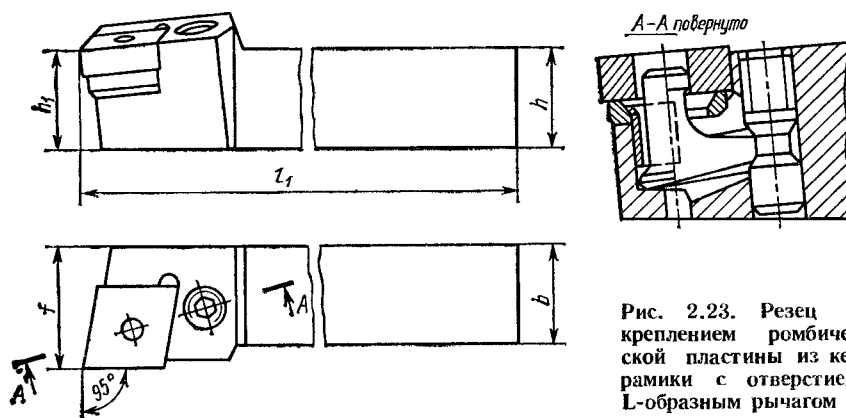


Рис. 2.23. Резец с креплением ромбической пластины из керамики с отверстием L-образным рычагом

Техническая документация на резцы предусматривает изготовление надежного, высокоточного инструмента, обеспечивающего возможность использования до 100—150 пластин на одну державку. Основные точностные параметры резцов в сборе соответствуют требованиями ISO 5610. Допуск размера, например высота вершины резца до опорной поверхности h_1 , должен соответствовать j_{14} . Точность резьбовых соединений узла крепления режущей пластины $6g/6h$.

Резущие инструменты с пластинами из керамики

Державки резцов изготавливают из легированных сталей, имеющих физико-механические свойства, не худшие, чем у стали 40Х, или более высокие; гнезда державки термообрабатывают до получения твердости HRC 45—50, а хвостовую часть державки — до HRC ≥ 45 .

Резцы поставляют потребителю в комплекте с 20, 30, 40 или 50 режущими пластинами, стружколомами, запасным винтом с разнонаправленной резьбой и ключом. Все основные технические требования к резцам с механическим креплением приведены в ГОСТ 26615—85.

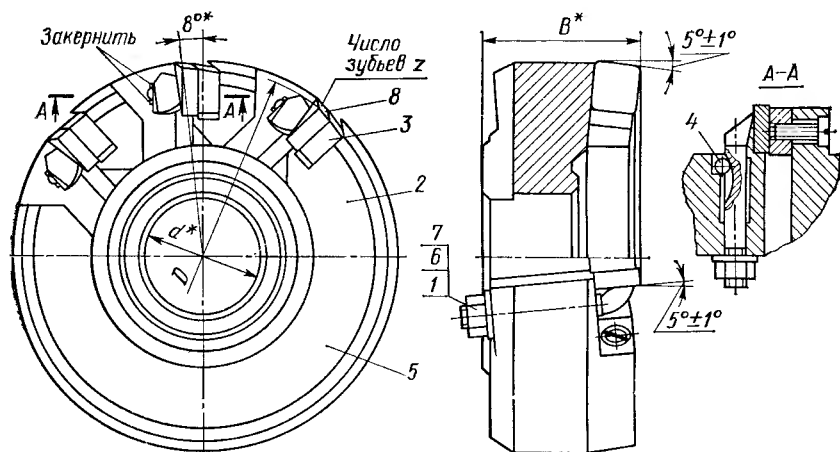


Рис. 2.24. Фреза торцовая с механическим креплением квадратных пластин из керамики:

1 — винт (клип-прихват); 2 — корпус; 3 — опорная пластина; 4 — шарик; 5 — винт; 6 — гайка; 7 — шайба; 8 — режущая пластина

Фрезы. Разработаны и освоены в производстве торцовые насадные фрезы диаметром 100, 125, 160 и 200 мм с квадратными пластинами из керамики соответственно с числом зубьев z , равным 8, 10, 12 и 16. Квадратную пластину крепят прихватом посредством шарика и радиусной выкружки на прихвате. Режущую пластину помещают на твердосплавную опорную пластину, которую фиксируют в корпусе фрезы винтом. Конструкция узла крепления проста и надежна и отличается сравнительно невысокой трудоемкостью (рис. 2.24).

Торцовое биение режущих кромок пластин относительно опорного торца должно быть не более 0,06 мм. Радиальное биение режущих кромок пластин должно быть не более 0,08 мм.

Расточные головки. Разработанные унифицированные конструкции одно- и двузубых расточных головок позволяют обрабатывать отверстия в заготовках из чугуна и стали диаметром 100—150 мм. Пластины из керамики закрепляют прихватом.

Конструкции и номенклатура режущих инструментов

Специальные инструменты. Номенклатура выпускаемых стандартных конструкций инструмента с пластинами из керамики расширяется, но еще не обеспечивает быстро растущих потребностей промышленности, в связи с чем разрабатывают и изготавливают специальные конструкции инструментов. Применяют резцы с пазом под пластину, выполненным напроход, и массивным при-

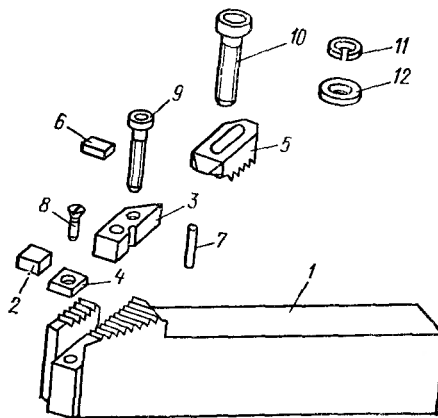
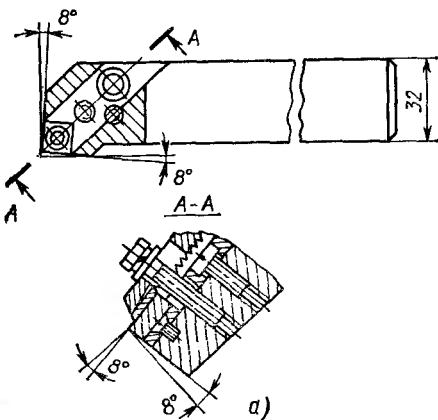
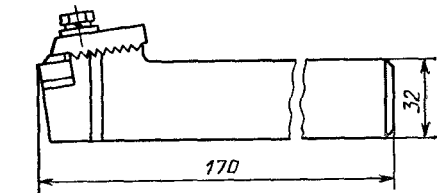


Рис. 2.25. Специальный токарный резец с пластинами из керамики:
а — конструкция; б — конструктивные элементы

64

ностей промышленности, в связи с чем разрабатывают и изготавливают специальные конструкции инструментов. Применяют резцы с пазом под пластину, выполненным напроход, и массивным при-

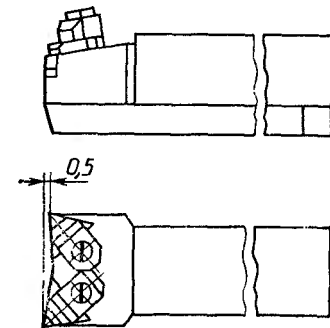


Рис. 2.26. Двусторонний токарный резец с пластинами из керамики для наружного точения и растачивания

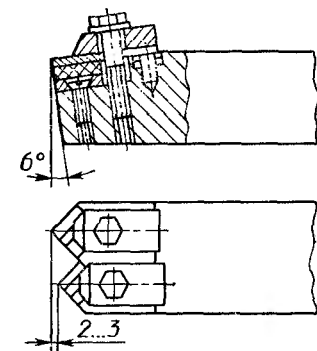


Рис. 2.27. Комбинированный токарный резец с двумя режущими пластинами из керамики для съема больших припусков за один рабочий ход

Режущие инструменты с пластинами из керамики

хватом, имеющим на нижней стороне зубчатую насечку для регулирования вылета. На корпусе резца также имеется зубчатая насечка. Резцы имеют сечение державки 32×32 и 32×25 мм (рис. 2.25). Для тонкого точения, растачивания отверстий и под-

резания торцов разработан двузубый резец с механическим креплением трехгранных пластин (рис. 2.26). Для того чтобы было возможно с одного установа державки обтачивать наружные поверхности и растачивать отверстия, вершины режущих пластин смещены на 0,5 мм. При обработке отверстий в резании участвует только одна пластина.

Разработана конструкция комбинированного резца, которая позволяет снимать за один рабочий ход большие припуски. В одном корпусе державки размещают две пластины квадратной формы; крепление производится прихватом (рис. 2.27).

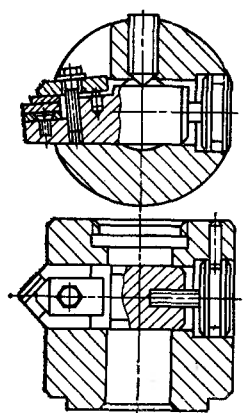


Рис. 2.28. Расточная головка с пластиной из керамики

Разработана конструкция специальной расточной головки с квадратными пластинами из керамики. В корпусе головки установлена круглая державка, в гнезде которой находится пластина, закрепленная прихватом (рис. 2.28). Инструментом

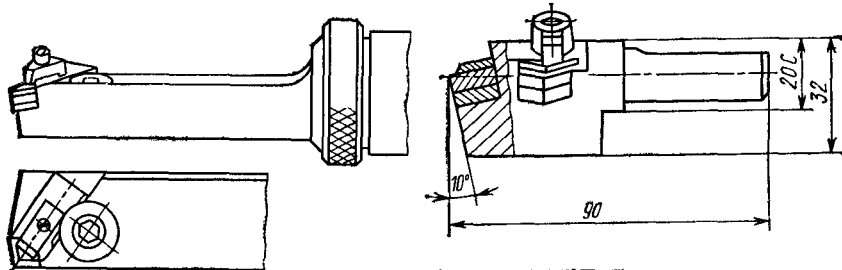
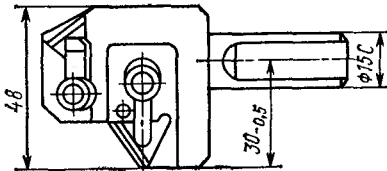


Рис. 2.29. Расточная оправка с пластинами из керамики для станков с ЧПУ

Рис. 2.30. Комбинированный резец с пластинами из керамики для расточной борштанги



обрабатывают отверстия диаметром 90—125 мм в стальных заготовках на вертикально-расточных станках. При чистовом растачивании отверстий диаметром 45—60 мм на станках ДГ-315 с ЧПУ применяется специальная расточная оправка. На корпусе оправки с помощью клиновой втулки закреплен резец (рис. 2.29).

Конструкции и номенклатура режущих инструментов

Разработаны специальные конструкции резцов с квадратными пластинами из керамики. Это комбинированный резец к расточкой борштанге, резец для станков-автоматов и др. (рис. 2.30—2.32).

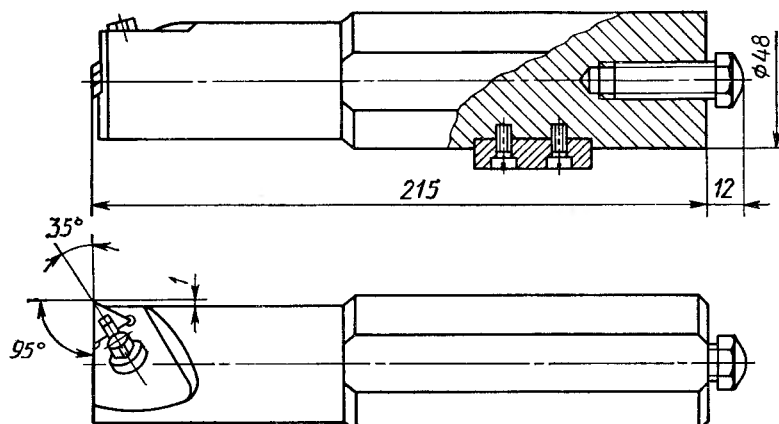


Рис. 2.31. Борштанга с механическим креплением трехгранных пластин из керамики для токарных станков с ЧПУ

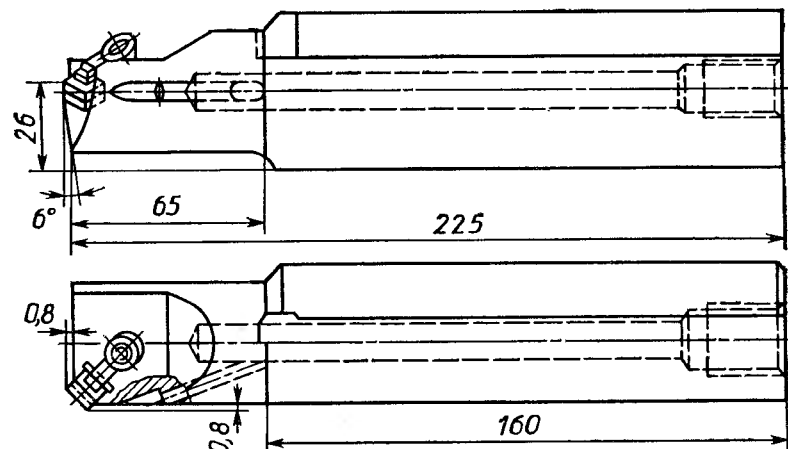


Рис. 2.32. Специальный резец с механическим креплением пластин из керамики с подводом СОЖ

Особенности конструкции зарубежных инструментов с пластинами из керамики. Пластины без отверстия устанавливают в глухие гнезда державок и закрепляют прихватом сверху с помощью болта или винта с разнонаправленной резьбой. Оба конца винта с разнонаправленной резьбой имеют внутренние шести-

Режущие инструменты с пластинами из керамики

ганные отверстия, что позволяет обслуживать резец как со стороны опорной поверхности резца, так и сверху (рис. 2.33).

Для обработки чугуна применяют прихват без стружколома.

Для крепления пластин из керамики без отверстия используют резцы Т-мак с креплением прихватом и регулируемым стружколомом.

В державках SEC-40 прихват имеет винт с разнонаправленной резьбой без стружколома. Для обработки стали резцом с регулируемым стружколомом применяют прихват с креплением болтом с однонаправленной резьбой (державка SEC-20).

Для крепления пластин с центральным цилиндрическим отвер-

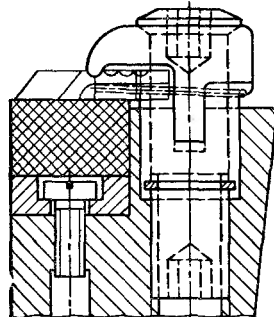


Рис. 2.33. Узел крепления резца с регулируемым стружколомом фирмы «Фельдмюлле»

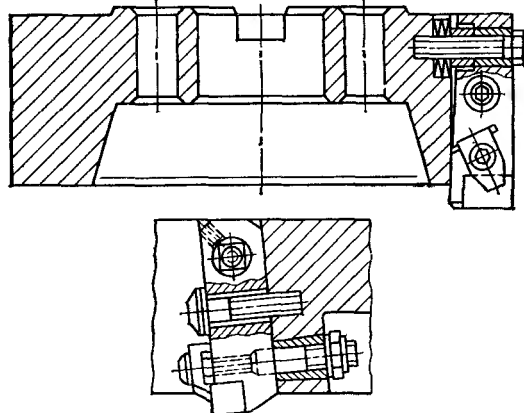


Рис. 2.34. Сборная торцовая фреза с регулируемыми вставками с пластинами из керамики фирмы «Фельдмюлле»

стием «Диас Тирнов» и некоторые другие предприятия применяют конструкции резцов, аналогичные конструкциям резцов с твердосплавными пластинами: крепление в глухие гнезда державок с подтяжкой на боковые базовые поверхности качающимся штифтом, рычажком и др. Выпускают сборные многоступенчатые резцы для чистовой и черновой обработки.

Фрезы изготавливают однозубые (EB) и многозубые (MFS) диаметром 80—500 мм, фрезы с керамическими пластинами SN80 и SH1 специальной формы. Квадратные пластины устанавливают в резцовых вставках, которые помещают в корпус фрезы. Для чистового фрезерования выпускают специальные резцовые вставки с очень точной регулировкой (рис. 2.34).

Для выполнения предварительной и окончательной обработки заготовок за один рабочий ход в корпусе фрезы устанавливают специальную режущую вставку, в которой квадратная зачистная пластина смешена относительно черновых зубьев на 0,05 мм и

Конструкции и номенклатура режущих инструментов

имеет главный угол в плане $\phi = 89,5^\circ$; таким образом, достигается эффект широкой зачистной пластины.

Торцовые фрезы SEC-ACEDNF 4000 с пластинами специальной квадратной формы CSN43MT из керамики NB90M выпускает фирма «Сумитомо». Эти фрезы оснащают также пластинами из твердых сплавов.

Фрезы выпускают диаметром D , равным 80, 100, 125, 160, 200, 250, 315, 400 и 500 мм, с числами зубьев соответственно 6, 8, 10, 12, 16, 20, 24, 32 и 40.

Кассету, имеющую гнездо под режущую пластину, помещают в выемке корпуса фрезы и закрепляют винтом. Пластину захватывают клином, имеющим центральное отверстие для винта с разнонаправленной резьбой.

Особенности конструкции расточных головок зарубежного производства. Для обработки отверстий фирма «Фельдмюлле» выпускает прецизионные расточные головки для станков с ЧПУ и многоцелевых, устанавливаемые в стандартные оправки для растачивания отверстий диаметром 40—65 мм.

Зарубежные фирмы выпускают резцы с пластинами из керамики как правого, так и левого исполнения, что позволяет применять инструменты на станках с ЧПУ и многоцелевых, а также в гибких автоматизированных системах.

«Диас Тирнов» выпускает широкий ассортимент державок резцов — свыше 14 типов. Корпус державки выдерживает обработку до 300 режущих пластин.

Фирма «Сандвик Коромант» отмечает высокую эффективность применения керамики в инструментах, применяемых на станках с ЧПУ и гибких автоматических переналаживаемых участках; она выпускает 17 типов державок для универсальных станков и станков с ЧПУ и 7 типов резцовых головок с пластинами TNGN, RNGN, DNGN для участков с автоматической сменой инструмента.

Для фрезерования фирма «Сумитомо Электрик» выпускает торцовые фрезы диаметрами 100—250 мм двух типов, десяти типоразмеров. Фирма «Фельдмюлле» производит чистовые фрезы MFS шести типоразмеров.

3. ОСНОВНЫЕ ЗАКОНОМЕРНОСТИ РЕЗАНИЯ МАТЕРИАЛОВ ИНСТРУМЕНТАМИ, ОСНАЩЕННЫМИ СТМ И КЕРАМИКОЙ

3.1. Точение и фрезерование инструментами, оснащенными СТМ

На основании опубликованной информации можно сделать следующие выводы об основных закономерностях резания инструментом из СТМ.

Износ резцов из композитов 01, 02 и 10 — сложный процесс с преобладанием при непрерывном точении адгезионных явлений. С увеличением контактных температур в зоне резания свыше 1000 °C возрастает роль теплового и химического факторов: интенсифицируются диффузия и химический распад нитрида бора, фазовый $\beta \rightarrow \alpha$ -переход, абразивно-механическое изнашивание. Поэтому при точении сталей со скоростями 160—190 м/мин износ резко возрастает, а при $v > 220$ м/мин становится катастрофическим почти независимо от твердости стали. При прерывистом точении (с ударом) преобладает абразивно-механическое изнашивание с выкрашиванием и вырывом отдельных частиц (зерен) инструментального материала; роль механического удара возрастаёт при увеличении твердости матрицы обрабатываемого материала и объемного содержания карбидов, нитридов и т. п. Так, при точении с ударом закаленной быстрорежущей стали с HRC₃ 62—64 или твердого сплава резцы из композитов 01 и 10 одинаково неработоспособны вследствие механического разрушения кромки, а при точении серого чугуна наличие ударной нагрузки не оказывается на стойкости резцов из этих СТМ. Повышенная ударная вязкость композита 10 проявляется в более высокой стойкости по сравнению с композитом 01 при точении с ударом закаленных конструкционных и легированных сталей и твердых чугунов с HRC₃ 40—60. Наибольшее влияние на износ и стойкость резцов при непрерывном точении сталей оказывает скорость резания, при точении с ударом — скорость и подача, при точении чугунов — подача, причем обрабатываемость ковких чугунов ниже, чем серых и высокопрочных. Стойкость резцов возрастает (в среднем до 1,5 раз) при увеличении угла ε и радиуса r при вершине резца, а также при точении с охлаждением. Характер износа и стойкость резцов с пластинами из композита прямо зависят от жесткости станка. Так, при точении на старом малой жесткости станке преобладает износ режущей кромки — микровыкрашивания, а на новом станке той же модели — абразивно-механическое истирание задней поверхности.

Основные закономерности резания материалов инструментами

Износ пластин из амборита и боразона характеризуется образованием площадок на их задней поверхности (критерий износа чистового инструмента $h_3 = 0,3 \dots 0,4$ мм, чернового $h_3 = 0,5 \dots 0,8$ мм) и лунок на передней поверхности глубиной 30—100 мкм. При точении материалов, сопровождающемся образованием сливной стружки, особенно быстрорежущих сталей и никелевых сплавов, образуется выемка на задней поверхности резца в месте контакта обрабатываемой поверхности заготовки и поверхности резания. Сколов и выкрашиваний не наблюдается. Суммарная стойкость цельных пластин из амборита в 2 раза больше, чем двухслойных пластин из боразона. Оптимальные геометрические параметры режущего клина резцов из композитов 01, 02 и 10 характеризуются отрицательным передним углом $\gamma = -6^\circ \dots -12^\circ$, задним углом $\alpha = 6^\circ \dots 12^\circ$, углом заострения $\beta \approx 90^\circ$. Радиус округления режущей кромки заточенных резцов $r = 10 \dots 20$ мкм; в начальный период резания он интенсивно увеличивается до 25—50 мкм и стабилизируется на этом уровне, практически не изменяясь в течение всего периода стойкости независимо от условий резания. Доводка и полирование передней и задней поверхностей резцов обеспечивают повышение их стойкости до 1,5—2 раз в результате снижения интенсивности адгезионных явлений в зоне контакта обрабатываемого материала и стружки с поверхностями инструмента. Наоборот, слишком острая кромка очень часто служит причиной выкрашивания или скола, поэтому после заточки, доводки и полирования рекомендуется скруглять ее (например, вручную мелкозернистым алмазным оселком) до $r = 20 \dots 40$ мкм. При точении с ударом для предохранения режущей кромки делают отрицательную фаску шириной 0,1—0,3 мм под углом 20° на передней поверхности. Более перспективно создание фасок (ленточек) шириной не более 0,1 мм на задней поверхности резца в плоскости резания, т. е. с $\alpha = 0$. Узкая фаска, имитирующая износ по задней поверхности, существенно упрочняет режущий клин около вершины и, кроме того, оказывает выглаживающее воздействие на обработанную поверхность.

Геометрические параметры режущей части инструмента для получистовой и черновой обработки твердых материалов характеризуются отрицательным передним углом $\gamma = -6^\circ \dots -8^\circ$, наличием на режущих кромках пластины защитных фасок шириной 0,2 мм под углом 20° часто в сочетании со скругленной (путем хонингования) кромкой до $r \approx 20 \dots 30$ мкм. Для черновой обработки (с ударом, по корке), как правило, применяют пластины круглой формы. Пластины квадратной формы при той же стойкости позволяют вести обработку с подачами, в 2—3 раза меньшими, чем круглые, так как прочность режущего клина на пластине из СТМ существенно зависит от угла и радиуса при вершине.

Точение и фрезерование инструментами, оснащенными СТМ

Поэтому пластины трехгранной и ромбической формы, а также пластины с задними углами применяют реже. Очевидно, что препятствием для их внедрения является высокая стоимость при пониженных значениях допустимых подач. Для чистовой обработки, особенно мягких серых чугунов, применяют пластины без отрицательных фасок, но в большинстве случаев со скругленной (путем хонингования) кромкой. Отсутствие фасок позволяет снизить силу резания на 25—30 % и тем самым повысить точность обработки.

Результирующая сила резания определяется сечением среза и износом по задней поверхности; степень влияния твердости обрабатываемого материала и радиуса при вершине резца в 3—4 раза меньше. С увеличением скорости резания (при прочих равных условиях) сила резания незначительно уменьшается.

Контактные температуры на передней и задней поверхностях резца растут с увеличением скорости резания, подачи, площадки износа h_3 и, весьма слабо, — глубины резания. О месте нахождения основного источника тепла нет единого суждения, но наиболее вероятно, что на этапе установившегося резания ($h_3 > 0,10$ мм) это главная задняя поверхность (площадка износа), причем с уменьшением вязкости обрабатываемого материала вклад такого источника в суммарный тепловой поток возрастает. Данные об абсолютных значениях контактных температур также противоречивы вследствие существенной разницы методик и сложности контроля этого параметра в закрытой рабочей зоне. При точении закаленных сталей на рекомендуемых режимах резания диапазон температур равен 600—1200 °С. Так, установлено, что температура режущей кромки керамической пластины при точении закаленной подшипниковой стали с $v = 120$ м/мин, $S_0 = 0,18$ мм/об, $t = 1,0$ мм составляет около 1000 °С. Известно также, что твердость поликристаллов КНБ уменьшается примерно в 2 раза при увеличении температуры нагрева от 20 до 1100 °С. Изменяя скорости резания и подачи, можно управлять распределением теплового потока; например, при увеличении v и S_0 его часть, направляемая в заготовку, уменьшается, а часть, направляемая в стружку, — увеличивается.

На шероховатость обработанной поверхности наибольшее влияние оказывает подача; увеличение твердости стали и радиуса при вершине резца способствует ее уменьшению. При точении обеспечивается формирование регулярного микрорельефа поверхности. При точении закаленных сталей гарантированно получается $Ra = 0,40$ мкм, а чугунов — $Ra = 0,8$ мкм. Структурных изменений в поверхностном слое заготовки при точении резцами из композитов 01, 02 и 10, в отличие от шлифования, не происходит; микротвердость этого слоя выше, в нем образуются сжимающие напряжения (после шлифования, как правило, растягивающие).

Основные закономерности резания материалов инструментами

вающие). Интенсивность размерного изнашивания резцов составляет 3—8 мкм/км в зависимости от режима резания, поэтому точность обработки определяется качеством исходного металла и его термообработки, а также жесткостью и виброустойчивостью системы станок—приспособление—инструмент—заготовка. С помощью этих инструментов достигается точность по 6—9-му квалитету. Торцовые фрезы с ножами, оснащенными поликристаллами композитов 01 и 10, эффективны для чистовой обработки заготовок из чугунов и сталей любой твердости с глубиной резания 0,05—0,5 мм. Скорость резания нетермообработанных чугунов достигает 3000 м/мин, а конструкционных сталей — 900 м/мин; закаленные чугуны и стали обрабатывают со скоростями до 500 м/мин (в зависимости от твердости), за исключением быстрорежущих сталей HRC₅ 60 ... 66, которые фрезеруют с $v = 20 \dots 40$ м/мин. Обычное охлаждение не рекомендуется, так как оно способствует интенсификации термоудара и разрушению режущей кромки; целесообразно только мощное охлаждение на станках с закрытой рабочей зоной, обеспечивающее постоянное нахождение зубьев в потоке СОЖ. Фрезы с механическим креплением пластин из композита 05 предназначены исключительно для обработки заготовок из чугунов, в том числе с литейной коркой, с глубиной резания до 6—7 мм. Стальные включения (заварки раковин, куски металломолома и т. п.) не допускаются, т. е. качество литья должно быть высоким. При наличии мощного и жесткого оборудования с высокой частотой вращения шпинделя эти фрезы дают возможность вести обработку корпусных чугунных заготовок от черновых до чистовых операций с высокими качеством и производительностью. Большая часть теплоты при этом уходит со стружкой, и заготовки не нагреваются даже при интенсивном съеме металла [$(1 - 3) 10^6$ мм³/мин] (при таких скоростях образования стружки мощный поток СОЖ необходим для ее удаления в сборники и очистки базовых поверхностей оснастки; кроме того, нагретая стружка мешает оператору менять заготовку).

Главный резерв повышения производительности и точности обработки, стойкости и надежности работы фрез из композитов — увеличение скорости резания. Так, для обеспечения подачи 1500 мм/мин регулируемая фреза диаметром 315 мм с пластинами из композита 05 ($z = 30$) должна работать со скоростью не менее 1500 м/мин ($n = 1500$ мин⁻¹). При высоких скоростях предотвращается негативное воздействие на зубья термоцикличности, смягчаются механические удары при входе и выходе из заготовки, в том числе вследствие уменьшения подачи на зуб. Торцовое биение режущих кромок фрез должно быть минимально — не более 0,005 мм, а радиальное — не более 0,05 мм. Износ режущих элементов из композита при работе на оптимальных режимах резания имеет адгезионно-усталостный характер. Размеры пло-

Точение и фрезерование инструментами, оснащенными СТМ

щадки износа по задней поверхности оказывают существенное влияние на силу резания и потребляемую мощность, поэтому критерий затупления следует выбирать в каждом конкретном случае с учетом этого фактора: как правило, при чистовой обработке $h_3 \leq 0,3 \dots 0,4$ мм, а при предварительной — $h_3 \leq 0,7 \dots 0,9$ мм.

В мировой практике наиболее широко применяются алмазные инструменты, оснащенные двухслойными режущими элементами из СТМ типа компакс, синдит, сумидиа и др. Они обладают высокой прочностью, износостойкостью, изотропными свойствами, хорошо припаиваются к корпусу инструмента. Геометрические параметры этих резцов и фрез те же, что резцов и фрез из твердых сплавов: положительные передние углы $\gamma = 0^\circ \dots +15^\circ$, задние углы — не более 10° . Доводка и полирование рабочих поверхностей уменьшают интенсивность адгезионных явлений, заметно повышают стойкость инструмента и качество обработки. Такое же воздействие оказывает СОЖ — водорастворимые масла. Экономический эффект от внедрения алмазного инструмента обеспечивается, как правило, в результате повышения стойкости в десятки и сотни раз. В большинстве случаев алмазные резцы в отличие от инструмента из КНБ используют на том же оборудовании и в тех же наладках, что и твердосплавные.

При наличии специальных станков с высокими скоростями резания, которые выдерживает алмазный инструмент, достигается повышение производительности обработки в несколько раз. Так, торцовое фрезерование алюминий-кремниевых сплавов выполняют при скоростях резания 50 м/с. Фирмой «Локхид» (США) уже созданы станки для обработки заготовок деталей, применяемых в аэрокосмической технике, из подобных сплавов алмазными инструментами при скоростях резания до 10 000 м/мин (150—170 м/с). В то же время установлено, что алмазный инструмент не пригоден для обработки сплавов на основе железа. Поэтому пока не удалось достичь высокопроизводительной обработки алюминиевых поршней с запрессованными компрессионными и маслосборными чугунными кольцами за один рабочий ход.

Ниже приведены некоторые эмпирические зависимости, отражающие закономерности резания инструментами из СТМ.

Зависимость стойкости (мин) токарных проходных резцов, оснащенных композитом 01, от режимов резания закаленных сталей с HRC_s 58 ... 66 следующая:

$$T = \frac{K_T}{v^{1/m} S_0^{\mu} t^{x_T}}. \quad (3.1)$$

Коэффициент и показатели степени для резцов с $\gamma = -10^\circ$, $\alpha = \alpha_1 = 15^\circ$, $\varphi = 35^\circ$, $\varphi_1 = 15^\circ$, $r = 0,3 \dots 0,6$ мм даны в табл. 3.1.

Зависимости составляющих силы резания и параметра шероховатости (R_a) обработанной поверхности от параметров режимов

Основные закономерности резания материалов инструментами

3.1. Значения показателей и постоянных величин, входящих в формулу (3.1)

Сталь	Твердость, HRC_9	Коэффициент и показатели степени			
		$K_T \cdot 10^4$	$\frac{1}{m}$	x_T	y_T
P6M5	63—66	2,46	1,65	0,33	0,51
P18	62—64	2,80	1,65	0,30	0,48
9ХС	60—63	0,63	1,45	0,38	0,52
40Х13	48—52	0,93	1,55	0,40	0,56

П р и м е ч а н и е. Режимы резания: $v = 50 \dots 100$ м/мин; $S_0 = 0,02 \dots 0,16$ мм/об; $t = 0,1 \dots 1$ мм.

резания и твердости для этого случая следующие:

$$P_x = v^{-0,15} S_0^{0,48} t^{1,1} (HRC_9)^{0,24} r^{-0,22}; \quad (3.2)$$

$$P_y = v^{-0,15} S_0^{0,56} t^{0,88} (HRC_9)^{0,30} r^{0,30}; \quad (3.3)$$

$$P_z = v^{-0,15} S_0^{0,65} t (HRC_9)^{0,12} r^{0,09}; \quad (3.4)$$

$$Ra = 47,1 S_0^{1,3} r^{-0,42} HV^{-0,19}. \quad (3.5)$$

Контактная температура зависит от режимов резания стали следующим образом:

$$\theta = 490 v^{0,2} S_0^{0,12} t^{0,09} \quad (3.6)$$

($v = 5 \dots 250$ м/мин; $S_0 = 0,02 \dots 0,3$ мм/об; $t = 0,02 \dots 0,4$ мм).

Зависимость средней контактной температуры на передней поверхности резца из композита 01 от параметров режимов резания:

для стали P18 с HRC_9 62—64

$$\theta = 278 v^{0,42} S_0^{0,23} t^{0,08} \quad (3.7)$$

($v = 27 \dots 240$ м/мин; $S_0 = 0,02 \dots 0,106$ мм/об; $t = 0,1 \dots 0,3$ мм);

для стали ХВГ с HRC_9 52—56 $\theta = 163 v^{0,3}$ ($S_0 = 0,052$ мм/об; $t = 0,1$ мм).

Распределение теплоты между заготовкой Q_a и стружкой Q_c (20 % теплоты всегда поступает в резец):

$v, \text{ м/мин}$	10	50	150	$S_0, \text{ мм/об}$	0,01	0,03	0,12
$Q_c, \%$	20	45	60	$Q_c, \%$	18	40	60
$Q_a, \%$	60	35	20	$Q_a, \%$	62	40	20

Зависимость стойкости резцов (мин) из композита 10 при точении порошковой стали с HRC_9 54—58 и пористостью 4—6 % следующая:

$$T = \frac{25,4 \cdot 10^4}{v^{2,44} S_0^{0,67} t^{0,72}} \quad (3.8)$$

($v = 70 \dots 200$ м/мин; $S_0 = 0,04 \dots 0,12$ мм/об; $t = 0,05 \dots 0,2$ мм; $\gamma = -15^\circ$; $\alpha = \alpha_s = 10^\circ$; $\varphi = 45^\circ$; $\varphi_1 = 15^\circ$; $\lambda = 2^\circ$; $r = 0,4$ мм).

Точение и фрезерование инструментами, оснащенными керамикой

Зависимость стойкости (мин) торцовой фрезы с ножами из композита 01 при обработке стали ХВГ с HRC₅ 62—64 от скорости резания и подачи:

$$T = \frac{34}{S_z^{0,86} v^{0,33}} \quad (3.9)$$

($B = 50$ мм; $D_\phi = 63$ мм; $z = 6$; $\varphi = 35^\circ$; $\varphi_1 = 15^\circ$; $\gamma = -5^\circ$; $\alpha = \alpha_1 = 8^\circ$; $f = 0,3 \dots 0,5$ мм; биение $<0,01$ мм; $S_z = 0,02 \dots 0,10$ мм/зуб; $t = 0,1 \dots 0,4$ мм; $v = 50 \dots 200$ м/мин); $Ra = 18,7 S_z^{1,22}$ (сталь ХВГ) и $Ra = 2,7 S_z^{0,5} v^{-0,1}$ (чугун СЧ 21); при обработке стали У8А с HRC₅ 58—60

$$T = \frac{21,4 \cdot 10^4}{v^{1,39} S_z^{0,5} t^{0,35} z^{0,18}} \quad (3.10)$$

($\varphi = 30^\circ$; $\varphi_1 = 15^\circ$; $\gamma = -16^\circ$; $\alpha = 15^\circ$; $\lambda = -10^\circ$; $f = 0,3$ мм; $v = 100 \dots 500$ м/мин; $S_z = 0,025 \dots 0,1$ мм/зуб; $t = 0,25 \dots 1,0$ мм).

Зависимость стойкости резцов с квадратной пластиной SNMN120312T из амборита (мин):

при точении углеродистой стали с HRC₅ 58

$$T = \frac{100}{v^{1,52} h_e^{2,14}} \quad (3.11)$$

($t = 0,5 \dots 1,0$ мм; $v = 30 \dots 75$ м/мин; $h_e = 0,05 \dots 0,22$ мм — толщина среза);

для закаленного чугуна с HRC₅ 55

$$T = \frac{70,6}{v^{0,84} h_e^{1,55}} \quad (3.12)$$

($t = 0,5 \dots 1,0$ мм; $v = 40 \dots 160$ м/мин; $h_e = 0,05 \dots 0,22$ мм).

3.2. Точение и фрезерование инструментами, оснащенными керамикой

Точение. Исследования показали, что у резцов из оксидной керамики ЦМ-332, ВШ-75 и резцов из оксидно-карбидной керамики В-3 при точении стали 45 с НВ 207—217 стойкость практически одинакова, однако коэффициент ее вариации у керамики ЦМ-332 выше ($v = 0,1 \dots 0,4$) по сравнению с коэффициентом вариации стойкости у пластин из ВШ ($v = 0,1 \dots 0,2$) и В-3 ($v = 0,07 \dots 0,20$). При безударном точении стали 40Х с НВ 207—217 стойкость пластин из керамики ВШ-75 в 1,5—3 раза выше стойкости пластин из керамики ЦМ-332. При точении серого чугуна СЧ 20 с НВ 170—190 керамика ВШ-75 также имеет более высокие режущие свойства.

При прерывистом точении как серого чугуна, так и стали 45 режущие свойства ВШ-75 ниже, чем режущие свойства В-3.

Основные закономерности резания материалов инструментами

3.2. Значения показателей и постоянных величин для зависимостей стойкости и скорости резания

Керамика	Обрабатываемый материал	C_T	C_v	x_T	y_T	z_T	m	y_v	z_v
ВШ-75	Сталь 45, HB 207—217	64,4	75—300	0,37	0,92	0,23	2,7	2,48	0,62
	Чугун СЧ 21, HB 170—190	122 562	3647	1,43	0,39	0,47	0,7	0,27	0,33
B-3	Высокопрочный чугун, ВЧ 60	69	2221	0,55	0,35	0,11	1,82	0,63	0,20

3.3. Зависимости износа резцов с пластинами из ВШ-75 от режимов точения стали ХВГ

Формула для определения износа h_3 (мм)	Диапазон условной обработки		
	Наличие СОЖ	HRC_s	Режимы резания
$h_3 = 1,5311 \cdot 10^{-3} \tau + 0,4405 \cdot 10^{-3} v + 0,43$	Есть	28	$v = 50 \dots 400$ м/мин; $S = 0,07$ мм/об; $t = 0,2$ мм. Геометрические параметры режущей части резцов: $\phi = 35^\circ$; $\varphi_t = 45^\circ$; $\gamma = -(8 \dots 10)^\circ$; $\alpha = \alpha_i = 8 \dots 10^\circ$; $f = 0,4 \dots 0,6$ мм; $\varphi_t = 0^\circ$
$h_3 = 3,4516 \cdot 10^{-3} \tau + 0,2865 \cdot 10^{-3} v + 0,029$	Нет	28	
$h_3 = 2,4305 \cdot 10^{-3} \tau + 3,6256 \cdot 10^{-4} v + 0,093$	Есть	35	

Установлены зависимости стойкости (мин) и скорости резания (м/мин) от параметров режимов резания для керамики ВШ-75 и B-3:

$$T = \frac{C_T}{v^{x_T} S^{y_T} t^{z_T}}, \quad (3.13)$$

$$v = \frac{C_v}{T^m S^{y_v} t^{z_v}}. \quad (3.14)$$

Значения постоянных величин и показателей в формулах (3.13) и (3.14) даны в табл. 3.2.

Точение и фрезерование инструментами, оснащенными керамикой

При точении ($v = 100$ м/мин; $S = 0,07$ мм/об; $t = 0,2$ мм) стали ХВГ твердостью HRC₉ 28—35 стойкость пластин ВШ-75 составила 120—180 мин. Экспериментом установлено, что керамика ВШ-75 эффективна при обработке «сырой» и закаленной стали ХВГ до HRC 50—55.

Получены зависимости износа резцов с пластинами из ВШ-75 от продолжительности точения и скорости резания, приведенные в табл. 3.3.

Режущие свойства оксидной керамики ВО-13, а также ВОК-60 и твердого сплава Т30К4 исследовали при точении стали 45 (HB 210—230). Геометрические параметры резцов с механическим креплением сменных пластин были следующими: $\gamma = -7^\circ$; $\alpha = \alpha_1 = 7^\circ$; $\lambda = 7^\circ$; $\varphi = \varphi_1 = 45^\circ$; $r = 1,2$ мм. При $S = 0,3$ мм/об и $t = 0,5$ мм стойкость керамики различных марок и твердого сплава в зависимости от скорости резания дана в табл. 3.4.

3.4. Стойкость (мин) резцов с пластинами из керамики и твердого сплава при точении «сырой» стали 45

Марка инструментального материала	v , м/мин			
	200	300	400	500
ВОК-60	228	119	56	17
ВОК-63	—	87	41	—
ВО-13	262	154	65	21
Т30К4	249	46	9	—

стойкость; повышение скорости в 2 раза (с 200 до 400 м/мин) приводит к уменьшению стойкости резцов из ВОК-60 и ВО-13 в 4,1 раза, а резцов из твердого сплава — почти в 28 раз. Резцы с пластинами из твердого сплава были практически неработоспособны при $v \geq 400$ м/мин.

Зависимость стойкости от продольной подачи при точении стали 45 с HB 210—230 ($t = 0,5$ мм; $v = 400$ м/мин) резцами с пластинами из керамики ВО-13 имеет экстремум:

S , мм/об	0,1	0,2	0,3	0,45	0,5	0,6	0,75
T , мин	60	62	65	60	51	40	20

Работа с подачей $S \geq 0,70$ мм/об нерациональна, так как резко увеличивается коэффициент вариации стойкости, возрастает нестабильность режущих свойств инструмента. Нерациональна работа и с большими скоростями резания ($v \geq 500$ м/мин). Это объясняется не только особенностями ВО-13, но в основном низким качеством изготовления оксидной керамики.

Основные закономерности резания материалов инструментами

При отсутствии биения и ударов влияние r на стойкость незначительно. В случаях биения заготовки 0,2—0,3 мм и более прочность пластин радиусом $r = 1,5$ мм неудовлетворительна, наблюдаются сколы вершин при износе $h_s = 0,45 \dots 0,6$ мм.

Значительно выше стабильность работы инструментов с пластинами толщиной $s = 8$ мм по сравнению со стабильностью работы инструментов с пластинами толщиной $s = 4,76$ мм. При точении с $v \geq 400$ м/мин и $S > 0,5$ мм/об пластины толщиной $s = 4,76$ мм имели коэффициент вариации стойкости $v > 0,3$, а у пластин толщиной $s = 8$ мм сколы и поломки практически отсутствовали.

Зависимость стойкости от режимов резания исследовали при v , равной 450 и 950 м/мин; S , равной 0,6 и 0,2 мм/об; t , равной 0,25 и 1 мм. Максимальные значения S и t ограничены мощностью станка (25 кВт). Геометрические параметры резцов: $\beta = 13^\circ$; $r = 3$ мм; $s = 8$ мм. Получена зависимость

$$T = 773 - 2,91v - 129S - 47,8t + 0,314vS + 0,283vt - 89,6St + 0,0028v^2 - 45,3S^2 - 58,6t^2. \quad (3.15)$$

Установлен экстремальный характер зависимостей $T = f(S)$ и $T = f(t)$. При работе с большой скоростью резания ($v = 471,5$ м/мин) стабильность резцов меньше ($v = 0,31 \dots 0,34$), чем при точении со скоростью резания $v = 250$ м/мин ($v = 0,18 \dots 0,24$).

Представляют интерес особенности износа пластин из керамики ВО-13 и ВОК-60. Износ по задним поверхностям h_s у пластин из оксидно-карбидной керамики несколько меньше, чем у пластин из оксидной керамики. При $h_s = 0,55 \dots 0,65$ мм у пластин из ВОК-60 чаще всего происходит скол или выкрашивание, преимущественно по задним поверхностям, и инструмент становится неработоспособным. Часто скальвается переходная режущая кромка вблизи от вспомогательной режущей кромки. Это происходит вследствие образования лунки на передней поверхности у керамики ВОК-60.

При точении резцами с пластинами из оксидной керамики наблюдалось периодическое «сыпание» режущих кромок. Стенки лунки износа на передней поверхности при этом как бы утолщались и резец продолжал оставаться работоспособным даже при $h_s = 0,9 \dots 1,1$ мм. Значительно меньше было сколов и выкрашиваний, что позволило практически полностью использовать все вершины пластин в работе.

Конструкция резцов с пластинами из керамики следующая: крепление сверху прихватом и накладной стружколомом предохраняют неработающие режущие кромки керамики от повреждения сходящей стружкой.

Исследования зависимости стойкости резцов с пластинами из керамики ВО-13 от продольной подачи S (мм/об), угла наклона

Точение и фрезерование инструментами, оснащенными керамикой

режущей пластины β и радиуса при вершине r (мм) проводили при обработке заготовок из стали 40Х с НВ 210—230, скорости резания $v = 400$ м/мин, глубине резания $t = 0,5$ мм.

Уровни варьирования факторов (y r 4,5 и 1,5 мм, y β 22 и 6°, y S 0,70 и 0,15 мм/об) соответствовали границам зоны резкого уменьшения стойкости. За критерий затупления резца было принято наличие задиров на обработанной поверхности при различном сочетании r , S , β . В результате экспериментов получена зависимость

$$T = 38,5 - 5,1r + 3\beta + 69,4S + 7rS + 0,06\beta S - \\ - 0,12\beta^2 - 159S^2. \quad (3.16)$$

Очевидно, что β оказывает значительное влияние на стойкость. Для основных уровней: $r = 3$ мм и $S = 0,425$ мм/об при изменении β от 6 до 22 % колебание стойкости составляет 55 %. Для всех сочетаний r и S в приведенных условиях оптимальное значение $\beta = 12 \dots 14^\circ$.

3.5. Значения показателей степени и постоянной C_T при точении стали керамикой В-3

Обрабатываемая сталь (в состоянии поставки)	$C_T \cdot 10^{-8}$	x_T	y_T	z_T
У8А	41	1,6	0,89	0,10
40ХН	9,5	1,4	0,66	0,17
40Х	1,5	0,77	0,43	0,09

Приложение. Условия обработки: $d_3 = 50 \dots 100$ мм; $L_3 = 400 \dots 500$ мм; $v = 100 \dots 200$ м/мин; $S = 0,2 \dots 0,4$ мм/об; $t = 0,5 \dots 1,5$ мм.

В результате испытаний при точении стали в состоянии поставки марок 40Х, 40ХН, У8А и 45 проходными резцами с пластинами из керамики В-3 были установлены зависимости стойкости от режимов резания вида (3.13). Значения показателей степени и постоянной C_T приведены в табл. 3.5.

Следует отметить, что приведенные в табл. 3.5 результаты получены при невысоких скоростях резания, а это снижает их практическую значимость.

Точение резцами с пластинами из ВО-13 требует большей эффективной мощности, чем точение резцами с твердосплавными пластинами. Например, при $v = 400$ м/мин, $S = 0,3$ мм/об и $t = 0,5$ мм, т. е. практически при чистовой обработке была необходима мощность более 11 кВт, что превышает мощность токарных станков средних типоразмеров.

Весьма эффективно применение пластин толщиной $s = 8$ мм с радиусом $r = 3$ мм. Оптимальное резание достигается на станках мощностью $N = 25 \dots 30$ кВт, при частоте вращения шпинделя $n \geq 2000$ мин⁻¹.

Основные закономерности резания материалов инструментами

Исследование точения закаленной стали ШХ15СГ с HRC₉ 61—63 проводили при следующих геометрических параметрах режущей части разцов с пластинами из керамики В-3: $\gamma = -26^\circ$; $\alpha = \alpha_1 = 6^\circ$; $\lambda = -6^\circ$; $r = 0,8$ мм; $\varphi = \varphi_1 = 45^\circ$.

Передний отрицательный угол пластины выполнен на фаске $f = 0,30$ мм. Обрабатывали толстостенные трубы диаметром 105 мм и длиной 250 ... 300 мм на токарно-винторезном станке 16К20 с бесступенчатым регулированием частоты вращения.

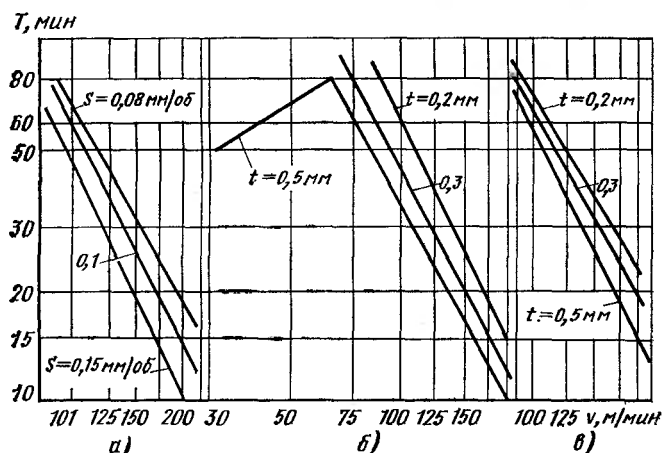


Рис. 3.1. Зависимость стойкости T резцов из керамики В-3 от скорости резания при $t = 0,3$ мм (а), $S_0 = 0,15$ мм/об (б), $S_0 = 0,08$ мм/об (в)

Режимы резания: $v = 30 \dots 250$ м/мин; S равно 0,08; 0,10 и 0,15 мм/об; $t = 0,20 \dots 0,50$ мм. Критерий затупления $[h_s] = 0,35$ мм.

Анализ полученных зависимостей показывает, что при $v \leq 70$ м/мин стойкость резцов уменьшается вследствие возрастания интенсивности хрупкого разрушения керамики (рис. 3.1). При $v = 175 \dots 250$ м/мин более 50 % опытов заканчивались выкрашиванием и сколом режущих кромок. Для рекомендуемого диапазона скорости резания закаленной стали установлены зависимости, количественные значения показателей степени в которых даны в табл. 3.6:

$$T = \frac{C_v}{v^{x_T}}; \quad (3.17)$$

$$T = \frac{C_t}{t^{y_T}}; \quad (3.18)$$

$$T = \frac{C_S}{S^{z_T}}. \quad (3.19)$$

Точение и фрезерование инструментами, оснащенными керамикой

Показатель степени при скорости резания $x_T = 1,9 \dots 2,3$. Из табл. 3.6 следует, что с увеличением скорости резания степень влияния подачи и глубины резания на стойкость практически не изменяется.

3.6. Значения показателей для зависимостей (3.18) и (3.19)

v , м/мин	y_T при S_0 , мм/об		z_T при t , мм	
	0,08	0,15	0,30	0,50
100	—	0,62	0,66	—
125	0,29	—	0,73	0,93
150	0,33	0,51	0,70	0,98

С увеличением глубины и подачи степень их влияния на стойкость увеличивается. Это свидетельствует о том, что у керамики В-3 доминирует не тепловой износ, а хрупкое разрушение.

В диапазоне $v = 30 \dots 175$ м/мин при изменении подачи от 0,08 до 0,15 мм/об параметр шероховатости обработанной поверхности $Rz = 1 \dots 4$ мкм при износе $h_s \geq 0,35$ мм (рис. 3.2). В этих же условиях стойкость резцов с пластинами из ВК-60М была в 6—10 раз меньше.

Радиальный износ резцов измеряли с помощью фотометрического метода, точность измерения 0,001 мм. Установлено, что среднее значение размерного износа резцов из В-3 невелико (20 мкм) при стойкости резцов $T = 20 \dots 30$ мин (рис. 3.3).

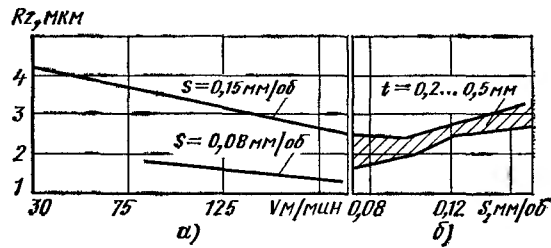


Рис. 3.2. Влияние скорости резания v при $t = 0,5$ мм (а) и подаче S_0 при $v = 150$ м/мин (б) на параметр шероховатости обработанной поверхности Rz

В результате экспериментов установлено влияние подачи и глубины резания на составляющие силы резания:

$$P_x = C_{P_x} t^{y_{P_x}} S^{z_{P_x}}; \quad (3.20)$$

$$P_y = C_{P_y} t^{y_{P_y}} S^{z_{P_y}}; \quad (3.21)$$

$$P_z = C_{P_z} t^{y_{P_z}} S^{z_{P_z}}. \quad (3.22)$$

Значения постоянных коэффициентов и показателей степени в зависимостях (3.20)—(3.22) даны в табл. 3.7. Скорость резания в исследованном диапазоне параметров режимов резания не оказывает заметного влияния на P_x , P_y , P_z .

Основные закономерности резания материалов инструментами

С ростом износа резца и образованием уступа на передней поверхности в пределах ширины фаски увеличивается радиальная составляющая P_y , причем $P_y > P_z$ (рис. 3.4).

Установлены зависимости вида $\Delta P_y = Ch_3^n$ для расчета приращения усилия резания в зависимости от износа h_3 .

В табл. 3.8 приведены расчетные формулы для определения P_y с учетом износа резцов.

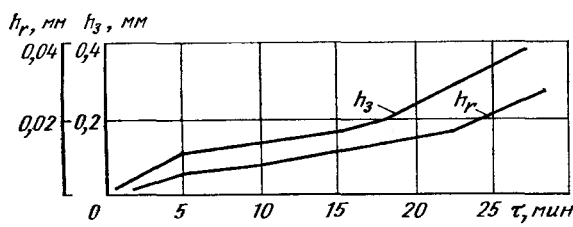


Рис. 3.3. Зависимость радиального износа h_r и износа по задней поверхности h_3 от продолжительности обработки t резцами с пластинами из керамики В-3: $v = 150$ м/мин; $S_0 = 0,15$ мм/об; $t = 0,3$ мм

Погрешность формы детали в продольном сечении определяется уравнением

$$\omega_\phi = \omega_r + \omega_t + \omega + \omega_{жк. с}, \quad (3.23)$$

где ω_r — погрешность от радиального износа резца; $\omega_{жк. с}$ — погрешность от изменения жесткости системы станок—приспособление—инструмент—заготовка в течение рабочего хода (жесткость у задней бабки меньше, чем у патрона) и от роста силы P_y при износе; ω_t — погрешность от накопленного деталью и резцом тепла; $\omega \approx 20$ мкм постоянная для данного станка.

Погрешность на первых рабочих ходах, т. е. в период приработки резца, выше, чем в период установившегося изнашивания.

3.7. Значения постоянных коэффициентов и показателей степени для формул (3.20)–(3.22)

Составляющая силы резания	$C P_x, y, z$	$y P_x, y, z$	$z P_x, y, z$
P_x	121	1,10	0,50
P_y	200	0,70	0,60
P_z	262	0,80	0,75

3.8. Расчетные зависимости для определения P_y с учетом износа резцов из керамики В-3

$S_0, \text{мм/об}$	$t, \text{мм}$	Расчетная формула P_y
0,08	0,2	$P_y = 200t^{0,7}S^{0,6} + 58h_3^{1,35}$
0,15	0,3	$P_y = 200t^{0,7}S^{0,6} + 152h_3^{1,34}$
0,08	0,3	$P_y = 200t^{0,7}S^{0,6} + 270h_3^{2,0}$
0,08	0,5	$P_y = 200t^{0,7}S^{0,6} + 170h_3^{2,12}$

П р и м е ч а н и е. Условия обработки: $v = 150$ м/мин; $T = 20 \dots 40$ ми

Точение и фрезерование инструментами, оснащенными керамикой

вания, когда она составляет 2—3 мкм (рис. 3.5). Погрешность $\omega_{ж}$ с растет с увеличением числа обработанных заготовок, т. е. по мере увеличения силы P_y , и превосходит все остальные погрешности.

Исследование точения нетермообработанной стали 40Х с НВ 180—220 и закаленной стали с HRC₉ 45—55 выполняли рез-

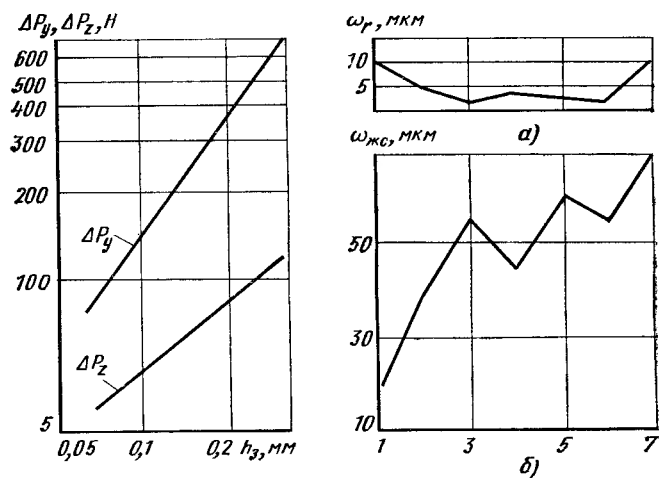


Рис. 3.4 (слева). Зависимость приращений ΔP_y и ΔP_z , составляющих силы резания от износа h_3 : $v = 150$ м/мин; $S_0 = 0,15$ мм/об; $t = 0,3$ мм

Рис. 3.5 (справа). Погрешности формы деталей ω_r (а) и $\omega_{жс}$ (б), обработанных резцами с пластинами из керамики В-3: $v = 150$ м/мин; $S_0 = 0,08$ мм/об; $t = 0,5$ мм

цами с квадратными пластинами из ВОК-60, причем геометрические параметры режущей части были: $\alpha = 4^\circ$; $\gamma = -4^\circ$; $\lambda = 0$; $r = 1,2$ мм; $\varphi = \varphi_1 = 45^\circ$; $\gamma_\varphi = -20^\circ$; $f = 0,3$ мм. За критерий затупления принимали износ пластин по задним поверхностям $h_3 = 0,40$ мм.

3.9. Значения постоянных коэффициентов и показателей степени для формулы (3.24) при обработке стали керамикой ВОК-60

Обрабатываемый материал	$C_T \cdot 10^{-5}$	x_T	y_T	z_T	Условия обработки
40Х, НВ 180—220	2	-1,69	-0,52	-0,60	$v = 200 \dots 400$ м/мин; $S = 0,12 \dots 0,40$ мм/об; $t = 1 \dots 3$ мм
Сталь закаленная, HRC 45—55	1,8	-2,30	-1,24	-0,35	$v = 120 \dots 180$ м/мин; $S = 0,11 \dots 0,26$ мм/об; $t = 1,0 \dots 3,0$ мм

Основные закономерности резания материалов инструментами

В результате исследований установлены зависимости стойкости резцов из керамики ВОК-60 от параметров режимов резания:

$$T = C_T v^{x_T} S^{x_T} t^{z_T}. \quad (3.24)$$

Значения C_T , показателей степени в зависимости (3.24) и условия обработки даны в табл. 3.9.

При исследовании динамических характеристик процесса токения обрабатывали сталь 45 (НВ 180—220) и чугун СЧ 28 (НВ 182). Силы резания измеряли на динамометре УДМ-600 островерзаточенными резцами ($h_3 \leq 0,05$ мм) и резцами с $h_3 = 0,40$ мм.

Установлены зависимости составляющих силы резания от режимов резания вида (при $h_3 < 0,05$ мм):

$$P_x = C_{P_x} v^{x_{P_x}} S^{x_{P_x}} t^{z_{P_x}}; \quad (3.25)$$

$$P_y = C_{P_y} v^{x_{P_y}} S^{y_{P_y}} t^{z_{P_y}}; \quad (3.26)$$

$$P_z = C_{P_z} v^{x_{P_z}} S^{y_{P_z}} t^{z_{P_z}}. \quad (3.27)$$

Значения C_P , x_P , y_P , z_P даны в табл. 3.10.

С увеличением износа силы резания, особенно при точении закаленной стали, существенно растут. Математическая обработка результатов экспериментов позволила получить зависимости, в которых учтено влияние износа ($h_3 = 0,05 \dots 0,40$ мм) для стали с HRC_s 62—64:

$$P_x = 200v^{-0,13} S^{0,29} t^{1,27} (1 + 1,4h_3); \quad (3.28)$$

$$P_y = 280v^{-0,09} S^{0,33} t^{0,90} (1 + 1,51h_3); \quad (3.29)$$

$$P_z = 278v^{-0,16} S^{0,55} t^{0,8} (1 + 1,27h_3). \quad (3.30)$$

Расчеты по формулам (3.28)—(3.30) показывают, что составляющие силы резания увеличиваются с ростом износа резцов в 1,3—1,6 раза, причем значения P_y часто превышают значения P_z .

При точении нетермообработанной стали для составляющей P_z получена расчетная формула с поправкой на износ:

$$P_z = 192v^{-0,10} S^{0,63} t^{0,95} (1 + 0,36h_3). \quad (3.31)$$

Сравнение зависимостей (3.30) и (3.31) показывает, что при точении нетермообработанной стали с НВ 180—200 степень влияния износа на P_z значительно меньше по сравнению со степенью влияния износа при обработке закаленной стали с HRC_s 62—64.

Точение и фрезерование инструментами, оснащенными керамикой

3.10. Значения постоянных коэффициентов и показателей степени для формул (3.25)–(3.27)

Обрабатываемый материал	Составляющая сила резания	C_P	x_P	y_P	z_P	Режим резания при $h_3 \leq 0,05$ мм
Сталь, HRC 62–64	P_x	280	–0,16	0,41	1,04	$v = 45 \dots 75$ м/мин; $S = 0,07 \dots 0,15$ мм/об; $t = 0,50 \dots 1,0$ мм
	P_y	330	–0,10	0,38	0,81	
	P_z	235	–0,08	0,59	0,81	
Сталь 45, HB 180–200	P_x	122	–0,12	0,40	1,02	$v = 150 \dots 450$ м/мин; $S = 0,10 \dots 0,40$ мм/об; $t = 1 \dots 3$ мм
	P_y	188	–0,12	0,48	0,86	
	P_z	200	–0,10	0,70	1,03	
СЧ 28, HB 178–182	P_x	346	–0,32	0,55	1,05	$v = 200 \dots 500$ м/мин; $S = 0,10 \dots 0,30$ мм/об; $t = 1,0 \dots 3,0$ мм
	P_y	362	–0,26	0,58	0,89	
	P_z	158	–0,01	0,64	0,89	

Для оксидно-карбидной керамики ВОК-60 при точении стали 30ХН2МФА при твердости от HB 331 до HB 338 установлены зависимости оптимальной скорости резания (м/мин) от подачи:

$$v_0 = \frac{C_v}{S^{y_0}}. \quad (3.32)$$

Значения показателя y_0 и постоянной C_v в зависимости (3.32) даны в табл. 3.11.

Стойкостные зависимости резцов с пластинами из силинита-Р при точении сталей различных марок в состоянии поставки исследовали на токарном станке 16К20 при наружном точении проходными резцами серийного производства. Применили пластины с радиусом при вершине резца $r = 1,0$ мм. В результате математической обработки экспериментов получена зависимость стойкости от режимов резания вида (3.12).

Основные закономерности резания материалов инструментами

3.11. Значения показателя y_0 и постоянной C_v в зависимости (3.32) при точении сталей пластинами из ВОК-60

Сталь, НВ	C_v	y_0
30ХМ, 197	18,07	1,2
30ХН2МФА, 331—388	26,49	0,80

Приложение. Условия обработки: $\Phi = 45^\circ$; $S = 0,1 \dots 0,3$ мм/об; $v = 100 \dots 300$ м/мин; $t = 0,5 \dots 1,0$ мм.

3.12. Значения C_v , x_T , y_T , z_T при точении силинитом-Р

Обрабатываемая сталь	C_v	x_T	y_T	z_T
45	$74 \cdot 10^4$	2,29	0,33	0,22
40Х	$76 \cdot 10^4$	2,31	0,83	0,10
40ХН	$18 \cdot 10^5$	2,45	0,11	0,48
48А	$11 \cdot 10^6$	1,82	0,36	0,03

Примечание. Условия обработки: $v = 100 \dots 200$ м/мин; $S = 0,2 \dots 0,4$ мм/об; $t = 0,5 \dots 1,5$ мм; диаметр заготовки 50—100 мм; длина заготовки 400—500 мм.

Условия обработки, значения C_v , x_T , y_T и z_T при точении различных сталей приведены в табл. 3.12.

Проведены исследования режущих свойств керамики кортини (ОНТ-20) и силинит-Р. Резцами с механическим креплением прихватом квадратных пластин из ОНТ-20 и силинита-Р с геометрическими параметрами режущей части $\gamma = -6^\circ$, $\gamma_\Phi = -26^\circ$, $\alpha = 6^\circ$, $\lambda = -5^\circ$ обрабатывали на токарно-винторезных станках 16К20 и 1М63 с бесступенчатым регулированием частоты вращения шпинделя образцы из стали 45 и 40Х с НВ 187—207 и серого чугуна СЧ 20 с НВ 180—190. Перед испытаниями корку с заготовок удаляли. Режимы резания при точении стали варьировали в соответствии с данными табл. 3.13.

3.13. Режимы резания при точении стали

Уровни варьирования	v , м/мин	S , мм/об	t , мм
Верхний	500	0,50	1,0
Нижний	250	0,20	0,5

Режимы резания при точении чугуна СЧ 20: $v = 250 \dots 500$ м/мин; $S = 0,20 \dots 0,50$ мм/об; $t = 0,50 \dots 1,0$ мм.

За критерий затупления принимали износ по задней поверхности резцов при точении стали и чугуна $h_3 = 0,40$ мм.

При точении стали 45 с $S = 0,5$ мм/об, $t = 1$ мм, $v = 250 \dots 500$ м/мин стойкость резцов с пластинами из ОНТ-20 в 1,5—2 раза выше, чем стойкость резцов с пластинами из ВОК-60. При $S = 0,2$ мм/об и $t = 0,5$ мм пластины из ВОК-60 имеют некоторое преимущество перед пластинами из ОНТ-20. Подобные результаты имеют место и при точении стали 40Х. Обработка с $t = 0,5$ мм показала, что стойкость керамики обеих марок практически одинакова. При точении с $t = 1,5$ мм стойкость ОНТ-20 в 1,5—2 раза выше, чем стойкость керамики ВОК-60.

Точение и фрезерование инструментами, оснащенными керамикой

Математическая обработка результатов экспериментов позволила установить зависимость стойкости (мин) от параметров режима резания:

$$T = \frac{2,15 \cdot 10^7}{v^{2,55} S^{0,55} t^{0,89}}. \quad (3.33)$$

Из анализа экспериментов следует, что если скорость резания в равной степени влияет на стойкость ВОК-60 и ОНТ-20, то стойкость резцов с пластинами из ВОК-60 зависит от глубины резания и подачи в значительно большей степени, чем стойкость резцов с пластинами из ОНТ-20.

При обработке серого чугуна СЧ 20 ($v = 250 \dots 500$ м/мин, $S = 0,5$ мм/об и $t = 0,5 \dots 1,0$ мм) стойкость резцов с пластинами из ОНТ-20 в 1,5—2 раза превышала стойкость резцов с пластинами из ВОК-60. При $S = 0,2$ мм/об преимущества резцов с пластинами из ОНТ-20 по сравнению с резцами с пластинами из ВОК-60 уменьшаются. При точении силинита-Р были получены результаты практически те же, что и при точении ОНТ-20.

Фрезерование. Исследования режущих свойств керамики при торцовом фрезеровании заготовок из СЧ 20 с НВ 200—210 размерами $L \times H \times B = 500 \times 200 \times 100$ мм проводили по схеме симметричного фрезерования на станке 6М82 без СОЖ; ширина обрабатываемой заготовки $B = 100$ мм. Использовали однозубые торцевые фрезы диаметром 200 мм, оснащенные квадратными пластинами из В-3, ВОК-60, ВОК-63. Износстойкость керамики сравнивали с износстойкостью твердых сплавов ВК6, ВК6М, ВК60М, Т15К6, Т8К7.

Геометрические параметры зуба фрезы, оснащенной пластиной из твердого сплава или керамики: $\varphi = 45^\circ$; $\gamma = -7^\circ$; $\alpha = 7^\circ$; $\lambda = 5^\circ$; $r = 1$ мм. Режимы резания: 1) при исследовании зависимости $T = f(V)$: $t = 1$ мм; $S_z = 0,2$ мм/зуб; 2) при исследовании зависимости $T = f(S)$: $t = 1$ мм; $v = 582$ м/мин; 3) при исследовании зависимости $T = f(t)$: $v = 582$ м/мин; $S_z = 0,2$ мм/зуб.

В экспериментах измеряли размерный износ и износ h_3 по задней поверхности. Обработку прекращали при $h_3 = 0,4$ мм, когда у обработанной поверхности параметр шероховатости не соответствовал техническим требованиям ($[Ra] = 2,5 \dots 1,25$ мкм).

Анализ результатов показал, что стойкость фрез с пластинами из ВОК-60 и В-3 в 10—14 раз выше стойкости фрез из сплава Т8К7. При $v < 450$ м/мин стойкость фрез с пластинами из В-3 и ВОК-60 примерно одинакова. С увеличением скорости резания ($v > 550$ м/мин) стойкость фрез с пластинами из В-3 больше, чем фрез с пластинами из ВОК-60. При подачах $S < 0,10$ мм/зуб стойкости фрез с пластинами из В-3 и ВОК-60 одинаковы. При $S \geq 0,10 \dots 0,50$ мм/зуб наибольшую стойкость имеют фрезы с пластинами из ВОК-60.

Основные закономерности резания материалов инструментами

Изменение глубин резания в пределах $t = 0,5 \dots 1,25$ мм менее заметно сказывается на стойкости, чем изменение подачи или скорости резания. При $t = 1,5$ мм большую стойкость имеют фрезы с пластинами из ВОК-60. Фрезерование пластинами из керамики с $t > 2$ мм нецелесообразно вследствие значительного числа сколов режущих кромок.

Износ пластин из керамики при фрезеровании чугуна в начальный момент резания невелик. Затем появляются микротрещины, которые вырастают в бороздки, формирующиеся в основном на участке, более удаленном от вершины пластины. По мере увеличения бороздок могут происходить сколы более крупных участков режущей кромки.

3.14. Диапазон варьирования параметров обработки фрезами с пластинами из керамики

Уровни варьирования	v , м/мин	$a_{ср}$	L	b
		мм		
Основной	495	0,132	88	2
Верхний	660	0,22	115	3
Нижний	330	0,044	61	1

Исследование режущих свойств при обработке серого чугуна торцовыми фрезами диаметром 140 мм проводили с использованием метода математического планирования. В результате установлена зависимость стойкости (мин) фрезы с пластинами из ВОК-60 от параметров обработки:

$$T = \frac{e^{10.4} L^{0.35} K_{ст}}{v^{1.6} a_{ср}^{0.6} b^{0.6}}, \quad (3.34)$$

где L — длина дуги контакта фрезы с заготовкой; $K_{ст} = 0,5$ — коэффициент стойкости при наличии литьевой корки на боковых необработанных поверхностях заготовки; v — скорость резания; $a_{ср}$ — средняя толщина среза; b — ширина среза.

Критерий затупления фрезы $h_3 = 0,3$ мм.

Уровни варьирования параметров обработки даны в табл. 3.14.

Испытания пластин из силинита-Р в этих же условиях показали, что режущие свойства торцовых фрез с пластинами из нитридной керамики при обработке серого чугуна практически аналогичны режущим свойствам фрез с пластинами из оксидно-карбидной керамики ВОК-60 и В-З.

Для более эффективного применения торцовых фрез с пластинами из керамики следует разрабатывать и выпускать более жесткие и точные (по исполнению) конструкции инструмента.

Торцовыми фрезами с механическим креплением квадратных пластин (03111—120412) из керамики ОНТ-20, ВОК-60 и силинита-Р обрабатывали заготовки из стали 45 и 40Х с НВ 187—207 и серого чугуна СЧ 20 с НВ 180—190 размерами 250×250×500 мм. Геометрические параметры режущей части: осевой

Точение и фрезерование инструментами, оснащенными керамикой

передний угол $\gamma = -10^\circ$; радиальный передний угол $\gamma = -6^\circ$; задний угол $\alpha = 6^\circ$.

Испытания проводили на вертикально-фрезерных станках ГФ-250 (частота вращения $n = 80 \dots 3150 \text{ мин}^{-1}$) и 6И13 (диапазон чисел оборотов $n = 30 \dots 1500 \text{ мин}^{-1}$). Скорость резания при обработке стали 45 фрезами с пластинами из кортинаита $v = 190 \dots 450 \text{ м/мин}$; подача на зуб $S_z = 0,05 \dots 0,20 \text{ мм/зуб}$; глубина резания $t = 1 \dots 3 \text{ мм}$. Критерий затупления $[h_3] = 0,4 \text{ мм}$.

Математической обработкой результатов экспериментов установлена зависимость стойкости (мин) фрез с квадратными пластинами из кортинаита от параметров режимов фрезерования:

$$T = \frac{6,85 \cdot 10^6}{v^{1,87} a^{0,025} B^{0,07} t^{0,27}}, \quad (3.35)$$

где $a_{\text{ср}}$ — сечение среза, мм; B — ширина фрезеруемой поверхности, мм; t — глубина резания, мм.

Анализ результатов показал, что наибольшее влияние на стойкость оказывает скорость резания.

Стойкость фрез с пластинами из ВОК-60 и силинита-Р практически равна стойкости инструмента с пластинами из ОНТ-20 при несколько больших значениях стойкости фрез с пластинами из силинита-Р. При наличии корки стойкость значительно снижается (почти вдвое), и необходимо учитывать это, вводя коэффициент $K_T = 0,5$.

При фрезеровании стали 45 ($v = 190 \dots 450 \text{ м/мин}$, $S_z = 0,05 \dots 0,20 \text{ мм/зуб}$ и $t = 1 \dots 3 \text{ мм}$) стойкость фрез была относительно невысокой и нестабильной.

В целях разработки расчетных зависимостей для определения стойкости фрез и интенсивности изнашивания при назначении режимов резания исследовали фрезерование заготовок из серого чугуна СЧ 20 с НВ 160—280 размерами $B \times H = 180 \times 240 \text{ мм}$ на вертикально-фрезерном станке 6Н12П. Применили однозубую фрезу диаметром 250 мм с механическим креплением квадратных пластин. Геометрические параметры режущей части фрезы составляли: $\gamma = \alpha = 6^\circ$; $\kappa = 72^\circ$; $r = 1,2 \text{ мм}$. За критерий затупления фрезы был принят износ пластин из керамики по задним поверхностям $[h_3] = 0,40 \text{ мм}$.

При изучении влияния скорости резания на стойкость фрезы скорости изменяли от 125 до 1100 м/мин. При $S_z = 0,25 \text{ мм/зуб}$ и $t = 0,5 \text{ мм}$ доминирует износ по задним вспомогательным поверхностям.

Влияние подачи на стойкость пластин исследовали при $S_z = 0,05 \dots 0,6 \text{ мм/зуб}$, $v = 400 \text{ м/мин}$ и $t = 0,5 \text{ мм}$. С увеличением подачи снижается стойкость пластин и возрастает интенсивность изнашивания; износ 0,4 мм при $S_z = 0,1 \text{ мм/зуб}$ отмечается после

Основные закономерности резания материалов инструментами

110 мин работы, при $S_z = 0,4$ мм/зуб — после 20 мин, а при $S_z = 0,6$ мм/зуб — после 5 мин. При $S_z > 0,5$ мм/зуб пластины часто скальваются.

Влияние глубины резания изучалось при $v = 400$ м/мин и $S_z = 0,2$ мм/зуб. Глубина резания t изменялась от 0,2 до 2 мм. Наибольшая стойкость отмечена у пластин из ВОК-60 при глубине резания 1 мм. Фрезерование чугуна керамикой при $t > 1,5$ мм нецелесообразно вследствие значительных сколов на режущих кромках пластин.

Математической обработкой данных исследования получена зависимость для расчета стойкости (мин) режущей керамики при фрезеровании серого чугуна:

$$T = 1,33 \cdot 10^3 v^{-0,9} S_z^{1,27} \quad (3.36)$$

и интенсивности изнашивания

$$\frac{\Delta h_3}{\Delta \tau} = 8,85 \cdot 10^{-2} v^{1,04} S_z^{1,27}. \quad (3.37)$$

При фрезеровании поперечные пазы до пятнадцатого рабочего хода не оказывают заметного влияния на стойкость, а один продольный паз приводит к увеличению износа на 20 %, при фрезеровании же с тремя продольными пазами на десятом рабочем ходе наблюдается выкрашивание режущих кромок.

Апробирование полученных закономерностей проводили при чистовом фрезеровании блока цилиндров двигателя ЧТЗ из серого чугуна, фрезой диаметром 400 мм с числом зубьев $z = 26$. Геометрические параметры режущей части фрезы были такими же, как и в экспериментах с однозубой фрезой. Инструмент был установлен в автоматическую линию 1Л310. Фреза имела одну пластину с зачистной кромкой длиной $l = 12$ мм. Режим резания: $v = 410$ м/мин, $t = 0,5 \dots 0,8$ мм, $S_z = 0,21$ мм/зуб ($S_{\min} = 1700$ мм/мин), ширина фрезеруемой поверхности $B = 346$ мм; длина одного рабочего хода $L = 1100$ мм. При допустимом износе пластин $h_3 = 0,25$ мм стойкость фрезы составила 160 заготовок на одну режущую кромку. Параметр шероховатости обработанной поверхности на блоках $R_a = 7 \dots 10$ мкм.

При фрезеровании на многоцелевом станке заготовок из высокопрочного чугуна торцевые фрезы по ТУ 2-035-624—78 с пластинами из керамики ВОК-60 имели стойкость, в 2 раза большую (118 мин), чем фрезы с пластинами из ВК8. Режимы обработки: $n = 630$ мин $^{-1}$; $S_z = 0,04$ мм/зуб; $t = 0,5$ мм. Применение керамики ВОК-60 позволило обойтись без шлифования. Фрезы выпускают серийно инструментальные заводы Минстанкпрома.

4. РЕЖИМЫ РЕЗАНИЯ ИНСТРУМЕНТАМИ, ОСНАЩЕННЫМИ СТМ И КЕРАМИКОЙ

4.1. Режимы резания инструментами, оснащенными СТМ

Общие рекомендации. В табл. 4.1—4.3 даны (в значительной мере усредненные) диапазоны скоростей и подач, которые следует корректировать в каждом конкретном случае и проверять экспериментально.

При обработке торцовыми фрезами, оснащенными СТМ, в отличие от фрезерования инструментом, оснащенным твердым сплавом, всегда следует стремиться к достижению максимально возможного.

4.1. Рекомендуемые диапазоны режимов резания инструментом, оснащенным композитом, при точении и растачивании

Обрабатываемые материалы и покрытия	Характер резания	Композит	v , м/мин	S_0 , мм/об	t , мм
Стали конструкционные и легированные, инструментальные и подшипниковые, HRC_3 40—58	Без удара	05; 01; 02	50—180	0,03—0,20	0,05—3,0
	С ударом	10; 10Д	40—120	0,03—0,10	0,05—1,0
Стали быстрорежущие, инструментальные, цементуемые, HRC_3 58—70	Без удара	01; 02	50—120	0,03—0,1	0,05—0,8
	С ударом	10; 10Д	40—100	0,03—0,07	0,05—0,4
Чугуны серые и высокопрочные, HB 150—300	Без удара	05; 01; 02	400—1000	0,03—0,5	0,05—3,0
	С ударом	10; 10Д; 05; 01; 02	300—800	0,03—0,2	0,05—2,0
Чугуны отбеленные, HB 400—600	Без удара	05; 01; 02	50—200	0,03—0,5	0,05—2,0
	С ударом	10; 10Д	40—90	0,03—0,10	0,05—1,0
Твердые сплавы с содержанием кобальта не менее 15 %, HRA 80—86	Без удара	10; 01; 02; 10Д	5—20	0,08—0,1	0,05—1,0
	По корке	01; 02; 10; 10Д	40—100	0,03—0,15	0,1—0,5

П р и м е ч а н и е. Резцы со ступенчатым расположением пластин позволяют увеличить глубину резания до 6—8 мм.

Режимы резания инструментами, оснащенными СТМ и керамикой

4.2. Рекомендуемые диапазоны режимов резания инструментом, оснащенным композитом, при торцовом фрезеровании

Обрабатываемые материалы	Композит	v , м/мин	S_z , мм/зуб	t , мм
Стали конструкционные и легированные нетермообработанные, $HRC_0 \leq 30$ (в состоянии поставки)	10; 01; 10Д	400—900	0,01—0,1	0,05—2,0
Стали конструкционные, легированные, инструментальные закаленные, $HRC_0 35—55$	10; 01; 10Д	200—600	0,01—0,1	0,05—1,2
Стали закаленные, цементуемые, $HRC_0 55—70$	10; 01; 10Д	80—300	0,01—0,1	0,05—0,8
Стали быстрорежущие, $HRC_0 60—70$	01	20—40	0,01—0,1	0,05—0,8
Чугуны серые и высокопрочные, НВ 150—300 (в том числе по литейной корке)	05; 10; 10Д; 01	800—3000	0,01—0,1	0,05—6,0
Чугуны отбеленные, закаленные, НВ 400—600, $HRC_0 40—60$	10; 01; 10Д; 05	200—800	0,01—0,1	0,05—4,0

П р и м е ч а н и е. Фрезы с трехступенчатым расположением пластин из композита позволяют увеличить глубину резания при обработке чугунных отливок на соответствующем мощном оборудовании до 8—10 мм.

4.3. Рекомендуемые диапазоны режимов резания инструментом, оснащенным поликристаллическим алмазом, при точении

Обрабатываемые материалы	v , м/мин	S_z , мм/об	t , мм
Алюминий и алюминиевые сплавы	600—3000	0,03—0,3	0,05—1,0
Алюминиевые сплавы (10—20 % кремния)	500—1500	0,03—0,3	0,05—1,0
Медь и медные сплавы (бронзы, латуни, баббиты и др.)	300—1000	0,03—0,3	0,05—1,0
Пластмассы, пластики, стеклопластинки, углепластики, твердая резина, различные композиты	200—1000	0,03—0,3	0,05—1,0
Полуспеченные керамика и твердые сплавы	100—300	0,03—0,15	0,05—1,0
Спеченные твердые сплавы	15—40	0,03—0,10	0,05—1,0
Древесностружечные материалы	2000—4000	0,03—0,3	—
Горные породы (песчаник, гранит)	50—400	0,03—0,3	0,05—1,0

П р и м е ч а н и я: 1. Данные рациональные скорости резания, обеспечивающие повышение интенсивности съема припуска. Алмазный инструмент в отличие от инструмента из КНБ можно эксплуатировать и на низких скоростях, при которых работает твердосплавный инструмент, обеспечивая многократное повышение стойкости.

2. При фрезеровании скорости могут быть увеличены до 2 раз.

3. Глубина резания древесностружечных материалов определяется шириной фрез или пил.

Режимы резания инструментами, оснащенными СТМ

мозной скорости резания и уменьшению подачи на зуб. Это объясняется следующими причинами:

подача на зуб и частота вращения шпинделя в равной мере влияют на значение минутной подачи, т. е. на производительность фрезерования, однако подача на зуб в значительно большей степени, чем скорость резания, влияет на стойкость фрезы, оснащенной СТМ, и надежность их работы;

при увеличении скорости резания шероховатость обработанной поверхности уменьшается, а при увеличении подачи растет;

при увеличении скорости резания сила резания уменьшается, а при увеличении подачи на зуб растет, т. е. снижается точность обработки.

При точении вначале устанавливают глубину резания (исходя из припуска) и подачу (исходя из максимальной производительности при заданной шероховатости обработанной поверхности), а затем назначают скорость резания, обеспечивающую необходимую стойкость резца. Наибольшее влияние скорость резания оказывает на стойкость резцов из композита при точении закаленных сталей и твердых чугунов, а на стойкость резцов из поликристаллических алмазов — при точении спеченных твердых сплавов. Наименьшее влияние скорость резания оказывает при точении мягких чугунов резцами из композита и цветных сплавов — резцами из алмаза.

При точении с ударом, особенно сталей и чугунов высокой твердости, наличие радиуса при вершине $r = 0,8 \dots 1,0$ мм является необходимым условием надежной работы резцов из СТМ. Например, достаточно высокую работоспособность в таких условиях имеют круглые неперетачиваемые пластины из композита 01 (диаметр 3,6 мм) с $r = 1,8$ мм, хотя этот композит для точения с ударом в общем не предназначен. Уменьшение радиуса до 0,2—0,4 мм нецелесообразно, так как это резко повышает опасность выхода инструмента из строя вследствие скола или выкрашивания, в то время как уменьшение радиальной составляющей силы резания при этом незначительно. Кроме того, такое уменьшение приводит к существенному увеличению шероховатости обработанной поверхности.

В тяжелых условиях резания (с ударом, по корке и т. п.) режущей кромке инструмента из композита рекомендуется придать скругленную форму с радиусом $r = 30 \dots 50$ мкм либо сделать стандартную защитную фаску шириной 0,05 ... 0,20 мм на передней поверхности под углом $\gamma = -20^\circ$.

Весьма эффективна фаска (ленточка) шириной не более 0,1 мм на задней поверхности ($\alpha = 0$), имитирующая площадку износа. Эта фаска снижает интенсивность изнашивания инструмента на стадии приработки, уменьшает вероятность выкрашивания режущей кромки и оказывает выглаживающее действие на обработан-

Режимы резания инструментами, оснащенными СТМ и керамикой

ную поверхность. Влияние такой фаски возрастает при увеличении переднего угла, т. е. при переходе от отрицательных γ к положительным.

Весьма перспективным методом является изготовление режущих пластин любого размера и профиля с помощью медного электрода требуемой формы на автоматических электроэрозионных установках «Дикамат 500S» фирмы «Эдер» (Австрия). Достигается производительность около 50 шт. алмазных пластин в смену (точность до ± 2 мкм; параметр шероховатости $R_a \approx 0,10$ мкм).

В целом очевидна тенденция расширения применения пластин специальных форм для инструмента из СТМ в целях точной обработки фасонных поверхностей деталей из труднообрабатываемых материалов, когда размерная стойкость аналогичного твердосплавного инструмента низка.

Фрезерование сталей и чугунов инструментами, оснащенными композитом. Рекомендации по режимам резания при фрезеровании сталей и чугунов торцовыми фрезами, оснащенными поликристаллическими синтетическими СТМ на основе нитрида бора (композитами), являются обобщением нормативных материалов. Они приведены для условий работы на станках, соответствующих требованиям эффективной эксплуатации этого высокопроизводительного инструмента.

Критерий затупления фрез — износ по задней поверхности зубьев $h_3 = 0,3 \dots 0,4$ мм при тонкой и чистовой обработке и $h_3 = 0,8$ мм при получистовой обработке.

Геометрические параметры режущей части фрез характеризуются отрицательными передними углами $\gamma = -6 \dots -10^\circ$ при $\alpha = 6 \dots 12^\circ$; $\varphi = 30 \dots 75^\circ$, $\varphi_1 = 10 \dots 15^\circ$. Ножи регулируемых фрез выполняют либо с зачищающей кромкой, параллельной обрабатываемой поверхности, шириной $b_f = 0,6 \dots 1,2$ мм, либо с со-пряжением главной и вспомогательной режущих кромок по радиусу $r = 20 \dots 50$ мм. Режущие неперетачиваемые пластины круглой формы могут быть с отрицательной фаской 0,2 мм под углом 20° к передней поверхности.

В табл. 4.4—4.7 приведены значения подач в зависимости от параметра шероховатости обработанной поверхности, конструкции и геометрических параметров фрезы, обрабатываемых материалов. Подача на зуб $S_z = S_{zt} K_{bs}$, где S_{zt} — табличное значение подачи; K_{bs} — поправочный коэффициент в зависимости от ширины зачищающей кромки b_f . В табл. 4.8—4.16 даны скорости резания в зависимости от подачи и глубины резания, твердости обрабатываемого материала и материала режущей части.

Поправочные коэффициенты на подачу K_{bf} зависят от ширины режущей кромки b_f , параллельной обработанной поверхности:

Ширина кромки b_f , мм . . .	0,4	0,6	0,8	1,2
Коэффициент K_{bf}	0,6	0,8	1,0	1,2

Режимы резания инструментами, оснащенными СТМ

4.4. Подача S_z (мм/зуб) при фрезеровании торцовыми регулируемыми фрезами со вставными ножами с переходной режущей кромкой, параллельной обрабатываемой поверхности

Обрабатываемые материалы	Главный угол в плане Φ_s , °	Параметр шероховатости обработанной поверхности R_a , мкм *			
		0,16—0,32	0,32—0,63	0,63—1,25	1,25—2,5
Закаленные стали и чугуны, HRC_9 40—70	30	0,04—0,06	0,06—0,08	0,08—0,12	0,12—0,20
	45	—	0,02—0,04	0,05—0,08	0,08—0,12
	60	—	—	0,03—0,06	0,06—0,10
	75	—	—	0,02—0,05	0,05—0,08
Серый чугун, NB 150—300	30	—	0,03—0,06	0,04—0,10	0,10—0,20
	45	—	До 0,03	0,03—0,08	0,08—0,12
	60	—	—	0,02—0,05	0,05—0,10
	75	—	—	0,02—0,04	0,04—0,08
Незакаленные стали: HRC_9 10—30 NB 110—320	30	—	0,03—0,06	0,04—0,10	0,10—0,20
	45	—	До 0,03	0,03—0,08	0,08—0,12
	60	—	—	0,02—0,05	0,05—0,10
	75	—	—	0,02—0,04	0,04—0,08

* Меньшие значения R_a соответствуют более высокой твердости обрабатываемого материала.

4.5. Подача S_z (мм/зуб) при фрезеровании торцовыми регулируемыми фрезами со вставными ножами с радиусным сопряжением режущих кромок

Обрабатываемые материалы	Радиус при вершине r , мм	Параметр шероховатости обработанной поверхности R_a , мкм *			
		0,16—0,32	0,32—0,63	0,63—1,25	1,25—2,5
Стали незакаленные, HRC_9 10—30	20—50	—	0,02—0,04	0,04—0,10	0,10—0,20
Закаленные стали и чугуны, HRC_9 40—70	20—50	0,02—0,04	0,04—0,06	0,06—0,12	0,12—0,20
Серый чугун, NB 150—300	20—50	—	0,02—0,04	0,04—0,10	0,10—0,20

* Меньшие значения R_a соответствуют более высокой твердости обрабатываемого материала.

Режимы резания инструментами, оснащенными СТМ и керамикой

4.6. Подача S_z (мм/зуб) при фрезеровании торцовыми регулируемыми фрезами с механическим креплением неперетачиваемых пластин круглой формы

Обрабатываемые материалы	Радиус при вершине r , мм	Параметр шероховатости обработанной поверхности R_a , мкм *			
		0,16—0,32	0,32—0,63	0,63—1,25	1,25—2,5
Стали незакаленные, HRC_3 10—30	1,8 (композит 01)	—	0,01	0,01—0,04	0,04—0,08
	2,8 (композит 10Д)	—	—	—	—
Закаленные стали и чугуны, HRC_3 40—70	1,8 (композит 01)	0,01	0,01—0,03	0,02—0,08	0,06—0,12
	2,8 (композит 10Д)	0,01	0,01—0,03	0,02—0,08	0,06—0,12
Серый чугун, NB 150—300	1,8 (композит 01)	—	0,01—0,02	0,02—0,05	0,05—0,10
	2,8 (композит 10Д)	—	—	—	—
	3,5 (композит 05)	—	—	—	—

* Меньшие значения R_a соответствуют более высокой твердости обрабатываемого материала и большим диаметрам режущих пластин.

4.7. Подача S_z (мм/зуб) при фрезеровании торцовыми нерегулируемыми фрезами с механическим креплением неперетачиваемых пластин круглой формы

Обрабатываемые материалы	Радиус при вершине r , мм	Параметр шероховатости обработанной поверхности R_a , мкм *		
		0,32—0,63	0,63—1,25	1,25—2,5
Стали незакаленные, HRC_3 10—30	1,8 (композит 01)	0,005	0,01—0,02	0,02—0,05
	2,8 (композит 10Д)	—	—	—
Закаленные стали и чугуны, HRC_3 40—70	1,8 (композит 01)	0,01	0,01—0,04	0,04—0,06
	2,8 (композит 10Д)	—	—	—
Серый чугун, NB 150—300	1,8 (композит 01)	—	0,01—0,02	0,02—0,04
	2,8 (композит 10Д)	—	—	—
	3,5 (композит 05)	—	—	—

* Меньшие значения R_a соответствуют более высокой твердости обрабатываемого материала и большим диаметрам режущих пластин.

Режимы резания инструментами, оснащенными СТМ

4.8. Скорость резания v (м/мин) незакаленной стали с HRC_3 10—30 торцовыми фрезами со вставными ножами, оснащенными композитом 01, и механическим креплением пластин круглой формы из композита 01

t , мм	S_z , мм/зуб				
	0,02	0,04	0,08	0,12	0,20
0,05	800	780	710	660	600
0,1	790	770	700	650	590
0,2	780	760	690	640	580
0,3	770	750	680	630	570
0,4	760	740	670	620	—
0,5	750	730	660	610	—

При меч ани е. Период стойко-
сти $T = 90$ мин.

4.9. Скорость резания v (м/мин) незакаленной стали с HRC_3 10—30 торцовыми фрезами с ножами, оснащенными композитом 10, и с механическим креплением пластин круглой формы из композита 10Д

t , мм	S_z , мм/зуб				
	0,02	0,04	0,08	0,12	0,20
0,05	850	830	780	730	670
0,1	840	820	770	720	650
0,2	830	810	750	700	630
0,4	810	770	730	680	600
0,8	770	730	680	620	—
1,6	690	650	580	—	—

4.10. Скорость резания v (м/мин) закаленной стали с HRC_3 35—55 (кроме быстрорежущей) торцовыми фрезами с ножами, оснащенными композитом 01, и механическим креплением круглых пластин из композита 01

t , мм	S_z , мм/зуб				
	0,02	0,04	0,08	0,12	0,20
0,05	560	540	500	460	400
0,1	550	530	490	450	390
0,2	540	510	480	440	370
0,3	530	510	470	420	350
0,4	520	500	460	400	330
0,5	510	490	450	380	310

4.11. Скорость резания v (м/мин) закаленной стали с HRC_3 35—55 (кроме быстрорежущей) торцовыми фрезами с ножами, оснащенными композитом 10, и механическим креплением пластин круглой формы из композита 10Д

t , мм	S_z , мм/зуб				
	0,02	0,04	0,08	0,12	0,20
0,05	590	570	540	510	470
0,1	580	560	530	500	450
0,2	560	540	500	460	430
0,4	540	520	470	430	390
0,8	500	480	430	—	—
1,2	460	420	—	—	—

Режимы резания инструментами, оснащенными СТМ и керамикой

4.12. Скорость резания v (м/мин) закаленной стали с HRC_0 55—70 (кроме быстрорежущей) торцовыми фрезами с ножами, оснащенными композитом 01, и механическим креплением круглых пластин из композита 01

t , мм	S_z , мм/зуб				
	0,01	0,02	0,04	0,08	0,12
0,05	240	220	200	180	160
0,10	230	210	190	170	150
0,2	220	200	180	160	140
0,3	210	190	170	150	130
0,5	200	170	150	130	—

4.13. Скорость резания v (м/мин) закаленной стали с HRC_0 55—70 (кроме быстрорежущей) торцовыми фрезами с ножами, оснащенными композитом 10, и механическим креплением круглых пластин из композита 10Д

t , мм	S_z , мм/зуб				
	0,01	0,02	0,04	0,08	0,12
0,05	260	240	220	210	200
0,1	250	230	210	200	190
0,2	240	220	200	190	180
0,4	230	210	190	180	160
0,8	220	200	180	170	—
1,0	200	180	160	—	—

4.14. Скорость резания v (м/мин) серого чугуна с НВ 150—300 торцовыми фрезами с ножами и пластинами из композитов 01, 10 и 10Д

t , мм	S_z , мм/зуб				
	0,02	0,04	0,08	0,12	0,20
0,05	2900	2700	2400	2100	1700
0,1	2850	2600	2300	2000	1600
0,2	2800	2500	2200	1900	1500
0,4	2700	2400	2100	1800	1400
0,8	2600	2300	2000	1700	—
1,5	2500	2200	1900	—	—

4.15. Скорость резания v (м/мин) серого чугуна с НВ 150—300 торцовыми фрезами с механическим креплением круглых пластин из композита 05

t , мм	S_z , мм/зуб				
	0,02	0,04	0,06	0,08	0,10
0,1	2500	2300	2100	1900	1800
0,2	2450	2250	2000	1800	1600
0,5	2400	2200	1800	1600	1400
1,0	2300	1900	1600	1400	1200
1,5	2200	1800	1400	1200	1100
2,0	2000	1600	1350	1150	1050
2,5	1900	1500	1300	1100	1000
3,0	1800	1450	1250	1050	950
6,0	1500	1350	1200	1000	900

4.16. Поправочные коэффициенты на скорость резания (K_{T_v}) в зависимости от периода стойкости T инструмента при обработке сталей

Обрабатываемая сталь	T , мин					
	60	90	120	180	240	300
Незакаленная, HRC_0 10—30	1,2	1,0	0,9	0,75	0,6	0,5
Закаленная, HRC_0 35—55	1,15	1,0	0,85	0,7	0,55	0,4
Закаленная, HRC_0 55—70	1,1	1,0	0,8	0,6	0,4	0,3

Режимы резания инструментами, оснащенными СТМ

Поправочные коэффициенты на скорость резания (K_{HRC_v}) при $T = 90$ мин в зависимости от твердости обрабатываемого материала для незакаленной стали (табл. 4.8 и 4.9)

HRC_0	...	10	20	30
K_{HRC_v}	...	1,0	0,9	0,8

для закаленной стали (табл. 4.10 и 4.11)

HRC_0	...	35	40	45	50	55
K_{HRC_v}	...	1,0	0,85	0,7	0,55	0,4

для закаленной стали (табл. 4.12 и 4.13)

HRC_0	...	55	60	65	70
K_{HRC_v}	...	1,0	0,85	0,7	0,5

Поправочные коэффициенты на скорость резания (K_{HB_v}) в зависимости от твердости чугуна (табл. 4.14 и 4.15);

HB	...	150	200	250	300
K_{HB_v}	...	1,0	0,85	0,7	0,55

Поправочные коэффициенты на скорость резания K_{T_v} в зависимости от периода стойкости инструмента при обработке серого чугуна (табл. 4.16):

T , мин	...	90	120	180	240	300	360	420
K_{T_v}	...	1,2	1,0	0,8	0,6	0,4	0,3	0,25

Точение и фрезерование пластмасс алмазным инструментом. Рекомендации по режимам резания при точении и фрезеровании пластмасс инструментом, оснащенным поликристаллами синтетических алмазов АСПК и АСБ имеют ряд особенностей, связанных со специфическими свойствами пластмасс. Низкая теплопроводность пластмасс является причиной концентрации теплоты, выделяющейся в процессе резания, в малых объемах режущего клина, прилегающих к режущей кромке инструмента. В результате на обработанной поверхности нередко появляются прижоги; значительная доля теплоты отводится в инструмент, изменяя его стойкость. Вместе с тем допустимый износ инструмента значительно меньше, чем при обработке металлов, и ограничивается прочностью пластмасс, так как затупленная режущая кромка вызывает сколы кромок обрабатываемых заготовок на входе и выходе инструмента.

Режимы резания, прежде всего скорость, также ограничиваются необходимостью постоянного отсоса из зоны резания пыли и вредных газов, выделяющихся при обработке пластмасс, в целях обеспечения необходимых санитарных норм по запыленности воздуха в рабочем помещении.

Режимы резания инструментами, оснащенными СТМ и керамикой

4.17. Группы обрабатываемости пластмасс точением

№ группы обрабатываемости	Пластмасса	Типовые представители пластмассы
1	Термопластичная без наполнителя	Винилласт, фторопласт, капрон, полиэтилен, оргстекло и др.
2	Термопластичная с металлическим порошковым наполнителем	ПТ-З, ФБМ, НАМИ
3	Термореактивная с газовоздушным наполнителем	Пенопласт, поропласт (поролон)
4	Термореактивная с порошковым наполнителем	Пресс-порошки, аминопластик, фенопластики
5	Термореактивная с волокнистым наполнителем	Волокниты, стекловолокниты
6	Термореактивная со слоистым и листовым наполнителем на основе: бумаги, ткани стекловолокна	Гетинаксы, текстолиты Стеклотекстолиты, стеклопластики, органопластики

Предложена [7] классификация пластмасс по группам обрабатываемости точением и фрезерованием (табл. 4.17—4.18). Пластмасса состоит из связующего вещества, наполнителя, красителя, отвердителя, пластификатора и смазывающих добавок (некоторые из перечисленных компонентов в отдельные виды пластмасс не входят).

Пластмассы, входящие в одну группу обрабатываемости, близки по составу, свойствам и агрегатному состоянию; закономерности их резания одинаковы. Силы при резании пластмасс в 10—30 раз меньше, чем при резании металлов, поэтому перегрузки станков по мощности не бывает, хотя обработка осуществляется на высоких скоростях. Поскольку стружка пластмасс многих видов обладает высокими абразивными свойствами, направляющие станков должны быть надежно защищены.

Рекомендуемые геометрические параметры резцов, оснащенных АСПК и АСБ: $\gamma = 0 \dots 2^\circ$; $\alpha = 15 \dots 20^\circ$; $\varphi = 40 \dots 45^\circ$; $\varphi_1 = 20^\circ$; $r(b_f) = 0,2 \dots 0,8$ мм, а параметры торцовых фрез: $\gamma = 0 \dots -5^\circ$; $\alpha = \alpha_1 = 18^\circ$; $\varphi = 45^\circ$; $\varphi_1 = 15^\circ$; $r = 1,5 \dots 2$ мм. Критерий затупления резцов при чистовом точении $h_3 = 0,10 \dots 0,14$ мм; критерий затупления ножей торцовых фрез $h_3 = 0,3$ мм.

Режимы резания инструментами, оснащенными СТМ

4.18. Классификация обрабатываемости фрезерованием пластмасс в зависимости от структуры их наполнителя

Структура наполнителя	№ группы обрабатываемости наполнителя		Типовые представители пластмассы
	органического	неорганического	
<i>Термопластичные пластмассы</i>			
Порошки	1	3	Полиэтилены НД; пресс-материалы типа 501-73; графитопласти ФНК-7, АТН-2
Волокна	2	3	Композиции ФУС15, Ф400С15
Газы	1	—	Вспененный полистирол ПСВ
Фольга	—	3	Фольгированные полиэтилены, термополы
<i>Термореактивные пластмассы</i>			
Без наполнителя	2	2	Эпоксидно-фенольная смола ЭФ32-301
Порошки	3	4	Фенопласти, графитопласти АТМ, ФКН, пресс-порошки ОТН, УДП
Волокна	3	4	Органо-, стекло- и асбоволокниты
Ткани	3	4	Текстолиты, стеклотекстолиты, асбестотекстолиты, асбестоцемент
Гранулы (зерна)	3	4	Полонаполненные ЭДС, СПС, СПБ
Листы	3	4	Гетинаксы, органогетинаксы, асбестогетинаксы
Фольга	—	4	Фольгированные слонистые пластики
Газы	2	3	Пенопласти ПЭ-2, К-40, пенофенопласти ФК-20, пенополиуретаны П2-101
Проволока	—	5	Боропластики, армометаллоптекстолит

Причина: 1. Волокна, не связанные между собой, любой длины, хаотично расположенные в полимере.

2. Ткани — полотнища из повторяющихся переплетений нитей пряжи органического или неорганического происхождения.

3. Листы — плоские, в виде пластин тела из однородной массы органического или неорганического материала, в том числе из волокнистого, например картона, бумаги, асбеста и пр.

4. Асбестоцемент условно отнесен в четвертую группу обрабатываемости.

Значения подачи при точении приведены в табл. 4.19 в зависимости от требуемого параметра шероховатости обработанной поверхности и уточняются в каждом конкретном случае исходя из условий обработки. Скорости резания и поправочные коэффициенты даны в табл. 4.20, 4.21. Для расчета скорости точения (м/мин) следует пользоваться зависимостью

$$v_t = \frac{C_v}{T^m t^{x_v} S_0^{y_v}},$$

Режимы резания инструментами, оснащенными СТМ и керамикой

где C_v , m , x_v , y_v — соответственно постоянный коэффициент и показатели степени, зависящие от обрабатываемого и инструментального материала (табл. 4.22). В данном случае $m = 1$, и при заданном режиме резания стойкость алмазного резца

$$T = \frac{C_v}{v_t t^{x_v} S_0^{y_v}}.$$

Следует отметить, что при точении пластмасс влияние подачи и глубины резания на стойкость весьма незначительно; определяющее влияние оказывает скорость точения (м/мин):

$$v = v_t K_{0_v} K_{t_v}.$$

Тангенциальная составляющая силы резания (H) определяется по формуле

$$P_z = C_{P_z} S_0^{y_{P_z}} t^{x_{P_z}},$$

4.19. Подача S_0 при точении пластмасс резцами, оснащенными АСПК и АСБ

Пластмасса	Инструментальный материал	Rz	Ra	S_0 , мм/об
		мкм		
Гетинакс	АСБ; АСПК	5 5—15 15—25 25—35	1,0 1—4 4—6 6—9	$\leq 0,1$ 0,1—0,2 0,2—0,3 0,3—0,4
Стеклотекстолит	АСБ	20 20—25 25—30 30—40	5,0 5—6 6—8 8—10	$\leq 0,1$ 0,1—0,2 0,2—0,3 0,3—0,4
	АСПК	10 10—15 15—20 20—30	2,5 2,5—4 4—5 5—8	$\leq 0,1$ 0,1—0,2 0,2—0,3 0,3—0,4
Стеклопластик	АСБ	10 10—20 20—25 25—30	2,5 2,5—5 5—6 6—8	$\leq 0,1$ 0,1—0,2 0,2—0,3 0,3—0,4
	АСПК	5 5—15 15—20 20—25	1,0 1—4 4—5 5—6	$\leq 0,1$ 0,1—0,2 0,2—0,3 0,3—0,4

Режимы резания инструментами, оснащенными СТМ

4.20. Скорость резания v_T (м/мин) пластмасс резцами, оснащенными АСПК и АСБ

Материал инструментальный (обрабатываемый)	t , мм	S_0 , мм/об			
		0,1	0,2	0,3	0,4
АСПК (гетинакс)	$\leq 0,5$	264	246	237	230
	0,5—1,0	250	233	224	218
АСБ (гетинакс)	$\leq 0,5$	440	410	394	383
	0,5—1,0	416	388	372	362
	1,0—1,5	402	376	361	351
	1,5—2,0	393	367	352	342
АСПК (стеклотекстолит)	$\leq 0,5$	413	385	370	359
	0,5—1,0	390	364	350	340
АСБ (стеклотекстолит)	$\leq 0,5$	459	428	411	399
	0,5—1,0	434	404	388	378
	1,0—1,5	420	392	376	365
	1,5—2,0	411	383	368	357
АСПК (стеклопластик)	$\leq 0,5$	383	352	335	324
	0,5—1,0	357	329	313	302
АСБ (стеклопластик)	$\leq 0,5$	383	352	335	324
	0,5—1,0	357	329	313	302
	1,0—1,5	343	316	301	290
	1,5—2,0	333	307	292	280

**4.21. Поправочные коэффициенты на скорость точения K_{T_v}
в зависимости от периода стойкости T , мин**

Обрабатываемая пластмасса	Инструмен- тальный материал	$\frac{T}{K_{T_v}}$			
		900	1080	1260	1440
Гетинакс	АСБ	$\frac{900}{1,2}$	$\frac{1080}{1,0}$	$\frac{1260}{0,86}$	$\frac{1440}{0,75}$
	АСПК	$\frac{1350}{2,00}$	$\frac{2025}{1,83}$	$\frac{2700}{1,00}$	$\frac{3375}{0,80}$
Стеклотекстолит	АСБ	$\frac{480}{1,12}$	$\frac{540}{1,00}$	$\frac{1200}{0,45}$	$\frac{1440}{0,38}$
	АСПК	$\frac{720}{1,25}$	$\frac{900}{1,00}$	$\frac{1080}{0,83}$	$\frac{1440}{0,62}$
Стеклопластик	АСБ	$\frac{360}{1,33}$	$\frac{480}{1,00}$	$\frac{720}{0,67}$	$\frac{1440}{0,33}$
	АСПК	$\frac{540}{1,33}$	$\frac{720}{1,00}$	$\frac{1440}{0,50}$	$\frac{1620}{0,44}$

Режимы резания инструментами, оснащенными СТМ и керамикой

4.22. Коэффициент и показатели степени в формуле скорости резания при точении пластмасс резцами, оснащенными АСПК и АСБ

Обрабатываемая пластмасса	Инструментальный материал	v , м/мин	S_0 , мм/об	t , мм	C_v	m	x_v	y_v
Гетинакс	АСПК	200—600	0,1—0,4	0,2—1,0	535 500	1,0	0,08	0,10
	АСБ			0,5—2,0	357 000		0,08	0,10
Стеклопластик	АСПК	600	0,4	0,2—1,0	280 000	0,08	0,10	0,10
	АСБ			0,5—2,0	186 000		0,08	0,10
Стеклотекстолит	АСПК			0,2—1,0	195 000	0,1	0,12	0,12
	АСБ			0,5—2,0	130 000		0,1	0,12

4.23. Коэффициент и показатели степени в формуле тангенциальной составляющей силы резания при точении пластмасс резцами, оснащенными АСПК и АСБ

Обрабатываемая пластмасса	Инструментальный материал	v , м/мин	S_0 , мм/об	t , мм	C_{P_z}	x_{P_z}	y_{P_z}
Гетинакс	АСПК	200—600	0,1—0,4	0,2—1,0	310	0,95	0,68
	АСБ			0,5—2,0	310	0,95	0,68
Стеклотекстолит	АСПК	200—600	0,1—0,4	0,2—1,0	450	0,87	0,83
	АСБ			0,5—2,0	450	0,87	0,83
Стеклопластик	АСПК	200—600	0,1—0,4	0,2—1,0	210	0,97	0,70
	АСБ			0,5—2,0	210	0,97	0,70

где C_{P_z} , y_{P_z} , x_{P_z} — соответственно постоянный коэффициент и показатели степени, зависящие от обрабатываемого и инструментального материалов (табл. 4.23). Эффективная мощность резания (кВт)

$$N_e = \frac{P_z v}{61 200}.$$

Подачи на зуб при торцовом фрезеровании пластмасс фрезами с ножами, оснащенными поликристаллами синтетических алмазов, приведены в табл. 4.24, а скорости резания — в табл. 4.25—4.28.

Для расчета скорости резания (м/мин) при торцовом фре-

Параметр шероховатости обработанной поверхности R_a , мкм	Текстолит, гетинакс	Стеклотекстолит, асбестоцемент, конструкционный стеклопластик
1,25—2,5	<0,04	<0,03
2,5—5,0	0,04—0,08	0,03—0,06
5,0—10,0	0,08—0,25	0,06—0,15
10,0—16,0	0,25—0,35	0,15—0,25
16—20	0,35—0,55	0,25—0,50

Режимы резания инструментами, оснащенными СТМ

зировании следует пользоваться зависимостями

$$v_t = \frac{C_v}{T^m t^{x_v} S_0^{y_v} B^{U_v}},$$

где C_v , x_v , y_v , U_v — соответственно постоянный коэффициент и показатели степени, зависящие от обрабатываемого и инструментального материала (табл. 4.29);

$$v = v_t K_{T_v} K_{B/D_v},$$

где K_{T_v} , K_{B/D_v} — поправочные коэффициенты.

Тангенциальная составляющая силы резания определяется по формуле

$$P_z = P_{z_1} q,$$

где P_{z_1} — тангенциальная составляющая силы резания при работе однозубым инструментом (табл. 4.30); q — число зубьев фрезы, одновременно участвующих в резании;

$$P_{z_1} = C_{P_z} S_0^{y_{P_z}} t^{x_{P_z}} v^{z_{P_z}} B^{U_{P_z}},$$

4.25. Скорость резания v_T конструкционного стеклопластика фрезами с ножами, оснащенными АСБ

Диаметр фрезы, мм	Число зубьев z	Толщина срезаемого слоя t , мм	v_T , м/мин, при S_z , мм/зуб									
			0,01	0,02	0,03	0,04	0,06	0,10	0,15	0,25	0,4	0,6
63	6	1,0	3053	1866	1399	1140	856	595	446	311	222	166
		1,5	2853	1746	1308	1067	799	556	417	290	208	156
		2,0	2729	1668	1250	1020	765	532	400	277	200	149
100	8	1,0	2102	1285	964	786	598	410	307	214	153	115
		1,5	1969	1204	903	736	552	384	288	200	143	107
		2,0	1877	1147	860	701	527	366	274	191	136	103
125	8	1,0	1759	1075	806	657	493	343	257	179	128	96
		1,5	1651	1009	757	617	462	322	241	168	120	90
		2,0	1575	962	722	588	442	307	230	160	115	86
160	10	1,0	1474	901	676	551	413	287	216	150	105	80
		1,5	1385	847	635	521	387	270	202	140	101	76
		2,0	1320	807	605	494	370	257	193	135	96	73
200	14	1,0	1216	743	557	454	340	237	178	124	89	66
		1,5	1139	696	522	425	319	222	165	116	83	62
		2,0	1087	665	498	406	305	202	159	110	79	59

Режимы резания инструментами, оснащенными СТМ и керамикой

4.26. Скорость резания v_T стеклотекстолита фрезами с ножами, оснащенными АСБ

Диаметр фрезы, мм	Число зубьев z	Толщина срезаемого слоя t , мм	v_T , при S_z , мм/зуб									
			0,01	0,02	0,03	0,04	0,06	0,10	0,15	0,25	0,4	0,6
63	6	1,0	1271	899	736	635	518	402	328	254	201	169
		1,5	1146	811	662	574	469	363	296	230	181	148
		2,0	880	622	508	440	359	278	226	175	139	114
100	8	1,0	1037	733	599	519	423	328	268	207	164	134
		1,5	822	581	475	411	336	260	212	165	130	106
		2,0	718	508	414	359	293	227	185	144	114	93
125	8	1,0	942	666	544	471	384	298	243	188	149	122
		1,5	746	528	431	373	305	236	187	149	118	96
		2,0	651	461	376	326	266	206	168	130	103	84
160	10	1,0	858	607	495	429	348	271	221	171	136	111
		1,5	677	478	391	339	277	214	175	136	108	87
		2,0	594	420	343	297	242	188	153	119	94	77
200	14	1,0	768	543	444	384	314	243	198	154	121	99
		1,5	610	432	352	305	249	193	158	122	96	79
		2,0	534	378	309	267	218	169	137	107	84	69

4.27. Скорость резания v_T асбокемента фрезами с ножами, оснащенными АСБ

Диаметр фрезы, мм	Число зубьев z	Толщина срезаемого слоя t , мм	v_T при S_z , мм/зуб									
			0,01	0,02	0,03	0,04	0,06	0,10	0,15	0,25	0,4	0,6
63	6	1,0	1398	1016	843	739	613	483	402	319	256	218
		1,5	1214	883	732	641	532	421	349	277	223	185
		2,0	1102	802	665	583	484	381	317	251	202	168
100	8	1,0	1224	890	739	647	537	425	352	277	224	186
		1,5	1064	774	642	563	467	369	306	241	195	162
		2,0	969	704	585	512	425	336	279	219	178	147
125	8	1,0	1149	835	693	607	504	399	331	261	211	175
		1,5	1001	728	604	529	439	349	288	229	183	152
		2,0	907	660	547	480	398	317	261	206	166	138

Режимы резания инструментами, оснащенными СТМ

Продолжение табл. 4.27

Диаметр фрезы, мм	Число зубьев z	Толщина срезаемого слоя t , мм	v_T при S_z , мм/зуб									
			0,01	0,02	0,03	0,04	0,06	0,10	0,15	0,25	0,4	0,6
160	10	1,0	1078	783	651	570	473	375	310	246	198	164
		1,5	940	683	568	497	412	325	271	215	172	143
		2,0	851	618	513	449	373	294	244	194	156	129
200	14	1,0	1008	733	608	533	442	349	289	228	185	153
		1,5	878	638	530	464	385	304	252	200	161	133
		2,0	796	578	480	420	349	276	229	181	146	121

4.28. Поправочные коэффициенты на скорость резания K_{T_v} и K_{B/D_v} при фрезеровании пластмасс торцовыми фрезами с ножами, оснащенными АСБ

Обрабатываемый материал	T , мин	K_{T_v}	B/D	K_{B/D_v}	Обрабатываемый материал	T , мин	K_{T_v}	B/D	K_{B/D_v}
Конструкционный стеклопластик	720	1,0	0,8	1,0	Стеклотекстолит	1680	0,06	0,4	1,35
	960	0,47	0,7	1,11		—	—	0,3	1,53
	1200	0,26	0,6	1,26		—	—	0,2	1,85
	1440	0,16	0,5	1,45	Асбокемент	720	1,0	0,8	1,0
	1680	0,11	0,4	1,73		960	0,55	0,7	1,04
	—	—	0,3	2,17		1200	0,35	0,6	1,08
Стеклотекстолит	—	—	0,2	2,99		1440	0,24	0,5	1,14
	720	1,0	0,8	1,0		1680	0,18	0,4	1,21
	960	0,38	0,7	1,06		—	—	0,3	1,32
	1200	0,18	0,6	1,13		—	—	0,2	1,47
	1440	0,10	0,5	1,22					

П р и м е ч а н и е. Обозначения: B — ширина заготовки, мм; D — диаметр фрезы, мм.

4.29. Коэффициент и показатели степени в формуле скорости резания при торцовом фрезеровании инструментом из АСБ

Обрабатываемый материал	C_v	m	y_v	x_v	U_v
Стеклотекстолит	$5,82 \cdot 10^{12}$	3,33	0,50	0,53	0,43
Конструкционный стеклопластик	$8,33 \cdot 10^{10}$	2,63	0,71	0,16	0,79
Асбокемент	$7,09 \cdot 10^8$	2,06	0,46	0,34	0,28

Режимы резания инструментами, оснащенными СТМ и керамикой

4.30. Коэффициент и показатели степени в формуле тангенциальной составляющей силы резания при торцовом фрезеровании однозубым инструментом из АСБ

Обрабатываемый материал	C_{P_2}	y_{P_2}	x_{P_2}	U_{P_2}	z_{P_2}
Стеклотекстолит	88	0,58	0,83	0,09	-0,06
Конструкционный стеклопластик	78	0,56	0,86	0,08	-0,04
Асбосицемент	85	0,60	0,87	0,08	-0,03

$q = \frac{(\arcsin B/D)z}{180^\circ}$ при симметричном торцовом фрезеровании.
Эффективная мощность резания (кВт)

$$N_a = \frac{P_z v}{61\ 200}.$$

Следует отметить, что диаметр фрезы на скорость и силу резания не влияет. Влияние составляющих режима резания на стойкость алмазного инструмента при фрезеровании пластмасс значительно больше, чем при точении.

4.31. Расстояния, на которые выполняются подвод, врезание и перебег, при симметричном фрезеровании торцевыми фрезами

Ширина фрезеруемой поверхности B , мм	Диаметр фрезы D , мм							
	63	80	100	125	160	200	250	315
10	3	3	3	3	3	4	5	6
16	3	3	3	3	4	4	5	6
20	3	3	3	4	4	5	5	6
25	6	5	5	5	5	5	6	6
30	7	7	6	5	6	5	6	6
40	10	9	8	8	7	7	7	7
50	13	12	10	10	9	9	8	7
65	—	20	17	14	11	11	10	9
80	—	—	24	19	15	14	11	11
100	—	—	—	29	23	19	19	14
125	—	—	—	—	36	27	22	18
160	—	—	—	—	—	45	34	27
200	—	—	—	—	—	—	55	41
250	—	—	—	—	—	—	—	67

Расстояния, на которые выполняются подвод, врезание и перебег при симметричном фрезеровании, приведены в табл. 4.31.

По обрабатываемости фрезерованием пластмассы можно группировать следующим образом.

Режимы резания инструментами, оснащенными СТМ

Пластмасса

- 1 группа Термопластичная без наполнителя и с органическим наполнителем, исключая труднообрабатываемую (низкое качество обработки).
- 2 » Термопластичная с неорганическим наполнителем и труднообрабатываемая с органическим наполнителем; термореактивная без наполнителя.
- 3 » Термореактивная с органическим наполнителем и термопластичная с неорганическим наполнителем.
- 4 » Термореактивная с органическим наполнителем.
- 5 » Термореактивная с наполнителем из одно- или многожильной металлической проволоки.

Поправочные коэффициенты на скорость точения $K_{0\varphi}$ зависят от типа резца (табл. 4.20):

Резец	Проход- ной, $\varphi = 45^\circ$	Проход- ной, $\varphi = 60^\circ$	Подрезной	Отрезной	Расточный
$K_{0\varphi}$	1,0	0,9	0,8	0,7	0,9

Точение алюминиевых сплавов алмазными резцами. Алюминиевые сплавы подразделяют на литейные и деформируемые. Литейные алюминиевые сплавы применяют для получения отливок всех видов, так как они имеют большую жидкотекучесть и малую линейную усадку. Для тонкостенных отливок сложной формы (например, блока двигателя внутреннего сгорания) применяют алюминий-кремниевые литейные сплавы. В зависимости от химического состава литейные алюминиевые сплавы подразделяются на пять групп:

- I — сплавы на основе системы алюминий—магний АЛ8, АЛ13, АЛ22, АЛ23, АЛ23-1, АЛ27, АЛ27-1, АЛ28, АЛ29;
- II — сплавы на основе системы алюминий—кремний АЛ2, АЛ4, АЛ4В, АЛ9, АЛ9В;
- III — сплавы на основе системы алюминий—медь АЛ7, АЛ7В, АЛ19;
- IV — сплавы на основе системы алюминий—кремний—медь АЛ3, АЛ3В, АЛ5, АЛ6, АЛ10В, АЛ14В, АЛ15В;
- V — сплавы на основе системы алюминий — прочие компоненты АЛ1, АЛ11, АЛ16В, АЛ17В, АЛ18В, АЛ20, АЛ24, АЛ25, АЛ26, АЛ30.

Наихудшой обрабатываемостью отличаются сплавы с повышенным содержанием кремния, при точении и фрезеровании их особенно эффективен алмазный инструмент. Поэтому рекомендации разработаны применительно к сплавам V группы АЛ25 и АЛ26 [6].

Режимы резания инструментами, оснащенными СТМ и керамикой

Рекомендуемые геометрические параметры резцов, оснащенных АСПК и АСБ: $\psi = 0 \dots -5^\circ$; $\alpha = \alpha_1 = 12^\circ$; $\lambda = 0$; $\varphi = 40^\circ$; $\varphi_1 = 20^\circ$ для проходных и $\varphi = \varphi_1 = 50^\circ$ для упорных (подрезных) резцов; длина переходной режущей кромки (или радиус при вершине резца) $l_f(r) = 0,1 \dots 0,6$ мм.

Значения подач при точении приведены в табл. 4.32 в зависимости от требуемой шероховатости обработанной поверхности, а скорости резания даны в табл. 4.33. Для расчета следует пользоваться следующими зависимостями: скорость точения

$$(табл. 4.34) v = \frac{C_v}{T^m t^{x_v} S_0^{y_v}}; \text{ тангенциальная составляющая силы}$$

(H) резания (табл. 4.35) $P_z = C_{P_z} v^{2 P_z} t^{x_{P_z}} S_0^{y_{P_z}}$; эффективная мощность (кВт) резания $N = \frac{P_z v}{61200}$. В данном случае $m = 1$, и при заданном режиме резания стойкость (мин) алмазного резца $T = \frac{C_v}{v t^{x_v} S_0^{y_v}}$.

4.32. Подача при точении алюминий-кремниевых сплавов резцами, оснащенными АСПК и АСБ

Обрабатываемый материал	Инструментальный материал	Rz мкм	Ra	S_0 , мм/об
			мкм	
АЛ25	АСПК	—	$\leq 1,25$	$\leq 0,1$
		—	$1,25 \dots 2,5$	$0,1 \dots 0,2$
		10—20	$2,5 \dots 5,0$	$0,2 \dots 0,3$
	АСБ	—	—	$0,3 \dots 0,4$
		10—15	$\leq 2,5$	$\leq 0,1$
		15—30	$2,5 \dots 3,7$	$0,1 \dots 0,2$
АЛ26	АСПК	—	$3,7 \dots 7,0$	$0,2 \dots 0,3$
		10—20	$7,0 \dots 10,0$	$0,3 \dots 0,4$
		20—32	—	—
	АСБ	—	$\leq 0,9$	$\leq 0,1$
		—	$0,9 \dots 2,2$	$0,1 \dots 0,2$
		10—25	$2,2 \dots 5,0$	$0,2 \dots 0,3$
		25—40	$5,0 \dots 8,0$	$0,3 \dots 0,4$

4.33. Скорость резания (м/мин) при точении алюминий-кремниевых сплавов резцами, оснащенными АСПК и АСБ

1. Резцы из АСПК — сплав АЛ25

Толщина срезаемого слоя t , мм	S_0 , мм/об															
	0,1				0,2				0,3				0,4			
	при T , мин															
	360	480	600	720	360	480	600	720	360	480	600	720	360	480	600	720
0,1	579	435	348	290	455	342	274	229	394	296	237	198	357	268	215	179
0,5	304	229	184	154	239	180	144	120	207	156	125	105	188	141	113	94
1,0	231	174	140	117	181	136	109	91	157	118	95	80	143	107	86	72

2. Резцы из АСБ — сплав АЛ25

Толщина срезаемого слоя t , мм	S_0 , мм/об															
	0,1				0,2				0,3				0,4			
	при T , мин															
	250	300	350	400	250	300	350	400	250	300	350	400	250	300	350	400
0,5	304	254	218	191	239	200	172	151	207	173	149	131	190	158	136	119
1,0	231	193	166	146	181	151	130	114	157	131	113	99	144	120	103	90
1,5	198	165	142	125	155	130	112	98	135	113	97	85	122	102	88	77
2,0	176	147	126	111	139	116	100	88	120	100	86	76	109	91	78	68

Режимы резания инструментами, оснащенными СТМ и керамикой

Продолжение табл. 4.33

3. Резцы из АСПК — сплав АЛ26

Толщина срезаемого слоя t , мм	S_0 , мм/об															
	0,1				0,2				0,3				0,4			
	при T , мин															
	180	240	300	360	180	240	300	360	180	240	300	360	180	240	300	360
0,1	568	426	341	285	415	312	250	209	259	245	208	174	304	228	183	152
0,5	298	224	180	150	218	164	132	110	182	137	110	92	160	120	96	80
1,0	226	170	136	114	165	124	100	84	138	104	84	70	121	91	73	61

4. Резцы из АСБ — сплав АЛ26

Толщина срезаемого слоя t , мм	S_0 , мм/об															
	0,1				0,2				0,3				0,4			
	при T , мин															
	125	150	175	200	125	150	175	200	125	150	175	200	125	150	175	200
0,5	298	249	214	188	218	182	156	137	182	152	131	115	160	133	114	100
1,0	226	189	162	142	165	138	119	105	133	111	96	84	121	101	87	76
1,5	192	160	138	120	140	117	101	89	117	98	84	74	103	86	74	65
2,0	171	143	123	108	125	105	90	79	105	88	76	67	92	77	66	58

Режимы резания инструментами, оснащенными керамикой

4.34. Коэффициент и показатели степени в формуле скорости резания при точении алюминий-кремниевых сплавов резцами, оснащенными АСПК и АСБ

Обрабатываемый материал	Инструментальный материал	t , мм	C_v	y_v
АЛ25	АСПК	$\leq 1,0$	37 100	0,35
	АСБ	$\leq 2,0$	26 000	0,35
АЛ26	АСПК	$\leq 1,0$	14 420	0,45
	АСБ	$\leq 2,0$	10 000	0,45

П р и м е ч а н и е. $v \leq 700$ м/мин; $S_0 \leq 0,4$ мм/об; $m = 1$; $x_d = 0,4$.

4.35. Коэффициент и показатели степени в формуле тангенциальной составляющей силы резания при точении алюминий-кремниевых сплавов резцами, оснащенными АСПК и АСБ

Обрабатываемый материал	Инструментальный материал	t , мм	C_{Pz}	x_{Pz}	y_{Pz}	z_{Pz}
АЛ25	АСПК	До 1,0	242	0,74	0,56	0,08
	АСБ	До 2,0	78	0,80	0,59	0,28
АЛ26	АСПК	До 1,0	144	0,63	0,48	0,10
	АСБ	До 2,0	66	0,64	0,53	0,26

П р и м е ч а н и е. $v \leq 700$ м/мин; $S_0 \leq 0,4$ мм/об.

4.2. Режимы резания инструментами, оснащенными керамикой

В табл. 4.36, 4.37 даны рекомендуемые диапазоны режимов резания резцами и фрезами с пластинами из керамики различных марок для широкого спектра обрабатываемых материалов.

Для обработки конструкционных сталей с НВ 179—260, закаленных сталей с HRC 25—65, серых и высокопрочных чугунов резцами с пластинами из ВОК-60 и В-3 разработаны [8] общемашиностроительные нормативы по точению и определению расхода инструмента. Порядок выбора этапов работ по нормативам приведен в табл. 4.38.

По табл. 1.5 определяем марку керамики в зависимости от обрабатываемого материала, его твердости и вида обработки. Для обработки конструкционных углеродистых и легированных сталей с НВ 260 следует применять керамику ВОК-60, а для обработки этих же сталей с $\text{НВ} > 260$ — керамику ВОК-60 и В-3. Для обработки серых, ковких и высокопрочных чугунов рекомендуется применять керамику ВОК-60.

Режимы резания инструментами, оснащенными СТМ и керамикой

4.36. Рекомендуемые диапазоны режимов резания резцами с пластинами из керамики

Обрабатываемый материал	Твердость	v , м/мин	S , мм/об	t , мм
Сталь: качественная конструкционная	HB \leq 229	300—700 150—300	0,5—0,15 0,5—0,10	0,5—1,5 1,0—5,0
	HB \leq 269	300—700 100—300	0,5—0,15 0,5—0,10	0,5—1,5 1,0—4,0
	улучшенная	HB 229—380	300—600 100—350	0,40—0,10 0,35—0,10
		HRC _o 36—45	100—300 70—180	0,25—0,10 0,60—0,10
	пементуемая закаленная	HRC _o 48—57	60—150	0,15—0,05 0,15—0,08
		HRC _o 57—64	40—120	0,12—0,04 0,15—0,08
Чугун: серый	HB 143—278	300—900 200—500	0,5—0,10 0,5—0,10	0,5—1,5 1,0—5,0
		HB 140—369	200—400 100—250	0,35—0,10 0,40—0,15
	ковкий	HB 163—269	200—100 150—250	0,35—0,10 0,40—0,15
		отбеленный	HB 400—650	40—150 15—40
				0,15—0,08 0,30—0,10
				0,5—1,5 1,0—2,5

4.37. Рекомендуемые режимы обработки торцовыми фрезами с пластинами из ВОК-60, В-3

Обрабатываемый материал	Вид обработки	Режимы резания		
		v , м/мин	S , мм/зуб	t , мм
Сталь, HRC _o 35—45 Чугун, HB 169—239	Чистовая	180—600	0,003—0,015	0,2—0,8
	Получистовая	180—600	0,015—0,10	0,5—1,6
	Чистовая	300—800	0,02—0,05	0,5—1,5
	Получистовая	300—500	0,02—0,05	0,5—2,0
		300—500	0,04—0,15	0,5—2,0

Режимы резания инструментами, оснащенными керамикой

4.38. Последовательность выбора режимов резания при точении резцами и определения расхода керамики

№ этапа	Этап работ, расчетная формула	Исходные данные
1	Выбор марки керамики	Марка и твердость обрабатываемого материала
2	Выбор типа державки резца, угла в плане ϕ	Операция; форма обрабатываемой поверхности; жесткость системы станок — приспособление — инструмент—заготовка
3	Выбор формы режущей пластины	То же
4	Выбор геометрических параметров режущей части пластин	Обрабатываемый материал; характер обработки; жесткость системы станок — приспособление — инструмент—заготовка
5	Выбор размера сечения державки резца	Паспорт станка; тип державки; размер пластины
6	Выбор подачи S_0 и корректировка по паспорту станка	Требуемый параметр шероховатости обрабатываемого материала; припуск, радиус при вершине r
7	Выбор скорости резания v , мощности резания N . проверка N по паспорту станка	Материал; припуск; подача; стойкость; паспорт станка
8	Расчет рекомендуемой частоты вращения шпинделя и корректировка по паспорту станка $n = \frac{1000v}{\pi D}$	Скорость резания, диаметр детали; паспорт станка
9	Расчет длины рабочего хода суппорта; $L_{p.x} = L_{рез} + y + L_{доп}$	Длина обрабатываемой поверхности $L_{рез}$, расстояние, на которое перемещается суппорт при врезании (y) и перебеге ($L_{доп}$) резца
10	Расчет основного времени обработки; $t_0 = \frac{L_{p.x}}{S_0 n_{ст}}$	$L_{p.x}; S_0 \approx S_{01} n_{ст}$
11	Расчет числа расходуемых пластин n_p на 100 ч основного времени	Форморазмеры пластин; стойкость T_p
12	Расчет числа державок, опорных пластин и накладных стружколомов на 100 ч основного времени	Расход пластин n_p ; форморазмер пластин
13	Укрупненный расчет расхода в зависимости от трудоемкости механической обработки	Группа оборудования; тип производства; серийность; суммарная трудоемкость механической обработки

Режимы резания инструментами, оснащенными СТМ и керамикой

4.39. Резцы с механическим креплением многогранных пластин из керамики для наружного точения

Операция	Резец проходной				
	подрезной прямой с трехграниной пластиной $\varphi = 90^\circ$	прямой с квадратной пластиной $\varphi = 75^\circ$	подрезной прямой с квадратной пластиной $\varphi = 45^\circ$	подрезной отогнутый с квадратной пластиной $\varphi = 45^\circ$	подрезной отогнутый с ромбической пластиной $\varphi = 95^\circ$ (ГУ 2-035-861-82)
Наружное продольное точение с образованием фаски под углом ξ	+	+	+	+	+
Поперечное точение			+		
Точение конической поверхности с выводом резца под углом $\xi, {}^\circ$:					
75	+				
60	+	+			
45	+	+			
30	+	+	+	+	+
25	+	+	+	+	+
Точение конической поверхности с врезанием резца под углом $\xi, {}^\circ$:					
30			+		
10	+		+		+
Подрезка торца	+			+	+

П р и м е ч а н и я: 1. Знаком «+» обозначены рекомендуемые типы державок резцов.
2. Резцы по ГОСТ 26611—85 и ГОСТ 26613—85.

Режимы резания инструментами, оснащенными керамикой

О технологических возможностях резцов, оснащенных пластинами из керамики, при обработке основных форм поверхностей тел вращения на станках с ручным управлением можно судить по данным, приведенным в табл. 4.39, 4.40.

При равных возможностях резцов следует выбирать державки с большими углами в плане $\varphi = 75 \dots 90^\circ$ (при нормальной жесткости системы станок—приспособление—инструмент—заготовка) и $\varphi = 45^\circ$ (для повышенной жесткости системы станок—приспособление—инструмент—заготовка). Это особенно необходимо учитывать при точении валов, осей.

Форму пластин выбирают по табл. 4.41 по наивысшему баллу для каждого вида обработки. Пользуясь табл. 4.41 и 4.42, можно окончательно выбрать тип резца.

Геометрические параметры режущей части резцов определяются конструктивными параметрами режущих пластин, их установкой

4.40. Резцы с механическим креплением многогранных пластин из керамики для растачивания

Операция	Резец расточный			
	прямой с квадратной пластиной $\varphi = 45^\circ$	отогнутый с квадратной пластиной $\varphi = 75^\circ$	отогнутый с трех- гранный пластиной $\varphi = 90^\circ$	отогнутый с ромби- ческой пластиной $\psi = 95^\circ$
Продольное растачивание	+	+	+	+
Подрезка торца при подаче к центру Растачивание конической поверхности с врезанием резца под углом $\xi, {}^\circ$:				+
75				
60				
45		+	+	+
30		+	+	+
25	+	+	+	+
Растачивание конической поверхности с выводом резца под углом $\xi, {}^\circ$:				
30				+
25	+			+

П р и м е ч а н и я: 1. Знаком «+» обозначены рекомендуемые типы державок резцов.
 2. Наименьший диаметр растачиваемого отверстия 40 мм.
 3. Резцы по ГОСТ 26612—85 и ТУ 2-035-861—82.

Режимы резания инструментами, оснащенными СТМ и керамикой

4.41. Оценка работоспособности керамических пластин различной формы

Характер обработки	Форма стандартных пластин			
	трех- гранная	квадратная	ромби- ческая	круглая
Тонкое точение	5	5	5	4
Чистовое точение:				
без удара	5	5	5	4
с ударом	2	4	3	5
Получистовое точение	3	5	4	4

4.42. Ширина и угол наклона фаски на режущей пластине

Обрабатываемый материал	Твердость	Угол наклона фаски γ_f , °	Ширина фаски t_f , мм
Сталь конструкционная, углеродистая и легированная	HB 260 HRC 25—40 HRC 40—50 HRC > 50	0 ... —15 —15 ... —20 —20 —30	0,2 0,2—0,4 0,4—0,8 0,4—0,8
Чугун серый и высокопрочный	HB ≤ 269 HB > 269	—20 ... —30	0,2—0,4 0,4—0,8

4.43. Подачи при точении резцами с пластинами из ВОК-60 и В-3

Обрабатываемый материал	HRC	Глубина резания t , мм	Подача S_0 , мм/об
Сталь конструкционная легированная	≤40	0,5—1,0 1,0—1,5 1,5—2,5	0,3—0,2 0,25—0,12 0,15—0,1
	40—50	0,5—1,0 1,0—1,5	0,15—0,1 0,12—0,08
	50—65	0,1—0,3 0,3—0,5	0,12—0,08 0,1—0,05
Чугун серый высокопрочный		0,3—1,5 1,5—4,0	0,4—0,3 * 0,3—0,2

П р и м е ч а н и е. При работе на станках с ЧПУ в целях повышения надежности обработки при врезании и выходе без заранее подготовленной фаски, а также при контурной обработке при переходе цилиндр—торец назначать подачи в пределах 50 % табличных значений, а затем увеличивать до 125 %.

* Возможно применение подач до 0,6 мм/об при повышенной жесткости технологической системы.

Режимы резания инструментами, оснащенными керамикой

в державке резца (табл. 4.42). Сечения державок резцов должны соответствовать присоединительным размерам паза резцодержателя станка или переходных втулок-резцодержателей. При работе с рекомендуемыми в табл. 4.43 продольными подачами (при достаточной жесткости системы СПИД и работе с пластинами, имеющими $r = 1,2$ мм) достигается $R_a \leq 1,25$ мкм (при работе острым инструментом) и $R_a \leq 2,5$ мкм (при работе затупленным инструментом) при точении сталей с НВ ≤ 250 и чугунов и соответственно $R_a \leq 0,63$ мкм и $R_a \leq 2,5$ мкм при точении закаленных сталей. При работе с пластинами, имеющими другие радиусы при вершине или условия работы, отличные от рекомендуемых, подачи следует подбирать экспериментально, принимая нормативные значения за базовые.

Скорость и мощность, потребные для резания, определяют по табл. 4.44—4.46. В табл. 4.44 и 4.46 даны значения скорости и мощности резания при средней стойкости режущей кромки пластин $T = 50$ мин (точение сталей с НВ 179—260) и $T = 100$ мин (точение чугуна с НВ 169—229). В табл. 4.45 приведены рекомендуемые скорости резания закаленных сталей при средней стойкости режущей кромки $T = 50$ мин.

При стойкости, отличной от приведенной в таблицах, скорость резания и мощность следует умножать на поправочный коэффициент K_{T_v} , приведенный в табл. 4.47 для сталей с НВ 179—260 и чугунов. При растачивании или поперечном точении табличные значения скорости и мощности резания следует умножить на коэффициент $K_{\text{обр}}$, зависящий от вида обработки (табл. 4.48).

При работе на автоматизированном оборудовании, станках с ЧПУ и многих производственных модулях, где требуется вероятность безотказной работы $P \gg 0,5$, следует уточнить значения стойкости для заданной вероятности безотказной работы, умножив $P = 0,5$ на коэффициент K_{T_R} , значения которого приведены в табл. 4.49 для сталей с НВ 179—260 и чугунов. Затем корректируют (повышают) стойкость для заданного P путем изменения скорости резания.

Выбранные режимы резания следует откорректировать в соответствии с паспортными данными станка.

Основное (машинное) время обработки T_0 рассчитывают в соответствии с откорректированными значениями подач S_0 и частоты вращения шпинделя станка n_0 .

В табл. 4.50 приведены расчетные значения времени работы пластин из ВОК-60 до их смены в зависимости от вероятности безотказной работы при различных скоростях резания стали 45 и чугуна СЧ 21. Режимы резания: по стали — $t = 0,8$ мм; $S_0 = 0,2$ мм/об; по чугуну — $t = 1$ мм; $S_0 = 0,25$ мм/об.

4.44. Скорость и мощность при точении стали с НВ 179—260 резцами с пластинами из ВОК-60 и В-3

Глубина резания t_s мм	$\frac{v_r \text{ м/мин}}{N, \text{ кВт}}$ при $S_0, \text{ мм/об}$, до						
	0,08	0,12	0,16	0,2	0,25	0,3	0,35
$\leq 0,5$	$\frac{720-570}{1,26-0,99}$	$\frac{640-500}{1,55-1,21}$	$\frac{580-455}{1,89-1,48}$	$\frac{545-425}{2,09-1,64}$	$\frac{510-400}{2,29-1,79}$	$\frac{480-380}{2,51-1,96}$	$\frac{460-360}{2,63-2,06}$
$0,5-1,0$	$\frac{560-440}{1,97-0,77}$	$\frac{500-390}{2,30-0,90}$	$\frac{450-360}{2,96-1,16}$	$\frac{425-300}{3,25-1,27}$	$\frac{400-310}{4,02-1,58}$	$\frac{375-295}{4,75-1,86}$	$\frac{360-280}{5,38-2,10}$
$1,0-1,5$	$\frac{485-380}{2,58-1,35}$	$\frac{430-340}{3,17-1,65}$	$\frac{390-310}{3,85-2,00}$	$\frac{365-290}{4,23-2,20}$	$\frac{345-270}{4,85-2,53}$	$\frac{325-255}{5,28-2,75}$	$\frac{315-245}{5,79-3,02}$
$1,5-2,5$	$\frac{435-340}{3,88-1,81}$	$\frac{390-300}{4,77-2,23}$	$\frac{355-280}{5,79-2,72}$	$\frac{330-260}{6,44-3,02}$	$\frac{310-245}{7,32-3,44}$	$\frac{290-255}{7,94-3,73}$	$\frac{280-220}{8,70-4,09}$

П р и м е ч а н и я: 1. Коэффициент $K_{uv} = 1$.

2. Припуск — однородный, без включений.

4.45. Скорость точения закаленных сталей резцами с пластинами из ВОК-60

HRC	Толщина срезаемого слоя, мм	<i>v, м/мин, при S₀, мм/об *</i>							
		0,05	0,08	0,1	0,12	0,15	0,2	0,25	0,3
25—40	0,5—1,0	—	—	—	—	—	330—310	310—290	280—260
	1,0—1,5	—	—	—	380—310	320—300	300—280	280—260	—
	1,5—2,5	—	—	330—310	210—290	280—260	—	—	—
40—50	0,5—1,0	—	—	260—240	230—210	190—170	—	—	—
	1,0—1,5	—	270—260	230—210	290—170	—	—	—	—
50—65	0,1—0,3	—	140—120	120—100	90—70	—	—	—	—
	0,3—0,5	140—120	120—100	90—70	—	—	—	—	—

* Скорость дана для $T_p = 50$ мин.

4.46. Скорость и мощность при точении серого чугуна с НВ 169—222 резцами с пластинами из ВОК-60 и В-3

Толщина срезаемого слоя <i>t</i> , мм	$\frac{v_0}{N}, \text{ м/мин}$ при $S_0, \text{ мм/об}$, не более							
	0,08	0,12	0,16	0,25	0,30	0,35	0,40	0,45
До 0,5	644—504 0,93—0,73	599—469 1,08—0,85	553—433 1,36—1,06	491—385 1,52—1,19	463—363 1,56—1,22	429—336 1,63—1,27	406—318 1,66—1,30	384—300 1,71—1,35
0,5—1,0	519—407 1,53—0,59	486—380 1,79—0,69	452—353 2,22—0,88	407—318 2,59—1,02	362—283 2,50—0,98	322—252 2,50—0,98	282—221 2,35—0,92	249—194 2,25—0,88
1,0—2,0	370—300 2,21—0,87	362—283 2,70—1,05	350—280 3,50—1,37	322—252 4,12—1,62	282—221 3,96—1,55	260—203 4,11—1,61	237—185 3,96—1,55	209—164 5,89—1,52
2,0—3,0	333—261 2,97—1,55	316—247 3,57—1,86	305—239 4,59—2,39	282—221 5,51—2,88	266—208 4,61—2,94	237—185 5,67—2,92	203—159 5,22—2,72	186—146 5,29—2,77
3,0—4,0	305—239 3,65—2,14	284—230 4,42—2,60	277—217 5,59—3,29	243—190 6,37—3,74	215—168 6,13—3,61	198—155 6,42—3,77	186—146 6,42—3,77	167—133 6,48—3,80

П р и м е ч а н и я: 1. Коеффициент $K_{v_0} = 1$.

2. Припуск — однородный, без включений.

Режимы резания инструментами, оснащенными керамикой

4.47. Коэффициент стойкости K_{T_v} в зависимости от скорости резания и коэффициент расхода пластин K_p в зависимости от стойкости

Коэффициент	Стойкость, мин					
	До 20	20	40	50	100	120
K_{T_v} :						
	сталь с НВ 179—260	1,4	1,35	1,2	1,0	0,67
K_p	чугун	2,0	1,5	1,4	1,3	1,0
		2,5	2,0	1,5	1,0	0,5
						0,4

За критерий изнашивания принят износ по задней поверхности $h_3 = 0,4$ мм.

Приведенные в таблицах данные могут быть использованы при определении периода регламентированной смены инструмента для заданной надежности работы инструмента.

4.48. Поправочный коэффициент $K_{обр}$ в зависимости от вида обработки

Обработка	$K_{обр}$
Поперечное точение при d_{min}/d_{max} :	
0—0,5	1,35
0,5—0,7	1,25
0,7—1,0	1,05
Растачивание отверстий диаметром d , мм:	
≤ 75	0,85
> 75	1,0

скол и поломки пластины.

К определению предельно допустимого износа на каждой операции в крупносерийном и массовом производстве следует подходить индивидуально, а затем рассчитывать потребность в инструментах по результатам эксперимента.

Приведенные в табл. 4.51—4.53 нормы расхода пластин, державок и деталей крепления являются ориентировочными и предназначены для укрупненных расчетов исходя из 100 ч основного (машинного) времени или определенной трудоемкости ме-

Определение расхода инструмента. За предельно допустимые значения износа пластины из керамики можно принять ориентировочно износ по задней поверхности для сталей ($h_{3max} = 0,3$ мм) и чугунов ($h_{3max} = 0,4$ мм); в ряде случаев указанные значения могут быть превышены при сохранении достаточно высокой надежности обработки, в других случаях надежность резко падает уже при $h_3 = 0,15$. Наиболее частые виды отказа — «чешуйчатый»

Режимы резания инструментами, оснащенными СТМ и керамикой

4.49. Коэффициент стойкости K_{TR} в зависимости от вероятности безотказной работы резцов P

v , м/мин	Обрабатываемый материал	K_{TR} для P				
		0,5	0,6	0,7	0,8	0,9
200—350	Сталь, НВ 179—260	1,0	0,97	0,94	0,91	0,86
	Чугун	1,0	0,89	0,77	0,63	0,43
350—450	Сталь, НВ 179—260	1,0	0,94	0,87	0,79	0,77
	Чугун	1,0	0,90	0,80	0,67	0,59
>450	Сталь, НВ 179—260	1,0	0,92	0,89	0,72	0,66
	Чугун	1,0	0,94	0,87	0,80	0,69

4.50. Стойкость резцов с пластинами из ВОК-60 и В-3 при различных скоростях резания в зависимости от вероятности безотказной работы P

P	v , м/мин *			
	200	300	400	500
0,5	140,0/66,0	35,7/38,0	38,8/26,0	7,1/16,0
0,6	135,3/58,35	34,9/33,8	34,6/23,7	6,65/15,45
0,7	130,3/50,25	34,1/29,4	30,19/21,17	6,1/14,88
0,8	124,5/40,74	33,2/24,2	24,9/18,25	5,6/14,20
0,9	116,4/27,54	31,9/17,0	17,7/14,20	4,8/13,25
1,0	48,0/—	20,9/—	—	—/5,3

* В числителе — при обработке незакаленных сталей, в знаменателе — при обработке чугуна.

Режимы резания инструментами, оснащенными керамикой

4.51. Расход многогранных пластин из керамики на 100 ч основного времени

Форма пластины	Диаметр вписанной окружности <i>d</i>	Толщина пластины <i>s</i>	Среднее число фактически работающих граней	Суммарная стойкость пластины $T_{P\Sigma}$, ми	Расход пластиин на 100 ч основного времени, шт.
	мм	мм			
Трехгранная	6,35	3,18 4,76	4,2	252	24
	9,525	3,18 4,76 6,35			
	12,7	4,76 7,93			
Квадратная	9,525	3,18 4,76	5,6	336	18
	12,7	4,76 6,35			
	15,875	4,76 7,93			
	19,05	6,35 7,93			
Ромбическая	12,7	4,76 7,93	2,8	168	36
	15,875	4,76 7,93			
Круглая	6,35	3,18	7,0	420	14
	9,525	3,18 4,76 7,93			
	12,7	4,76 7,93			
	15,875	7,93			

Режимы резания инструментами, оснащенными СТМ и керамикой

4.52. Расход (шт.) сборных элементов резца на один корпус

Форма пластины	Режущие пластины	Опорные пластины	Стружколовы
Трехгранная	67		
Четырехгранная	50		
Ромбическая	100		
Круглая	40		

4.53. Расход (шт.) пластин из керамики в зависимости от трудоемкости обработки

Коэффициент основного времени K_{T_0}	Суммарная стойкость $\sum T$, мин	Расход при трудоемкости T_B , ч							
		1000	2000	4000	6000	8000	10 000	15 000	20 000
0,2	168	71	143	286	429	572	710	1065	2130
	252	48	95	190	286	381	481	721	1442
	336	36	71	143	214	286	357	535	1071
	420	29	57	114	171	228	285	429	858
0,25	168	89	179	357	536	714	890	1335	2670
	252	60	119	239	358	477	596	894	1789
	336	45	89	178	266	355	448	672	1345
	420	36	71	144	214	288	360	535	1071
0,3	168	107	214	428	642	856	1070	2140	3210
	252	71	142	285	427	569	712	1424	2136
	336	53	106	212	319	425	531	1062	1594
	420	43	86	171	257	343	429	643	1286
0,35	168	125	250	500	750	1000	1250	2500	3750
	252	83	167	335	502	669	837	1673	2510
	336	62	124	249	374	498	623	1245	1868
	420	50	100	200	300	400	500	750	1000
0,4	168	143	286	572	858	1144	1430	2145	4290
	252	95	190	381	571	762	952	1428	2857
	336	71	143	285	428	571	714	1071	2141
	420	57	114	228	343	457	571	857	1714
0,45	168	161	321	643	964	1288	1610	2415	4830
	252	107	214	427	641	854	1068	1602	3204
	336	80	159	320	481	637	797	1195	2390
	420	64	128	257	385	514	642	964	1928

Режимы резания инструментами, оснащенными керамикой

Продолжение табл. 4.53

Коэффициент основного времени K_{T_0}	Суммарная стойкость $\sum T$, мин	Расход при трудоемкости T_i , ч							
		1000	2000	4000	6000	8000	10 000	15 000	20 000
0,5	168	179	357	714	1071	1428	1790	2685	5370
	252	119	238	477	716	954	1193	1789	3578
	336	89	178	355	533	710	888	1332	2664
	420	71	143	285	428	571	714	1071	2143
0,55	168	196	393	786	1178	1568	1960	2940	5880
	252	131	263	524	787	1041	1308	1962	3925
	336	98	196	391	587	784	979	1469	2938
	420	79	157	314	471	628	785	1178	2357
0,6	168	214	428	856	1284	1712	2140	3210	6420
	252	143	287	573	860	1146	1433	2149	4299
	336	107	214	428	642	851	1070	1606	3212
	420	86	171	343	514	686	857	1286	2571

При меч ани е. Расход пластин $n_p = \frac{T K_{T_0}}{\sum T}$.

нической обработки, а также для расчетов потребности в инструментах в условиях мелко- и среднесерийного производства по усредненным показателям нескольких технологических процессов обработки группы деталей. Расход пластин различных форм на 100 ч основного времени в табл.

4.54. Отношение K_{T_0} основного времени к штучному времени работы оборудования

Металлорежущие станки	Производство		
	массовое и крупно-серийное	средне-серийное	единичное и мелко-серийное
Токарные	0,62	0,50	0,30
Расточные	0,60	0,40	0,30
Одношпиндельные горизонтальные многорезцовые полуавтоматы	0,55	0,50	—
Координатно-расточные	0,30	0,25	0,20

4.51 дан для стойкости $T = 50$ мин. Если стойкость отличается от указанного значения, то расход пластин на 100 ч основного времени необходимо умножить на коэффициент K_p , приведенный в табл. 4.47.

Для определенного числа режущих пластин данной формы рассчитывают требуемое число державок, опорных пластин и стружколомов.

Режимы резания инструментами, оснащенными СТМ и керамикой

4.55. Ориентировочная масса пластин

Цифровое обозначение пластин	Ориентировочная масса пластин, г		Цифровое обозначение пластин	Ориентировочная масса пластин, г	
	ВОК-60	В-3		ВОК-60	В-3
01111—110304 01131—110304	0,70	0,75	03111—120608 03131—120608	4,29	4,59
01111—110308 01131—110308	0,68	0,73	03111—120612 03131—120612	4,27	4,57
01111—160304 01131—160304	1,57	1,68	03111—120616 03131—120616	4,24	4,55
01111—160308 01131—160308	1,56	1,67	03111—150408 03131—150408	5,03	5,39
01111—160403 01131—160403	2,35	2,52	03111—150412 03131—150412	5,01	5,37
01111—160408 01131—160408	2,33	2,50	03111—150416 03131—150416	4,99	5,35
01111—160412 01131—160412	2,30	2,46	03111—150708 03131—150708	8,38	8,97
01111—160608 01131—160608	3,11	3,33	03111—150712 03131—150712	8,35	8,95
01111—160612 01131—160612	3,06	3,28	03111—150716 03131—150716	8,32	8,91
01111—220408 01131—220408	4,16	4,46	03111—190616 03131—190716 03111—190725	9,62 12,01 11,90	10,31 12,87 12,75
01111—220412 01131—220412	4,12	4,42	05111—120404 05131—120404	3,22	3,45
01111—220416 01131—220416	4,08	4,38	05111—120408 05131—120408	3,21	3,43
01111—220708 01131—220708	6,93	7,43	03111—090304 03131—090304	1,21	1,30
01111—220712 01131—220712	6,88	7,37	03111—090308 03131—090308	1,20	1,29
01111—220716 01131—220716	6,80	7,29	03111—090408 03131—090408	1,80	1,93
03131—120424 03131—120432	3,13 3,05	3,35 3,27			

Режимы резания инструментами, оснащенными керамикой

Продолжение табл. 4.55

Цифровое обозначение пластин	Ориентировочная масса пластин, г		Цифровое обозначение пластин	Ориентировочная масса пластин, г	
	ВОК-60	В-3		ВОК-60	В-3
03111—090412 03131—090412	1,79	1,92	05111—160708 05131—160708	8,50	9,11
03111—120404 03131—120404	3,22	3,45	05111—160712 05131—160712	8,48	9,08
03111—120408 03131—120408	3,21	3,44	05111—160716 05131—160716	8,44	9,04
03111—120412 03131—120412	3,20	3,43	05111—160725 05131—160725	8,33	8,92
03111—120416 03131—120416	3,18	3,41	12131—060000 12131—090400	0,42 1,42	0,45 1,53
05111—120708 05131—120708	5,43	5,82	12131—090700 12131—120400	2,37 2,53	2,54 2,71
05111—120712 05131—120712	5,41	5,79	12131—120700 12131—150700	4,22 6,59	4,52 7,06
05111—120716	5,37	5,76			
05111—160408 05131—160408	5,03	5,39			

Укрупненный расход пластин из керамики в зависимости от трудоемкости механической обработки приведен в табл. 4.52. В зависимости от группы металлорежущих станков и серийности производства по табл. 4.54 или по фактическим данным по участку, цеху, рассматриваемой группе деталей определяют отношение основного времени к штучному K_{T_0} . По табл. 4.54 для определенного значения K_{T_0} , суммарной стойкости пластины, взятой по табл. 4.51, и трудоемкости механической обработки определяют расход пластин. Масса пластин дана в табл. 4.55.

5. ТЕХНОЛОГИЧЕСКИЕ ОСОБЕННОСТИ И ОПЫТ ПРИМЕНЕНИЯ ИНСТРУМЕНТОВ, ОСНАЩЕННЫХ СТМ И КЕРАМИКОЙ

5.1. Технологические особенности применения инструментов, оснащенных СТМ и керамикой

При сопоставлении диапазонов скоростей точения сталей и чугунов резцами из композита и твердых сплавов можно сделать следующие выводы. Скорости резания близких по твердости сталей и чугунов твердыми сплавами примерно одинаковы; скорости резания чугунов композитами выше, чем скорости резания сталей композитами, причем разница резко возрастает по мере уменьшения твердости обрабатываемых материалов.

При точении сталей композитами твердость сталей мало сказывается на скорости резания, но она в значительной степени влияет на скорость резания твердыми сплавами (изменяется в 15—20 раз). При точении чугунов их твердость оказывает существенное влияние на скорость резания для обоих инструментальных материалов, но особенно заметно для твердых сплавов (изменяет в 15 раз) (табл. 5.1).

Композиты эффективнее твердых сплавов при чистовом точении закаленных сталей с $HRC_9 > 45$ и чугунов любой твердости. При сопоставлении композитов с керамикой определяющим является характер затупления режущей кромки резца. Керамика позволяет точить «сырые» конструкционные стали со скоростью $v = 600 \dots 1200$ м/мин, а композиты — со скоростью не выше 200 м/мин. Скорость точения высокотвердых чугунов и сталей резцами из СТМ выше, чем скорость точения этих материалов резцами из керамики.

При сопоставлении скоростей торцового фрезерования фрезами, оснащенными композитом и твердым сплавом, очевидно преимущество композитов перед твердыми сплавами при рекомендуемых для композитов сечениях среза. Фрезерование чугунов и сталей инструментом из композита принципиально отличается от обработки твердосплавными фрезами: при обработке инструментами, оснащенными композитами, скорость резания сталей в 4—8 раз, а чугунов в 10—30 раз выше; подача на зуб соответственно в 2—5 раз, а силы резания в 2—4 раза меньше; потребляемая мощность в 3—8 раз больше, удельный расход электроэнергии на деталь остается неизменным; отклонение от плоскости и параметр шероховатости обработанной поверхности в 2—4 раза ниже; отсутствует наклеп (из-за высоких температур в зоне резания, превышающих 1000 °C); производительность в 1,5—3 раза выше (табл. 5.2).

Технологические особенности инструментов

**5.1. Скорость точения (м/мин)
чугунов и сталей резцами,
оснащенными композитом или
твердым сплавом**

Обрабатываемый материал	Композит	Твердый сплав
Сталь, HB 150—250	100—200	130—300
Сталь, HRC ₉ 45—55	80—160	25—45
Сталь, HRC ₉ 60—70	60—120	10—15
Серый чугун, HB 120—240	600—1000	100—200
Высокопрочный чугун, HB 160—300	400—800	50—100
Закаленный чугун, HB 400—600 (HRC ₉ 40—60)	50—150	10—20

**5.2. Скорость обработки (м/мин)
чугунов и сталей фрезами,
оснащенными композитом или
твердым сплавом**

Обрабатываемый материал	Композит	Твердый сплав
Сталь, HB 150—250	400—900	100—300
Сталь, HRC ₉ 45—55	200—500	30—70
Сталь, HRC ₉ 60—70 (кроме быстрорежущей)	80—200	—
Серый чугун, HB 120—240	800—3000	70—200
Высокопрочный чугун, HB 160—300	500—2000	50—80
Закаленный чугун, HB 400—600	200—800	10—20

Точение и фрезерование СТМ на основе нитрида бора зарубежного производства выполняют на менее высоких скоростях резания, но с существенно большими сечениями среза, более свойственными твердосплавному инструменту.

Точение и фрезерование инструментом из композита по ряду параметров также резко различаются. Между тем рекомендации по точению часто относят к фрезерованию, что недопустимо. Различие заключается в следующем: точение сырых сталей резцами из композита осуществляется на скоростях 100—200 м/мин, что экономически невыгодно по сравнению с точением твердосплавными резцами. Фрезерование же производится на скоростях 400—900 м/мин (в 3—4 раза выше, чем при фрезеровании твердосплавным инструментом), в результате чего достигаются высокие качество обработки и экономический эффект. Скорости резания при фрезеровании закаленных сталей и чугунов инструментом из композита в 3—4 раза выше, чем при точении. В то же время фрезерование закаленных быстрорежущих сталей с HRC₉ 60—70 выполняется инструментом из композита со скоростью 20—40 м/мин, что в 2—3 раза меньше скорости при точении этих сталей. Предварительное фрезерование чугунов по корке с глубиной резания до 6 мм чрезвычайно эффективно и находит все более широкое применение, а точение по корке менее эффективно. Резцы с пластинами из композита О1 не рекомендуются для точения с ударом закаленных сталей ($HRC_9 > 50$), а при фрезеровании композит О1 эффективен при обработке чугунов и сталей любой твердости.

Технологические особенности и опыт применения инструментов

Резцы с пластинами из композита 05 одинаково эффективно обрабатывают и чугуны, и закаленные стали, а торцовые фрезы с композитом 05 фрезеруют только чугуны. При точении основное влияние на стойкость инструмента из композита оказывает скорость резания, а при фрезеровании — подача на зуб. Поэтому при заданной глубине резания в случае точения вначале назначают подачу на оборот, максимальную по критерию точности и критерию качества обработки, а затем выбирают экономически эффективную скорость резания. В случае фрезерования — наоборот: сначала назначают максимально возможную скорость резания, а затем подбирают подачу на зуб, обеспечивающую требуемое качество поверхности. При точении охлаждение рекомендуется всегда, а при фрезеровании — только при большом расходе СОЖ (не менее 5 л/мин на каждый зуб фрезы).

Инструменты из КНБ можно применять для обработки цветных сплавов и неметаллических материалов, хотя и с меньшей эффективностью, чем алмазные. Поэтому в тех случаях, когда необходимо за один рабочий ход обработать комбинированные заготовки, состоящие из разных материалов (черных и цветных), предпочтительнее инструмент из КНБ. Исключением является точение заготовок из алюминий-кремниевых сплавов со вставками из специальных чугунов (детали типа поршень) — здесь эффективнее алмазные резцы (точение участка из чугуна выполняется со скоростью меньшей, чем при точении алюминий-кремниевых сплавов).

Отличие алмазных режущих инструментов от инструментов из КНБ в том, что первые успешно применяют с теми же оснасткой и режимами резания, с которыми работают замененные твердосплавные инструменты (эффективность достигается благодаря повышению стойкости инструмента в десятки и сотни раз), а вторые эффективны, как правило, только при резком повышении скорости резания. Поэтому если основной проблемой при внедрении алмазных инструментов является сложность формообразования (профилирования) и восстановления по мере затупления их режущей части, то при внедрении инструментов из КНБ, обладающих относительно хорошей шлифуемостью алмазными абразивными инструментами, основная проблема — сложность создания нового оборудования с повышенными частотой вращения шпинделя, мощностью и жесткостью.

Инструмент из СТМ используется не только для чистовой обработки. С освоением режущих пластин диаметром до 8—12 мм и созданием ступенчатых фрез с механическим креплением область применения композита при механической обработке резко расширяется: его стали применять для получистовой и даже предварительной обработки заготовок деталей машин взамен твердосплавного инструмента. Наиболее перспективно применение тор-

цовых фрез при обработке заготовок корпусных деталей из чугунов и цветных сплавов.

Заготовки для точения резцами, оснащенными керамикой, следует по возможности выбирать жесткими ($L/D \ll 5$, где L — длина, D — диаметр). У заготовок из улучшенных и закаленных сталей может быть $L/D > 5$, и их следует обрабатывать с применением люнетов, так как в этом случае скорость резания не превышает 200—250 м/мин. При обработке заготовок с $D > 200$ мм достигаются высокие скорости резания на серийно выпускаемых станкозаводами универсальных токарных станках и станках с ЧПУ с частотой вращения шпинделя $n = 1600 \dots 2000$ мин⁻¹. При обработке заготовок с $D \gg 200$ мм из стали и чугуна следует их отбалансировать, иначе при высокой частоте вращения шпинделя заготовка может вырваться из патрона. У заготовок, поступающих на токарные станки с ручным управлением, для обработки резцами, оснащенными керамикой, следует делать на входе и выходе инструмента фаски, превышающие припуск на операцию. Желательно делать канавки в местах перехода от обработки цилиндрической поверхности к торцовой. При работе на станках с ЧПУ в случае отсутствия на заготовках фасок или канавок в программе следует задавать уменьшенные в 2—2,5 раза значения подач для моментов входа и выхода инструмента. При обработке заготовок ступенчатых деталей на станках с ручным управлением длина самой короткой ступени должна быть такой, чтобы рабочий-станочник успевал реагировать на перемещение суппорта в течение всей рабочей смены (минутные подачи весьма велики).

Применение высокоскоростной обработки в течение длительного времени повышает требования к деталям токарных станков. Муфты и тормозные элементы станка должны выдерживать большое число переключений, большие силовые и тепловые нагрузки. Обязательны защитные приспособления и кожухи от разогретой стружки, особенно при точении чугуна и нетермообработанных сталей.

Применение СТМ и керамики изменяет баланс штучного времени: сокращается доля основного времени и возрастает доля вспомогательного, поэтому необходимо оборудовать станки быстро-зажимными и быстросъемными патронами, имеющими высокие точность и балансировку.

При чистовой обработке отверстий для устранения возможных следов от стружки на обработанной поверхности и достижения более высокого качества обработанной поверхности резец из обработанного отверстия следует выводить на рабочей продольной подаче. При этом одновременно обеспечивается выхаживание отверстия, повышение его точности, уменьшение шероховатости поверхности.

Технологические особенности и опыт применения инструментов

Для предохранения теплового деформирования детали целесообразно охлаждать обработанную поверхность с помощью СОЖ на расстоянии не менее 100 мм от вершины резца. Попадание СОЖ на пластину из керамики нежелательно.

5.2. Опыт применения инструментов, оснащенных СТМ и керамикой

Эффективность резцов и торцовых фрез, оснащенных поликристаллами СТМ на основе алмаза и нитрида бора, а также керамикой, в наибольшей степени проявляется в условиях автоматизированного производства по следующим основным причинам:

у поступающих на обработку заготовок более идентичны физико-механические характеристики, более стабильны снимаемый припуск и состояние обрабатываемой поверхности, чем у заготовок, поступающих на универсальные станки;

специальные станки, станки с ЧПУ и многоцелевые станки позволяют реализовать режимы резания, близкие к оптимальным для инструмента из СТМ и керамики, и тем самым обеспечить производительность обработки, соответствующую получению наибольшего экономического эффекта;

учитывая специфику СТМ и керамики, на станках с ЧПУ и многоцелевых можно таким образом программировать обработку, чтобы обеспечить плавный вход и выход инструмента на пониженных подачах, повысить надежность процесса;

принудительная смена инструмента и его централизованное восстановление (повторная заточка, сборка и выверка) обеспечивают наилучшие условия эксплуатации и минимальные потери инструментов, что особенно важно применительно к дорогостоящему инструменту из СТМ и керамики.

На специальных станках и станках, встроенных в автоматические линии, для обработки, например, заготовок деталей автомобилей, тракторов, сельскохозяйственных машин массового производства и т. п. инструмент из СТМ и отчасти из керамики следует применять для следующих целей:

чистового точения чугунных заготовок с большими обрабатываемыми поверхностями, для изготовления которых с использованием твердосплавных резцов требуются несколько станков (гильзы цилиндров, блоки цилиндров, маховики, тормозные барабаны, диски сцепления, чашки дифференциалов и др.);

чистового точения закаленных стальных и чугунных заготовок высокой твердости, при изготовлении которых с использованием твердосплавных резцов или шлифовальных кругов требуются несколько станков или если при их изготовлении не обеспечивается требуемое качество обработки (седла клапанов, шестерни, втулки, шпинделья, каландровые и прокатные валки и др.);

Опыт применения инструментов

чистового точения заготовок из цветных сплавов, при изготовлении которых стойкость твердосплавных резцов недостаточна или не обеспечивается требуемое качество и стабильность обработки (поршни, втулки, головки блока, детали тормозной и гидроаппаратуры и др.);

чистового торцевого фрезерования плоскостей чугунных и стальных заготовок, а также заготовок корпусных и базовых деталей из цветных сплавов, при изготовлении которых с использованием твердосплавных фрез или шлифовальных кругов требуется более одного станка (блоки и головки блоков цилиндров, корпуса коробок передач, направляющие станков и др.);

получистового и чернового фрезерования плоскостей чугунных заготовок и заготовок корпусных и базовых деталей из цветных сплавов с припуском до 5—7 мм, при изготовлении которых с использованием твердосплавных фрез требуются несколько станков.

В СССР и за рубежом накоплен опыт применения инструмента, оснащенного СТМ и керамикой, прежде всего, на предприятиях с массовым или крупносерийным характером производства.

Так, чистовое точение наружных цилиндрических и торцовых поверхностей заготовок цилиндра двигателя из специального легированного серого чугуна твердостью HB 200—249 производится на многорезцовых полуавтоматах 1Н713 сборными резцами с механическим креплением круглых пластин RNМN 030300 из композита 01, ромбических пластин CNHN 050308 из композита 05. Режим резания: $v = 300$ м/мин; $n = 800$ мин⁻¹; $S_0 = 0,065$ мм/об; $t \approx 1$ мм. Это позволило:

снизить штучное время точения на 18 % (по сравнению со штучным временем точения твердосплавными резцами);

исключить операцию притирки (доводки) верхнего торца со средней трудоемкостью 0,587 мин/деталь и высвободить пять токарно-карусельных станков, на которых она выполнялась, а также повысить культуру производства (эта операция отливалась большой загрязненностью отходами шлифования);

снизить на 0,2 мин/деталь трудоемкость послеоперационного и приемочного контроля путем повышения стабильности обточки.

Растачивание отверстия диаметром $11^{+0,06}_{-0,03}$ мм и глубиной 16 мм седла клапана из стали 45Х твердостью HRC₉ 45—55 выполняется резцом, оснащенным композитом 01, на горизонтальном алмазно-расточном трехшпиндельном станке 2А715 взамен обработки на внутришлифовальном станке. Режим резания: $v = 66$ м/мин; $n = 1900$ мин⁻¹; $S_0 = 0,06$ мм/об; $t = 0,1 \dots 0,2$ мм, без охлаждения. Параметр шероховатости обработанной поверхности $Ra = 0,40$ мкм. Стойкость резца — 600 деталей, он выдерживает три повторные заточки до полного изнашивания. В результате производительность обработки возросла в 2 раза, параметр шеро-

Технологические особенности и опыт применения инструментов

ховатости поверхности снизился в 3 раза (с $R_a = 1,25$ мкм до $R_a = 0,40$ мкм), исключено шаржирование абразива и в трущуюся поверхность клапана, увеличилась долговечность пары.

Растачивание отверстия диаметром $26^{+0,015}$ мм и глубиной 42 мм втулки шестеренного насоса (работает в режиме подшипника скольжения) из специального антифрикционного алюминиевого сплава твердостью НВ 80—115 выполняется на трехшиндельных алмазно-расточных станках 2705 резцами, оснащенными поликристаллическим синтетическим алмазом АСПК, взамен твердосплавных резцов. Режим резания: $v = 263$ м/мин; $n = 3100$ мин $^{-1}$; $S_0 = 0,11$ мм/об; $t = 0,1 \dots 0,2$ мм, без охлаждения. Средняя стойкость резца — около 30 смен без подналадок, резец 2—4 раза затачивают повторно. Параметр шероховатости обработанной поверхности ($R_a = 0,20$ мкм) существенно ниже, чем при растачивании твердосплавным резцом, благодаря чему увеличивалась долговечность насосов. Аналогичным образом выполняют обточку заготовки втулки диаметром $55^{+0,015}_{-0,035}$ мм и длиной 28 мм, подрезку торца в размер $2^{+0,005}_{-0,040}$ мм. Производительность труда возросла на 25 %, вы свобождено шесть алмазно-расточных станков.

Фрезерование плоскостей разъема (100×200 мм) корпуса распределителя гидросистемы трактора из чугуна СЧ 21 твердостью НВ 200—240 производится на вертикально-фрезерном станке, встроенным в автоматическую линию, ступенчатой торцовой фрезой диаметром 160 мм с механическим креплением прецизионных круглых пластин из композита 05 взамен фрезы с ножами из твердого сплава и окончательного плоского шлифования торцом сегментного абразивного круга. Режим резания: $v = 458$ м/мин; $n = 912$ мин $^{-1}$; $S_m = 700$ мм/мин; $S_z = 0,043$ мм/зуб; $t = 1 \dots 3$ мм, без охлаждения. В принципе такая глубина резания не требует применения ступенчатой фрезы, однако этот инструмент устанавливают для обеспечения надежной работы линии на случай непредвиденного поступления детали с большим припуском, который обычной фрезой с пластинами из композита 05 не может быть снят. Фрезу меняют один раз в две смены, комплект пластин имеет 8—10 периодов стойкости. Благодаря концентрации операций (шлифование исключено из технологического процесса) производительность выросла в 1,8 раза. Кроме того, отклонение от плоскости уменьшилось в среднем с 0,08 мм до 0,03 мм, что чрезвычайно важно для качества всего распределителя, так как резко увеличилась плотность соединения корпуса с крышкой. Окончательную обработку привалочной плоскости корпуса гидрораспределителя производят также на карусельно-фрезерном станке 621М фрезой диаметром 160 мм с круглыми пластинами из композита 05. Режим резания: $v = 452$ м/мин; $n = 900$ мин $^{-1}$; $S_m = 570$ мм/мин; $S_z = 0,035$ мм/зуб; $t \approx 1$ мм.

Опыт применения инструментов

Фрезерование привалочной плоскости крышки распределителя из специального алюминиевого сплава твердостью НВ 70—90 выполняют на четырехшпиндельном барабанно-фрезерном станке ГФ1080 специальными торцовыми ступенчатыми фрезами диаметром 145 мм с ножами, оснащенными поликристаллами АСПК, взамен твердосплавного инструмента. Режим резания: $v = 570$ м/мин; $n = 1250$ мин⁻¹; $S_m = 800$ мм/мин; $S_z = 0,21$ мм/зуб; $t \approx 3,2$ мм.

Фреза сконструирована так, что соблюдается принцип деления не только подачи, но и глубины резания: 24 ножа разделены на три группы (т. е. деление подачи фактически идет на три зуба) по восемь штук в каждой (т. е. деление припуска идет на восемь зубьев). Ножи в каждой из трех групп расположены по спирали Архимеда, поэтому глубина резания каждого ножа не превышает 0,4—0,5 мм и устанавливается инструментальщиком при сборке фрезы. Период стойкости фрезы 1,5—2 мес, что в 50—100 раз больше, чем период стойкости твердосплавной фрезы, ножи 2—4 раза затачиваются повторно. Отклонение от плоскостности и в этом случае уменьшилось в 2 раза.

Анализ заводского опыта показывает, что скорости резания инструментом, оснащенным СТМ, сравнительно невысоки. Лимитирующим фактором является оборудование, в большинстве случаев не обладающее необходимыми частотами вращения шпинделя, мощностью, жесткостью, виброустойчивостью. В СССР несколько тысяч единиц карусельно-фрезерных станков производят обработку твердосплавными фрезами плоскостей заготовок корпусных чугунных деталей в крупносерийном и массовом производстве. Внедрение на этих операциях инструмента с пластинами из композита на новом оборудовании может повысить производительность обработки и качество деталей в 2—3 раза.

Ступенчатые фрезы диаметром 160 мм с круглыми пластинами из композита 05 применяют для обработки привалочных плоскостей корпусов коробок передач на японских многоцелевых станках МСМ 13×20 и ВТН-13А фирм «Окума» и «Тосиба» взамен фрез с твердосплавными пластинами шведской фирмы «Сандвик». Режим фрезерования чугунных отливок по корке следующий: $v = 625$ м/мин; $n = 1250$ мин⁻¹; $S_m = 500 \dots 800$ мм/мин; $S_z = 0,02 \dots 0,04$ мм/зуб; $t = 4 \dots 5$ мм. Ширина обрабатываемой поверхности по периметру корпуса 40—60 мм. Производительность обработки увеличилась в 2,5 раза.

Резцы с механическим креплением пластин из керамики ВО-13 применяют при чистовом точении заготовок шпинделей токарных станков из стали 45 с НВ 197—217. Обтачивание всех ступеней заготовок шпинделя выполняют на токарно-винторезном станке с ЧПУ модели МДВ-13; достигаемая шероховатость обработки — в пределах $R_a = 2,5$ мкм, торцовое биение — не

Технологические особенности и опыт применения инструментов

более 0,10 мм. Стойкость одной режущей кромки — четыре шпинделя. До внедрения керамики ВО-13 шпинделы обрабатывали резцами с пластинами из керамики ВОК-60; основное время обработки шпинделя составляло 5—6 мин, стойкость резцов была ниже в 1,5—2 раза.

Резцами из ВОК-60 протачивают наружные поверхности заготовок деталей типа червяка из стали 45 с НВ 190—207, заготовок гильз из стали 45 с НВ 240—280. Скорость резания керамическими резцами $v = 350$ м/мин, а резцами из сплава Т15К6 $v = 110 \dots 140$ м/мин.

Резцами из ВОК-60 растачивают отверстие диаметром 140 и 150 мм в корпусе передней бабки станка 16К20. Обработку выполняют на отделочно-расточном станке ОС-315 резцами с пластинами из керамики взамен резцов с твердосплавными пластинами ВК-3М. Режимы резания керамикой: $v = 270$ м/мин; $S = 0,03$ мм/об и $t = 0,25$ мм. В результате обработки получены отверстия с отклонением от цилиндричности не более 4 мкм и $Ra = 1,25$ мкм.

Резцы с пластинами из ВОК-60 внедрены при серийной обработке заготовок деталей типа «щека» из стали 35ХГСЛ с НВ 217. На отделочно-расточном станке 2706П0С7123 растачивают отверстия диаметром $50^{+0,025}$ мм резцами с пластинами из керамики взамен резцов с пластинами из Т30К4. Достигнуто снижение $T_{\text{осн}}$ в 1,75 раза. Растачиванием двух симметричных отверстий диаметром $150^{+0,04}$ мм в гильзе из чугуна СЧ 20 с НВ 180—210 на станке 2712П0С6951 резцами из ВОК-60. При $v = 450$ м/мин достигается повышение производительности на 55 %.

Резцами с пластинами из ВОК-60 обрабатывают заготовки деталей типа гильз из стали 40Х с НВ 210—217, шестерен из стали 40Х улучшенной. Скорость резания $v = 226 \dots 350$ м/мин. Резцы применяют на станках 16К20ФЗС5 с ЧПУ. По сравнению с обработкой твердосплавными резцами достигнуто сокращение $T_{\text{маш}}$ в 2,1—2,4 раза. При точении гильз применяют СОЖ: производят полив эмульсии за резцом на расстоянии 100 мм.

Специальными резцами с пластинами из ВОК-60 взамен резцов с пластинами из сплава Т15К6 выполняют наружное точение «колонны» из трубы диаметром 89 мм с толщиной стенки 12 мм. Режимы точения: $v = 350$ м/мин; $t = 1,0$ мм; $S_0 = 0,23$ мм/об. Достигнуто снижение $T_{\text{осн}}$ почти в 2 раза.

Точение шеек шпинделя станка из стали 45 с НВ 207—220 производят резцовыми вставками с квадратными пластинами из ВОК-60. Скорость резания повысилась в 2 раза по сравнению со скоростью резания пластинами из Т15К6. Эти же шейки шпинделей протачивают после термической обработки на твердость HRC₅ 38—42, HRC₆ 42—46. Достигнуто повышение производительности обработки до 4 раз.

Опыт применения инструментов

Сферическую головку заготовки штока из стали 40ХН с HRC_o 30—35 обрабатывают на токарном станке с ЧПУ специальными резцами с квадратными пластинами из ВОК-60. Достигнуто повышение скорости резания в 2 раза по сравнению со скоростью резания резцами из Т15К6.

Резцы с пластинами из ВОК-60 применяют для обработки заготовок цанг, корпусов из стали 60С2 и 18ХГТ твердостью HRC_o 53—57. Машинное время обработки снизилось в 1,6—2,1 раза.

Резцы с пластинами из керамики внедрены при обработке заготовок деталей типа штампа вырубки из стали с HRC_o 39 ... 44, матриц пресс-форм из стали с HRC_o 56 ... 60. Детали имеют окалину после термической обработки. В результате применения керамики достигнуто снижение машинного времени точения до 2—4 раз по сравнению с основным временем при обработке резцами из Т30К4 и Т15К6, экономический эффект по группе деталей составил 34,5 руб/год.

5.3. Режимы резания стали 60Х3Г8Н8Б резцами из ВОК-60

Инструментальный материал	<i>v</i> , м/мин	<i>S₀</i> , мм/об	<i>t</i> , мм	<i>T</i> , мин
T15K6	70	1,0	0,3	170
B-3	113	1,0	0,3	440
ВОК-60	170	1,0	0,2	210

Точение резцами с пластинами из СТМ и керамики может эффективно заменять шлифование закаленных сталей при единичном и серийном производстве. В этих случаях чем больше снимаемый припуск, тем эффективнее применение керамики. Особенно возрастает эффективность при выполнении нескольких операций: точение, подрезание торца и снятие фаски, растачивание отверстия и подрезание торца, протачивание по наружному диаметру. Концентрация операций во многом способствует использованию станков с ЧПУ.

На станках 16К20РФ3С5 обтачивают муфты из стали 20Х с HRC_o 56 и шестерни из сталей 45 и 40Х с режимами резания: *v* = 200 ... 300 м/мин; *S₀* = 0,07 ... 0,22 мм/об; *t* = 0,2 ... 0,3 мм резцами с пластинами из керамики и обрабатывают точные отверстия вместо предварительного шлифования; эти отверстия в дальнейшем служат базой для нарезания зубьев. Расточные резцы с квадратными пластинами SNMG 120412 из В-3 применяют для растачивания ведомого колеса из стали 20ХН2М с HRC_o 58—62. Геометрические параметры расточных резцов: $\gamma = -7^\circ$; $\alpha = 7^\circ$; $\gamma_\phi = -20^\circ$; $f = 0,2$ мм; $\varphi = 45^\circ$; $r = 1,2$ мм. При *v* = 132 м/мин; *S₀* = 0,07 мм/об; *t* = 0,2 мм стойкость составила 75 деталей (*T* = 31 мин) при критерии затупления *h₃* = 0,35 мм.

Керамика внедрена при обработке заготовок бандажных колец диаметром 1000—1200 мм, длиной 1200 мм из стали 60Х3Г8Н8Б.

Технологические особенности и опыт применения инструментов

5.4. Сравнительные результаты применения резцов с пластинами из твердых сплавов

Обрабатываемый материал	v , м/мин	t , мм	S_0 , мм/об	Материал режущей части	T , мин
Чугун отбеленный, HRC _o 62	5 30	0,2 1,6	6,2 0,32	BK6M BOK-60	40 60
Чугун высоколегированный, HRC _o 40—62	5 40 6,3 70	2 3 5,0 2,0	3,0 0,3 2,0 0,63	BK6M BOK-60 BK-3 BOK-60	40 61,5 34 38
Чугун высокопрочный	126 208	5,0 5,0	1,5 0,5	BK8 BOK-60	60 65
Сталь 18ХГТ, HRC _o 55—60 (це- ментованная)	62 157	0,2 0,2	0,05 0,05	T15K6 BOK-60	12,5 25
Сталь 34ХНМА, HRC _o 40—45	70 230	0,5 0,5	0,26 0,20	T30K4 BOK-60	30 70
Сталь 12Х2Н4А, HRC _o 45—50	101 218	0,8 0,8	0,2 0,2	T15K6 BOK-60	6 34
Сталь 3Х13, HRC _o 47	67 107	0,5 0,5	0,125 0,125	T15K6 BOK-60	340 720

Из данных, приведенных в табл. 5.3, следует, что резцы с пластинами из В-3 и ВОК-60 позволяют увеличить скорость резания до 2,5 раз и повысить стойкость инструмента.

Резьбу с шагом 10 мм на ходовых винтах для станков с ЧПУ из стали 7ХГ2ВМ с HRC_o 58—60 диаметром 80 и 100 мм, длиной 2300 мм после их термической обработки нарезают круглыми пластинами из твердого сплава ТТ8К6 со скоростью $v = 31$ м/мин, глубина за один рабочий ход $t = 0,20$ мм и затем $t = 0,10$ мм.

Разработана конструкция специального резца с механическим креплением двух круглых пластин из ВОК-60 или В-3, обеспечивающая деление стружки по ширине равномерно вправо и влево от центра с расстоянием между осями 0,1 мм. Резец состоит из державки. Две круглые пластины устанавливают в гнезда на опорные пластины и прижимают плавающим прихватом. Геометрические параметры резца: угол установки пластины в осевом направлении 10°, а в направлении, перпендикулярном к осевому, 3°, ширина фаски 0,3 мм. Такая конструкция позволяет увеличить задний угол без существенного увеличения переднего угла пластин. Режимы резания: $v = 100 \dots 120$ м/мин;

5.5. Примеры применения алмазных резцов

Деталь, материал, твердость	Содержание операции; оборудование	Инструментальный материал	$v, \text{ м/мин}$	$S_0, \text{ мм/об}$	$t, \text{ мм}$	СОЖ	Средняя стойкость *	Средний износ $h_3, \text{ мм}$	Эффективность внедрения
Поршень; ВКЖЛС-2; HB 90—110	Растачивание отверстий под поршневой палец; $\varnothing 50^{+0,06}_{-0,015} \text{ мм}; l = 39 \text{ мм}; Ra = 0,63 \text{ мкм};$ станок OC1292	АСПК, СВБН	235	0,09	0,1	—	$\frac{1\ 800}{1\ 100}$	0,2—0,3	Повышение стойкости в 36 раз по сравнению с ВКЗМ
Поршень; АЛ30; HB 90—120	Растачивание отверстий под поршневой палец; $\varnothing 25_{-0,01} \text{ мм}; Ra = 0,50 \text{ мкм};$ станок фирмы «Ласаль» (США)	АСПК, СВБН	236	0,076	0,11	Укри-нол-1	$\frac{10\ 000}{2\ 200}$	0,15	Замена импортных инструментов
То же	Обточка юбки поршня по копиру; $\varnothing 92^{+0,03} \text{ мм}; Ra = 1,25 \text{ мкм};$ отклонение образующей от прямолинейности 0,003 мм; станок фирмы «Ласаль»	АСПК, СВБН	200	0,11	0,04	То же	$\frac{10\ 000}{9\ 000}$	0,10	То же
Поршень; АЛ30; HB 90—130	Растачивание отверстия под поршневой палец; $\varnothing 28_{-0,01} \text{ мм}; Ra = 0,63 \text{ мкм};$ станок фирмы «Ласаль»	СВБН	264	0,076	0,1	»	$\frac{7\ 000}{4\ 000}$	0,10	»

Продолжение табл. 5.5

Деталь, мате-риал, твердость	Содержание операции; оборудование	Инстру-менталь-ный ма-териал	$v, \text{м/мин}$	$S_0, \text{мм/об}$	$t, \text{мм}$	СОЖ	Сред-нияя стой-кость *	Средний износ $h_g, \text{мм}$	Эффективность внедрения
Поршень; АЛ30; HB 90—130	Обтачивание юбки поршня по копиру; $\varnothing 100$ мм, допуск 0,06 мм с разбивкой на шесть групп; станок фирмы «Ласаль»	СКБН	189	0,18	0,1	Укри-нол-І	$\frac{6\,000}{6\,000}$	0,1	Замена импортных инструментов
Колпак ротора; АЛ10В; HB 80 ... 120	Растачивание двух со-совых отверстий; $\varnothing 125^{+0,08}$ мм и $\varnothing 25^{+0,025}$ мм; $Ra = 2 \dots 2,5$ мкм; станок 2706	АСПК	900	0,08	0,35	—	$\frac{14\,600}{1\,200}$	0,2—0,3	Повышение стойкости в 50 раз по сравнению с ВК2
Толкатель; ОЦС 4-4-2,5; HB 60—70	Растачивание броизо-вой втулки толкателя $\varnothing 29^{+0,03}_{-0,02}$ мм; $l = 34$ мм; $Ra = 1,0 \dots 1,25$ мкм; станок 2A710	АСПК	210	0,06	0,2	—	$\frac{2\,100}{380}$	0,2—0,3	Повышение стойкости в 50—70 раз по сравнению с ВК3М
Коромысло; ОЦС 4-4-2,5; HB 60—70	Растачивание броизо-вой втулки коромысла; $\varnothing 25^{+0,03}_{-0,08}$ мм; $l = 30$ мм, $Ra = 1 \dots 1,25$ мкм; станок КК65	АСПК	228	0,06	0,23	—	$\frac{2\,000}{360}$	0,2—0,3	Повышение стойкости в 50 раз по сравнению с ВК3М

Опыт применения инструментов

Продолжение табл. 5.5

Деталь, материал, твердость	Содержание операции; оборудование	Инструментальный материал	$v, \text{м/мин}$	$S_0, \text{мм}/\text{об}$	$t, \text{мм}$	СОЖ	Средняя стойкость *	Средний износ $h_3, \text{мм}$	Эффективность внедрения
Блок цилиндров; СОС-6-6	Растачивание опор $\varnothing 50$ мм под распределительный вал; автоматическая линия	АСПК	217	0,05	0,5	Керосин с маслом	$\frac{13\,500}{9\,000}$	0,3—0,4	Сокращение потерь от брака и простоев автоматической линии по сравнению с ВК6
Шатун в сборе; ОЦС 4-4-2,5	Растачивание малой головки шатуна черновыми и чистовыми резцами; $\varnothing 25^{+0,007}_{-0,008}$ мм; $Ra = 0,4 \dots 0,5 \text{ мкм}$; автоматическая линия фирмы «Бурр» (ФРГ)	АСПК	210	0,09 (черновые); 0,04 (чистовые)	0,3 (черновые); 0,13 (чистовые)	ВИ4	$\frac{10\,000}{3\,000}$	0,3—0,4	То же, по сравнению с Т30К4

П р и м е ч а н и е. В большинстве случаев режимы резания не соответствуют потенциальным возможностям алмазных резцов и диктуются ограниченными техническими характеристиками действующего оборудования.

* В числителе — число заготовок, в знаменателе — минуты.

Технологические особенности и опыт применения инструментов

$t = 0,1$ мм. Испытания этих резцов показали, что применение пластин из оксидно-карбидной керамики повышает производительность нарезания круглой резьбы с шагом 20 мм до 2 раз. Для эффективного применения таких резцов необходимы станки, имеющие большие мощность и жесткость по сравнению со станками, на которых используют твердосплавные резцы.

Весьма эффективно применение резцов с пластинами из В-3 и ВОК-60 при точении заготовок прокатных валков и каландровых валов из отбеленных, высоколегированных чугунов. Применение инструмента с пластинами из керамики позволяет повысить скрость резания в 6—8 раз, что увеличивает производительность обработки в 1,5—2,5 раза и повышает качество обработанной поверхности (табл. 5.4).

В прил. 9 приведены конкретные примеры эффективного применения инструмента из СГМ и керамики в отечественном машиностроении.

Примеры практического применения алмазных резцов на заводах автомобильной промышленности даны в табл. 5.5.

5.3. Шлифование и заточка инструментов, оснащенных СГМ и керамикой

Режущую керамику выпускают только в виде сменных круглых и многогранных пластин, поэтому в большинстве случаев у потребителей инструмента, оснащенного этими пластинами, не возникает необходимости в повторных заточках. Однако при достаточно больших объемах потребления керамических пластин их повторная заточка по мере изнашивания на ремонтный размер оказывается экономически целесообразной и выполняется на некоторых крупных предприятиях. Кроме того, нередки случаи, когда приходится повторно затачивать пластины для изменения геометрических параметров применительно к конкретным технологическим условиям (например, уменьшают радиус при вершине, снимают защитную отрицательную фаску, затачивают задний угол и т. п.). Поэтому мы приводим некоторые сведения по повторной заточке пластин из режущей керамики.

Эффективная обработка керамических материалов возможна только с использованием алмазного инструмента. Нормальная эксплуатация алмазных кругов возможна при осевом и радиальном биении не выше соответственно 0,01 и 0,025 мм при предварительной обработке и 0,003 и 0,015 мм — при окончательной. При шлифовании керамики особенно опасно возникновение вибраций, которые приводят к снижению точности, ухудшению качества обработанной поверхности, появлению сколов, выкрашиваний, а в некоторых случаях — и трещин. Для устранения вибра-

Шлифование и заточка инструментов

ций рекомендуется пользоваться шлифовальными станками повышенной жесткости и устанавливать их на виброизолирующие опоры, производить динамическую балансировку шлифовальных кругов, поддерживать режущую способность круга путем периодической правки.

Плоское шлифование керамики может осуществляться периферией круга на станках с горизонтальной осью вращения (станки ЗГ71, ЗГ711, ЗЕ711В, ЗБ740, ЗБ741, ЗД741), торцом круга на станках с вертикальной осью, а также на заточных станках. В настоящее время как в отечественной, так и в зарубежной практике отдается предпочтение шлифованию торцом круга вследствие более высокой его эффективности. Преимущество торцевого шлифования керамики состоит в большой площади контакта круга с обрабатываемой поверхностью, более равномерном распределении нагрузки по рабочей поверхности круга и снижении брака вследствие сколов, меньших габаритах станков. Эта схема реализована также в универсально-заточных станках (например, станки ЗМ642, ЗМ642Е), снабженных большим числом приспособлений для заточки инструментов различных видов. Для шлифования специальных профилей на керамических пластинах применяют оптико-шлифовальные станки с проектором.

Алмазные круги чашечной, тарельчатой формы и прямого профиля, применяемые для шлифования и заточки керамики, выпускают в соответствии с ГОСТ 16167—80 и ГОСТ 16171—81Е. Для шлифования и заточки торцом круга чаще всего применяют чашечные конические круги формы 12А2 с углом 45° по ГОСТ 16172—80Е. Для шлифования керамики используют круги из синтетических алмазов АС2, АС4, АС6 зернистостью 125/100—60/40. Алмазы АС2 используют для изготовления кругов на органической связке, АС4 — на органической и керамической связках, АС6 — только на металлической связке. В качестве связок чаще всего применяют бакелитовую, карболитовую и вулканизовую связки. Круги на органических связках (Б1, Б2, Б156 и др.) характеризуются хорошими полирующими свойствами, легко самозатачиваются, но недостаточно удерживают алмазные зерна, что ограничивает их использование на предварительной стадии обработки. При работе такими кругами шлифование или заточку можно вести без охлаждения. При определенных режимах круги на керамических связках К1, К5, СК и др. также могут работать в режиме самозатачивания. Работу такими кругами ведут, как правило, с охлаждением. Основной недостаток керамической связки — повышенная хрупкость, которая ограничивает применение инструмента в процессе с ударными воздействиями. Наиболее эффективна обработка керамики алмазными кругами на металлических связках (М1, МО4, МО13 и др.), которые придают алмазоносному слою наибольшие прочность и износостойкость.

Технологические особенности и опыт применения инструментов

Металлические связки могут быть без наполнителей (например, связка М1 состоит из 80 % меди и 20 % олова) и с наполнителями в виде высокотемпературной смазки, глинозема, абразива (связки МО1З, МС6). Эксплуатация алмазных кругов на металлических связках обязательно должна сопровождаться обильным охлаждением, а также электрохимической или электроэррозионной правкой круга (в цикле станка).

Круги с наружным диаметром 100 мм и более, толщиной 5 мм и более должны балансируться статически в динамическом режиме. При этом предельное значение смещения центра тяжести круга относительно оси вращения не должно превышать: для кругов массой до 1 кг — 40 мкм, для кругов массой 1—3 кг — 32 мкм. Балансирование круга выполняют путем выверливания материала корпуса на тяжелой стороне или нанесением материала на легкой стороне круга. Глубина сверления не должна превышать половины толщины корпуса, а число отверстий не должно быть больше трех.

Потеря режущей способности алмазного круга вызывает снижение производительности шлифования, ухудшение качества обработанной поверхности, увеличение силовых и температурных деформаций, которые могут привести к образованию сколов, выкрашиваний и трещин. Для восстановления режущей способности круга выполняют правку. Толщина алмазоносного слоя, снимаемого при правке, может изменяться от 0,005 до 0,03 мм. Широкое применение в промышленности нашла правка алмазного круга путем шлифования абразивных брусков. Используют абразивные бруски из электрокорунда белого на керамической связке твердостью СМ2 с размером зерна, примерно равным зернистости алмазного круга. Правку выполняют механизированно или вручную (последнюю, как правило, на заточных станках). На автоматизированном оборудовании распространена правка шлифованием абразивного круга плоского профиля из зеленого карбида кремния. Применительно к алмазным кругам на металлических связках весьма эффективны методы электролитической и электроэррозионной правки.

В целях повышения стойкости инструмента с керамическими пластицами до 20—30 % рекомендуется производить доводку рабочих поверхностей пластин алмазными пастами на притирах. По СТ СЭВ 206—75 алмазные пасты изготавливают из природного и синтетического алмазных порошков (ГОСТ 9206—80Е) зернистостью 60/40—1/0 и наполнителя из стеарина, оleinовой кислоты, оливкового масла и др. Следует учитывать, что доводка характеризуется строгого последовательной сменой материала притира и зернистости алмазного порошка в пасте или суспензии. Даже случайное попадание в зону обработки алмазных зерен более высокой зернистости, осколков керамики или абразивных частиц

Шлифование и заточка инструментов

из воздуха может привести к появлению на обработанной поверхности отдельных недопустимых рисок и сколов. Для предотвращения такого явления необходимо выполнять следующие мероприятия: промывать водой с мылом и волосянной щеткой сменный стол с заготовками после каждой стадии обработки; регулярно ежедневно промывать зону обработки, особенно ее верхнюю часть, находящуюся над сменным столом и притиром, маркировать притиры согласно используемым зернистостям алмазных паст и суспензий; создавать в зоне обработки избыточное давление и обрудовать станки вытяжными установками; очищать сжатый воздух, используемый в процессе доводки. Суспензии для доводки приготовляют из водорастворимых паст и воды. Пасту помещают в колбу с водой и тщательно размешивают. Для удаления пеногенерирующего вещества, находящегося в пасте, суспензии дают отстояться в течение 8 ч и осторожно сливают верхнюю половину раствора с последующим добавлением недостающего объема воды. В общей сложности процедуру отстаивания повторяют 3 раза. Колбы маркируют номером зернистости алмазного порошка. Перед работой суспензию взбалтывают.

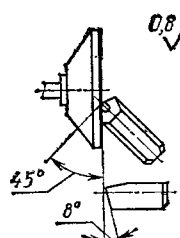
В отличие от пластин из керамики резцы и ножи для фрез с неразъемно закрепленными поликристаллами нуждаются в повторных заточках для восстановления режущих свойств по мере изнашивания. В качестве примера приведем технологические процессы повторной заточки резцовых вставок и координатно-расточных резцов, оснащенных композитом (табл. 5.6, 5.7).

Заточку и повторные заточки резцов, оснащенных поликристаллами синтетических алмазов, наиболее целесообразно выполнять на заводах—изготовителях резцов, так как заточные отделения машиностроительных предприятий, как правило, не обладают необходимым для этой цели специальным оборудованием и специальными алмазными кругами.

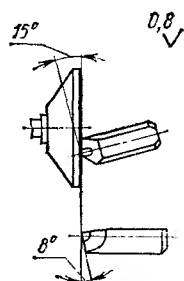
Учитывая низкую шлифуемость поликристаллических алмазов, в 200 раз меньшую, чем у твердых сплавов, фирма «Эваг» (Швейцария) создала гамму специальных заточных станков высокой жесткости и виброустойчивости. Станки RS3-M, RS10, EWAMT/EVRZON позволяют затачивать алмазные резцы практически любой формы и точности. Например, станок RS10 имеет мощную систему охлаждения (расход СОЖ выше 20 л/мин), проектор с увеличением 10×, 20× или 60× и работает по схеме как врезного, так и маятникового (многопроходного) шлифования; сила прижима алмазного шлифовального круга к заготовке 50—500 Н; точность установки 0,01 мм. В случае маятниковой заточки работа выполняется без прерывания контакта круга с шлифуемым резцом; частота осцилляций — 60 дв. ход/мин. Применяют круги из высокопрочных монокристаллических алмазов на специальной связке.

5.6. Последовательность повторной заточки резцовой вставки диаметром 10 мм, оснащенной композитом 01, 02 или 10, на универсально-заточных станках ЗВ642, ЗБ642, ЗМ642, ЗМ642Е и др. с помощью трехповоротных тисков

№ операции	№ перехода	Содержание перехода	Инструмент		Режим шлифования				$T_{осн}$	T_B
			режущий	измерительный	t_s , мм/дв. ход	S , м/мин	n , мин ⁻¹	v_c , м/с		

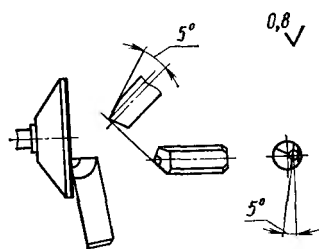


Продолжение табл. 5.6



Продолжение табл. 5.6

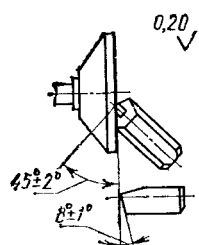
№ операции № перехода	Содержание перехода	Инструмент		Режим шлифования				$T_{осн}$	T_B
		режущий	измерительный	t_i мм/дв. ход	S , м/мин	n , мин ⁻¹	v , м/с	мин	
1	Закрепить резец в тисках	—	—	—	—	—	—	—	—
2	Заточить переднюю поверхность	Круг шлифовальный 12A2 (125—150)× ×10×32 АС4 100/80 (ТО2, Б1) 100 %, ГОСТ 1672—80, ГОСТ 9206—80	Угломер маятниковый ЗУРИ, ТУ 2-034-666—77 Образцы шероховатости поверхности, ГОСТ 9378—75	0,03— 0,04	2—3	3150	20—25	0,9	0,5
3	Снять резец	—	—	—	—	—	—	—	—



Шлифование и заточка инструментов

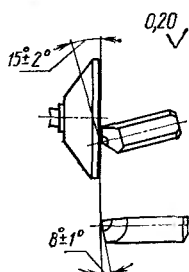
Продолжение табл. 5.6

№ операции	№ перехода	Содержание перехода	Инструмент		Режим шлифования				$T_{осн}$	T_B
			режущий	измерительный	t , мм/дв. ход	S , м/мин	n , мин ⁻¹	v , м/с		



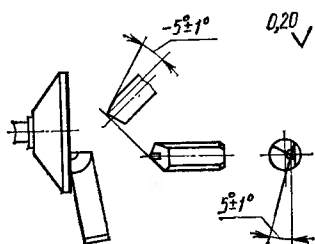
Продолжение табл. 5.6

№ операции	№ перехода	Содержание перехода	Инструмент		Режим шлифования				$T_{\text{осн}}$	T_B
			режущий	измерительный	t , мм/дв. ход	S , м/мин	n , мин ⁻¹	v , м/с		
1		Закрепить резец в тисках	—	—	—	—	—	—	—	—
5	2	Довести вспомогательную заднюю поверхность	Круг шлифовальный 12А2 (125–150)× ×10×32 АЧН 50/40 (ТО2, Б1) 50 %, ГОСТ 1672–80, ГОСТ 9206–80Е	Угломер маятниковый ЗУРИ, ТУ 2-034-666–77 Образцы шероховатости поверхности, ГОСТ 9378–75	0,005— 0,01	0,5	3150	20—25	0,7	0,5
	3	Снять резец	—	—	—	—	—	—	—	—



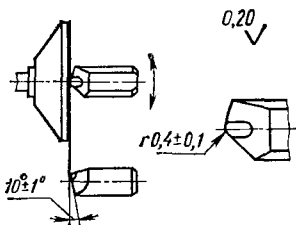
Продолжение табл. 5.6

№ операции	№ перехода	Содержание перехода	Инструмент		Режим шлифования				$T_{оси}$	$T_{в}$
			режущий	измерительный	t , мм/дв. ход	S , м/мин	n , мин $^{-1}$	v , м/с		



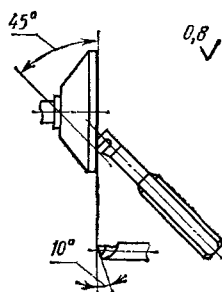
Продолжение табл. 5.6

№ операции	№ перехода	Содержание перехода	Инструмент		Режим шлифования				$T_{осн}$	T_B
			режущий	измерительный	t_s мм/дв. ход	S , м/мин	n_s мин ⁻¹	v_s м/с		



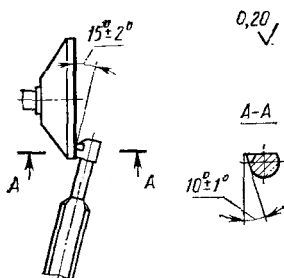
5.7. Последовательность повторной заточки резца для координатно-расточных станков, оснащенного композитом 01, 02 или 10, на универсально-заточных станках ЗВ642, ЗБ642, ЗМ642, ЗМ042Е и других с помощью трехповоротных тисков

№ операции	№ перехода	Содержание перехода	Инструмент		Режим шлифования				$T_{осн}$	T_B
			режущий	измерительный	t , мм/дв. ход	S , м/мин	n , мин ⁻¹	v , м/с		



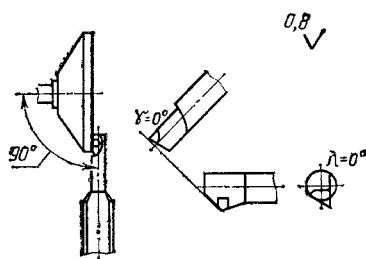
Продолжение табл. 5.7

№ операции	№ перехода	Содержание перехода	Инструмент		Режим шлифования				$T_{осн}$	T_B
			режущий	измерительный	t , мм/дв. ход	S , м/мин	n , мин ⁻¹	v_c , м/с		



Продолжение табл. 5.7

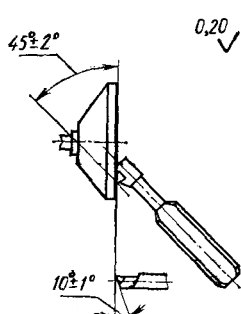
№ операции	№ перехода	Содержание перехода	Инструмент		Режим шлифования				$T_{осн}$	T_B
			режущий	измерительный	t_p мм/дв. ход	$S,$ м/мин	$n,$ мин $^{-1}$	$v,$ м/с		



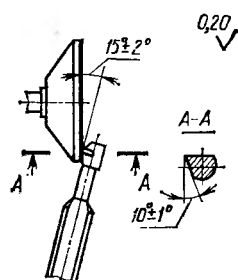
Технологические особенности и опыт применения инструментов

Продолжение табл. 5.7

№ операции	№ перехода	Содержание перехода	Инструмент		Режим шлифования				$T_{осн}$	T_b
			режущий	измерительный	t , мм/дв. ход	S , м/мин	n , мин ⁻¹	v , м/с		
4	1	Закрепить резец в тисках	—	—	—	—	—	—	—	—
	2	Довести главную заднюю поверхность	Круг шлифовальный 12А2 (125—150)× × 10×32 АСН 50/40 (ТО2, Б1) 50 %, ГОСТ 1672—80, ГОСТ 9206—80Е	Угломер маятниковый ЗУРИ, ТУ 2-034-666—77 Образцы шероховатости поверхности, ГОСТ 9378—60	0,005— 0,10	0,5— 1,0	3150	20—25	1,0	0,5
	3	Снять резец	—	—	—	—	—	—	—	—

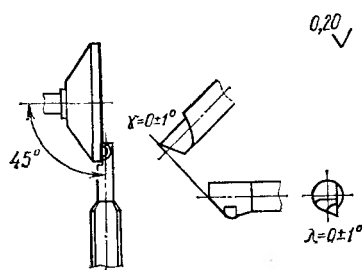


Продолжение табл. 5.7



Продолжение табл. 5.7

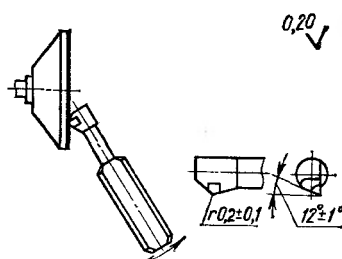
№ операции	№ перехода	Содержание перехода	Инструмент		Режим шлифования					$T_{осн}$	T_B
			режущий	измерительный	t_s мм/дв. ход	S , м/мин	n , мин $^{-1}$	v_c , м/с			



Продолжение табл. 5.7

№ операции	№ перехода	Содержание перехода	Инструмент		Режим шлифования				$T_{осн}$	T_B
			режущий	измерительный	t , мм/дв. ход	S , м/мин	n , мин ⁻¹	v , м/с		

6 Жедь В. П. и др



Технологические особенности и опыт применения инструментов

Трудность обработки СТМ обусловлена прежде всего незначительным превышением твердости абразивного материала (алмазных зерен) по сравнению с твердостью обрабатываемых поликристаллов. Вследствие высокой интенсивности изнашивания зерен, особенно при заточке алмазных резцов, возникает необходимость поддержания постоянной развитости микро- и субмикрорельефа рабочей поверхности круга. Достоинством кругов на орга-

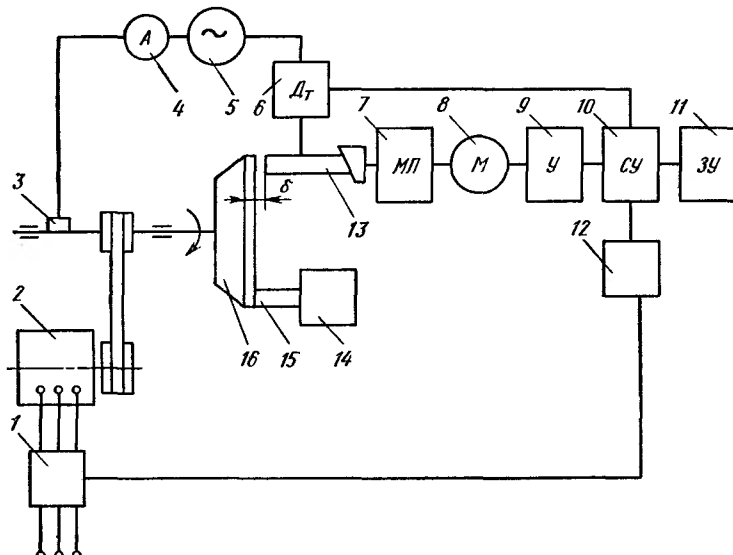


Рис. 5.1. Электрическая схема модернизации универсально-заточного станка, обеспечивающей управление рельефом рабочей поверхности алмазного круга

нических связках является их способность к самозатачиванию, что весьма удобно в производственных условиях. Однако при этом чрезвычайно велик расход кругов, и контактное давление на поря-
док больше, чем при заточке твердосплавного инструмента. Именно большие контактные давления и их колебания являются одной из причин брака при заточке СТМ под воздействием тем-
пературно-силового фактора. Более широкими технологическими возможностями обладает заточка СТМ алмазными кругами на металлических связках с непрерывным автономным электрофизи-
ческим управлением их рабочим рельефом; при этом связка уда-
ляется с поверхности круга непосредственно в процессе шлифо-
вания. Модернизация обычного универсально-заточного станка позволяет резко повысить производительность и качество заточки резцов из СТМ, прежде всего — из синтетических алмазов. Отри-
цательный полюс источника питания 5 (рис. 5.1) подключен к ав-
тономному катоду 13, а положительный — через токосъемник 3

Шлифование и заточка инструментов

5.8. Рекомендуемые условия заточки инструмента из СТМ

Способ обработки	Основа СТМ	Условия шлифования					Показатели процесса		
		Связка круга	Зернистость, мкм	Концентрация K , %	Сила тока I , А	$S_{\text{шл}}$, мм/дв. ход	Эффективная мощность $N_{\text{эф}}$, кВт	Удельный расход круга q , мг/мм ²	Контактное давление p , МПа
Кругами на органической связке с СОЖ (вода + 2 % NaCO ₃); расход СОЖ 8 л/мин (обычная заточка)	Алмаз	Б1	125/100; 160/125	50—100	—	0,02—0,03	2,4—4,0	30—80	26—46
		ТО2	125/100; 160/125	50—100	—	0,03—0,04			
	Нитрид бора	Б1	80/63; 125/100	50—100	—	0,05—0,08	0,9—2,7	1,5—5,0	8—16
		ТО2	80/63; 125/100	50—100	—	0,06—0,10			
Кругами на металлических связках с электрофизикохимическим управлением режущим рельефом (электролит: вода + 5 % NaNO ₃ + 0,5 % NaNO ₂)	Алмаз	M1-01; M1-02; M2-02; MO4; MO13 и др.	100/80; 125/100	40—75	50—60	0,02—0,03	0,7—1,5	15—30	3—5
	Нитрид бора	То же	80/63—125/100	40—75	20—30	0,1—0,2	0,4—0,6	0,3—0,7	0,5—1,0

П р и м е ч а н и е. Круги 12A2—45 150×10×3×32: скорость круга 18—25 м/с; продольная подача — до 3 м/мин.

Технологические особенности и опыт применения инструментов

к алмазному кругу 16 на токопроводящей связке. Необходимая интенсивность удаления связки задается силой тока в цепи управления, которая регулируется изменением межэлектродного зазора δ и контролируется с помощью амперметра 4. Устойчивость рабочего рельефа круга достигается автоматизацией процесса. Сигнал обратной связи с датчика тока 6 поступает в сравнивающее устройство 10, где сравнивается с заданным опорным сигналом, поступающим со стабилизированного источника 11. При уменьшении силы тока в межэлектродном зазоре δ по мере изнашивания круга образуется сигнал рассогласования, который со сравни-

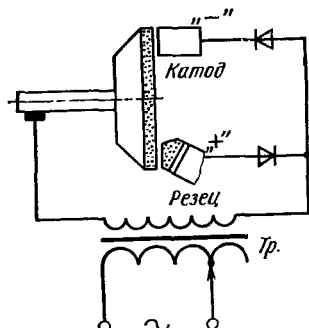


Рис. 5.2. Принципиальная схема модернизации универсально-заточного станка, обеспечивающей одновременную правку круга и разупрочнение обрабатываемой поверхности резца

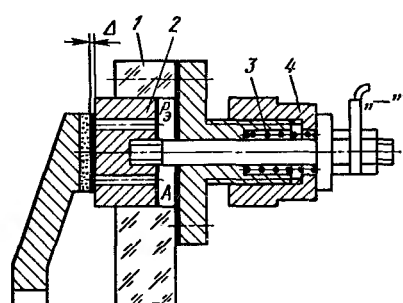


Рис. 5.3. Конструкция катода, обеспечивающего работу алмазного круга на металлической связке в режиме само-затачивания

вающими устройства 10 поступает на фазочувствительный усилитель 9 и далее на реверсивный асинхронный двигатель 8 механизма подачи 7 катода 13. Стабильность шлифования заготовки 15, установленной в держателе 14, обеспечивается также следящей системой управления режущей поверхностью круга по мощности резания (электродвигатель 2 — датчик 1 — сумматор 12).

Описанный способ обеспечивает высокую производительность заточки при невысоком расходе алмазов и позволяет примерно на порядок снизить контактное давление, уменьшить мощность, температуру шлифования и брак изделий по сравнению с обработкой кругами на органических связках. Рекомендуемые условия заточки СТМ приведены в табл. 5.8.

На предприятии по производству тракторов заточные станки модернизированы в направлении одновременной правки рабочей поверхности алмазного круга и травления обрабатываемой поверхности резца из СТМ. Принципиальная электрическая схема (рис. 5.2) состоит из регулируемого силового трансформатора Tr и двух вентилей В320; схема снабжена также необходимыми

Шлифование и заточка инструментов

сигнальными, блокировочными и регистрирующими приборами. Схема построена таким образом, что цепь правки работает только при включении главного привода, а цепь травления — при включении движения подачи. Катод, обеспечивающий работу круга на металлической связке в режиме самозатачивания, представляет собой устройство 2 (рис. 5.3), которое уравновешивается в корпусе 1 давлением P_3 электролита в полости A и в зазоре в зоне контакта. Таким образом, катод контактирует с рабочей поверхностью круга только через слой электролита и практически не изнашивается. Стабильность заданной плотности тока поддерживается постоянством зазора Δ с помощью гайки 4 и пружины 3. Разупрочнение поверхностного слоя обрабатываемого СТМ путем травления способствует повышению производительности и качества заточки.

6. СТАНКИ ДЛЯ ЭФФЕКТИВНОЙ ЭКСПЛУАТАЦИИ РЕЖУЩИХ ИНСТРУМЕНТОВ, ОСНАЩЕННЫХ СТМ И КЕРАМИКОЙ

Установлено, что наибольшая технико-экономическая эффективность применения инструмента из СТМ и керамики достигается при его эксплуатации в оптимальных условиях, которые характеризуются высокими скоростью резания, жесткостью и виброустойчивостью станка и системы станок—приспособление—инструмент—заготовка, стабильностью размеров и физико-механических характеристик заготовок.

Требование высоких жесткости и виброустойчивости оборудования и всей системы станок—приспособление—инструмент—заготовка обусловлено не только тем, что инструмент из СТМ и керамики применяют, как правило, для изготовления деталей с высокой точностью и низкой шероховатостью, но и весьма существенной зависимостью стойкости режущего инструмента из СТМ и керамики от упомянутых характеристик станка. Большое значение имеют жесткость станка, равномерность вращения шпинделя и движения подачи, а также кинематическая точность вращения шпинделя. Важным фактором является не только жесткость самого шпинделя и механизма его крепления, но и общая жесткость станка. Экспериментальные исследования показали, что при торцовом фрезеровании жесткость привода станка влияет на сопротивление выкрашиванию режущих кромок, в то время как общая жесткость станка влияет на износ режущих инструментов.

Пример полученной экспериментальным путем корреляционной зависимости между жесткостью станка и стойкостью инструмента при чистовом фрезеровании плоскости блока показан на рис. 6.1. Как видно, стойкость инструмента повышается с увеличением общей жесткости станка, однако, если при высокой общей жесткости жесткость привода станка недостаточна, то происходит выкрашивание режущих кромок, т. е. инструменты выходят из строя вследствие выкрашивания быстрее, чем вследствие нормального изнашивания.

У станка MM60V (Япония) общая жесткость в 4 раза, а жесткость шпинделя в 3 раза больше, чем у серийных станков, и соответственно в 2 и 1,1 раза больше, чем у тяжелого продольно-фрезерного станка. Из графика, приведенного на рис. 6.1, видно,

Станки для эффективной эксплуатации режущих инструментов

что общая жесткость более существенно влияет на стойкость фрезы с пластинами из керамики. Так, при работе на станке ММ60V и продольно-фрезерном с примерно одинаковой жесткостью шпинделя стойкость фрезы по критерию $h_3 = 0,3$ мм в первом случае составляет 500 деталей (125 мин), а во втором — 300 деталей (75 мин), т. е. в 1,67 раза меньше (общая жесткость

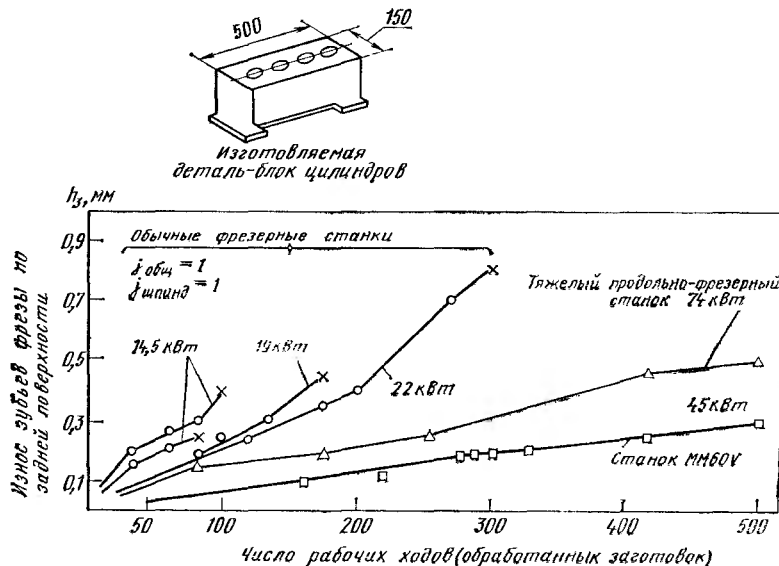


Рис. 6.1. Зависимость износа торцовой фрезы диаметром 300 мм, $z = 24$ с пластинами из оксидно-карбидной керамики от жесткости фрезерного станка j при обработке плоскости блока цилиндров двигателя из чугуна с $\varphi = 400$ м/мин ($n = 400$ мин⁻¹); $S_z = 0,26$ мм/зуб; $S_M = 2000$ мм/мин, $t = 0,5$ мм (для тяжелого продольно-фрезерного станка $J_{\text{общ}} = 2$, $J_{\text{шпинд}} = 2,75$, для станка ММ60V $J_{\text{общ}} = 4$, $J_{\text{шпинд}} = 3$)

станка ММ60V в 2 раза выше). При работе на наиболее мощном (22 кВт) обычном станке стойкость фрезы составила всего около 140 деталей (35 мин). Для эффективного применения фрез, оснащенных СТМ и керамикой, необходимы станки, которые имеют в 2 раза большую общую жесткость и в 3 раза большую жесткость привода, чем у аналогичных обычных станков прежних конструкций. Для повышения общей жесткости станка использовали конструкцию с минимальными деформациями. Система попечерной подачи шпиндельной головки определяет общую компактность станка. Поскольку наличие любых направляющих поверхностей существенно снижает общую жесткость конструкции станка в местах сопряжения, применили принцип предварительного нагружения в направлении, противоположном направлению

Станки для эффективной эксплуатации режущих инструментов

силы резания под действием уравновешивающего груза. Жесткость системы подачи достигается предварительным натягом. Важным фактором является также равномерность вращения шпинделя и перемещения подачи. Для обеспечения равномерности вращения шпинделя маховик на нем установлен близко к инструменту для устранения колебаний скорости резания за счет перегрузок или вибраций в системе привода. Для достижения равномерности перемещения подачи в качестве привода применяют электродвигатель постоянного тока, а также винты с шариковыми гайками. Третьей важной характеристикой является кинематическая точность вращения шпинделя. Точность вращения на торце шпинделя, которая непосредственно связана с биением зубьев фрезы, в случае чистовой обработки оказывает влияние не только на точность обработки, но и на стойкость инструмента. В результате на станке при чистовой обработке ($t = 0,5$ мм) верхней плоскости чугунного блока цилиндров автомобильного двигателя фрезой диаметром 300 мм с пластинами из керамики ($z = 24$) благодаря высокой скорости резания (440 м/мин) была достигнута очень низкая шероховатость поверхности, получить которую с помощью твердосплавных инструментов трудно. При биении зубьев фрезы не более 0,01 мм $R_a \approx 1$ мкм. Благодаря высокой скорости подачи [2250 мм/мин ($S_z \approx 0,3$ мм/зуб)] и эффективному теплоотводу от обрабатываемой заготовки по всей поверхности изделия отклонение от плоскости составляло 0,01—0,015 мм (базирование по трем точкам). Ширина фрезеруемой поверхности $B = 125$ мм, длина блока $l = 630$ мм. Период стойкости составил 600—650 деталей (168—182 мин). При черновом фрезеровании с глубиной резания 3 мм и подачей 1800 мм/мин стойкость составила 350—400 деталей (123—140 мин). После дальнейшего усовершенствования кинематической схемы и увеличения точности станка ММ60V период стойкости фрез с пластинами из керамики удалось довести при чистовом фрезеровании до 1000, а при черновом до 700 деталей и более.

Для обеспечения скорости 5000 м/мин при точении деталей диаметром 100 и 160 мм частота вращения шпинделя должна быть соответственно 16 000 и 10 000 мин⁻¹. При этом токарные станки среднего размера с гидростатическими подшипниками в передней и задней бабках должны иметь мощность привода 80—100 кВт. Резко возрастают также скорости подач, что требует создания новых систем ЧПУ для получения достаточной точности контура.

Для оценки работоспособности токарных станков и шпиндельных узлов в НПО ЭНИМС были приняты шесть условных характеристик.

1. Производительность (кВт·мм/мин) резания

$$K = \frac{N (D_{\max} n_{\max})}{10^7}, \quad (6.1)$$

Станки для эффективной эксплуатации режущих инструментов

где N — мощность привода главного движения, кВт; D_{\max} — наибольший диаметр обрабатываемой заготовки; n_{\max} — максимальная частота вращения шпинделя, мин⁻¹.

Величина N характеризует нагрузочную способность станка, а $(D_{\max}n_{\max})$ — теоретически достижимую скорость резания.

2. Удельная нагрузка на станок (кВт/мм)

$$K_1 = \frac{N}{D_{\max}}. \quad (6.2)$$

3. Коэффициент быстроходности станка (мм/мин)

$$K_2 = 10^{-5} D_{\max} n_{\max}. \quad (6.3)$$

4. Удельная нагрузка (кВт/мм) опор шпинделя

$$K_3 = \frac{N}{d}, \quad (6.4)$$

где d — диаметр шейки шпинделя в передней опоре (характеристика размеров шпиндельных узлов).

5. Быстроходность (мм/мин) шпиндельных узлов и подшипников качения

$$K_4 = 10^{-5} d n_{\max}. \quad (6.5)$$

6. Коэффициенты, характеризующие работоспособность шпиндельных узлов ($\frac{\text{Н} \cdot \text{мм}}{\text{мкм} \cdot \text{мин}}$),

$$K_5 = 10^{-4} j_{\text{ш}}(dn_{\max}); \quad (6.6)$$

$$K_6 = 10^{-4} j_{\text{п}}(dn_{\max}), \quad (6.7)$$

где $j_{\text{ш}}$ — радиальная жесткость шпиндельного узла, $\frac{\text{Н}}{\text{мкм}}$; $j_{\text{п}}$ — радиальная жесткость подшипников передней опоры шпинделя, $\frac{\text{Н}}{\text{мкм}}$.

Токарные станки, на которых выполняют работу инструментом из СТМ и керамики, должны обладать следующими характеристиками работоспособности (меньшие значения, кроме K_4 — для малых диаметров): $K = 4 \dots 16 \text{ кВт} \cdot \text{мм}/\text{мин}$; $K_1 = 50 \dots 150 \text{ кВт}/\text{мм}$; $K_2 = 15 \dots 25 \text{ мм}/\text{мин}$; $K_3 = 200 \dots 600 \text{ кВт}/\text{мм}$; $K_4 = 4,5 \dots 6,0 \text{ мм}/\text{мин}$; $K_5 = 150 \dots 350 \text{ Н} \cdot \text{мм}/(\text{мкм} \cdot \text{мин})$.

Уровень жесткости шпиндельных узлов должен быть следующим:

Диаметр шейки шпинделя d , мм	80—90	100—110	120—140	> 140
Радиальная жесткость узла $j_{\text{ш}}, \text{Н}/\text{мкм}$	35—45	40—65	60—80	80—250

Станки для эффективной эксплуатации режущих инструментов

6.1. Технические характеристики фрезерных станков, необходимые для эффективного применения инструмента из СМ и керамики

Станки	Диаметр фрезы, мм	Частота вращения шпинделя, мин ⁻¹ *	Продольная подача, мм/мин *	Мощность главного привода, кВт (не менее)	Суммарная жесткость, кН/мм (не менее)	Допуск параллельности обработанной поверхности образца его основанию, мкм			Допуск перпендикулярности обработанной поверхности образца оси шпинделя, мкм, на длине измеряемого участка, мм		
						До 400	Св. 400—630	Св. 630—1000	До 200	Св. 300	Св. 500
Вертикальные консольно-фрезерные (ширина стола 320—400 мм)	125—250	400—5 000 2 000—15 000	50—2 500 300—10 000	22—30	80 ** (P = 16 кН; δ = 0,20 мм; стол Ø 400 мм)	12	16	—	12	—	—
Вертикально-фрезерные с крестовым столом (ширина стола 400—1000 мм)	125—315	400—5 000 2 000—15 000	40—4 000 300—10 000	30—55	110 (P = 22 кН; δ = 0,2 мм; стол Ø 630 мм)	10	12	16	12	16	—
Продольно-фрезерные с шириной стола, мм: 500—1000	200—400	200—4 000 1 000—10 000	40—4 000 300—10 000	30—55	175 (P = 35 кН; δ = 0,2 мм; стол Ø 800 мм)	8	10	12	12	20	30
св. 1000	250—400	160—3 150 1 000—10 000	40—4 000 300—10 000	45—75	250 (P = 50 кН; δ = 0,2 мм; стол Ø 1600 мм)						
Карусельно-фрезерные (диаметр стола 1000—2000 мм) со шпинделем для обработки:											
черновой	250—630	315—1 000 1 000—4 000	100—4 000 300—8 000	30—55	140 (P = 28 кН; δ = 0,2 мм; стол Ø 1000 мм); 170 (P = 34 кН; δ = 0,2 мм; стол Ø 2000 мм)	10	12	—	—	—	—
чистовой	160—200	800—2 500 2 500—10 000									
	250—630	630—2 000 2 000—8 000	На периметре стола	11—15							
	160—200	1 600—5 000 2 500—15 000	То же								

П р и м е ч а н и я: 1. Для специальных станков, оснащенных крупными фрезами гателя — увеличена (по сравнению с данными для продольно-фрезерных станков) производительность главного привода.

2. Для очистки базовых поверхностей оснастки от стружки, охлаждения горячих из зоны обработки в сборники целесообразно применение обильного охлаждения водой на каждый зуб фрезы; после фильтрации СОЖ не должно содержаться частиц размером более 30 мкм.

* В числителе — данные для обработки фрезами из композита, а в знаменателе — для обработки алюминиевых и других цветных сплавов алмазным инструментом. Характеристики станков для обработки чугунов и цветных сплавов перекрываются.

** Для консольных станков перемещение б может быть увеличено в 1,25 раза.

Станки для эффективной эксплуатации режущих инструментов

При внедрении сверхскоростного фрезерования чугунов и цветных сплавов инструментом из СТМ требуются шпиндельные узлы на подшипниках качения с $K_4 = 12 \dots 15$ мм/мин при $K_3 = 800 \dots 1000$ кВт/мм (для $d = 140$ мм это означает, что $n_{\max} = 850 \dots 10\,000$ мин⁻¹ и $N = 110 \dots 140$ кВт).

Повышение параметров работоспособности станков достигается прежде всего увеличением жесткости и быстродействия шпиндельных узлов. Для повышения работоспособности шпиндельных узлов необходимо наряду с модернизацией их конструкций (в первую очередь — на базе высокоскоростных радиально-упорных шарикоподшипников) совершенствовать технологию производства шпиндельных узлов (особенно средств измерения), систему смазывания, патроны, ремни, шестеренный привод, а также общие компоновочные решения (несущие системы) для обеспечения устойчивого резания в условиях высоких скоростей и нагрузок.

Таким образом, для рационального применения инструмента, оснащенного из СТМ и керамикой, необходимы качественно новые станки; простая модернизация действующего оборудования путем, например, увеличения частоты вращения шпинделя не может дать требуемого результата.

Фрезы, оснащенные СТМ на основе нитрида бора, в основном применяют для фрезерования плоскостей корпусных деталей из чугунов, в том числе по литейной корке с глубиной резания до 5—8 мм. Торцовые фрезы, оснащенные синтетическими поликристаллическими алмазами, применяют для фрезерования плоскостей аналогичных деталей из алюминиевых и других цветных сплавов. В первом случае оптимальные скорости резания 600—3000 м/мин, а во втором — они могут достигать 10 000 м/мин и более. При обработке алюминиевых сплавов припуски, как правило, не превышают 1—3 мм, однако вследствие сверхвысоких скоростей резания требования к мощности двигателя те же, что и при фрезеровании чугунов (табл. 6.1).

В основу табл. 6.1 положены данные стандартов для фрезерных и шлифовальных станков различных типов (табл. 6.2—6.4). Новые станки по точности должны приближаться к шлифовальным, а по жесткости — превосходить продольно-фрезерные станки повышенной точности.

Имеющиеся фрезерные станки (табл. 6.4) можно использовать для работы с помощью инструмента из СТМ. Однако в большинстве случаев реальные условия эксплуатации будут далеки от оптимальных, и, следовательно, технико-экономический эффект от внедрения будет ниже. Так, все вертикальные консольно-фрезерные станки нормальной степени точности обладают невысокой жесткостью, что не позволяет вести изготовление точных деталей. Кроме того, все они имеют малую мощность и не могут длительное время работать на предельно высоких частотах вращения шпин-

Станки для эффективной эксплуатации режущих инструментов

6.2. Точность обработки на некоторых фрезерных и продольно-шлифовальных станках различных типов

Длина изме- ряемого участ- ка, мм	Станки							
	вертикальные кон- сольно-фрезерные (ГОСТ 17734—81 Е)		вертикально-фре- зерные с кресто- вым столом (ГОСТ 9726—83 Е)		продольно-фрезер- ные (ГОСТ 18101—79 Е)		продольно-шлифо- вальные (ГОСТ 13135—80 Е)	
	Н	П	Н	П	Н	П	П	В
До 160	16	10	—	—	—	—	—	—
Св. 160—250	20	12	16	10	12	8	5	3
» 250—400	25	16	20	12	16	10	6	4
» 400—630	30	20	25	16	20	12	8	5
» 630—1000	—	—	30	20	32	20	10	6
<i>Допуск параллельности обработанной поверхности образца его основанию, мкм</i>								
До 100	20	12	—	—	—	—	—	—
Св. 100—200	—	—	12	8	20	12	12	8
» 200—300	—	—	16	10	30	20	20	12
» 300—500	—	—	—	—	40	25	30	20
<i>Допуск перпендикулярности обработанных поверхностей образца, мкм</i>								

О б о з н а ч е н и я: Н, П, В — классы точности станков.

деля, хотя даже при $n_{\max} = 2500 \text{ мин}^{-1}$ скорость резания фрезой диаметром 160 мм составляет всего 1256 м/мин. Станки с кресто-вым столом обладают хорошей жесткостью, но имеют низкую быстроходность (только у станков 65А60Ф1 и 65А60Ф4 скорость и мощность приближаются к требуемым).

Из всех компоновок фрезерных станков модели продольного типа обладают наибольшей жесткостью. Однако для полной реализации возможностей инструментов из СТМ, особенно при обработке с глубинами резания 4—7 мм фрезами диаметром 250—400 мм, эти станки не обладают требуемыми мощностью и скоростью.

На карусельно-фрезерных станках применение фрез из СТМ в настоящее время практически невозможно, так как шпиндель для черновой обработки не обеспечивает съема припуска вследствие недостаточной мощности двигателя. Кроме того, точность карусельно-фрезерных станков ниже, чем консольно-фрезерных.

Станки для эффективной эксплуатации режущих инструментов

6.3. Суммарная жесткость $J = P/\delta$, кН/мм, фрезерных и продольно-шлифовальных станков различных типов

Ширина стола, мм	Класс точности	Станки														
		вертикальные консольно-фрезерные			вертикально-фрезерные с крестовым столом			продольно-фрезерные			продольно-шлифовальные					
		P , кН	δ , мм	J , кН/мм		P , кН	δ , мм	J , кН/мм		P , кН	δ , мм	J , кН/мм		P , кН	δ , мм	J , кН/мм
400	Н	20	0,63	32	20	0,45	44	12	0,19	63	—	—	—	—	—	—
	П	16	0,40	40	16	0,28	57	10	0,15	67	1,7	0,16	10,6			
500	Н	—	—	—	25	0,50	50	16	0,21	71	—	—	—	—	—	—
	П	—	—	—	20	0,32	62	13	0,17	76	2,25	0,18	12,5			
630	Н	—	—	—	31,5	0,56	56	20	0,24	83	—	—	—	—	—	—
	П	—	—	—	25	0,36	69	16	0,15	106	3,00	0,20	15,0			
800	Н	—	—	—	42,5	0,63	67	25	0,26	96	—	—	—	—	—	—
	П	—	—	—	33,5	0,40	84	20	0,17	117	3,75	0,22	17,0			
1000	Н	—	—	—	55	0,71	77	32	0,30	106	—	—	—	—	—	—
	П	—	—	—	45	0,45	100	26	0,19	136	5,30	0,25	21,0			
1250	Н	—	—	—	—	—	—	41	0,34	120	—	—	—	—	—	—
	П	—	—	—	—	—	—	33	0,21	157	7,10	0,28	25,4			
1600	Н	—	—	—	—	—	—	51	0,38	134	—	—	—	—	—	—
	П	—	—	—	—	—	—	41	0,24	170	—	—	—	—	—	—

6.4. Технические характеристики некоторых фрезерных многоцелевых станков

Станки	Класс точности	Площадь рабочей поверхности или диаметр стола, мм	Частота вращения шпинделя, мин ⁻¹	Скорость подачи стола, мм/мин	Мощность главного привода, кВт
Консольно-фрезерные: 6Р12; 6Т12-1	Н	320×1250	31,5—1600	25—1250 или 12,5—1600	7,5
6Р12Б 6Р13; 6Т13-1		320×1250 400×1600	50—2500 31,5—1600	40—2000 25—1250 или 12,5—1600	11,0 11,0
6Р13Б 6Р13Ф3; 6Т13Ф3-1		400×1600 400×1600	50—2500 40—2000	40—2000 3—4800	15,0 7,5

Станки для эффективной эксплуатации режущих инструментов

Продолжение табл. 6.4

Станки	Класс точности	Размеры рабочей поверхности или диаметр стола, мм	Частота вращения шпинделя, мин ⁻¹	Скорость подачи стола, мм/мин	Мощность главного привода, кВт
Вертикальные с крестовым столом: 654; 6560; 6560Ф1	H	630×1600	25—1250	10—1200 или 1—4800	15,0
6560Ф3 65A60Ф1; 65A60Ф4 6A56 6A59		630×1600 630×1250 800×2000 1000×2500	5,6—1600 2—2000 25—1250 25—1250	1—4800 1—6000 6—1000 6—1000	15,0 20,0 22,0 22,0
Продольно-фрезерные: 6605 6605Ф1	H	500×1600 500×1600	16—1600 25—1250 или 31,5—1600	10—300 2,5—4000	7,5 11,0
6606 6606Ф1		630×2000 630×2000	16—1600 25—1250 или 31,5—1600	10—3000 2,5—4000	11,0 15,0
6Г608 6M608; 6M608Ф1 6Г610 6M610; 6M610Ф1 6У612; 6У312 6У616; 6У316		800×2500 800×2500 1000×3150 1000×3150 1250×4000 1600×5000	16—1250 10—1250 16—1250 10—1250 25—1250 25—1250	10—2500 4—3000 10—2500 4—3000 5—1000 5—1000	13,0 30,0 17,0 30,0 22,0 22,0
Карусельно-фрезерные: 621M (отклонение от параллельности 30 мкм на длине 300 мм) 621O610	H	1000	63—1000 (черновой) 100—1600 (чистовой)	100—1250	7,5 или 10,0
621OC11 (30 мкм/300 мм)		1000	500—1000 (черновой) 800—1600 (чистовой)	125—1600	11,0 или 7,5
6A23		1400	40—250 (черновой) 63—4000 (чистовой)	125—1600	11,0 или 7,5
6M23C13		1600	31,5—500 (черновой) 50—800 (чистовой)	20—800	17,0
4Ф99 (25 мкм/500 мм)		2000	80—250 (черновой) 250—800 (чистовой)		15,0

Станки для эффективной эксплуатации режущих инструментов

Продолжение табл. 6.4

Станки	Класс точности	Площадь рабочей поверхности или диаметр стола, мм	Частота вращения шпинделя, мин ⁻¹	Скорость подачи стола, мм/мин	Мощность главного привода, кВт
Многоцелевые станки:					
ЛФ260МФ3	Н	250×630	31,5—1600	5—1200	8,0
ИР320ПМФ4	П	320×320	12,5—5000	1—3200	7,5
21104Н7Ф4 ***	Н	400×630	30—3000 (40—4000) *	20—2000	5,5 (8,5) *
2204ВМФ4	В	400×500	31,5—3150 (50—5000) **	1—4000	6,3 (8,0; 11,0) *
ИР500ПМФ4	П	500×500	21,2—3000 (37,5— 5300) *	1—2000	14,0 (22,0) *
2206ВМФ4	В	630×800	25—2500 (50—5000) **	1—4000	11,0 (15,0) *
2Е450АМФ4 ***	А	630×1120	10—2000 (15—3000)	1—6000	7,2
ИР800ПМФ4	П	800×800	21,2—3000 (37,5— 5300) *	1—2000	14,0 (22,0) *
2623ПМФ4	П	1120×1250	5—1250	2—1600	20,0
ИР1600ПМФ4	П	Плиты	5—2000	1—2000	28,0 (42,0) *

* Указанное в скобках — по заказу.

** Частота вращения шпинделя накладной головки.

*** Чистовые работы с малыми стечками.

Скоростная характеристика многоцелевых станков в большинстве случаев соответствует условиям эксплуатации инструмента из СТМ. На таких станках применение торцевых фрез и расточных резцов из СТМ при обработке плоскостей и отверстий корпусных деталей взамен твердосплавного инструмента наиболее эффективно. При работе на станках класса точности П по ГОСТ 13135—80Е, с толщиной срезаемого слоя 0,1—0,5 мм, допуск прямолинейности фрезерованной поверхности составляет 0,01—0,02 мм на длине 1000 мм, а параметры шероховатости $R_a = 0,63 \dots 2,5 \text{ мкм}$.

Фрезерование инструментом из СТМ в станкостроении наиболее широко применяется при обработке горизонтальных, вертикальных и наклонных плоскостей чугунных корпусных и базовых деталей на продольно-шлифовальных станках. Торцевые фрезы устанавливают на шпинделе поворотной шлифовальной бабки станка вместо чашечного шлифовального круга. Фрезерование инструментом из СТМ взамен шлифования рекомендуется применять на станках, приведенных в табл. 6.5—6.6, а также на любых других продольно-шлифовальных станках классов точности П и В [1].

Станки для эффективной эксплуатации режущих инструментов

6.5. Технические характеристики эксплуатирующихся в СССР одностоечных продольно-шлифовальных станков, рекомендуемых для работы торцовыми фрезами из СТМ (по данным НПО ЭНИМС)

Станок	Изготовитель	Наибольшие размеры обрабатываемого изделия, мм		Скорость перемещения стола (стопки), м/мин	Поворотная шлифовальная бабка			
		Ширина	Длина		Тип	Мощность привода, кВт	Диаметр чашечного круга (фрезы), мм	Частота вращения шпинделя, мин ⁻¹
ЗА530	СССР	800	2000	1,5—15	I II	3,0 3,0	75—175 75—175	2850 2850
ЗА544	СССР	1150	4000	1,0—12	—	2,2	150—175	2900
ЗД544	СССР	1250	4000	2,5—20	—	5,5	150—175	2790
IOFS-4	«Шнайдер», ФРГ	1000	3200	1,0—25	I II	2,2 3,0	50—150 50—200	1000—5000 1000—4500
IOWFS-4	То же	1200	5000	1,0—12	I II	3,0 3,7	50—150 50—200	1000—5000 1000—4500
TH110	«Биллтер», ФРГ	1100	5000	1,0—10	III —	5,5 3,0	50—300 50—150	1000—4000 2850

Для обеспечения безвibrationной работы продольно-шлифовальных станков рекомендуется работать многозубыми фрезами. До установки на станок фрезу необходимо статически отбалансировать подобно тому, как балансируют шлифовальные круги в сборе с фланцами. Для контроля за нагрузкой на электродвигатель привода шпинделя станок нужно оснастить указателем нагрузки или амперметром. Для защиты от чугунной стружки фрезу следует закрыть кожухом (таким же, каким закрывают чашечный шлифовальный круг); на уровне зубьев фрезы на кожухе должен быть закреплен резиновый фартук с прорезями. На столе станка в зоне обработки должны быть установлены щитки таким образом, чтобы их верхняя кромка была на 150—250 мм выше уровня обрабатываемой поверхности.

Требования к алмазно-расточным станкам: точность — не ниже класса В; число шпинделей — не более четырех (каждый из них должен иметь индивидуальный привод); в клиновременной передаче должно быть минимально возможное число промежуточных шкивов и должны отсутствовать проскальзывание при передаче требуемой мощности на шпиндель расточной головки; расточные оправки должны иметь повышенные жесткость и виброустойчивость при частоте вращения не менее 2500 мин⁻¹ для диаметра растачиваемой поверхности 100 мм; расточные оправки должны оснащаться многомассными виброгасителями и перед установкой на шпиндели балансируться; на станке необходимо использо-

Станки для эффективной эксплуатации режущих инструментов

6.6. Технические характеристики эксплуатирующихся в ССР двухстоечных продольно-шлифовальных стакнов, рекомендуемых для работы торцовыми фрезами из СТМ [1]

Станок	Изгото-витель	Размеры рабочей по-верхности стола, мм		Скорость перемещения стола, м/мин	Поворотная шлифовальная бабка			
		Ши-рина	Дли-на		Тип	Мощность привода, кВт *	Диаметр ча-щечного круга (фрезы), мм	Частота вращения шпинделя, мин ⁻¹
MC510Ф1	СССР	630	2500	1,0—30	—	4,7/5,5	150	1450/2900
	СССР	710	3000	2,0—25	—	4,0	150	2880
	СССР	1000	3150	1,0—50	—	15,0	150	970—2500
	СССР	9000	4000	2,0—25	—	2,8	150	3000
	«Вальдрих Кобург», ФРГ	1250	6000	1,0—45	S10 S15	7,5 11,0	— —	600—2800 500—2500
Серия SZ	То же	1500	6000	1,0—45	S10 S15	7,5 11,0	— —	600—2800 500—2500
	Станко-строительный комбинат им. Ф. Геккера, ГДР	800—1000—1250—1800	3000—10 000—4000—10 000	2,0—50	I	3,0/3,5	63— 200	1500/3000
				1,0—50	II	7,0	63— 200	1000—3000

* В числителе — для первого исполнения, в знаменателе — для второго исполнения

вать быстродействующие приспособления с полуавтоматической загрузкой заготовок в рабочие позиции.

Следует отметить, что инструменты из СТМ и керамики могут применяться на станках других моделей, имеющихся в действующем парке станков страны и соответствующих установленным для них нормам точности и жесткости; при этом целесообразность внедрения должна определяться в каждом конкретном случае на основе оценочных экспериментов и расчета ожидаемого экономического эффекта.

Основные характеристики станков, пригодных для эффективной эксплуатации инструмента из СТМ и керамики, приведены в табл. 6.7.

Станки для эффективной эксплуатации режущих инструментов

6.7. Станки для эффективной эксплуатации инструмента из СТМ и керамики

Станки токарной группы

Оборудование	$d \times l$, мм	Частота вращения шпинделя, мин ⁻¹	Мощность привода N , кВт	Масса станка, т
Многооперационный токарно-револьверный прутково-патронный автомат 11Б40ПФ4 * с ЧПУ повышенной точности	40×125	40—4000	15	5
Токарный гибкий производственный модуль 11Б40ПФ4М* для комплексной обработки деталей из прутка высокой точности	40	50—4000	15	6
Многооперационный токарно-револьверный гибкий производственный модуль П420ПФ30РМ * для патронно-прутковой обработки	50	25—2500	30	9,5
Многооперационный токарно-револьверный одношпиндельный полуавтомат П420ПФ40 повышенной точности	40	25—2500	30	5,5
Токарно-револьверный одношпиндельный патронный полуавтомат П420ПФ30 с ЧПУ повышенной точности	40	25—3150	30	5
Токарно-револьверный гибкий производственный модуль АР1К02П *	65	25—1250; 50—2000	18,5;	9
Многоцелевой токарно-револьверный прутково-патронный полуавтомат П426Ф3 * повышенной точности	65	36—1800	30	8
Токарно-револьверный полуавтомат П426Ф3 * с ЧПУ повышенной точности	65	25—1250; 36—1800	18,5	6
Токарно-револьверный полуавтомат П426ДФ3 * с ЧПУ повышенной точности	65	25—1250; 50—2500	18,5 22	7,8

Станки для эффективной эксплуатации режущих инструментов

Продолжение табл. 6.7

Оборудование	d или $d \times l$, мм	Частота вращения шпинделя, мин $^{-1}$	Мощность привода N , кВт	Масса стан- ка, т
Токарный станок 1805АФ30 * с ЧПУ особо высокой точности	250	63—4000	5,5	2,2
Токарно-винторезный станок 16Б05А особо высокой точности	250	25—2500 32—3200	1,5	1,25
Токарно-винторезный механизирован- ный станок 16М05В высокой точности	250	16—3200 16—5000	2,35	1,435
Токарный модуль 16В16ПФЗПМ для обработки валов	320×750	20—2500	11	4,6
Токарный станок 16Б16Т1 с ЧПУ по- вышенной точности	320×750	40—2000 56—2800	4,2 7,1	2,87 2,87
Токарный станок 16Б16Ф3 с ЧПУ повышенной точности	320×750	40—2000 50—2500	4,2 7,1	2,95
Токарный станок 16В16ПФ3 с ЧПУ по- вышенной точности	320×710	—	—	—
Токарно-винторезный станок 16Б16А особо высокой точности	320×750	20—2000 25—2500	3,2 5,3	2,1 3,0
Токарно-винторезный станок 16С16А особо высокой точности	320×750	4000	8	2,1
Токарно-винторезный станок 16Б16П повышенной точности	320×750; 320×1000; 320×1400	25—2500 20—2000 16—1600	4,2 7,1 —	2,1 — —
Токарный станок 16К20Т1 * с ЧПУ повышенной точности	400×710; 400×1000	22,4—2240 —	11 —	4,35 —
Токарный станок 16К20Ф3 с ЧПУ	400×710; 400×1000; 400×1400	22,4—2240 — —	11 —	4 —
Токарный патронный станок 16К20РФ3 с ЧПУ	400	22,4—2240	11	4,25

Станки для эффективной эксплуатации режущих инструментов

Продолжение табл. 6.7

Оборудование	d или $d \times l$, мм	Частота вращения шпинделя, мин ⁻¹	Мощность привода N , кВт	Масса стан- ка, т
Токарно-винторезный станок 16К20В высокой точности	400×750; 400×1000	16—2000 12,5—1600 —	5,5	3,225
Токарный полуавтомат РТ-724Ф3 * патронно-центровой с ЧПУ	630×750	10—2000	25	9
Токарный станок 16К30Ф3 * с ЧПУ повышенной точности	630×1500; 630×3000	8—1600 6,3—1250	22 30	7,4 —
Токарно-винторезный станок 1М63Б	630×2800; 630×4000	10—1250 —	15 —	3,8 4,3
Токарно-винторезный станок 1М63М	630×1400; 630×2000	12,5 1600	18,5 —	4,5 —
Токарный станок 16К50Ф3 с ЧПУ повышенной точности	1000×2000; 1000×2800; 1000×4000; 1000×5000	2,5—500 4—800 — —	45 — — —	11,5 — — —
Токарный патронный станок РТ-751Ф4	1000	40—400	45 55	23
Токарный станок 1А660Ф3 с ЧПУ	1250	1,6—200	55	50,7
Токарный станок 16К60Ф3 с ЧПУ	1250 —	1,6—315 2,5—800	37 55	30
Токарный станок 1К660Ф3 с ЧПУ	1250	1,25—250	55	65
Токарный станок 1А665Ф3 с ЧПУ	1600	1—160	75	63,2
Токарный станок 1К665Ф3 с ЧПУ	160	1—200	75	70
Токарный патронно-центровой гибкий производственный модуль 1720ПФ30 *	125	—	—	—
Токарный гибкий производственный модуль 16К30Ф3РМ * для обработки заготовок в центрах	250	—	—	—

Станки для эффективной эксплуатации режущих инструментов

Продолжение табл. 6.7

Оборудование	d или $d \times l$, мм	Частота вращения шпинделя, мин ⁻¹	Мощность привода N , кВт	Масса стан- ка, т
Токарный станок 1720ПФ30 * с опера- тивной системой программного управ- ления повышенной точности	400	20—2500; 25—3150	18	5,5
Токарный гибкий производственный модуль КТ-141ПРМ * для обработки заготовок в патроне	200	56—900; 160—2500	15	6
Токарный патронный полуавтомат КТ-141П * с ЧПУ повышенной точ- ности	200	56—900; 160—2500	15	6,0
Токарный патронный полуавтомат 17В05АФ30 * особо высокой точ- ности с ЧПУ	250	3200	17	37
Токарный полуавтомат 17В05АФ30 * патронно-центровой особо высокой точ- ности с ЧПУ	250×500	4500	11	30
Токарный двухшпиндельный патрон- ный модуль 1732ПФ30РМ *	320	12,5—2000	30	25
Токарный гибкий производственный модуль 1П756ДФЗРМ * для обработки деталей в патроне	320	2000	35	14
Токарный фронтальный патронный двухшпиндельный полуавтомат 1733ГФ30 * с ЧПУ повышенной точ- ности	320	12,5—2000	—	—
Токарный патронно-центровой полу- автомат 1716ПФ3 * с ЧПУ повышен- ной точности	320	5600 4000 3000	11 15 —	4,5 — —
Токарный патронно-центровой полу- автомат 1716ВФ3 * с ЧПУ высокой точности	320 — —	5600 4000 3000	15 — —	4,5 — —

Станки для эффективной эксплуатации режущих инструментов

Продолжение табл. 6.7

Оборудование	d или $d \times l$, мм	Частота вращения шпинделя, мин ⁻¹	Мощность привода N , кВт	Масса стан- ка, т
Токарный ГП-модуль 751Ф4РМ * для многоцелевой обработки деталей типа тел вращения в патроне	500	—	—	—
Токарный патронный полуавтомат 1П756ДФЗ * с ЧПУ повышенной точности	500	8—1600 10—2000 12—2500	22 30 22	9
Многоцелевой токарный патронный полуавтомат 1П756Ф4 * с ЧПУ	500	10—2000	22	12,7
Токарный патронный станок 1П756ДФЗ * с ЧПУ высокой точности	500×320	2500	30	10
Токарный гибкий производственный модуль 1725РФ3РМ * для обработки деталей в центрах	400	2500	30	14
Токарно-винторезный станок 16К2ОП повышенной точности	400×710	8,5—2000	11	2,8; 3,1
Токарно-винторезный станок 16К40	800×3000	6,3—1250 8—1600	22 30	7,5 7,8
Токарный патронно-центровой станок 1М63МФ30 с оперативной системой программного управления	630×1500	12,5—1600	18,5	5,7
Токарно-винторезный станок 16Д2П	400	8,5—2000 10,6—2500	11	2,8 3,1
Токарный патронный полуавтомат 1П756ДФЗ с ЧПУ повышенной точности	500 320	8—1600 1—2000 12,5—2500	22—30 22—45 —	10,0 — —
Токарный полуавтомат Б-КТ-141П с ЧПУ повышенной точности	200; 100	56—900 160—2500	15 —	6,5 —
Токарный многорезцовый копировальный полуавтомат Б-1Е713П повышенной точности	200×710; 200×1000; 200×1400	100—2000 125—2500 —	17 25 —	5,5 — —

Станки для эффективной эксплуатации режущих инструментов

Продолжение табл. 6.7

Оборудование	$d \times l$, мм	Частота вращения шпинделя, мин^{-1}	Мощность привода N , кВт	Масса станка, т
Токарно-винторезный станок Б-16К30Ф3 с ЧПУ повышенной точности	630×1400	20—2500	30	8
Токарно-винторезный станок Б-1720ПФ30 повышенной точности	400×750; 400×1000	20—2500; 25—3150	18	6
Токарный гибкий производственный модуль 1725РФ3РМ-1 * для обработки заготовок в центрах	200×1000	—	—	—
Токарный полуавтомат В-1Е713Ф3 * с ЧПУ повышенной точности	200×710; 200×1000; 200×1400	—	—	—
Токарный патронно-центровой полуавтомат 1740РФ3 * с ЧПУ	400×630	16—2000	60	13; 15
Токарный патронно-центровой полуавтомат 1725РФ3 * с ЧПУ повышенной точности	250×1000; 250×1500; 200×2000	25—2500; 31,5—3150	30	8,5

Станки сверлильно-расточкой и фрезерной групп

Оборудование	Dиаметр шпинделя	Ширина стола	Длина стола	Частота вращения, мин^{-1}	Мощность привода, кВт	Масса станка, т
	мм					
Горизонтально-расточный станок 2А620Ф2-1 с поворотным столом, планшайбой, радиальным суппортом и ЧПУ	90	1120	1250	10—1600; 6,3—160	15	17,5
Горизонтально-расточный станок 2А620Ф1-1 с предварительным набором координат и цифровой индикацией, стол поворотный, планшайба с радиальным суппортом	90	1120	1250	10—1600; 6,3—160	15	17

Станки для эффективной эксплуатации режущих инструментов

Продолжение табл. 6.7

Оборудование	Диаметр шпин- делья	Ширина стола	Длина стола	Частота вращения, мин ⁻¹	Мощ- ность привода, кВт	Масса станка, т
	мм					
Горизонтальный свер- лильно-фрезерно-расточ- ный станок 2А622Ф4-1 с неподвижной передней стойкой, крестовым пово- ротным столом и ЧПУ, повышенной точности	110	1120	1250	4—1250	20	17,5
Горизонтально-расточ- ный станок 2В623ГМФ-4 с продольно-подвижной стойкой, поперечно-под- вижным поворотным сто- лом с ЧПУ, автоматиче- ской сменой инструмента (АСИ), повышенной точ- ности	110	1250	1600	8—2000	20	27
Горизонтально-расточ- ный станок 2А622Ф2-1 с неподвижной передней стойкой, поворотным сто- лом, усиленным шпинде- лем, предварительным набором координат и циф- ровой индикацией	110	1120	1250	10—1250	15	16,5
Горизонтально-расточ- ный станок 2А636Ф2 с не- подвижной стойкой, кре- стовым столом, планшай- бой, выдвижным шпинде- лем и ЧПУ	125	1600	1800	5—1250	22	33,7
Горизонтально-расточ- ный станок 2Г637МФ4 с подвижной передней стой- кой и поперечно-переме- щаемым поворотным сто- лом, без задней стойки, с АСИ и ЧПУ, повышен- ной точности	160	1600	2000	2,0—1600	34	36,5

Станки для эффективной эксплуатации режущих инструментов

Продолжение табл. 6.7

Оборудование	Диаметр шпин- делей	Ширина стола	Длина стола	Частота вращения, мин ⁻¹	Мощ- ность привода, кВт	Масса станка, т
	мм					
Горизонтально-расточ- ный станок 2А637Ф2 с не- подвижной передней стой- кой, крестовым поворот- ным столом и ЧПУ	160	1600	1800	5—1000	22	33,2
Горизонтально-расточ- ный станок ИР2637ПФ4 с неподвижной стойкой, крестовым поворотным столом, ЧПУ, повышен- ной точности	160	1600	1800	5—1250	26; 30	36,9
Многоцелевой сверлиль- но-фрезерно-расточный горизонтальный станок ГФ630ПМФ4 с подвиж- ной стойкой, повышен- ной точности	160	630	630	21,2—3000; 32—5000	15	12
Многоцелевой сверлиль- но-фрезерно-расточный горизонтальный станок Р2Д650МФ4 с поперечно- подвижной стойкой, вы- движным ползуном и шпинделем	160	4500	4200	4—1000	37; 45	54
Сверлильно-фрезерно- расточный станок 2А630Ф4 с поперечно-под- вижной стойкой, стендо- вой плитой, поворотным столом и ЧПУ	160	4500	4200	4—1000	45	49
Сверлильно-фрезерно- расточный станок 2А651Ф4 с поперечно-под- вижной стойкой, выдвиж- ной шпиндельной балкой, усиленным шпинделем и ЧПУ	200	4500	4200	3,2—800	45	50; 75

Станки для эффективной эксплуатации режущих инструментов

Продолжение табл. 6.7

Оборудование	Диаметр шпин- делья	Ширина стола	Длина стола	Частота вращения, мин ⁻¹	Мощ- ность привода, кВт	Масса стакана, т
	мм					
Многоцелевой сверлиль- но-фрезерно-расточный горизонтальный станок 2202ВМФ4 * с крестовым поворотным столом, вы- сокой точности	—	250	320	50—3150	5,5	3,8
Многоцелевой сверлиль- но-фрезерно-расточный горизонтальный станок 2201ПМФ4 с наклонным поворотным столом, по- вышенной точности	—	250	320	40—4000	5,3; 7,3	2
Сверлильно-фрезерно- расточный гибкий произ- водственный модуль 2ИР2М03П с многомест- ным накопителем для сто- лов-спутников	—	320	320	40—5000	7,5	9,1
Сверлильно-фрезерно- расточный гибкий произ- водственный модуль ИР2М03П с многомест- ным накопителем для сто- лов-спутников	—	320	320	13—5000	7,5	10,1
Многоцелевой сверлиль- но-фрезерно-расточный станок с подвижной стой- кой АСИ, ЧПУ, повы- шенной точности	—	320	320	13—5000	7,5	8
Многоцелевой сверлиль- но-фрезерно-расточ- ный горизонтальный ста- нок с подвижной стойкой, ЧПУ, автоматической сменой инструмента	—	320	320	40—5000	7,5	7
Многоцелевой сверлиль- но-фрезерно-расточный станок с АСИ, ЧПУ, по- вышенной точности	—	400	500	13—5000	7,5	9,1

Станки для эффективной эксплуатации режущих инструментов

Продолжение табл. 6.7

Оборудование	Диаметр шпин- делья	Ширина стола	Длина стола	Частота вращения, мин ⁻¹	Мощ- ность привода, кВт	Масса станка, т
	мм					
Многоцелевой сверлильно-фрезерно-расточный горизонтальный станок 2204ВМФ4 высокой точности	—	400	500	40—2500; 3200	8; 11	8
Многоцелевой сверлильно-фрезерно-расточный горизонтальный станок 21004П7Ф4	—	400	400	30—3000	8,5	9,8
Многоцелевой сверлильно-фрезерно-расточный станок с двумя столами, сменой многошиндельных головок, повышенной точности	—	400	1000	50—3150	6,5	9,7
Многоцелевой сверлильно-фрезерно-расточный горизонтальный станок 2204АМ1Ф4 с крестовым поворотным столом, ЧПУ, АСИ и автоматической сменой заготовок (АСЗ), особо высокой точности	—	400	500	40—2500; 3200	8	8
Сверлильно-фрезерно-расточный гибкий производственный модуль 21004Н7Ф4М для обработки корпусных деталей	—	400	400	30—3000	10,5	13
Гибкий производственный модуль ОГ2М05А для обработки корпусных деталей, особо высокой точности	—	500		40—5000	10	10
Сверлильно-фрезерно-расточный гибкий производственный модуль ИР500ПМ1Ф4 для обработки корпусных деталей с многоместным накопителем для столов-спутников	—	500	500	21,2—3000	15	14,5

Станки для эффективной эксплуатации режущих инструментов

Продолжение табл. 6.7

Оборудование	Диаметр шпинделья	Ширина стола	Длина стола	Частота вращения, мин ⁻¹	Мощность привода, кВт	Масса станка, т
Сверлильно-фрезерно-расточный гибкий производственный модуль ИР500ПМ1Ф4 для обработки корпусных деталей с многоместным накопителем для столов-спутников	—	500	500	21,2—3000	18; 21,2	19,2
Многоцелевой сверлильно-фрезерно-расточный горизонтальный станок ИР500ПМФ4 повышенной точности с подвижной стойкой	—	500	500	21,2—3000	14; 18; 22	12,8
Многопелевой сверлильно-фрезерно-расточный горизонтальный станочный модуль В-ИР500ПМФ4 с подвижной стойкой	—	500	500	32—5000	15	11,25
Сверлильно-фрезерно-расточный гибкий производственный модуль ВШ2М06А для обработки корпусных деталей особо высокой точности	—	630	800	20—3500	15	15,6
Многоцелевой сверлильно-фрезерно-расточный горизонтальный станок 2206ВМФ4 высокой точности	—	630	800	31,5—2500	12; 14	9,5
Многоцелевой сверлильно-фрезерно-расточный горизонтальный станок 22К06ПМ2Ф4 с двумя столами и сменой многошпиндельных головок, повышенной точности	—	630	1600	45—2500	12	—

Станки для эффективной эксплуатации режущих инструментов

Продолжение табл. 6.7

Оборудование	Диаметр шпинделья	Ширина стола	Длина стола	Частота вращения, мин ⁻¹	Мощность привода, кВт	Масса станка, т
		мм				
Многоцелевой сверлильно-фрезерно-расточный горизонтальный станок ИР500ГМФ4 с подвижной стойкой, повышенной точности	—	500	500	21,2—3000	14; 18; 22	12,8
Многоцелевой сверлильно-фрезерно-расточный горизонтальный станок-модуль В-ИР500ГМФ4 с подвижной стойкой	—	500	500	32—5000	15	11,25
Сверлильно-фрезерно-расточный гибкий производственный модуль ВШ2М06А для обработки корпусных деталей, особо высокой точности	—	630	800	20—3500	15	15,6
Многоцелевой сверлильно-фрезерно-расточный горизонтальный станок 2206ВМФ4 высокой точности	—	630	800	31,5—2500	12; 14	9,5
Многоцелевой сверлильно-фрезерно-расточный горизонтальный станок 22К06ГМ2Ф4 с двумя столами и сменой многошпиндельных головок, повышенной точности	—	630	1600	45—2500	12	
Многоцелевой сверлильно-фрезерно-расточный горизонтальный станок 2206АМ1Ф4 с крестовым поворотным столом, особо высокой точности	—	630	800	31,5—2500	12	8,5
Гибкий производственный модуль ВШ2М08А для обработки корпусных деталей, особо высокой точности	—	800	800	31,5—2500	15	15

Станки для эффективной эксплуатации режущих инструментов

Продолжение табл. 6.7

Оборудование	Диаметр шпин- деля	Ширина стола	Длина стола	Частота вращения, мин ⁻¹	Мощ- ность привода, кВт	Масса станка, т
	мм	мм	мм			
Сверлильно-фрезерно-расточный гибкий производственный модуль ИР800ГМ1Ф4 для обработки корпусных деталей с многоместным накопителем для столов-спутников, повышенной точности	—	800	800	21,2—3000	15	16,6
Сверлильно-фрезерно-расточный гибкий производственный модуль МА2765МЗФ4М для обработки корпусных деталей	—	800	—	10 000	20	—
Многоцелевой сверлильно-фрезерно-расточный горизонтальный станок ИР800ГМФ4 повышенной точности с подвижной стойкой	—	800	800	21,2—3000; 20—4000	15	12,5
Сверлильно-фрезерно-расточный гибкий производственный модуль ИР22912МФИ14 для обработки корпусных деталей	—	1250	—	12,5—3150	25	41,3
Многоцелевой сверлильно-фрезерно-расточный горизонтальный станок 22912Н7Ф4 с подвижной стойкой, автоматической сменой инструмента и заготовок	125	1250	—	12,5—3150	25	31
Многоцелевой сверлильно-фрезерно-расточный горизонтальный станок 26912П7Ф4 с подвижным шпинделем, с АСИ и АСЗ, повышенной точности	110	1250	—	12,5—2500	32	25

Станки для эффективной эксплуатации режущих инструментов

Продолжение табл. 6.7

Оборудование	Диаметр шпин- делья	Ширина стола	Длина стола	Частота вращения, мин ⁻¹	Мощ- ность привода, кВт	Масса станка, т
	мм	мм	мм			
Сверлильно-фрезерно-расточный гибкий производственный модуль В-1600МФ4 для обработки корпусных деталей	—	1600	—	5—2000	28	113
Многоцелевой сверлильно-фрезерно-расточный горизонтальный станок ИР1600МФ4 с подвижной стойкой и сменой на весных многошпиндельных универсальных головок	—	1600	—	5—2000	28	85
Сверлильно-фрезерно-расточный модуль для обработки корпусных деталей	—	2000	—	6,3—1600	29; 37	50
Многоцелевой сверлильно-фрезерно-расточный станок	—	2000	—	10—2500	29	50
Многоцелевой сверлильно-фрезерно-расточный вертикальный станок 22548МФ4 с крестовым столом, высокой точности	—	400	630	40—2500; 3200	8; 11	8
Многоцелевой сверлильно-фрезерно-расточный вертикальный станок 21104П7Ф4 с крестовым столом, ЧПУ, АСИ, АСЗ, повышенной точности	—	400	630	30—3000	8,5	8
Многоцелевой сверлильно-фрезерно-расточный вертикальный станок 21105П7Ф4 с крестовым столом, ЧПУ, АСИ, АСЗ, повышенной точности	—	500	800	25—2500	13	10,2

Станки для эффективной эксплуатации режущих инструментов

Продолжение табл. 6.7

Оборудование	Диаметр шпинделья	Ширина стола	Длина стола	Частота вращения, мин ⁻¹	Мощность привода, кВт	Масса станка, т
		мм				
Многоцелевой сверлильно-фрезерно-расточный вертикальный станок 22568НФ4 высокой точности	—	630	1000	32—2000; 3200	12; 14	12
Сверлильно-фрезерно-расточный вертикальный станок 2560ПМФ4 с подвижным порталом, ЧПУ, АСИ, повышенной точности	—	1600	4000	16—3000	7,5; 11; 15	22
Сверлильно-фрезерно-расточный вертикальный станок 2570ПМФ4 с подвижным порталом, ЧПУ, АСИ, повышенной точности	—	2000	4000	15—3000	7,5; 11; 15	30
Горизонтально-расточный станок 2Н636Ф1 с поворотным столом и планшайбой с радиальным суппортом, предварительным набором координат и цифровой индикацией	125	1600	1800	8; 1250	22	33,5
Горизонтально-расточный станок 6Н638Ф1 с неподвижной передней стойкой, крестовым поноротным столом, усиленным выдвижным шпинделем, предварительным набором координат, цифровой индикацией	160	1600	1800	3,2—1000	22	30,8
Координатно-расточный одностоечный станок 2421СФ12 с устройством цифровой индикации, предварительным набором координат, особо точный	—	230	360	150—3000	0,75	0,95

Станки для эффективной эксплуатации режущих инструментов

Продолжение табл. 6.7

Оборудование	Диаметр шпин- делья	Ширина стола	Длина стола	Частота вращения, мин ⁻¹	Мощ- ность привода, кВт	Масса станка, т
	мм					
Координатный сверлильно-фрезерно-расточный станок 24К30СФ4 * с продуктивной системой программного управления, особо точный	—	320	500	6,3—3150	3	3
Координатно-расточный одностоечный станок 2431СФ0 с устройством цифровой индикации, предварительным набором координат, особо точный	—	320	360	10—3000	1,9	2,5
Координатный сверлильно-фрезерно-расточный одностоечный станок 24К30СФ1 * с предварительным набором координат и цифровой индикацией, особо точный	—	320	500	6,3—3150	3	3
Координатно-сверлильно-фрезерно-расточный одностоечный станок 24К40СФ4 * с ЧПУ особо точный	—	400	800	6,3—3150	4,2	4,6
Многоцелевой координатный сверлильно-фрезерно-расточный одностоечный станок 2Е430АМФ4, особо высокой точности	—	630	1120	10—2000	7,2	8,25
Многоцелевой координатный, сверлильно-фрезерно-расточный одностоечный станок 24К50АМФ4 *, особо высокой точности	—	630	800	6,3—4000	7,2	10,5

Станки для эффективной эксплуатации режущих инструментов

Продолжение табл. 6.7

Оборудование	Dиаметр шпин- делья	Ширина стола	Длина стола	Частота вращения, мин ⁻¹	Мощ- ность привода, кВт	Масса станка, т
	мм					
Координатный сверлиль- но-фрезерно-расточный двуствоечный станок 24К55СФ4 с ЧПУ, осо- бо точный	—	630	1000	6,3—3150	8	7,7
Координатно-расточный одноствоечный станок 2Е450АФ1 с предвари- тельным набором коорди- нат и цифровой индика- цией, особо высокой точ- ности	—	630	1120	10—2000; 10—3000	7,2	8
Координатный сверлиль- но-фрезерно-расточный одноствоечный станок 24К50АФ1 * с предвари- тельным набором коорди- нат и цифровой индика- цией, особо высокой точ- ности	—	630	1000	6,3—3150	6	8
Координатный сверлиль- но-фрезерно-расточный двуствоечный станок 24К56СФ4 * с ЧПУ, осо- бо точный	—	800	1250	6,3—3150	8	10
Координатный сверлиль- но-фрезерно-расточный двуствоечный станок 24К60АФ4 * с ЧПУ, осо- бо высокой точности	—	1000	1600	6,3—3150	10	22
Координатный сверлиль- но-фрезерно-расточный двуствоечный станок 24К70АФ4 * с ЧПУ, осо- бо высокой точности	—	1600	2500	6,3—3150	10	40
Координатный сверлиль- но-фрезерно-расточный двуствоечный станок 24К80АФ4 * с ЧПУ, осо- бо высокой точности	—	2000	3000	6,3—2000	14	60

Станки для эффективной эксплуатации режущих инструментов

Продолжение табл. 6.7

Оборудование	Диаметр шлиф- деля	Ширина стола	Длина стола	Частота вращения, мин ⁻¹	Мощ- ность привода, кВт	Масса станка, т
	мм					
Многоцелевой координатный сверлильно-фрезерно-расточный горизонтальный станок 2А459АМФ4 * с ЧПУ и АСИ, особо высокой точности	—	1000	1000	50—2500	7,5	14,6
Отделочно-расточный горизонтальный двусторонний полуавтомат 2742В * с подвижным вертикальным столом, высокой точности	—	400	400	100—1000	12	3,4
Отделочно-расточный горизонтальный двусторонний полуавтомат 2762В * с подвижным вертикальным столом, высокой точности	—	400	630	10 000	5,5	4,5
Многоцелевой координатный сверлильно-фрезерно-расточный горизонтальный станок 24К68АМФ4 * особо высокой точности	—	1000	1000	6,3—3150	8	14,6
Отделочно-расточный горизонтальный двусторонний полуавтомат 2754В * с подвижным столом, высокой точности	—	500	530	10 000	15	3,4
Отделочно-расточный горизонтальный двусторонний полуавтомат 2752С с подвижным столом, особо высокой точности	—	500; 400; 320	—	8000	12	3
Отделочно-расточный горизонтальный двусторонний полуавтомат 2754С * особой точности с подвижным столом	—	500	630	8000	12	3,4

Станки для эффективной эксплуатации режущих инструментов

Продолжение табл. 6.7

Оборудование	Диаметр шпин- делья	Ширина стола	Длина стола	Частота вращения, мин ⁻¹	Мощ- ность привода, кВт	Масса станка, кг
	мм					
Отделочно-расточный го- ризонтальный односто- ронний полуавтомат 2755В * для патронных работ, высокой точности	—	560	630	10 000	12	3,4
Отделочно-расточный го- ризонтально-двусторон- ний полуавтомат 2752В * с подвижным столом высо- кой точности	—	500	400	6000; 10 000	12	2,7
Отделочно-расточный вер- тикальный полуавтомат 2776В * с подвижными го- ловками, высокой точ- ности	—	630	400	4000	12	9
Отделочно-расточный вер- тикальный полуавтомат 2777В *, высокой точности с подвижными головками	—	800	630	10 000	12	13
Отделочно-расточный го- ризонтальный двусторон- ний полуавтомат 2782В * с подвижным столом, вы- ской точности	—	800	630	10 000	15	5,2
Отделочно-расточный го- ризонтальный двусторон- ний полуавтомат 2784В * с подвижным столом, вы- ской точности	—	800	10 000	1150—1000	12	5,9
Отделочно-расточный вер- тикальный полуавтомат 2779В * с подвижными го- ловками, высокой точ- ности	—	1250	400	10 000	10; 12	11

Станки для эффективной эксплуатации режущих инструментов

Продолжение табл. 6.7

Оборудование	Диаметр шпин- делья	Ширина стола	Длина стола	Частота вращения, мин ⁻¹	Мощ- ность привода, кВт	Масса станка, т
	мм					
Отделочно-расточный горизонтальный полуавтомат (00-2917) для обработки профиля юбки с канавками под поршневые кольца одношпиндельный, повышенной точности	—	320	500	1500	2,2	3,5
Отделочно-обточной горизонтальный полуавтомат (00-4847) для обработки профиля юбки с канавками под поршневые кольца, повышенной точности, многошпиндельный	—	320	500	1500	2,3; 3,9	4
Отделочно-расточный полуавтомат ОС-5936 для растачивания вкладышей постоянной толщины, повышенной точности	200	—	—	3500	2,3—3,9	6
Отделочно-обточной горизонтальный полуавтомат ОС-6602 для тонкого обтачивания поршней и подрезания кававок, особо высокой точности	120	—	—	1000	10	6,5
Отделочно-расточный многошпиндельный вертикальный полуавтомат ОС-5814 для растачивания отверстий под гильзы с одновременным подрезанием торца выточки в блоке цилиндров	80—150	—	—	3500	4	7,5
Отделочно-расточный и обточной горизонтальный полуавтомат Т-1 для обработки конусных поверхностей крановой арматуры, повышенной точности	—	360	500	3200	1,5—5,5	3,9

Станки для эффективной эксплуатации режущих инструментов

Продолжение табл. 6.7

Оборудование	Диаметр шпин- деля	Ширина стола	Длина стола	Частота вращения, мин ⁻¹	Мощ- ность привода, кВт	Масса станка, т
	мм					
Отделочно-расточный горизонтальный полуавтомат ОС-5523 для обработки гиперболических поверхностей, повышенной точности	200	—	—	1500	2,2; 4	35
Отделочно-расточный горизонтальный полуавтомат Б-2712В с подвижным столом, высокой точности	500	—	—	8000	4,5—7,5	—
Отделочно-расточный вертикальный станок Б-2777В с подвижными головками, высокой точности	800	—	—	8000	4,5—12	—
Отделочно-расточный двусторонний полуавтомат ОС-5298 высокой точности для растачивания двух отверстий под подшипники качения с одновременной подрезкой буртов в деталях типа стакана	30—180	—	—	1500—15 000	—	4,5
Многоцелевой фрезерно-сверлильно-расточный горизонтальный консольный полуавтомат 6Д82ГМФ3	—	320	1 250	20—2000	5,5	3,5
Горизонтально-фрезерный консольный полуавтомат 6Д82ШФ20 с вертикальным поворотным шпинделем, оперативной системой ЧПУ (широкоуниверсальный), повышенной точности	—	320	1 250	Горизонтального шпинделя 20—2000; вертикального шпинделя 45—2000	5,5; 2,2	3,5

Станки для эффективной эксплуатации резущих инструментов

Продолжение табл. 6.7

Оборудование	Диаметр шпин-деля	Ширина стола	Длина стола	Частота вращения, мин ⁻¹	Мощность привода, кВт	Масса станка, т
	мм					
Горизонтально-фрезерный консольный полуавтомат 6Т82ГФ20 с оперативной системой ЧПУ	—	320	1250	16—1600	7,5	3,1
Горизонтально-фрезерный консольный полуавтомат 6Д82ГФ20 с оперативной ЧПУ	—	320	1250	20—2000	5,5	2,93
Горизонтально-фрезерный консольный полуавтомат 6Т82Г	—	320	1250	50—1600	7,5	—
Горизонтально-фрезерный консольный полуавтомат 6Т82Ш с вертикальным поворотным шпинделем, повышенной точности	—	320	1250	Горизон-タルного шпинделя 16—1600; вертикал-ного шпинделя 50—1600;	7,5	—
Горизонтально-фрезерный консольный станок 6Г82Г-1	—	320	1250	31,5—1600	7,5	3,1
Горизонтально-фрезерный консольный станок 6Д82Ш с вертикальным поворотным шпинделем (широкоуниверсальный), повышенной точности	—	320	1250	Вертикал-ного шпинделя 45—2000; горизон-タルного шпинделя 20—2000	5,5; 2,2	3,2
Горизонтально-фрезерный консольный станок 6Д82Г	—	320	1250	20—2000	5,5	2,93

Станки для эффективной эксплуатации режущих инструментов

Продолжение табл. 6.7

Оборудование	Dиаметр шпин- деля	Ширина стола	Длина стола	Частота вращения, мин ⁻¹	Мощ- ность привода, кВт	Масса станка, т
	мм					
Горизонтально-фрезер- ный консольный полу- автомат 6Т83ГФ20 с оперативной системой ЧПУ	—	400	1600	16—1600	11	3,8
Горизонтально-фрезер- ный консольный полу- автомат 6Т83Г	—	400	1600	50—1600	11	—
Горизонтально-фрезер- ный консольный полу- автомат 6Т83Ш с верти- кальным поворотным шпинделем, повышенной точности	—	400	1600	Горизон- тального шпинделя 16—1600; вертикал- ного шпинделя 50—1600	11	—
Горизонтально-фрезер- ный коисольный станок 6Т83Г-1	—	400	1600	31,5—1600	10	4
Горизонтально-фрезер- ный коисольный станок 6Т83Ш-1 широконивер- сальный с вертикальным поворотным шпинделем, повышенной точности	—	400	1600	Горизон- тального шпинделя 31,5—1600; вертикал- ного шпинделя 50—1600	11	4,6
Горизонтально-фрезер- ный консольный универ- сальный полуавтомат 6Т82 с поворотным столом	—	320	1250	16—1600	7,5	—
Горизонтально-фрезер- ный консольный универ- сальный станок 6Т82-1 с поворотным столом	—	320	1250	16—1600	7,5	3,2
Горизонтально-фрезер- ный коисольный универ- сальный станок 6Д82 с по- воротным столом	—	320	1250	20—2000	5,5	3

Станки для эффективной эксплуатации режущих инструментов

Продолжение табл. 6.7

Оборудование	Диаметр шпин- делья	Ширина стола	Длина стола	Частота вращения, мин ⁻¹	Моц- кость привода, кВт	Масса станка, т
	мм					
Горизонтально-фрезер- ный консольный универ- сальный полуавтомат 6Т83 с поворотным столом	—	400	1600	16—1600	11	—
Горизонтально-фрезер- ный консольный универ- сальный станок 6Т83-1 с поворотным столом	—	400	1600	31,5—1600	10	3,8
Многоцелевой фрезерно- сверлильно-расточечный вертикальный консоль- ный полуавтомат 6Д12МФ3	—	320	1250	20—2000	8	3,3
Вертикально-фрезерный консольный полуавтомат 6Д12Ф20 с оперативной системой ЧПУ	—	320	1250	20—2000	7,5	3,6
Вертикально-фрезерный консольный полуавтомат 6Т12К-1 с копироваль- ным устройством	—	320	1250	40—2000	7,5	3,8
Вертикально-фрезерный консольный полуавтомат 6Т12	—	320	1250	16—1600	7,5	—
Вертикально-фрезерный консольный полуавтомат 6Т12К с копировальным устройством	—	320	1250	20—2000	7,5	—
Вертикально-фрезерный консольный станок 6Т12-1	—	320	1250	31,5—1600	7,5	3,4
Вертикально-фрезерный консольный станок 6Д12	—	320	1250	20—2000	5,5	3,1

Станки для эффективной эксплуатации режущих инструментов

Продолжение табл. 6.7

Оборудование	Диаметр шпин- делья	Ширина стола	Длина стола	Частота вращения, мин ⁻¹	Мощ- ность привода, кВт	Масса станка, т
	мм					
Многоцелевой вертикально-фрезерный консольный полуавтомат 6Т13МФ4-1	—	400	1600	40—2000	7,5	6,5
Многоцелевой фрезерно-расточный вертикальный консольный полуавтомат 6Т13МФ4	—	400	1600	20—2000	7,5	6
Вертикально-фрезерный консольный полуавтомат 6Т13Ф3-1 с ЧПУ	—	400	1600	40—2000	7,5	6
Вертикально-фрезерный консольный полуавтомат 6Т13Ф20 с оперативной системой ЧПУ	—	400	1600	20—2000	11	4,5
Вертикально-фрезерный консольный полуавтомат 6Т13Ф3 с ЧПУ	—	400	1600	20—2000	7,5	—
Вертикально-фрезерный консольный полуавтомат 6Т13	—	400	1600	16—1600	11	—
Вертикально-фрезерный консольный станок 6Т13-1	—	400	1600	31,5—1600	10	4,4
Продольно-фрезерный двухстоечный станок 6Г605	—	500	—	20—2000	15	13,95
Продольно-фрезерный двухстоечный станок 6Г606	—	630	—	20—2000	15	21,9
Многоцелевой сверлильно-фрезерно-расточный двухстоечный полуавтомат 6М612МФ4 с продольным столом и неподвижной поперечиной	—	1250	—	10—1600	30; 37	63

Станки для эффективной эксплуатации режущих инструментов

Продолжение табл. 6.7

Оборудование	Диаметр шпин- делья	Ширина стола	Длина стола	Частота вращения, мин ⁻¹	Мощ- ность привода, кВт	Масса станка, т
	мм					
Многоцелевой сверлиль- но-фрезерно-расточный широкоуниверсальный полуавтомат 67К25ПМФ4 повышенной точности	—	250	630	40—2000	2,2	1,8
Фрезерный широкоуни- версальный инструмен- тальный полуавтомат 67К25ПФ2-0 повышенной точности с оперативной системой ЧПУ	—	250	630	40—2000	3	1,5
Фрезерный широкоуни- версальный инструмен- тальный полуавтомат 67К25ПФ3 повышенной точности с контурной си- стемой ЧПУ	—	250	630	40—2000	3	1,5
Фрезерный широкоуни- версальный инструмен- тальный полуавтомат 67К25ВФ3 высокой точ- ности с ЧПУ	—	250	630	40—2000	3	1,5
Фрезерный широкоуни- версальный инструмен- тальный полуавтомат 67К25ВФ1 высокой точ- ности с предварительным набором координат и цифровой индикацией	—	250	630	40—2000	3	1,35
Фрезерный широкоуни- версальный инструмен- тальный полуавтомат 67К25ПФ1 повышенной точности с цифровой инди- кацией и предваритель- ным набором координат	—	250	630	40—2000	3	1,35
Фрезерный широкоуни- версальный инструмен- тальный станок 67К25В высокой точности	—	250	630	40—2000	2,2	—

Станки для эффективной эксплуатации режущих инструментов

Продолжение табл. 6.7

Оборудование	Диаметр шпин- делья	Ширина стола	Длина стола	Частота вращения, мин ⁻¹	Мощ- ность привода, кВт	Масса станка, т
	мм					
Многоцелевой фрезерно-сверлильно-расточный горизонтальный инструментальный полуавтомат 6Б76ПМФ2 повышенной точности	—	320	400	50—3150	5,3	1,7
Многоцелевой фрезерно-сверлильно-расточный горизонтальный полуавтомат 6Б76ПМФ4 повышенной точности	—	320	400	40—3200	5,3	1,7
Многоцелевой фрезерно-сверлильно-расточный полуавтомат 67К32ВМФ4, инструментальный, высокой точности	—	320	800	40—4000	4	1,5
Фрезерный широкоуниверсальный инструментальный полуавтомат 67К32ВФ3 с ЧПУ, высокой точности	—	320	800	40—4000	5	1,9
Фрезерный широкоуниверсальный инструментальный полуавтомат 67К32ВФ20 высокой точности с оперативной системой ЧПУ	—	320	800	40—4000	4	1,5
Фрезерный широкоуниверсальный инструментальный полуавтомат 6732ВФ1 высокой точности с цифровой индикацией и предварительным набором	—	320	800	40—4000	4	1,5
Фрезерный широкоуниверсальный инструментальный полуавтомат 6740ВФ20 высокой точности с оперативной системой ЧПУ	—	Ширина стола основного вертикального 400	—	40—2000	5,5	3,9

Станки для эффективной эксплуатации режущих инструментов

Продолжение табл. 6.7

Оборудование	Диаметр диска	Ширина стола	Длина стола	Частота вращения, мин ⁻¹	Мощ- ность привода, кВт	Масса станка, т
Фрезерный широкони- версальный инструмен- тальный полуавтомат 6740ВФ30 высокой точ- ности с оперативной си- стемой ЧПУ	—	400	—	40—2000	5,5	4
Многоцелевой фрезерно- сверлильно-расточный вертикальный полу- автомат 65А60Ф4 с крестовым столом	—	630	1000	5—2000	15; 20	15,5
Вертикально-фрезерный полуавтомат 65А60Ф4 с крестовым столом и ЧПУ	—	630	1000	5—2000	20	12,4
Вертикально-фрезерный полуавтомат 65А60Ф1 с крестовым столом, пред- набором координат и цифровой индикацией	—	630	1000	5—2000	20	13,8
Многоцелевой фрезерно- сверлильно-расточный вертикальный полу- автомат 65А80ГМФ4 с крестовым столом, повы- шенной точности	—	600	1250	5—2000	15; 20	17,4
Вертикально-фрезерный полуавтомат 65А80Ф4 с крестовым столом и ЧПУ	—	800	1250	5—2000	20	17,4
Вертикально-фрезерный полуавтомат 65А90Ф1 с крестовым столом, пред- варительным набором координат и цифровой индикацией	—	1000	1600	5—2000	20	21,6
Продольно-фрезерно-рас- точный двухстоечный по- луавтомат 6605Ф1 с циф- ровой индикацией	—	500	—	25—1250; 31,5—1600	11; 15	15,5

Станки для эффективной эксплуатации режущих инструментов

Продолжение табл. 6.7

Оборудование	Диаметр шпин- делья	Ширина стола мм	Длина стола	Частота вращения, мин ⁻¹	Мощ- ность привода, кВт	Масса станка, т
	мм					
Многоцелевой сверлильно-фрезерно-расточный двухстоечный полуавтомат 66К06МФ4 с продольным столом, неподвижной поперечиной, повышенной точности	—	630	—	20—2000	10	17
Продольно-фрезерно-расточный полуавтомат 6606Ф1 с цифровой индикацией	—	630	—	25—1250; 31,5—1600	15; 11	25
Продольно-фрезерно-расточный двухстоечный трехшпиндельный полуавтомат 6Г608Ф1 с предварительным набором координат и цифровой индикацией	—	800	—	20—1000	18,5	31,5
Фрезерно-расточный продольный двухстоечный полуавтомат 6М610МФ4 с неподвижной поперечиной, ЧПУ и инструментальным магазином	—	1000	—	10—1600	30	46
Многоцелевой фрезерно-расточный двухстоечный полуавтомат 6М610МФ4-20 с продольным столом и неподвижной поперечиной	—	1000	—	10—1600	30; 37; 45	44
Фрезерно-расточный двухстоечный полуавтомат 6М610Ф4 с продольным столом, неподвижной поперечиной и ЧПУ	—	1000	—	10—1600	30; 37; 45	—
Фрезерно-расточный двухстоечный полуавтомат с продольным столом, подвижной поперечиной и ЧПУ	—	1000	—	20—2000	18,5	36

Станки для эффективной эксплуатации резущих инструментов

Продолжение табл. 6.7

Оборудование	Диаметр шпин- делья	Ширина стола	Длина стола	Частота вращения, мин ⁻¹	Мощ- ность привода, кВт	Масса станка, т
	мм					
Продольно-фрезерно-расточный двухстоечный трехшиндельный полуавтомат 6Г610Ф1 с предварительным набором координат и цифровой индикацией	—	1000	—	20—1000	18,5	15,6
Фрезерно-расточный двухстоечный полуавтомат 6М610Ф11 с продольным столом, неподвижной поперечиной, предварительным набором и цифровой индикацией	—	1000	—	10—1600	30; 37; 45	39
Фрезерно-расточный двухстоечный полуавтомат 6М612Ф4 с продольным столом, неподвижной поперечиной и ЧПУ	—	1250	—	10—1600	30; 37; 45	45,7
Фрезерно-расточный двухстоечный полуавтомат 6М612Ф11 с продольным столом, неподвижной поперечиной, предварительным набором координат и цифровой индикацией	—	1250	—	10—1600	30; 37; 45	45,8
Многоцелевой фрезерно-расточный двухстоечный полуавтомат 6М616МФ4 с продольным столом и неподвижной поперечиной	—	1600	—	10—1600	30; 37; 45	70
Фрезерно-расточный двухстоечный полуавтомат 6М616МФ4 с продольным столом, неподвижной поперечиной и ЧПУ	—	1600	—	10—1600	30; 37; 45	61,7

Станки для эффективной эксплуатации режущих инструментов

Продолжение табл. 6.7

Оборудование	Диаметр шпин-деля	Ширина стола	Длина стола	Частота вращения, мин ⁻¹	Мощность привода, кВт	Масса станка, т
мм						
Фрезерно-расточный двухстоечный полуавтомат 6М616Ф11 с продольным столом, неподвижной поперечиной, предварительным набором координат и цифровой индикацией	—	1600	—	10—1600	30; 37; 45	61,8
Фрезерно-расточный полуавтомат с продольным столом, подвижной поперечиной и ЧПУ	—	2000	—	10—630	55; 75	125
Фрезерно-расточный двухстоечный полуавтомат 66К20Ф11 с продольным столом, подвижной поперечиной, предварительным набором координат и цифровой индикацией	—	2000	—	10—630	55; 75	125
Многоцелевой сверлильно-фрезерно-расточный двухстоечный полуавтомат 66К25МФ4 с продольным столом и подвижной поперечиной	—	2500	—	10—2000	30	116
Фрезерно-расточный двухстоечный полуавтомат 66К25МФ4 с продольным столом, подвижной поперечиной и ЧПУ	—	2500	—	10—630	55; 75	116
Фрезерно-расточный двухстоечный полуавтомат 66К25Ф1 с продольным столом, подвижной поперечиной, предварительным набором координат и цифровой индикацией	—	2500	—	10—630	55; 75	130

Станки для эффективной эксплуатации режущих инструментов

Продолжение табл. 6.7

Оборудование	Диаметр шпин- деля	Ширина стола	Длина стола	Частота вращения, мин ⁻¹	Мощ- ность привода, кВт	Масса станка, т
	мм					
Вертикально-фрезерный консольный станок Б-6Т13-1-Б повышенной точности	—	400	1600	200—5000	22	—
Продольный фрезерно-расточный станок Б-66К25МФ4	—	2500	—	160—3150	45	—
Продольный фрезерно-расточный станок Б-66К06Ф4	—	630	—	200—4000	30	—
Фрезерно-расточный двухстоечный станок Б-6М610Ф1 с продольным столом	—	1000	—	200—4000	45	—
Вертикально-фрезерный станок Б-65А60Ф1 с крестовым столом	—	630	—	400—5000	45	—
Карусельно-фрезерный полуавтомат Б-6210 для обработки плоскостей корпусных деталей из чугуна и цветных сплавов	—	Диаметр рабочей поверхности стола 1000	—	Чернового шпинделя 800—2500; чистового шпинделя 1600—5000	30; 11	7
Барабанно-фрезерный станок Б-ГФ108С для обработки валов и корпусных деталей средних размеров из чугунов, сталей и цветных сплавов	—	Диаметр вала барабана 200	—	630—5000	22	—
Карусельно-фрезерный полуавтомат Б-УФ-99 для обработки плоскостей корпусных деталей из чугунов и цветных сплавов	—	Диаметр рабочей поверхности стола 2000	—	Чернового шпинделя 315—1000, чистового шпинделя 630—2000	55; 151	—

Станки для эффективной эксплуатации режущих инструментов

Продолжение табл. 6.7

Оборудование	Диаметр шпин- деля	Ширина стола	Длина стола	Частота вращения, мин ⁻¹	Мощ- ность привода, кВт	Масса, т
	мм					
Карусельно-фрезерный полуавтомат Б-6М23С13 для обработки плоскостей корпусных деталей из чугуна и цветных сплавов	—	1600	—	Чернового шпинделя 800—2500; чистового шпинделя 1600—5000	30 11	7 —
Продольный фрезерно-шлифовальный станок Б-МС510Ф1 для обработки направляющих базовых поверхностей станков, повышенной точности	—	1000	3150	5000—25 000	15	—

* Станки, подлежащие комплектации инструментом из СТМ или керамики при поставке потребителю.

О бозначения: d — максимальный диаметр прутка, l — длина прутка.

7. МЕТОДИКА РАСЧЕТА ЭКОНОМИЧЕСКОГО ЭФФЕКТА ОТ ВНЕДРЕНИЯ ИНСТРУМЕНТОВ, ОСНАЩЕННЫХ СТМ И КЕРАМИКОЙ

Технико-экономическая эффективность от внедрения инструмента, оснащенного режущими элементами из СТМ и керамики, достигается за счет следующих факторов:

- 1) повышения скоростей резания, т. е. снижения машинного времени обработки;
- 2) повышения стойкости инструмента, снижения простоев оборудования;
- 3) концентрации операций (исключение последующего шлифования или хонингования) и высвобождения рабочих-станочников, оборудования и производственных площадей;
- 4) экономии дефицитных вольфрамо- и tantalосодержащих твердых сплавов;
- 5) улучшения качества обработанных поверхностей, повышения надежности и долговечности изделий.

Все указанное выше приводит к тому, что инструмент из СТМ и керамики не просто заменяет резцы, фрезы из твердого сплава или абразивные инструменты, но требует существенного изменения технологического процесса обработки заготовок.

В производственной практике, как правило, экономический эффект рассчитывают только по пп. 1 и 2, т. е. вследствие снижения себестоимости обработки единицы продукции благодаря повышению производительности обработки и (или) повышения стойкости инструмента и соответствующему снижению затрат на его обслуживание.

Факторы 3—5-й в ряде случаев существенно повышают экономический эффект, но в производственной практике их учет более затруднителен и в данной методике не рассматривается.

Экономический эффект в производственной практике удобно определять в соответствии с предложенным ниже алгоритмом с заполнением таблиц, рассчитанных по формулам (7.1)—(7.5).

Значения и наименования показателей, входящих в формулы (7.1)—(7.5), даны в табл. 7.1.

Алгоритм расчета экономической эффективности вследствие снижения себестоимости изготовления изделия с применением инструмента, оснащенного режущими элементами из композита и (или) керамики, состоит из нескольких этапов.

Методика расчета экономического эффекта от внедрения инструментов

7.1. Показатели расчета экономической эффективности от внедрения нового технологического процесса с применением инструмента из керамики или композита (примеры расчета по методике)

№ по пор.	Наименование показателя	Обозна-чение	№ формулы, по ко-торой определяют данный показатель	№ примера расчета (см. табл. 7.2)			
				1	2	3	4
1	Оптовая цена (или стоимость инструмен-та, если он изгото-вается непосред-ственно на данном предприятии) за один комплект *, руб.	$C_{ин1}$ $C_{ин2}$	— —	0,6 118,6	16,5 120	167,0 3366,4	1,8 124,2
2	Стоимость станко-минуты станка для повторной заточки (или правки) инстру-мента *, руб.	$S_{см.пер1}$ $S_{см.пер2}$	— —	— 0,09	0,032 0,015	— —	0,035 —
3	Тарифная ставка рабочего (за 1 мин), занятого переборкой инструмента с меха-ническим креплением пластин вне стан-ка *, руб.	$\eta_{1,2}$	—	— —	— —	0,012 —	$\eta_2 =$ = 0,012
4	Время на одну по-вторную заточку (правку) или перево-рот пластины *, мин	$\tau_{пер1}$ $\tau_{пер2}$	— —	— 1	0,31 1	15 30	6 12
5	Стоимость одной по-вторной заточки (или правки) инструмен-та, руб.	$S_{пер1}$ $S_{пер2}$	7,10 7,12 7,11 7,13	0,074 0,09	0,01 0,15	0,18 0,36	0,21 0,014
6	Число повторных за-точек (или правок шлифовального кру-га) инструмента	$k_{пер1}$ $k_{пер2}$	— —	4 83	150 120	54 72	7 88
7	Приведенная сто-имость работы станка, т. е. станкоминуты оборудования при об-работке по техноло-гии *, руб.	$S_{см1}$ $S_{см2}$	— —	0,09 0,09	0,032 0,025	0,037 0,037	0,035 0,035

Методика расчета экономического эффекта от внедрения инструментов

Продолжение табл. 7.1

№ по пор.	Наименование показателя	Обозначение	№ формулы, по которой определяют данный показатель	№ примера расчета (см. табл. 7.2)			
				1	2	3	4
8	Время на одну переустановку инструмента на станке *, мин	$t_{уст1}$ $t_{уст2}$	— —	4 4	— 4	5 5	4 4
9	Затраты на замену изношенной державки на станке инструмента, руб.	$S_{уст1}$ $S_{уст2}$	7,14 7,15	0,36 0,36	— 0,1	0,185 0,185	0,14 0,14
10	Число периодов стойкости, т. е. число переустановок единицы инструмента до его полного изнашивания *	$k_{уст1}$ $k_{уст2}$	— —	5 1	1 1	54 72	8 88
11	Число заготовок, обрабатываемых за один период стойкости инструмента *, шт.	b_1' b_2'	— —	0,33 2,36	6 13	150 1154	31 100
12	Число заготовок, обрабатываемых инструментом до его полного изнашивания, шт.	b_1 b_2	7,8 7,9	1,65 198	900 1560	8100 83 088	248 8800
13	Затраты на приобретение (или изготовление) и эксплуатацию инструмента, приходящиеся на одну деталь, по технологии, руб.	$S_{ин1}$ $S_{ин2}$	7,4 7,5	1,63 0,63	0,02 0,09	0,023 0,041	0,0177 0,0157
14	Основное технологическое время обработки одной заготовки по технологии *, мин	$t_{осн1}$ $t_{осн2}$	— —	81,6 10,6	16 4,5	1,48 0,23	5 0,67

Методика расчета экономического эффекта от внедрения инструментов

Продолжение табл. 7.1

№ по пор.	Наименование показателя	Обозначение	№ формулы, по которой определяют данный показатель	№ примера расчета (см. табл. 7.2)			
				1	2	3	4
15	Затраты (за 1 мин), связанные с эксплуатацией оборудования, на котором установлен инструмент, руб.	$S_{об1}$ $S_{об2}$	7.6 7.7	7,34 0,95	0,51 0,11	0,55 0,0085	0,175 0,023
16	Изменяющиеся части затрат себестоимости обработки единицы продукции по технологии, руб.	C_1 C_2	7.2 7.3	8,97 1,58	0,53 0,20	0,078 0,0495	0,193 0,0387
17	Нормативный коэффициент эффективности капитальных вложений *	E_n	—	0,15	0,15	0,15	0,15
18	Дополнительные капитальные затраты, производимые при внедрении новой технологии *, руб.	K_d	—	14 216	—	40 000	300 000
19	Годовой объем выпуска деталей, обрабатываемых по новой технологии *, шт.	B_2	—	5000	92 400	250 000	4 420 000
20	Экономическая эффективность от внедрения нового технологического процесса с применением инструмента из керамики или композита взамен базового, руб.	\mathcal{E}	7.1	34 800	30 500	65 000	637 000

* Показатель определяют по нормативным или справочным данным или экспериментально исходя из конкретных условий обработки (см. табл. 7.2) детали по базовому или новому технологическим процессам.

П р и м е ч а н и е. С индексом 1 — показатели базового, старого (заменяемого) технологического процесса, с индексом 2 — показатели нового, внедряемого технологического процесса.

Методика расчета экономического эффекта от внедрения инструментов

Методика расчета экономического эффекта от внедрения инструментов

7.2. Условия обработки (примеры расчета по методике)

№ примера	Технологический процесс	Оборудование, модель	Вид, тип, материал режущей части инструмента	Наименование, материал, твердость детали	Размеры обрабатываемой поверхности, мм			Режимы резания						Стойкость инструмента T_c , число заготовок	
					Диаметр d	Длина L	Ширина B	v_r , м/мин	n_r , мин ⁻¹	S_{v0} , мм/об	S_m , м/мин	S_z , мм/зуб	$t_{\text{прод.}}$, мм	t_{OK} , мм	
1	Базовый	Токарный станок 16К20Ф3С5 с ЧПУ	Державочный напайной резец, Т15К6	Вставка ручья штампа, 5Х2МНФ, HRC 44—48	320	136	—	40,5	40	0,1	—	—	0,3	—	0,33
	Новый		Державочный резец с механическим креплением пластины из керамики, ВОК-60					210	200	0,15	—	—	0,3	—	2,36
2	Базовый	Шлифовальный станок ЗА161Н3	Шлифовальный круг ПП, корунд	Шпиндель, 40Х, НВ 240	70	1110	—	120—200	—	0,15	—	—	0,3—0,5	—	6
	Новый	Токарный станок 16К20	Державочный резец с механическим креплением пластины из керамики, ВОК-60					120—200	—	0,15	—	—	0,3—0,5	—	13
3	Базовый	Вертикальный консольно-фрезерный скоростной станок на базе станка 6Р13В или 6Т13-1-Б	Фреза насадная с механическим креплением круглой пластины ВК-8	Корпус гидронасоса гидросистемы трактора, СЧ 21, НВ 163—229	—	250	120	85	100	—	250	0,098	4 ± 0,5	—	150
	Новый		Фреза ступенчатая с пластинами из композита, композит 05					1570	2500	—	1600	0,03	4 ± 0,5	—	1154
4	Базовый	Специальный расточочный станок ОС-6055	Державочный напайной резец чистовой, черновой, ВК3М	Гильза двигателя ЗИЛ-130, СЧ 24, НВ 197—241	92,5	180	—	125	400	0,1	—	—	0,4—0,6	0,1	35
	Новый		Державочный напайной резец чистовой, черновой, композит 01					942	300	0,1	—	—	0,4—0,6	0,1	100

Методика расчета экономического эффекта от внедрения инструментов

Экономическую эффективность (\mathcal{E}) определяем как разность затрат изменяющихся частей себестоимости обработки единицы продукции по базовой (C_1) и новой (C_2) технологии, т. е. с использованием базового (старого) инструмента и нового (из композита или керамики), по формуле

$$\mathcal{E} = (C_1 - C_2) B_2 - E_{\text{н}} K_{\Delta}. \quad (7.1)$$

Определяем экономическую эффективность в следующей последовательности.

1. Затраты C_1 и C_2 :

$$C_1 = S_{\text{ин1}} + S_{\text{o61}}; \quad (7.2)$$

$$C_2 = S_{\text{ин2}} + S_{\text{o62}}. \quad (7.3)$$

2. Затраты на приобретение (или изготовление) и эксплуатацию инструмента:

$$S_{\text{ин1}} = \frac{U_{\text{ин1}} + S_{\text{пер1}} k_{\text{пер1}} + S_{\text{уст1}} k_{\text{уст1}}}{b_1}; \quad (7.4)$$

$$S_{\text{ин2}} = \frac{U_{\text{ин2}} + S_{\text{пер2}} k_{\text{пер2}} + S_{\text{уст2}} k_{\text{уст2}}}{b_2}. \quad (7.5)$$

3. Затраты, связанные с эксплуатацией оборудования, на котором работает инструмент:

$$S_{\text{o61}} = S_{\text{см1}} t_{\text{осн1}}; \quad (7.6)$$

$$S_{\text{o62}} = S_{\text{см2}} t_{\text{осн2}}. \quad (7.7)$$

4. Число заготовок, обрабатываемых инструментом до его полного изнашивания:

$$b_1 = b'_1 k_{\text{уст1}}; \quad (7.8)$$

$$b_2 = b'_2 k_{\text{уст2}}. \quad (7.9)$$

5. Затраты на повторную заточку инструмента (или правку абразивного круга):

$$S_{\text{пер1}} = S_{\text{см. пер1}} \tau_{\text{пер1}}; \quad (7.10)$$

$$S_{\text{пер2}} = S_{\text{см. пер2}} \tau_{\text{пер2}}. \quad (7.11)$$

6. Для инструмента с механическим креплением многогранных пластин под $S_{\text{пер}}$ понимают затраты на поворот (или переворот) пластины или перебор пластины вне станка:

$$S_{\text{пер1}} = \eta_1 \tau_{\text{пер1}}; \quad (7.12)$$

$$S_{\text{пер2}} = \eta_2 \tau_{\text{пер2}}. \quad (7.13)$$

Методика расчета экономического эффекта от внедрения инструментов

7.3. Определение затрат на инструмент и оборудование, рассчитываемых по формулам (4)–(15) методики (примеры расчета по методике)

№ примера	Технологический процесс	$S_{\text{пер } i}$	$S_{\text{уст } i}$	b_i , шт.	$S_{\text{ин } i}$, руб/дет.	$S_{\text{об } i}$, руб/дет.
		руб.	руб.			
1	Базовый	0,074	0,36	1,65	1,63	7,34
	Новый	0,09	0,36	198	0,63	0,95
2	Базовый	0,01	—	900	0,02	0,51
	Новый	0,015	0,1	1 556	0,09	0,11
3	Базовый	0,18	0,185	8 100	0,023	0,055
	Новый	0,36	0,185	83 088	0,041	0,0085
4	Базовый	0,21	0,14	248	0,0177	0,175
	Новый	0,014	0,14	8 800	0,0157	0,023

7. Стоимость одной переустановки инструмента на станке при замене изношенного инструмента новым:

$$S_{\text{уст}1} = S_{\text{см}1} \tau_{\text{уст}1}; \quad (7.14)$$

$$S_{\text{уст}2} = S_{\text{см}2} \tau_{\text{уст}2}. \quad (7.15)$$

8. Определяем окончательное значение экономической эффективности \mathcal{E} по формуле (1).

Расчет технико-экономической эффективности начинаем с заполнения карты условий обработки (табл. 7.2).

Исходя из конкретных режимов резания и размеров обрабатываемой заготовки, определяем основное технологическое время обработки заготовки $t_{\text{осн } i}$ по базовой и новой технологиям, а также определяем показатели $k_{\text{пер } i}$, $k_{\text{уст } i}$ и b'_i , связанные со стойкостью инструмента, и заносим их в табл. 7.2.

Оптовые цены на инструмент определяем по прейскуранту № 18-05-1981 либо по калькуляциям завода при его изготовлении на заводе-потребителе. Значения $I_{\text{ин } i}$ также заносим в табл. 7.1.

Методика расчета экономического эффекта от внедрения инструментов

7.4. Сводная таблица экономической эффективности от внедрения инструмента из керамики и композита (примеры расчета по методике)

№ примера	Технологический процесс, операция, инструмент	Изменяющиеся части себестоимости обработки единицы продукции (детали) по технологическому процессу, руб/дет.		Годовой объем выпуска деталей B_2 , шт/год	Дополнительные капитальные затраты K_d , руб.	Нормативный коэффициент эффективности E_H	Головной экономический эффект \mathcal{E} , руб. на выпуск, дет/год
		базовому C_1	новому C_2				
1	Обработка (точение по наружному диаметру и подрезка торца с обработкой ручьев) ручья штампа на резцами с пластинами из ВОК-60 взамен резцов из Т15К6	8,97	1,58	5 000	14 216	0,15	34 800
2	Обточка шеек шпинделя по наружному диаметру резцами с пластинами из керамики взамен шлифования	0,53	0,20	92 400	—	0,15	30 500
3	Обработка плоскости разъема корпуса гидронасоса гидросистемы трактора торцовыми фрезами из композита 05 взамен фрез из ВК8	0,0780	0,0495	2 500 000	40 000	0,15	65 000
4	Растачивание гильз двигателя ЗИЛ-130 резцами из композита 01 взамен резцов из ВК31	0,193	0,0387	4 420 000	300 000	0,15	637 000

Показатели $S_{\text{см. пер } i}$, η_i , $S_{\text{см } i}$, $\tau_{\text{уст } i}$ выбираем по нормативным данным.

Далее по формулам (4)–(15) определяем основные виды затрат, связанные с приобретением (изготовлением) и эксплуатацией инструмента. Последовательность расчета дана в табл. 7.3.

Значения изменяющихся частей себестоимости обработки единицы продукции C_1 и C_2 рассчитываем по формулам (2) и (3).

Методика расчета экономического эффекта от внедрения инструментов

Дополнительные капитальные затраты K_d при внедрении нового технологического процесса определяем по данным предприятия. Как правило, это в первую очередь относится к приобретению мощного виброустойчивого токарного, расточного или фрезерного оборудования, имеющего большую частоту вращения шпинделя. В этом случае необходимо учитывать, что в результате концентраций операций и повышения производительности обработки высвобождаются несколько шлифовальных и (или) токарно-расточных (фрезерных) станков, занимаемые ими производственные площади, а главное — рабочие-станочники. Все указанное выше еще более увеличивает реальный экономический эффект, достигаемый на данном конкретном предприятии.

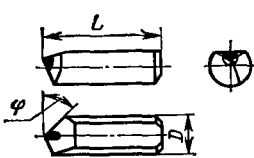
Анализ приведенных примеров расчета экономической эффективности свидетельствует об удобстве применения методики и возможности достаточно точного учета факторов, определяющих экономический эффект.

Так, при обработке заготовки вставки ручья штампа (пример № 1, см. табл. 7.1—7.4) керамическими резцами с пластинами из ВОК-60 повышается стойкость более чем в 7 раз по сравнению со стойкостью после обработки напайными твердосплавными (Т15К6) резцами и увеличивается производительность в 8 раз.

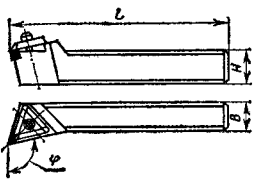
При замене напайных резцов, оснащенных твердым сплавом ВК3М, резцами с пластинами из композита О1 на операции растачивания отверстия диаметром $d = 92,5$ мм гильзы двигателя (пример № 4, см. табл. 7.1—7.4) производительность труда повысилась в 7,5 раза, а стойкость инструмента — более чем в 3 раза.

ПРИЛОЖЕНИЯ

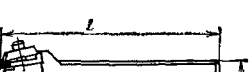
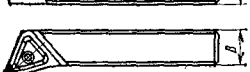
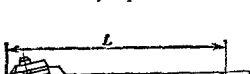
1. НОМЕНКЛАТУРА РЕЖУЩИХ ИНСТРУМЕНТОВ, ОСНАЩЕННЫХ СТМ НА ОСНОВЕ НИТРИДА БОРА

Инструмент, эскиз	Размеры, мм	Назначение
<p>Вставки перетачиваемые к токарным резцам с неразъемно закрепленными поликристаллами композитов 01 или 10, с φ, равными $10^\circ, 15^\circ, 35^\circ, 45^\circ, 60^\circ$, правые и левые</p> 	$D \times L$ 8×16 8×18 8×20	<p>Точение без удара (композит 01) и с ударом (композит 10) заготовок из закаленных сталей и чугунов любой твердости, твердых сплавов ($\text{Co} > 15\%$) с глубиной резания 0,05—0,5 мм. Могут использоваться в качестве ножей торцевых фрез, а также державочных расточных резцов</p>

Продолжение прил. 1

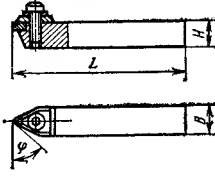
Инструмент, эскиз	Размеры, мм	Назначение
Резцы токарные сборные проходные с механическим креплением пластин круглой формы из композитов 01, 05, 10Д, правые и левые	$H \times B \times L$ 20×20×125 25×25×150 32×25×170 32×32×170	Точение без удара (композиты 01, 05, 10Д) и с ударом (композит 10Д) закаленных сталей и чугунов любой твердости. Литейная корка не допускается
	$H \times B \times L$ 20×20×125 25×25×150 32×25×170 32×32×170	Точение без удара (композит 05 и 10Д) и с ударом (композит 10Д) закаленных сталей и чугунов любой твердости с $t = 2,5$ мм по чугуну и $t \leq 1,5$ мм по стали: $S_0 \leq 0,25$ мм/об. Литейная корка не допускается

Продолжение прил. 1

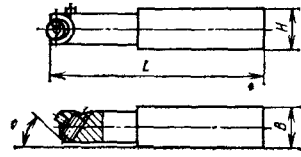
Инструмент, эскизы	Размеры, мм	Назначение												
<p>Резцы токарные сборные проходные с механическим креплением пластин трехгранной формы из композитов 05 с $\varphi = 93^\circ$, правые и левые</p>  	$H \times B \times L$ 20×20×125 25×25×150 32×25×170 32×32×170	<p>Точение без удара закаленных сталей и чугунов любой твердости с $t \leq 3$ мм по чугуну и $t \leq 2$ мм по стали; $S_0 \leq 0,15$ мм/об. Литейная корка не допускается</p>												
<p>Резцы токарные сборные проходные с механическим креплением пластин ромбической формы из композитов 05 и 10Д с φ, равным 95 и 75°, правые и левые</p>  	$H \times B \times L$ 20×20×125 25×25×150 32×25×170 32×32×170	<p>Точение без удара (композит 05) и с ударом (композит 10Д) закаленных сталей и чугунов.</p> <p>Для композита 05:</p> <table> <tr> <td>t, мм</td> <td>S_0, мм/об</td> </tr> <tr> <td>≤ 4 (чугун)</td> <td>$\leq 0,15$</td> </tr> <tr> <td>$\leq 2,5$ (сталь)</td> <td>$\leq 0,1$</td> </tr> </table> <p>Для композита 10Д:</p> <table> <tr> <td>t, мм</td> <td>S_0, мм/об</td> </tr> <tr> <td>≤ 2 (чугун)</td> <td>$\leq 0,15$</td> </tr> <tr> <td>1 (сталь)</td> <td>$\leq 0,1$</td> </tr> </table>	t , мм	S_0 , мм/об	≤ 4 (чугун)	$\leq 0,15$	$\leq 2,5$ (сталь)	$\leq 0,1$	t , мм	S_0 , мм/об	≤ 2 (чугун)	$\leq 0,15$	1 (сталь)	$\leq 0,1$
t , мм	S_0 , мм/об													
≤ 4 (чугун)	$\leq 0,15$													
$\leq 2,5$ (сталь)	$\leq 0,1$													
t , мм	S_0 , мм/об													
≤ 2 (чугун)	$\leq 0,15$													
1 (сталь)	$\leq 0,1$													

Продолжение прил. 1

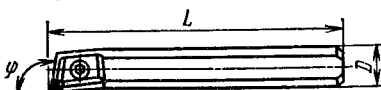
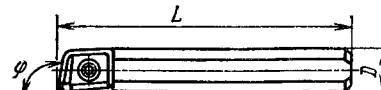
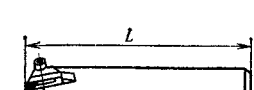
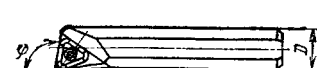
Жедеъ В. П. и др.

Инструмент, эскиз	Размеры, мм	Назначение
Резцы токарные сборные проходные с механическим креплением перетачиваемой цилиндрической вставки с режущим элементом из композита 01, 02 или 10 с $\varphi = 45^\circ$	$H \times B \times L$ 16×16×100 20×20×125 25×25×150	Точение без удара (композит 01, 02) и с ударом (композит 10) закаленных сталей и чугунов с $t \leq 0,5$ мм; $S_0 \leq 0,15$ мм/об. Литейная корка не допускается
	$H \times B \times L$ 16×16×100 20×20×125 25×25×150	Точение без удара (композит 01) и с ударом (композит 10) закаленных сталей и чугунов с $t \leq 0,5$ мм; $S_0 \leq 0,1$ мм/об. Литейная корка не допускается

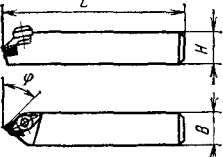
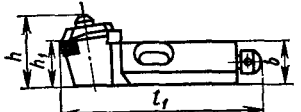
Продолжение прил. 1

Инструмент, эскиз	Размеры, мм	Назначение
Резцы токарные сборные расточные для сквозных и глухих отверстий с механическим креплением перетачиваемой цилиндрической вставки с режущим элементом из композита 01 или 10 с φ , равным 45 и 93°, правые и левые	$H \times B \times L$ 16×16×125 20×20×150 25×25×170	Растачивание без удара (композит 01) и с ударом (композит 10) закаленных сталей и чугунов с $t \leq 0,5$ мм; S_0 до 0,15 мм/об. Литейная корка не допускается
	$D \times L$ 20×200 25×250 32×300	Растачивание без удара закаленных сталей и чугунов любой твердости с $t \leq 1,5$ мм по чугуну и $t \leq 1,0$ мм по стали. $S_0 \leq 0,15$ мм/об. Литейная корка не допускается

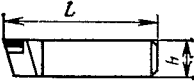
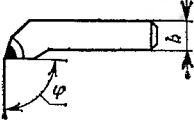
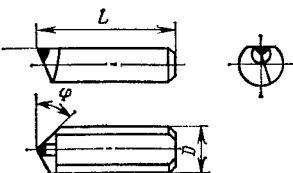
Продолжение прил. 1

Инструмент, эскиз	Размеры, мм	Назначение
Резцы токарные сборные расточные с механическим креплением пластин трехгранной формы из композита 05 с углом $\varphi = 93^\circ$, правые и левые 	$D \times L$ 25×250 32×300	Растачивание без удара закаленных сталей и чугунов любой твердости с $t \leq 3$ мм по чугуну и с $t \leq 2$ мм по стали. $S_0 \leq 0,1$ мм/об. Литейная корка не допускается
Резцы токарные сборные расточные с механическим креплением пластин ромбической формы из композита 05 и 10Д с углом $\varphi = 95^\circ$, правые и левые 	$D \times L$ 20×200 25×250 32×300	Растачивание без удара (композит 05) и с ударом (композит 10Д) закаленных сталей и чугунов. Для композита 05: t , мм S_0 , мм/об ≤ 4 (чугун) 0,15 $\leq 2,5$ (сталь) 0,1 Для композита 10Д: t , мм S_0 , мм/об ≤ 2 (чугун) $\leq 0,15$ ≤ 1 (сталь) $\leq 0,1$
Резцы токарные сборные расточные с механическим креплением пластин круглой формы из композитов 01, 05, 10Д, правые и левые  	$D \times L$ 20×200 25×250 32×300	Растачивание без удара (композит 01, 05, 10Д) и с ударом (композит 10Д) закаленных сталей и чугунов любой твердости. Литейная корка не допускается Композит t , мм S_0 , мм/об 01 $\leq 0,5$ $\leq 0,15$ 10Д $\leq 1,5$ $\leq 0,2$ 05 $\leq 2,5$ $\leq 0,3$

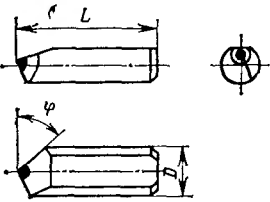
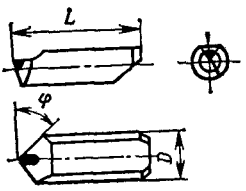
Продолжение прил. 1

Инструмент, эскиз	Размеры, мм	Назначение
Вставки резцовые с механическим креплением пластин ромбической формы из композитов 05 и 10Д с φ , равным 45 и 60°	$H \times B \times L$ 10×10×50 12×12×40 12×12×50 12×12×63 16×16×63 20×20×80 25×25×80	Растачивание отверстий в заготовках корпусных деталей из чугунов на горизонтально-расточных и отделочно-расточных станках, на сверлильно-фрезерно-расточных станках с ЧПУ
 Вставки резцовые с механическим креплением круглых пластин из композита 01 и ромбических пластин из композитов 05 и 10Д с $\varphi = 95^\circ$	$h \times b \times h_1 \times l_1$ 12×11×10×50 16×16×12×55 20×20×16×63 12×11×10×50 16×16×12×55 20×20×16×63	Точение и растачивание на токарных, расточных и сверлильно-фрезерно-расточных станках
 Резцы токарные прямоугольного сечения перетачиваемые, оснащенные композитом 01 или 10 с φ , равным 45°, 60°, 30°, 15°, правые и левые	$H \times B \times L$ 8×8×32 10×10×40 10×10×65 12×12×70 16×12×80 16×16×80	Точение без удара (композит 01) и с ударом (композит 10) закаленных сталей и чугунов любой твердости с $t \leq 0,5$ мм. $S_0 \leq 0,15$ мм/об. Литейная корка не допускается

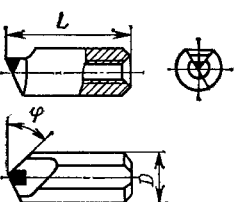
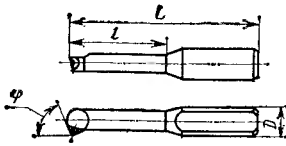
Продолжение прил. 1

Инструмент, эскиз	Размеры, мм	Назначение
Резцы токарные отогнутые с напайной двухслойной пластиной из композита 05 с $\varphi = 90^\circ$, правые и левые	$H \times B \times L$ 20×12×125 25×16×140	Точение без удара закаленных сталей и чугуинов с $t \leq 4$ мм; $S_0 \leq 0,15$ мм/об (чугун); $t \leq 2,5$ мм; $S_0 \leq 0,1$ мм/об (сталь)
 		
Резцы расточные державочные перетачиваемые круглого сечения, оснащенные композитом 01 или 10 с φ , равным $45^\circ, 35^\circ, 20^\circ, 60^\circ$, правые и левые	$D \times L$ 10×25 12×25 16×30 16×60	Растачивание сквозных отверстий в заготовках малой жесткости из чугунов, закаленных сталей и твердых сплавов (с содержанием Co > 15 %) с $S_0 \leq 0,1$ мм/об, $t \leq 0,5$ мм на координатно-расточных, алмазно-расточных и горизонтально-расточных станках
		

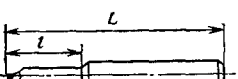
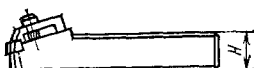
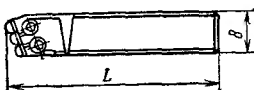
Продолжение прил. 1

Инструмент, эскиз	Размеры, мм	Назначение
Резцы расточные державочные перетачиваемые круглого сечения, оснащенные композитом 01 или 10 с ϕ , равным 10° , 15° , 35° , 40° , 50° , правые и левые	$D \times L$ 10×25 12×25 16×30 16×60	Растачивание отверстий в заготовке из чугунов, закаленных сталей и твердых сплавов (с содержанием $Co \geq 15\%$) с $S_0 \leq 0,1$ мм, $t \leq 0,5$ мм на координатно-расточных, алмазно-расточных и горизонтально-расточных станках
		
Резцы расточные державочные перетачиваемые специальные круглого сечения, оснащенные композитом 01 или 10 с ϕ , равным 10° , 15° , 35° , 40° , 50° , правые и левые	$D \times L$ 8×16 8×18 8×20 10×25	Растачивание отверстий в заготовках из чугунов, закаленных сталей и твердых сплавов (с содержанием $Co \geq 15\%$) с $S_0 \leq 0,1$ мм/об, $t \leq 0,5$ мм на координатно-расточных, алмазно-расточных и горизонтально-расточных станках
		

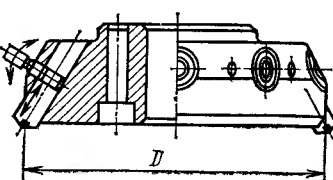
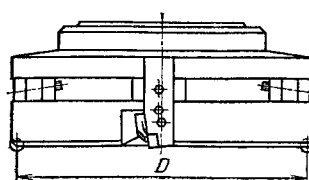
Продолжение прил. I

Инструмент, эскиз	Размеры, мм	Назначение
Резцы расточные державочные регулируемые перетачиваемые круглого сечения, оснащенные композитом 01 или 10 с φ , равным $10^\circ, 15^\circ, 35^\circ, 40^\circ, 50^\circ$, правые и левые	$D \times L$ 16×30	Растачивание отверстий в заготовках из чугунов, закаленных сталей и твердых сплавов (с содержанием $Co \geq 15\%$) с $S_0 \leq 0,1$ мм/об, $t \leq 0,5$ мм на координатно-расточных, алмазно-расточных, горизонтально-расточных, а также на станках с ЧПУ
		
Резцы расточные перетачиваемые круглого сечения для сквозных отверстий, в том числе к координатно-расточным станкам, с режущим элементом из композита 01 или 10 с φ , равным 45° и 75°	$D \times L$ 8×50 10×50 12×50 14×50	Растачивание сквозных отверстий диаметром 5 мм и более в деталях из закаленных сталей и твердых сплавов (с содержанием $Co \geq 15\%$) с $S_0 \leq 0,1$ мм/об, $t \leq 0,3$ мм. Возможно растачивание отверстий в чугунных заготовках на станках с частотой вращения шпинделя не менее $20-30 \text{ мин}^{-1}$
		

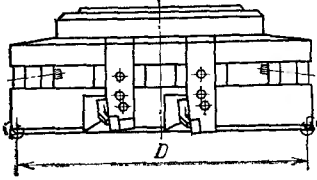
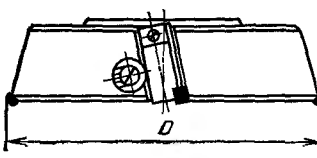
Продолжение прил. 1

Инструмент, эскиз	Размеры, мм	Назначение
Резцы расточиваемые круглого сечения для глухих отверстий, в том числе к координатно-расточным станкам, с режущим элементом из композита 01 или 10 с $\varphi = 93^\circ$	$D \times L$ 8×50 10×50 12×50 14×50	Растачивание глухих отверстий диаметром 5 мм и более в заготовках из закаленных сталей и твердых сплавов (с содержанием $Co \geq 15\%$) с $S_0 < 0,1$ мм/об, $t \leq 0,3$ мм. Возможна растачивание отверстий в чугунных заготовках на станках с частотой вращения шпинделя не менее 20—30 мин ⁻¹
 		
Резцы токарные сборные проходные ступенчатые с механическим креплением пластины круглой формы из композита 05 или 10Д, правые и левые	$H \times B \times L$ 25×25×150 32×25×170 32×32×170 40×40×200 50×50×250	Точение прокатных валков из закаленных сталей и чугунов с глубиной резания до 6 мм
 		

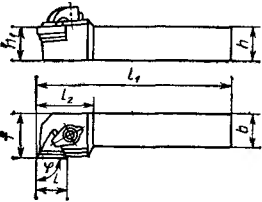
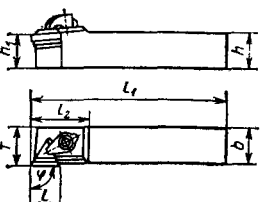
Продолжение прил. 1

Инструмент, эскиз	Размеры, мм	Назначение																				
Фрезы торцовые насадные с регулируемым торцовыми биением зубьев с перетачиваемыми ножами, оснащенными композитом 01 или 10	D , мм...100 125 160 200 Число зубьев... 8 10 12 14	<p>Финишная обработка на продольно-шлифовальных и координатно-расточных станках чугунов и сталей с $t \leq 0,5$ мм и $S_0 \leq 5$ м/мин (вершина ножа выполнена с большим радиусом 20—50 мм). Фрезерование открытых и закрытых (типа «ласточкина хвоста») поверхностей. Скорость резания серых чугунов — до 3000 м/мин</p> 																				
Фрезы торцовые насадные с регулируемым торцовыми биением зубьев, с механическим креплением пластин круглой и квадратной формы из композита 05 и 10Д	D , мм <table> <thead> <tr> <th>D, мм</th> <th>Число зубьев</th> </tr> </thead> <tbody> <tr><td>125</td><td>10</td></tr> <tr><td>160</td><td>14</td></tr> <tr><td>200</td><td>18</td></tr> <tr><td>250</td><td>24</td></tr> <tr><td>315</td><td>30</td></tr> <tr><td>400</td><td>40</td></tr> <tr><td>500</td><td>50</td></tr> <tr><td>630</td><td>60</td></tr> <tr><td>800</td><td>80</td></tr> </tbody> </table>	D , мм	Число зубьев	125	10	160	14	200	18	250	24	315	30	400	40	500	50	630	60	800	80	<p>Чистовая обработка деталей из сталей (композит 10Д) и чугунов (композиты 05 и 10Д) любой твердости на станках фрезерной, расточной и шлифовальной групп с повышенными требованиями к шероховатости обработанной поверхности: $t \leq 1,5$ мм; $S_m \leq 2500$ мм/мин; скорость резания серых чугунов — до 3000 м/мин. Наиболее эффективно применение на автоматических линиях, в многоцелевых станках, гибких производственных модулях и системах</p> 
D , мм	Число зубьев																					
125	10																					
160	14																					
200	18																					
250	24																					
315	30																					
400	40																					
500	50																					
630	60																					
800	80																					

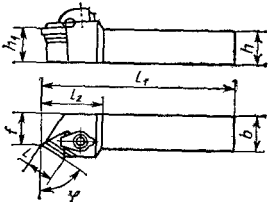
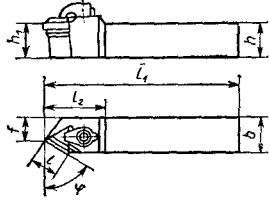
Продолжение прил. 1

Инструмент, эскиз	Размеры, мм		Назначение
Фрезы торцовые насадные ступенчатые с регулируемым торцевым биением зубьев, с механическим креплением пластин круглой и квадратной формы из композита 05 и 10Д	D , мм 	D , мм Число зубьев 125 10 160 14 200 18 250 24 315 30 400 40 500 50 630 60 800 90	<p>Предварительная и окончательная обработка заготовок из серых и высокопрочных чугунов, закаленных сталей (композит 10Д) любой твердости, в том числе по литейной корке и с отбелом, на фрезерных автоматах и полуавтоматах, на станках с ЧПУ, многоцелевых, продольно-фрезерных, вертикально-фрезерных, расточных станках взамен твердосплавных фрез. Для чугунов $t \leq 6,0$ мм; для сталей $t \leq 3,0$ мм; $S_m \leq 2500$ мм/мин; скорость резания серых чугунов с $i = 6$ $v \leq 1500$ м/мин</p>
Фрезы торцовые насадные иерегулируемые с механическим креплением высокоточных пластин круглой и квадратной формы из композита 05 или 10Д	D , мм 	D , мм Число зубьев 20 2 40 4 63 5 80 6 100 8	<p>Обработка заготовок из сталей (композит 10) и чугунов (композиты 05, 10Д) любой твердости на станках фрезерной, расточной и шлифовальной групп. Для сталей $t \leq 2,0$ мм; для чугунов $t \leq 4$ мм</p>

2. НОМЕНКЛАТУРА РЕЖУЩИХ ИНСТРУМЕНТОВ, ОСНАЩЕННЫХ КЕРАМИКОЙ

Инструмент, эскиз	Основные размеры, мм	Обозначение по ГОСТ 26476—85	Назначение
<p>Резцы токарные проходные с механическим креплением трехтреугольных пластин, $\varphi = 90^\circ$, правые и левые</p> 	$h \times b \times l_1 \times l_{2\max} \times f$ 20×20×125×32×20,5 20×25×150×32×25,5 32×25×170×32×25,5 32×32×170×32×33	CFANR/L 2020K16 CFANR/L 2525M16 CFANR/L 3225P16 CFANR/L 3232P16	<p>Резцы с пластинами из оксидно-карбидной керамики (ВОК-60, В-3 и кортиниита) следует применять при обработке закаленных сталей с HRC 30—60, ковких, модифицированных и отбеленных чугунов с HB 300—650. Резцы с пластинами из оксидной керамики (ВО-18, ВШ-75) следует применять при чистовом и получистовом точении сырых или термоулучшенных конструкционных и легированных сталей и серых чугунов. Точение на проход</p>
<p>Резцы токарные проходные отогнутые с механическим креплением трехгранных пластин, $\varphi = 90^\circ$, правые и левые</p> 	$h \times b \times l_1 \times l_{2\max} \times f$ 20×20×125×32×25 25×25×150×32×32 32×25×170×32×32 32×32×170×32×40	CTGNR/L 2020K18 CTGNR/L 3225M16 CTGNR/L 3225P16 CTGNR/L 3232P16	<p>То же. Обработка в упор</p>

Продолжение прил. 2

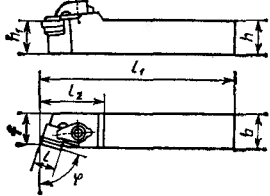
Инструмент, эскиз	Основные размеры, мм	Обозначение по ГОСТ 26476—85	Назначение
Резцы токарные проходные с механическим креплением трехгранных пластин из керамики, $\Phi = 60^\circ$, правые и левые	$h \times b \times l_1 \times l_{2\max} \times f$ 20×20×125×32×13 25×25×150×32×17	СТЕНР/L 2020К16 СТЕНР/L 2525М16	Резцы с пластинами из оксидно-карбидной керамики (ВОК-60, В-3 и кортина) следует применять при обработке закаленных сталей с HRC 30—60, ковких, модифицированных и отбеленных чугунов с HB 300—650. Резцы с пластинами из оксидной керамики (ВО-13, ВШ-75) следует применять при чистовом и получистовом точении сырых или термоулучшенных конструкционных и легированных сталей и серых чугунов.
	$h \times b \times l_1 \times l_{2\max} \times f$ 20×20×125×32×7 25×25×150×32×32	СТТНР/L 2020К16 СТТНР/L 2525М16	Точение напроход То же. Точение напроход и подрезка торца
			

Продолжение прил. 2

Инструмент, эскиз	Основные размеры, мм	Обозначение по ГОСТ 26476—85	Назначение
Резцы токарные проходные с механическим креплением квадратных пластин из керамики, $\Phi = 45^\circ$, правые и левые	$h \times b \times l_1 \times l_{2\max} \times f$ 20×20×125×36×10 25×25×150×36×12,5 32×25×170×36×12,5 32×32×170×36×12,5	CSDNN 2020K12 CSDNN 2525M12 CSDNN 3225P12 CSDNN 3232P12	То же. Точение напроход и снятие фасок
Резцы токарные проходные отогнутые с механическим креплением квадратных пластин, $\Phi = 45^\circ$, правые и левые	$h \times b \times l_1 \times l_{2\max} \times f$ 20×20×125×36×25 25×25×150×36×32 32×25×170×36×32 32×32×170×36×40	CSSNR/L 2020K12 CSSNR/L 2525M12 CSSNR/L 3225P12 CSSNR/L 3232P12	То же. Точение напроход, снятие фасок и подрезка торца

Продолжение прил. 2

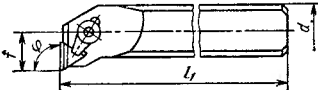
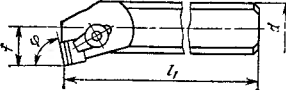
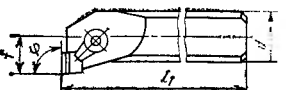
Инструмент, эскиз	Основные размеры, мм	Обозначение по ГОСТ 26476—85	Назначение
Резцы токарные проходные отогнутые с механическим креплением квадратных пластин из керамики, $\varphi = 60^\circ$, правые и левые	$h \times b \times l_1 \times l_{2\max} \times f$ 20×20×125×36×22 25×25×150×36×27 32×25×170×36×27 32×32×170×36×27 32×32×170×36×35	CSTNR/L 2020K12 CSTNR/L 2525M12 CSTNR/L 3225P12 CSTNR/L 3225P12 CSTNR/L 3232P12	Резцы к пластинам из оксидно-карбидной керамики (ВОК-60, В-3 и кортиниита) следует применять при обработке закаленных сталей с HRC 30—60, ковких, модифицированных и отбеленных чугунов с HB 300—650. Резцы с пластинами из оксидной керамики (ВО-13, ВШ-75) следует принять при чистовом и получистовом точении сырых или термоулучшенных конструкционных и легированных сталей и серых чугунов. Точение напроход и подрезка торца То же
Резцы токарные проходные с механическим креплением квадратных пластин, $\varphi = 75^\circ$, правые и левые	$h \times b \times l_1 \times l_{2\max} \times f$ 20×20×125×36×17 25×25×150×36×22 32×25×170×36×22 32×32×170×36×27	CSBNR/L 2020K12 CSBNR/L 2525M12 CSBNR/L 3225P12 CSBNR/L 3232P12	

Инструмент, эскиз	Основные размеры, мм	Обозначение по ГОСТ 26476—85	Назначение
Резцы токарные проходные отогнутые с механическим креплением квадратных пластин из керамики, $\varphi = 75^\circ$	$h \times b \times l_1 \times l_{2\max} \times f$ 20×20×125×36×22 25×25×150×36×27	CSRNR/L 2020K12 CSRNR/L 2525M12	То же. Точение напроход и подрезка торца
	$h \times b \times l_1 \times l_{2\max} \times f$ 20×20×125×32×25 25×25×150×32×32	CTFNR/L 2020K16 CTFNR/L 2525M16	То же. Подрезка торца

Продолжение прил. 2

Инструмент, эскиз	Основные размеры, мм	Обозначение по ГОСТ 26476—85	Назначение
Резцы токарные подрезные отогнутые с механическим креплением квадратных пластин, $\varphi = 75^\circ$, правые и левые	$h \times b \times l_1 \times l_{2\max} \times f$ 20×20×125×36×25 25×25×150×36×32 32×32×170×36×40	CSKNR/L 2020K12 CSKNR/L 2525M12 CSKNR/L 3232P12	Резцы с пластинами из оксидно-карбидной керамики (ВОК-60, В-3 и кортнита) следует применять при обработке закаленных сталей с HRC 33—60, ковких, модифицированных и отбеленных чугунов с HB 300—650. Резцы с пластинами из оксидной керамики (ВО-13, ВШ-75) следует применять при чистовом и получистовом точении сырых или термоулучшенных конструкционных и легированных сталей и серых чугунов. Подрезка торца.
Резцы токарные проходные отогнутые с механическим креплением ромбических пластин, $\varepsilon = 80^\circ$, $\varphi = 95^\circ$, правые и левые	$h \times b \times l_1 \times l_{2\max} \times f$ 25×25×150×36×32 32×32×170×45×40	CCLNR/L 2525M12 CCLNR/L 3232P12	То же. Точение напроход и подрезка торца

Продолжение прил. 2

Инструмент, эскиз	Основные размеры, мм	Обозначение по ГОСТ 26476—85	Назначение
Резцы токарные расточные с механическим креплением трехгранных пластин, $\varphi = 90^\circ$, правые и левые	$d \times l_1 \times f \times D_{\min}$ 32×250×22×45 32×350×22×45 50×350×35×63 50×550×35×63	S32R—CTFNR/L 16 S32S—CTFNR/L 16 S50S—CTFNR/L 16 S50U—CTFNR/L 16	То же. Расточка глухих и сквозных отверстий
			
Резцы токарные расточные с механическим креплением квадратных пластин, $\varphi = 75^\circ$, правые и левые	$d \times l_1 \times f \times D_{\min}$ 32×250×22×45 32×350×22×45 50×350×35×63 50×550×35×63	S32R—CSKNR/L 12 S32S—CSKNR/L 12 S50S—CSKNR/L 12 S50U—CSKNR/L 12	То же. Расточка сквозных отверстий
			
Резцы токарные расточные с механическим креплением ромбических пластин, $\varepsilon = 80^\circ$, $\varphi = 95^\circ$, правые и левые	$d \times l_1 \times f \times D_{\min}$ 32×250×22×45 50×350×35×63	S32R—CCNR/L 12 S50S—CCLN/L 12	То же. Расточка глухих и сквозных отверстий
			

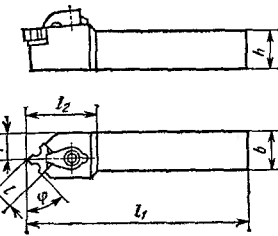
Продолжение прил. 2

Инструмент, эскиз	Основные размеры, мм	Обозначение по ГОСТ 26476—85	Назначение
Резцы токарные проходные отогнутые с механическим креплением ромбических пластин, $\varepsilon = 55^\circ$, $\varphi = 93^\circ$, правые и левые	$h \times b \times l_1 \times l_{2\max} \times f$ 20×20×125×30×25 25×25×160×36×32 32×32×170×45×40	CDLN R/L 2020 CDLN R/L 2525M12 CDLN R/L 3232P12	Резцы с пластинами из оксидно-карбидной керамики (ВОК-60, В-3 и кортиниита) следует применять при обработке закаленных сталей с HRC 30—60, ковких, модифицированных и отбеленных чугунов с HB 300—650. Резцы с пластинами из оксидной керамики (ВО-13, ВШ-75) следует применять при чистовом и получистовом точении сырых или термоулучшенных конструкционных и легированных сталей и серых чугунов. Точение напроход и подрезка торца. Работа по копиру
Резцы токарные проходные отогнутые с механическим креплением круглых пластин, правые и левые	$h \times b \times l_1 \times f$ 16×16×100×20 20×20×125×25 25×25×150×32 32×25×170×32	CR NR/L CR NR/L CR NR/L CR NR/L	То же. Точение напроход и подрезка торца

Продолжение прил. 2

Инструмент, эскиз	Основные размеры, мм	Обозначение по ГОСТ 26476-85	Назначение
Резцы токарные проходные с механическим креплением круглых пластин, правые и левые	$h \times b \times l_1 \times f$ 16×16×100×10 20×20×125×12,5 25×25×150×12,5 32×25×170×12,5	CR NR/L CR NR/L CR NR/L CR NR/L	То же. Точение напроход
 	$h \times b \times l_1 \times f \times l_2$ 32×32×275×24×35 32×32×175×22×40 32×32×175×22×40 32×32×175×22×50	—	Для радиусных фасок и для прорезки трapeциевидных профилей и ручьев канавок шкивов

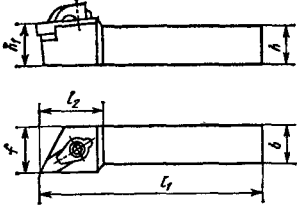
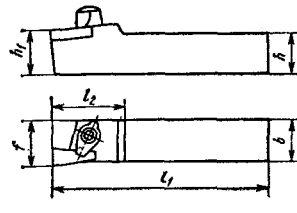
Продолжение прил. 2

Инструмент, эскиз	Основные размеры мм	Обозначение по ГОСТ 26476—85	Назначение
Резцы токарные специальные проходные с механическим креплением пластин фасонной формы для наружных радиусов, правые и левые	$h \times b \times l_1 \times f \times l_2$ 20×20×125×22×36 25×25×150×27×36	—	Снятие радиусных фасок на втулках, зачистка сварных швов и т. п.
	$h \times b \times l_1 \times f$ 32×25×170×22 32×32×170×24	—	Прорезка галтелей, ручьев и нарезание резьбы специальных форм

Продолжение прил. 2

Инструмент, эскиз	Основные размеры, мм	Обозначение по ГОСТ 26476—85	Назначение
Резцы токарные специальные с механическим креплением ромбовидных пластин для прорезания радиусных канавок, правые и левые	$h \times b \times l_1 \times f$ 32×25×170×22 32×32×170×24	—	Прорезка галтелей, ручьев и нарезание резьбы специальных форм
Резцы токарные специальные с механическим креплением ромбовидных пластин для нарезания резьбы, правые и левые	$h \times b \times l_1 \times f$ 32×25×170×22 32×32×170×24	—	То же

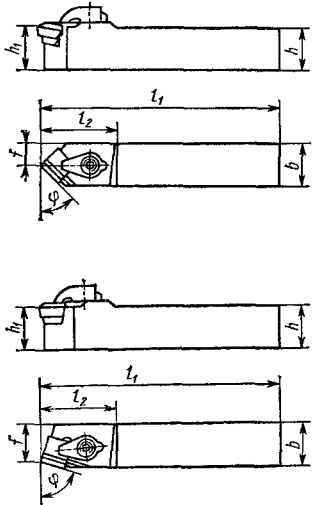
Продолжение прил. 2

Инструмент, эскиз	Основные размеры, мм	Обозначение по ГОСТ 26476—85	Назначение
Резцы токарные специальные проходные с механическим креплением ромбовидных пластин, правые и левые	$h \times b \times l_1 \times f \times l_2$ 38×25×170×22×36 32×32×170×24×36	—	Прорезка галтелей, ручьев и нарезание резьбы специальных форм
	$h \times b \times l_1 \times f \times l_2$ 25×25×170×25,5×36 32×25×170×25,5×36	—	Прорезка и отрезка
			

Продолжение прил. 2

Инструмент, эскиз	Основные размеры, мм	Обозначение по ГОСТ 26476—85	Назначение
<p>Резцы токарные проходные отогнутые с механическим креплением квадратных пластин с задними углами $\alpha = 7^\circ$, φ, равным $45^\circ, 75^\circ$</p>	$h \times b \times l_1 \times l_2 \times f$ 20×20×125×36×10 25×25×150×36×12,5 32×25×170×36×12,5 32×32×170×36×12,5	CS DCR/L	Точение напроход и подрезка торца

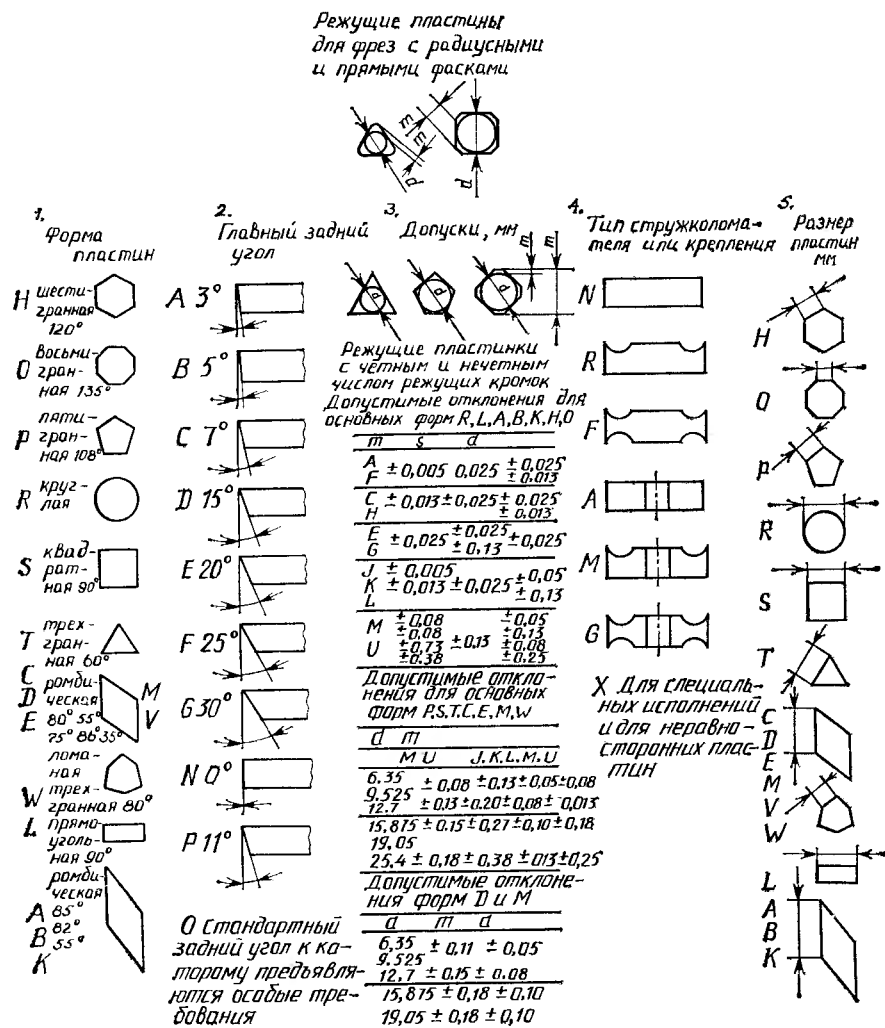
Продолжение прил. 2

Инструмент, эскиз	Основные размеры, мм	Обозначение по ГОСТ 26476—85	Назначение
<p>Резцы токарные проходные с механическим креплением квадратных пластин с задними углами $\alpha = 7^\circ$, Φ, равным 45°, 75°</p> 	$h \times b \times l_1 \times l_2 \times f$ 20×20×125×36×10 25×25×150×36×12,5 32×25×170×36×12,5 32×32×170×36×12,5	—	Точение напроход и подрезка торца

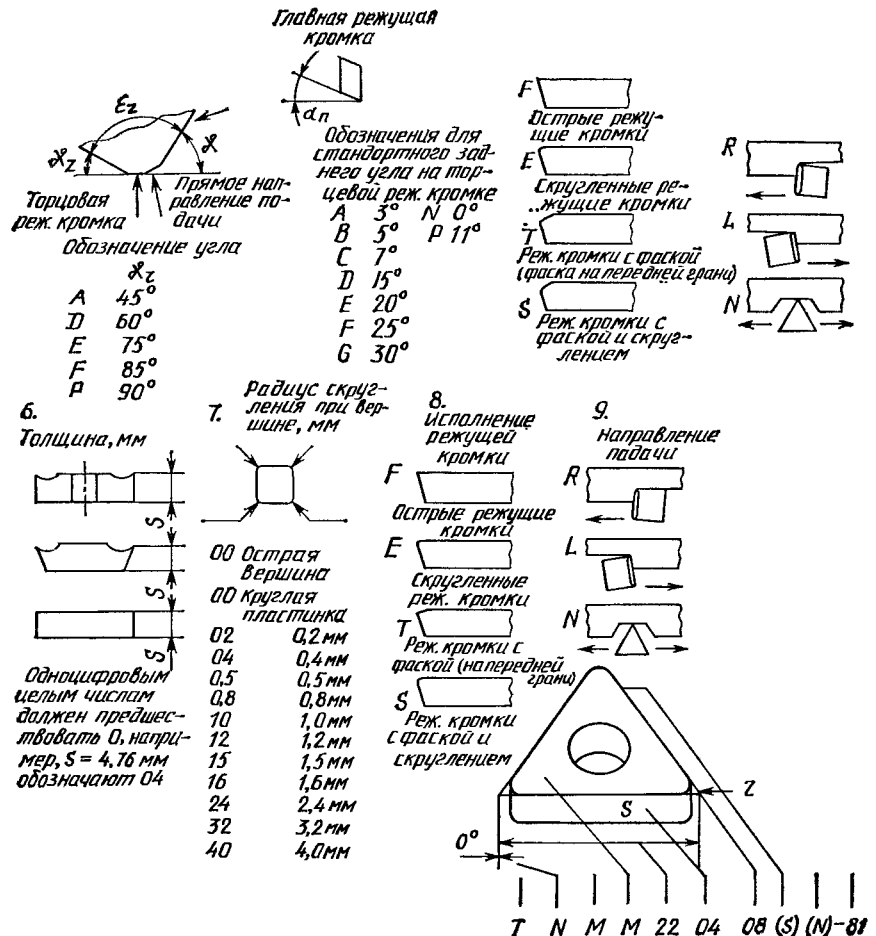
Инструмент, эскиз	Основные размеры, мм	Обозначение по ГОСТ 26476—85	Назначение
Резцы токарные расточные с механическим креплением ромбических пластин, $\varepsilon = 80^\circ$, $\varphi = 95^\circ$	$d \times l_1 \times f \times D_{\min}$ 32×250×25×45 50×350×35×63	—	Для расточки глухих и сквозных отверстий
Резцы токарные расточные с механическим креплением трехгранных пластин с задними углами $\alpha = 7^\circ$, $\varphi = 90^\circ$	$d \times l_1 \times f \times D_{\min}$ 32×250×22×45 32×350×22×45 50×350×35×63 50×550×35×63	—	То же
Резцы токарные расточные с механическим креплением квадратных пластин с задними углами $\alpha = 7^\circ$, $\varphi = 45^\circ, 75^\circ$	$h \times l_1 \times f \times D_{\min}$ 32×250×22×45 32×350×22×45 50×350×35×63 50×550×35×63	—	Для расточки сквозных отверстий

Приложения

3. Обозначение режущих пластин согласно ГОСТ 19042-80

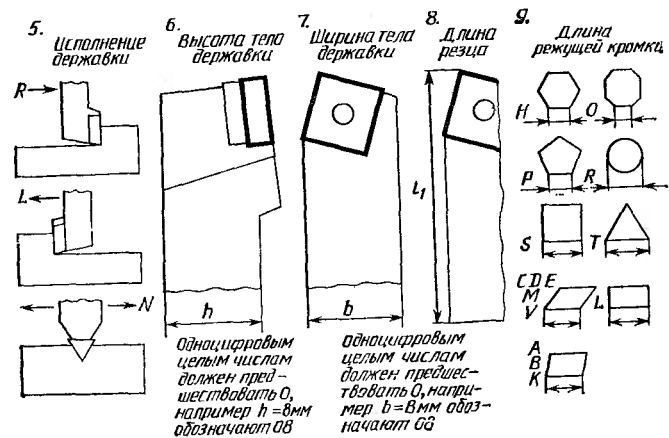
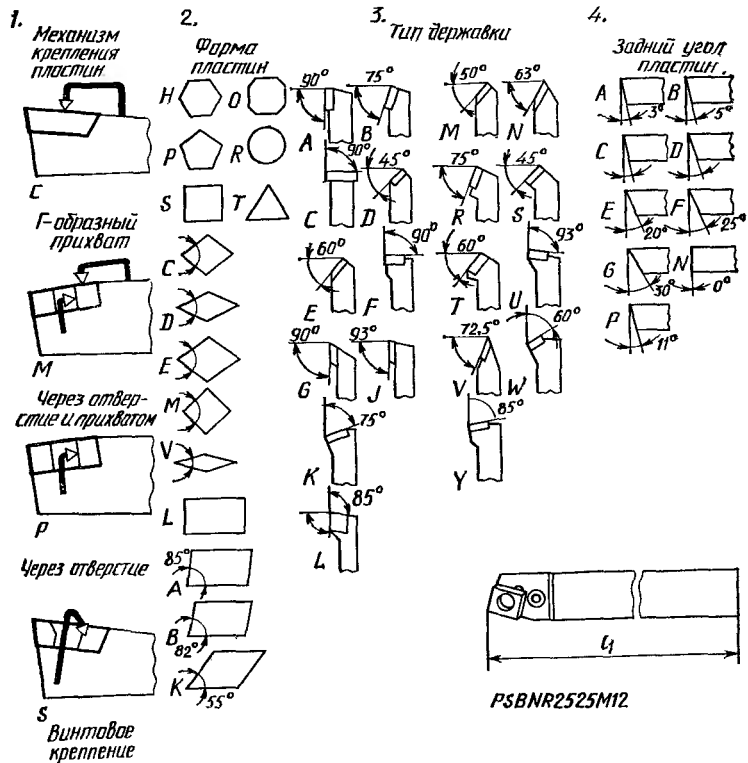


Приложения



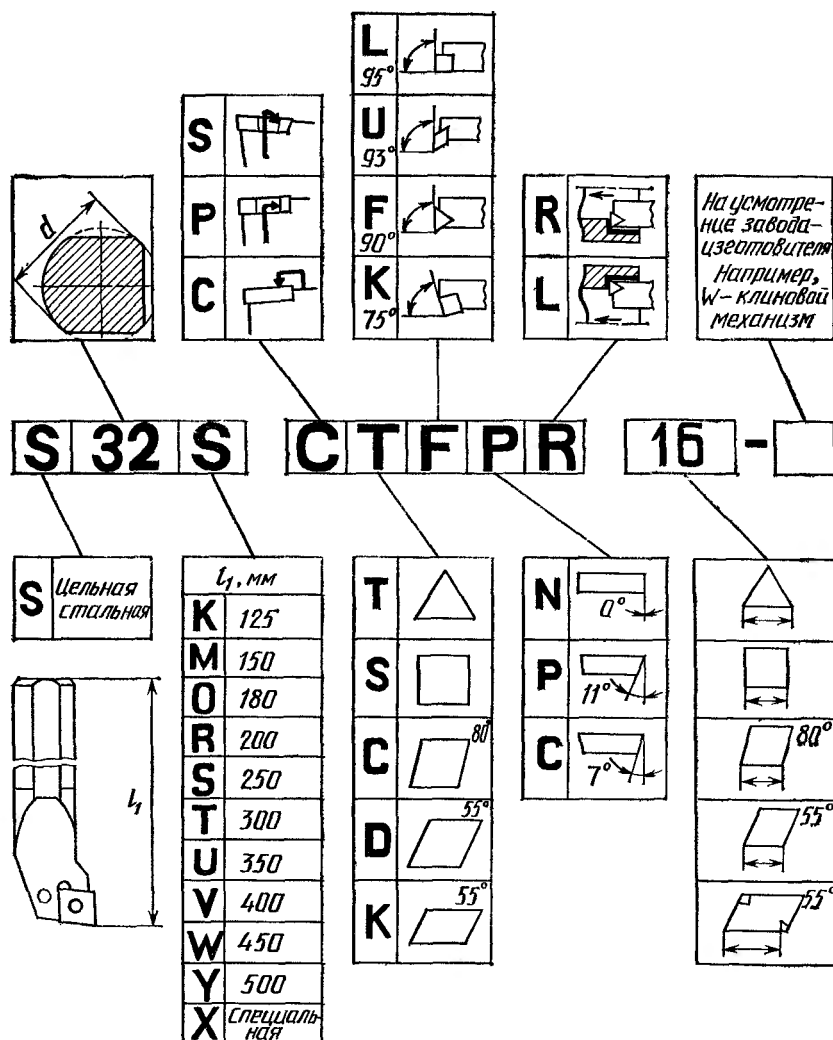
Приложения

*4. Обозначение токарных резцов для наружного
точения согласно ГОСТ 26476-85*



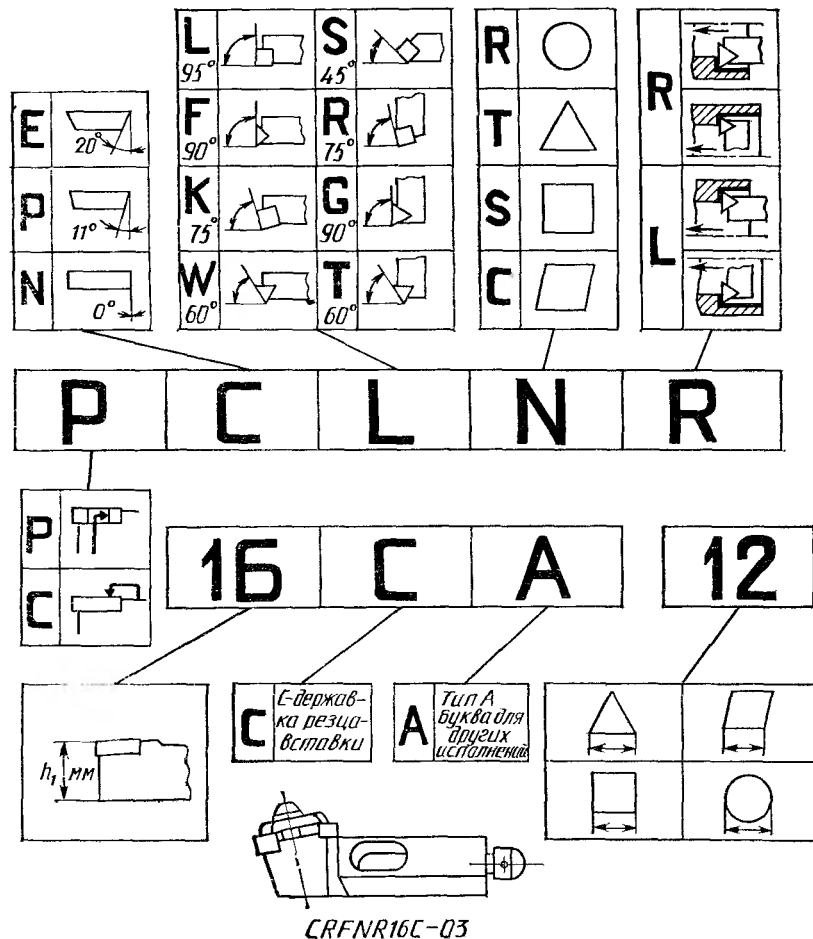
Приложения

5. Обозначение расточенных державок согласно системе ISO



Приложения

*6. Обозначение резцов-вставок
согласно ГОСТ 26476-85*



Приложения

7. ПРИБЛИЖЕННЫЕ СООТНОШЕНИЯ ЧИСЕЛ ТВЕРДОСТИ ПО БРИНЕЛЛЮ, РОКВЕЛЛУ, ШОРУ, ВИККЕРСУ И ЗНАЧЕНИЯ ПРЕДЕЛА ПРОЧНОСТИ ПРИ РАСТЯЖЕНИИ (ДЛЯ СТАЛИ)

Диаметр отпечатка, мм	Число твердости по Бринеллю (шарик Ø 10 мм; нагрузка 30 000 Н)		Число твердости по Роквеллу		Число твердости по Шору		Число твердости по Виккерсу		Предел прочности при растяжении стали, МПа	
	Число твердости НВ Стальной шарик	Число твердости НВ Твердо-сплавный шарик	Шкала С HRC	Шкала В HRB	HS	HV	Углеродистой	Хромистой	Никелевой и хромоникелевой	
2,00	946	—	—	—	—	—	—	—	—	—
2,05	899	—	—	—	—	—	—	—	—	—
2,10	856	—	—	—	—	—	—	—	—	—
2,15	817	—	—	—	—	—	—	—	—	—
2,20	780	872	72	—	106	1224	—	—	—	—
2,25	745	840	70	—	102	1116	—	—	—	—
2,30	712	812	68	—	98	1022	—	—	—	—
2,35	682	794	66	—	94	941	—	—	—	—
2,40	653	760	64	—	91	868	—	—	—	—
2,45	627	724	62	—	87	804	—	—	—	—
2,50	601	682	60	—	84	746	—	210	204	—
2,55	578	646	58	—	81	694	—	202	197	—
2,60	555	614	56	—	78	650	—	194	189	—
2,65	534	578	54	—	76	606	—	187	182	—
2,70	514	555	52	120	73	587	—	180	175	—
2,75	495	525	50	119	71	551	—	173	168	—
2,80	477	514	49	118	68	534	—	167	162	—
2,85	461	477	48	117	66	502	—	161	157	—
2,90	444	460	46	116	64	474	160	155	151	—
2,95	429	432	45	115	62	460	155	150	146	—
3,00	415	418	43	115	61	435	149	145	141	—
3,05	401	401	42	114	59	423	145	140	136	—
3,10	388	388	41	114	57	401	140	136	132	—
3,15	375	375	40	113	56	390	135	131	127	—
3,20	363	363	39	112	54	380	131	127	123	—

Приложения

Продолжение прил. 7

Диаметр отпечатка, мм	Число твердости по Бриннеллю (шарик Ø 10 мм; нагрузка 30 000 Н)		Число твердости по Роквеллу		Число твердости по Шору	Число твердости по Бинккерсу	Предел прочности при растяжении стали, МПа			
	Число твердости HB	Стальной шарик	Твердо-сплавный шарик	Шкала C HRC	Шкала B HRB		HS	HV	углеродистой	хромистой
3,25	352	352	—	38	111	53	361	128	123	120
3,30	341	341	—	36	110	51	344	123	120	116
3,35	331	331	—	35	109	50	334	119	116	113
3,40	321	321	—	33	109	49	320	116	112	109
3,45	311	311	—	32	108	47	311	112	109	106
3,50	302	302	—	31	107	46	303	109	105	103
3,55	293	—	—	30	106	45	292	105	102	100
3,60	285	—	—	29	105	44	285	102	100	97
3,65	277	—	—	28	105	43	278	100	97	94
3,70	269	—	—	27	104	42	270	97	94	92
3,75	262	—	—	26	103	41	261	94	92	89
3,80	255	—	—	25	103	40	255	92	89	87
3,85	248	—	—	25	102	39	249	89	87	84
3,90	241	—	—	24	102	38	240	87	84	82
3,95	235	—	—	23	101	37	235	84	82	80
4,00	229	—	—	22	100	36	228	82	80	78
4,05	223	—	—	21	99	35	222	80	78	76
4,10	217	—	—	20	98	34	217	78	76	74
4,15	212	—	—	19	97	34	213	76	74	72
4,20	207	—	—	18	95	33	208	74	72	70
4,25	201	—	—	16	94	32	201	72	70	68
4,30	197	—	—	15	93	31	197	71	69	67
4,35	192	—	—	14	92	30	192	69	67	65
4,40	187	—	—	13	91	30	186	67	65	64
4,45	183	—	—	11	90	29	183	66	64	62
4,50	179	—	—	10	90	29	178	64	62	61
4,55	174	—	—	9	89	28	174	62	61	59
4,60	170	—	—	7	88	28	171	61	60	58
4,65	167	—	—	6	87	27	166	60	59	57
4,70	163	—	—	4	86	27	162	59	57	55
4,75	159	—	—	3	85	26	159	57	56	54
4,80	156	—	—	2	84	26	155	56	55	53
4,85	152	—	—	—	83	25	152	55	53	52
4,90	149	—	—	—	82	24	149	54	52	51

Приложения

Продолжение прил. 7

Диаметр отпечатка, мм	Число твердости по Бринеллю (шарик Ø 10 мм; нагрузка 30 000 Н)		Число твердости по Роквеллу		Шкала С HRC	Шкала В HRB	HS	HV	Предел прочности при растяжении стали, МПа			
	Число твердости НВ		Стальной шарик	Твердый сплавный шарик					Углеродистой хромистой	никелевой и хромникелевой		
	Стальной шарик	Твердый сплавный шарик		Шору	Виккерсу							
4,95	146	—	—	—	81	24	148	52	51	50		
5,00	143	—	—	—	80	24	143	51	50	49		
5,05	140	—	—	—	79	23	140	50	49	48		
5,10	137	—	—	—	78	23	138	49	48	47		
5,15	134	—	—	—	77	23	134	48	47	46		
5,20	131	—	—	—	76	22	131	47	46	45		
5,25	128	—	—	—	75	22	129	46	45	44		
5,30	126	—	—	—	74	22	127	45	44	43		
5,35	123	—	—	—	73	21	123	44	43	42		
5,40	121	—	—	—	72	21	121	43	42	41		
5,45	118	—	—	—	71	21	118	42	41	40		
5,50	116	—	—	—	70	20	116	41	40	39		
5,55	114	—	—	—	68	20	115	41	40	39		
5,60	111	—	—	—	67	20	113	40	39	38		
5,65	109	—	—	—	66	20	110	39	—	—		
5,70	107	—	—	—	65	19	109	39	—	—		
5,75	105	—	—	—	64	19	108	38	—	—		
5,80	103	—	—	—	—	—	—	37	—	—		
5,85	101	—	—	—	—	—	—	36	—	—		
5,90	99	—	—	—	—	—	—	36	—	—		
5,95	97	—	—	—	—	—	—	35	—	—		
6,00	95	—	—	—	—	—	—	34	—	—		
6,05	94	—	—	—	—	—	—	34	—	—		
6,10	92	—	—	—	—	—	—	33	—	—		
6,15	90	—	—	—	—	—	—	32	—	—		
6,20	88	—	—	—	—	—	—	32	—	—		
6,25	86	—	—	—	—	—	—	31	—	—		
6,30	85	—	—	—	—	—	—	31	—	—		
6,35	84	—	—	—	—	—	—	30	—	—		
6,40	82	—	—	—	—	—	—	29	—	—		
6,45	81	—	—	—	—	—	—	29	—	—		
6,50	80	—	—	—	—	—	—	29	—	—		
6,55	78	—	—	—	—	—	—	28	—	—		
6,60	76	—	—	—	—	—	—	27	—	—		

**8. ЧАСТОТА ВРАЩЕНИЯ (МИН⁻¹) ЗАГОТОВКИ ИЛИ ТОРЦОВОЙ ФРЕЗЫ
В ЗАВИСИМОСТИ ОТ ЕЕ ДИАМЕТРА И СКОРОСТИ РЕЗАНИЯ**

D, мм	v, м/мин											
	5	10	15	20	40	60	80	100	150	200	300	400
5	318	636	956	1274	2548	3825	5095	6360	9560	12 740	19 120	25 480
6	265	531	797	1060	2124	3185	4250	5300	7961	10 615	15 924	21 230
7	228	455	683	910	1820	2730	3640	4550	6818	9 091	13 636	18 182
8	200	400	597	796	1542	2390	3185	3980	5971	7 962	11 943	15 923
9	177	354	530	708	1415	2120	2830	3540	5310	7 080	10 615	14 150
10	159	318	478	637	1274	1910	2550	3185	4780	6 370	9 554	12 740
11	145	289	434	578	1157	1735	2315	2890	4343	5 790	8 685	11 580
12	133	265	398	530	1060	1590	2120	2650	3980	5 310	7 960	10 615
13	123	245	367	490	980	1470	1960	2450	3675	4 900	7 350	9 800
14	114	228	341	455	910	1365	1820	2270	3412	4 550	6 824	9 100
15	106	212	318	424	848	1270	1695	2115	3185	4 250	6 370	8 490
16	100	199	298	398	796	1195	1590	1990	2990	3 980	5 970	7 960
18	89	177	265	354	708	1060	1415	1770	2654	3 540	5 310	7 080
20	80	159	239	318	637	955	1274	1592	2390	3 185	4 777	63 700
30	53	106	159	212	425	637	849	1062	1592	2 123	3 185	4 246
40	40	80	119	159	318	478	637	796	1194	1 592	2 390	3 185
50	32	64	96	127	255	382	510	637	955	1 274	1 911	2 548
60	26	53	80	106	212	318	425	531	796	1 062	1 592	2 123
70	23	46	68	91	182	273	364	455	682	910	1 364	1 818
80	19,9	40	60	80	159	239	318	398	597	796	1 194	1 592
90	17,7	35	53	71	142	212	283	354	531	798	1 062	1 415
100	15,9	32	48	64	127	191	255	318	478	637	955	1 274
110	14,5	29	43	58	116	174	232	290	484	579	870	1 160
120	13,3	27	40	53	106	159	212	265	398	531	796	1 060
130	12,2	24	37	49	98	147	196	245	370	490	735	980
140	11,4	23	34	46	91	136	182	228	341	455	682	910
150	10,6	21	32	42	85	127	170	212	319	425	637	849
160	10,0	19,9	30	40	80	119	159	199	300	400	600	800

Продолжение прил. 8

φ	$D, \text{мм}$	$v, \text{м/мин}$											
		5	10	15	20	40	60	80	100	150	200	300	400
	170	9,4	18,8	28	38	75	113	150	187	281	375	562	750
	180	8,9	17,7	27	35	71	106	142	177	265	354	531	710
	190	8,4	16,8	25	33	67	101	134	168	251	335	503	670
	200	8,0	15,9	24	32	64	96	127	159	239	319	480	637
	225	7,1	14,2	21	28	57	85	113	142	212	283	425	566
	250	6,4	12,7	19,2	26	51	76	102	127	191	255	382	510
	275	5,8	11,6	17,4	23	46	70	93	116	174	232	347	463
	300	5,3	10,6	15,9	21	42	64	85	106	160	212	320	425
	325	4,9	9,8	14,7	19,6	39	59	78	98	147	196	294	392
	350	4,6	9,1	13,6	18,2	36	55	73	91	136	182	273	364
	375	4,2	8,5	12,7	17,0	34	51	68	85	127	170	255	340
	400	4,0	8,0	11,9	15,9	32	48	64	80	120	160	240	320
	425	3,75	7,4	11,3	15,0	30	45	60	75	112	150	225	300
	450	3,54	7,1	10,6	14,2	28	43	57	71	106	142	212	283
	475	3,35	6,7	10,1	13,4	27	40	54	67	101	134	201	270
	500	3,18	6,4	9,6	12,8	26	38	51	64	95	127	191	255
$D, \text{мм}$		$v, \text{м/мин}$											
		500	600	700	800	900	1 000	1 250	1 500	2 000	2 500	3 000	
	5	31 800	38 250	44 600	50 950	57 300	63 600	79 617	95 600	124 700	159 236	191 200	
	6	26 540	31 850	37 155	42 463	47 770	53 100	66 350	79 620	106 160	132 700	159 240	
	7	22 727	27 273	31 818	36 364	40 909	45 455	56 818	68 182	90 910	113 636	136 364	
	8	19 900	23 885	27 870	31 850	35 830	39 810	49 761	59 713	79 620	99 522	119 430	
	9	17 700	21 230	24 770	28 310	31 850	35 385	44 230	53 100	70 800	88 464	106 160	
	10	15 923	19 100	22 300	25 500	28 662	31 850	39 810	47 800	63 700	79 620	95 540	
	11	14 480	17 370	20 266	23 160	26 060	28 952	36 190	43 430	57 900	72 380	86 860	
	12	13 270	15 923	18 580	21 230	23 890	26 540	33 174	39 810	53 100	66 350	79 620	
	13	12 250	14 700	17 150	19 600	22 050	24 500	30 622	36 750	49 000	61 240	73 500	
	14	11 374	13 650	15 924	18 200	20 470	22 799	28 435	34 120	45 500	56 870	68 244	
	15	10 615	12 740	14 862	16 990	19 110	21 230	26 540	31 850	42 500	53 080	63 700	
	16	9 952	11 943	13 933	15 924	17 914	19 900	24 880	29 860	39 810	49 760	59 710	

Продолжение прил. 8

D, mm	v, м/мин										
	500	600	700	800	900	1 000	1 250	1 500	2 000	2 500	3 000
18	8 846	10 615	12 385	14 154	15 294	17 700	22 116	26 540	35 386	44 232	53 080
20	7 962	9 550	11 146	12 740	14 330	15 920	19 900	23 900	31 850	39 810	47 770
30	5 310	6 370	7 430	8 500	9 554	10 615	13 270	15 923	21 230	26 540	31 850
40	3 980	4 777	5 573	6 370	7 165	7 962	9 952	11 940	15 924	19 900	23 890
50	3 185	3 822	4 460	5 095	5 732	6 370	7 962	9 554	12 740	15 923	19 110
60	2 654	3 185	3 715	4 246	4 777	5 310	6 635	7 962	10 616	13 270	15 924
70	2 273	2 727	3 182	3 636	4 091	4 545	5 682	6 818	9 091	11 364	13 636
80	1 990	2 389	2 787	3 185	3 583	3 981	4 976	5 971	7 962	9 952	11 943
90	1 770	2 123	2 480	2 830	3 185	3 540	4 423	5 310	7 080	8 860	10 616
100	1 592	1 910	2 230	2 550	2 866	3 185	3 980	4 780	6 370	7 962	9 554
110	1 450	1 737	2 027	2 316	2 610	2 895	3 620	4 343	5 790	7 240	8 690
120	1 327	1 592	1 860	2 123	2 390	2 654	3 317	3 981	5 310	6 635	7 962
130	1 225	1 470	1 715	1 960	2 205	2 450	3 062	3 675	4 900	6 124	7 350
140	1 137	1 365	1 592	1 820	2 047	2 270	2 844	3 412	4 550	5 690	6 824
150	1 062	1 274	1 490	1 700	1 910	2 123	2 654	3 185	4 250	5 310	6 370
160	1 000	1 200	1 390	1 600	1 800	2 000	2 500	2 990	3 980	4 980	5 971
170	940	1 124	1 311	1 500	1 690	1 873	2 342	2 810	3 750	4 683	5 620
180	890	1 062	1 240	1 415	1 592	1 770	2 210	2 654	3 540	4 423	5 310
190	840	1 005	1 173	1 340	1 509	1 680	2 100	2 514	3 352	4 190	5 030
200	800	955	1 115	1 274	1 433	1 592	1 990	2 390	3 185	3 981	4 780
225	708	850	991	1 132	1 274	1 415	1 770	2 123	2 831	3 540	4 246
250	640	764	892	1 020	1 146	1 274	1 592	1 910	2 548	3 185	3 822
275	580	695	810	926	1 042	1 158	1 450	1 737	2 316	2 900	3 474
300	531	640	743	850	955	1 062	1 327	1 592	2 123	2 654	3 185
325	490	588	686	784	882	980	1 224	1 470	1 960	2 450	2 940
350	455	546	640	728	820	910	1 137	1 365	1 820	2 275	2 730
375	425	510	594	680	764	850	1 062	1 274	1 700	2 123	2 548
400	398	478	557	637	716	796	995	1 194	1 592	1 990	2 390
425	375	450	525	600	674	750	937	1 124	1 500	1 873	2 250
450	354	425	495	566	640	708	885	1 062	1 415	1 770	2 123
475	335	402	470	536	603	670	840	1 006	1 341	1 680	2 011
500	318	382	446	510	573	637	796	955	1 274	1 600	1 910

9. ИНФОРМАЦИОННЫЕ КАРТЫ МЕХАНИЧЕСКОЙ ОБРАБОТКИ

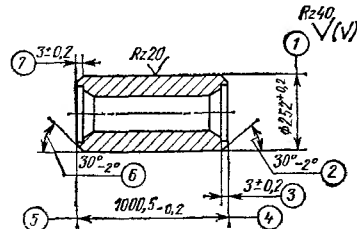
В информационных картах механической обработки приняты следующие обозначения:

N — мощность электродвигателя главного привода станка, кВт;
 n — частота вращения шпинделя, мин⁻¹;
 n_3 — частота вращения заготовки, мин⁻¹;
 v — скорость резания, м/мин;
 v_{kp} — скорость шлифовального круга, м/с;
 v_3 — скорость заготовки, м/мин;
 S_0 — подача на оборот, мм/об;
 S_M — подача минутная, мм/мин;
 S_2 — подача на один зуб фрезы, мм/зуб;

$S_{\text{поп}}$ — поперечная подача (при шлифовании),
 мм/дв. ход;
 t — глубина резания, мм;
 i — число переходов;
 $t_{\text{осн. общ}}$ — основное технологическое время, мин;
 $t_{\text{осн. общ}}$ — основное технологическое время обработки всех перечисленных переходов, мин;
 T — период стойкости инструмента, мин или
 шт. загот.;
 z — число зубьев фрезы;
 Н. св. — нет сведений.

Точение прокатных валков

Изготавливаемая деталь	Бочка
Материал обрабатываемой заготовки, твердость	Чугун специальный, HB ≥ 540
Оборудование	Станок токарно-винторезный 165
№	Содержание перехода (операции)



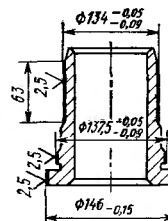
№	Содержание перехода (операции)	Вид режущего инструмента	Режим резания						СОЖ	$t_{\text{осн}}$	$T_{\text{мин}}$
			n	v	S_0	S_M	t	i			
1	Точение поверхности 1 в размер Ø 253,1 мм напрорход	Резец проходной специальный, оснащенный четырьмя круглыми пластинами из композита 05	90	72,8	0,3	36	2,4	1	Эмуль- сол-32	28	56

Продолжение прил. 9

№	Содержание перехода (операции)	Вид режущего инструмента	Режим резания						СОЖ	$t_{осн}$	T, мин
			n	v	S_0	S_M	t	i			
2	Точение поверхности $\varnothing 252^{+0,2}$ на проход	Резец проходной, оснащенный пластиной из композита 01	127	100,1	0,3	50,8	0,3	2	Эмуль-сол-Э2	39,4	39,4
3	Подрезка правого торца 4 начисто	Резец подрезной правый, оснащенный пластиной из композита 05						1	Эмуль-сол-Э2	3,0	20
4	Точение фаски в размеры 2 и 3	То же	90	72	0,2	18	1,5	2		0,4	60
5	Подрезка левого торца 5 начисто	Резец подрезной левый, оснащенный пластиной из композита 05					1,1	1	Эмуль-сол-Э2	3,0	20
6	Точение фаски в размеры 6 и 7	То же	90	72	0,2	18	1,0	2		0,4	60

Точение гильз цилиндров двигателя

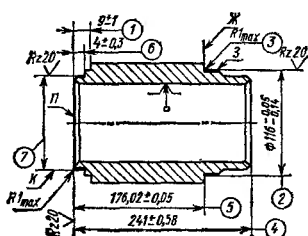
Изготавливаемая деталь		Гильза цилиндра														
Материал обрабатываемой заготовки, твердость		Чугун специальный, HRC ₉ 45—50														
Оборудование		Автоматическая линия фирмы «Эксцелло» (США)														
				Режим резания												
№		Содержание перехода (операции)		Вид режущего инструмента		<i>n</i>	<i>v</i>	<i>S₀</i>	<i>S_M</i>	<i>t</i>	<i>i</i>	СОЖ	<i>t_{осн}</i>	<i>T</i> , шт. загот.		
1	Обтачивание чистовое диаметров, мм: 134 ^{+0,05} _{-0,09} 137,5 ^{+0,05} _{-0,09} 146 _{-0,15}	Резец проходной, оснащенный круглой пластиной из композита О1 То же »	350		151							—	1,12	200		
						153		0,16	56	1	1					
							164									
Элементы старой технологии				Технико-экономическая эффективность внедрения												
Оборудование: то же. Материал режущей части инструмента: ВОК-60. <i>n</i> = 350; <i>v</i> = 151; <i>S₀</i> = 0,16; <i>t</i> = 1; <i>t_{осн}</i> = 1,12; <i>T</i> = 70 ... 80 шт. загот.				Повысилась стойкость инструмента в 2—3 раза.												



Точение гильз цилиндров двигателя

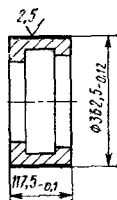
Точение и подрезка торцов гильзы цилиндров двигателя

Изготавливаемая деталь		Цилиндр двигателя							
Материал обрабатываемой детали, твердость, состояние поверхности перед обработкой		Чугун специальный серый, НВ 207—249, литейная корка							
Оборудование, частота вращения шпинделя, мощность		Полуавтомат токарный многогрэзцовый 1Н713, $n = 63 \dots 1250$, $n = 100 \dots 2000$, $N = 18,5$							
№	Содержание перехода (операции)	Вид режущего инструмента	Режим резания						T , мин (шт. заготов.)
			n	v	S_0	S_M	t	t	
1	Подрезка торца L с выдержкой размеров 4 и 1	Резец (25×20×150), оснащенный пластиной из композита 01	800	301			1		60 (740)
2	Подрезка торца J с выдержкой размера 5	Резец (25×20×150), оснащенный пластиной из композита 05		291	0,0625	50	0,5	1	



Точение пuhanсона штампа

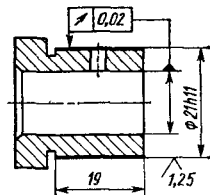
Изготавливаемая деталь	Пuhanсон									
Материал обрабатываемой заготовки, твердость, состояние поверхности перед обработкой	Сталь X12M, HRC 56—58, поверхность обработана до $Rz = 20 \text{ мкм}$									
Оборудование, частота вращения шпинделя, мощность	Станок токарно-винторезный модели 16К20, $n = 12,5 \dots 1600, N = 12,5$									
Содержание перехода (операции)	Вид режущего инструмента	Режим резания						СОЖ	$t_{\text{осн}}$	$T, \text{мин}$
Точение $\varnothing 362,5_{-0,12}$	Резец проходной, оснащенный пластиной из композита 01	125	142	0,075	9,4	0,25	1	—	12,8	135
Элементы старой технологии	Технико-экономическая эффективность внедрения									
Оборудование: станок круглошлифовальный универсальный модели 3А141. $v_{\text{кр}} = 38; n_{\text{изд}} = 30; S_0 = 4; t = 0,01; t_{\text{осн}} = 45; T = 8 \text{ мин.}$	Увеличилась производительность обработки в 2,5 раза. Брак по прижогам исключился.									



Продолжение прил. 9

Точение втулки из специального порошкового сплава

Изготавливаемая деталь	Втулка								
Материал обрабатываемой заготовки, твердость	Сплав, НВ 60—120								
Оборудование, частота вращения шпинделя, мощность	Станок токарный специальный 1439-18, $n = 1600$, $N = 2$								
Содержание перехода (операции)	Вид режущего инструмента	Режим резания					СОЖ	$t_{\text{осн}}$	$T, \text{ мин}$ (шт. загот.)
Точение наружной цилиндрической поверхности	Резец подрезной, оснащенный вставкой с режущей частью яз композита	1600	90	0,1	160	1,0	1	—	0,14 (3000)
Элементы старой технологии	Технико-экономическая эффективность внедрения								
Оборудование: полуавтомат токарный специальный модели ПТ-67-5, станок круглошлифовальный модели ЗБ153. Материал режущей части инструмента: ВК8 (при точении). Точение: $n = 900$; $v = 60$; $S_m = 0,35$; $t = 1,0$; $T = 170$ мин ($T = 1000$ шт. загот.). Точение и шлифование: $t_{\text{осн}} = 0,3$.	Увеличилась производительность обработки на 100 %. Повысилась стойкость резца в 3 раза. Годовой экономический эффект 12 000 р.								



Обработка резьбового кольца сверлильного патрона

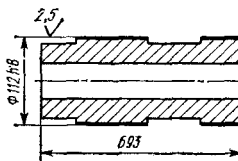
Изготавливаемая деталь	Кольцо резьбовое	№ чертежа	t_1	d	t_2																		
		ПСР-6	11	$26^{+0,081}_{-0,046}$	5																		
		ПСР-10	11	$28^{+0,021}_{-0,048}$	5																		
		ПСР-13	12	$36^{+0,099}_{-0,060}$	6																		
Материал обрабатываемой заготовки, твердость, состояние поверхности перед обработкой	Сталь 40Х, HRC ₃ 50—54, окалина после термообработки, биение до 0,1 мм																						
Оборудование, частота вращения шпинделя, мощность	Автомат товарно-револьверный БР-9, $n = 56 \dots 2500$; $n = 45 \dots 2000$; $n = 36 \dots 1000$; $N = 4,2 \dots 6,3$	<table border="1" style="width:100%; border-collapse: collapse;"> <thead> <tr> <th colspan="6" style="text-align: center;">Режим резания</th> </tr> <tr> <th style="text-align: center;">n</th> <th style="text-align: center;">v</th> <th style="text-align: center;">S_0</th> <th style="text-align: center;">S_m</th> <th style="text-align: center;">t</th> <th style="text-align: center;">i</th> </tr> </thead> <tbody> <tr> <td style="text-align: center;">1000</td> <td style="text-align: center;">94—119</td> <td style="text-align: center;">0,125</td> <td style="text-align: center;">125</td> <td style="text-align: center;">0,4—1,0</td> <td style="text-align: center;">1</td> </tr> </tbody> </table>	Режим резания						n	v	S_0	S_m	t	i	1000	94—119	0,125	125	0,4—1,0	1	СОЖ	$t_{осн}$	T , мин (шт. заготов.)
Режим резания																							
n	v	S_0	S_m	t	i																		
1000	94—119	0,125	125	0,4—1,0	1																		
1	Подрезка торца 1	Резец проходной, оснащенный круглой пластиной из композита 10	1000	94—119	0,125	125	0,4—1,0	1	Эмульсия	0,033	60 (1800)												

№	Содержание перехода (операции)	Вид режущего инструмента	Режим резания						СОЖ	$t_{\text{осн}}$	$T, \text{ мин}$ (шт. заготов.)
			n	v	S_0	S_M	t	i			
2	Обтачивание по- верхности 2	Резец проходной, оснащен- ный вставкой с режущей частью из композита 10	1000	119	0,067	67	0,3—0,4	1	Эмуль- сия	0,12	60 (50)
3	Подрезка торца 3	То же									

Элементы старой технологии	Технико-экономическая эффективность внедрения
<p>Оборудование: то же. Материал режущей части инструмента ВК3М.</p> <p>1-й переход: $v = 36$; $S_0 = 0,125$; $t = 0,4 \dots 1,0$; $i = 1$; $t_{\text{осн}} = 0,1$; $T = 30 \text{ мин}$ ($T = 300 \text{ шт. заготов.}$).</p> <p>2-й и 3-й переходы: $v = 39$; $S_0 = 0,067$; $t = 0,4$; $i = 1$; $t_{\text{осн}} = 0,384$; $T = 30 \text{ мин}$ ($T = 78 \text{ шт. заготов.}$).</p>	<p>Увеличилась производительность обработки на 210 %.</p> <p>Годовой экономический эффект 87 110 р.</p>

Точение гильз из конструкционной стали

Изготавливаемая деталь	Гильза								
Материал обрабатываемой заготовки, твердость	Сталь 45, НВ 240—280								
Оборудование, частота вращения шпинделя, мощность	Станок токарно-винторезный 16К20, $n = 1600$, $N = 10$								
Содержание перехода (операций)	Вид режущего инструмента	Режим резания						СОЖ	$t_{\text{осн}}$
		n	v	S_0	S_M	t	i		
Обтачивание наружное $\varnothing 112$ мм ($L = 693$ мм)	Резец (25×29×170), осищенный четырехгранный пластиной из ВОК-60	1000	352	0,12	120	0,5	1	—	6
Элементы старой технологии		Технико-экономическая эффективность внедрения							
Оборудование: то же. Материал режущей части инструмента: Т15К6. $v = 110 \dots 140$; $S_0 = 0,083$; $t = 0,5$; $i = 1$; $T = 50$ шт. заготовок.		Увеличилась производительность обработки на 360 %. Увеличилась стойкость инструмента в 2 раза. Годовой экономический эффект 8800 р. (по группе однотипных деталей).							

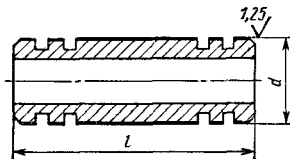


Продолжение прил. 9

Комплексное применение резцов из разных материалов при обработке шпинделя

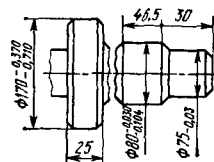
Точение наружной поверхности гильзы

Изготавливаемая деталь		Гильза цилиндра									
Материал обрабатываемой заготовки, твердость		Сталь 45 (ГОСТ 1050—74), НВ 175—220									
Оборудование, частота вращения шпинделя, мощность		Станок токарно-винторезный 16К20Ф3, класс точности — А, $n = 35 \dots 1600$, $N = 10$									
№	Содержание перехода (операции)	Вид режущего инструмента	Режим резания						СОЖ	$t_{\text{осн}}$	
			n	v	S_0	S_M	t	i		T , мНв	
1	Обтачивание наружное: $\varnothing 80h8$ ($L = 441$ мм)	Резец подрезной сечением 16×25 , оснащенный пластиной из ВОК-60	1000	250					Эмульсия	10	
2	$\varnothing 150h8$ ($L = 550$ мм)	То же		470	0,1	100	0,25	1		9	
3	$\varnothing 145h8$ ($L = 610$ мм)	»		465						8	
Элементы старой технологии			Технико-экономическая эффективность внедрения								
Оборудование: станок круглошлифовальный ЗБ161П. $t_{\text{осн}} = 15$ (1-й переход); $t_{\text{осн}} = 14$ (2-й переход); $t_{\text{осн}} = 12$ (3-й переход).			Увеличилась производительность обработки на 150 %. Годовой экономический эффект 1000 р.								



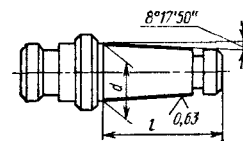
Точение шпинделя станка 16К20

Изготавливаемая деталь	Шпиндель станка 16К20								
Содержание перехода (операции)	Вид режущего инструмента	Режим резания					СОЖ	$t_{\text{осн}}$	$T, \text{мин}$ (шт. заготов.)
		n	v	S_0	S_M	t	i		
Точение хвостовика шпинделя	Вставка резцовая (25×25×88), оснащенная четырехгранной пластиной из ВОК-60	650	350	0,18	117	0,5	1	—	0,85
Элементы старой технологии		Технико-экономическая эффективность внедрения							
Оборудование: то же. Материал режущей части инструмента: Т15К6. $v = 80$; $S_0 = 0,18$; $t = 0,5$; $i = 1$; $t_{\text{осн}} = 3,4$; $T = 17$ мин ($T = 5$ шт. заготов.).		Увеличилась производительность обработки на 300 %. Годовой экономический эффект 20–25 р. на резец. Повысилась стойкость резца в 7 раз.							



Точение конической поверхности закаленной детали

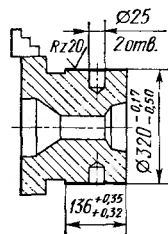
Изготавливаемая деталь		Цанг $\varnothing 40$ и 60 мм									
Материал обрабатываемой детали, твердость, состояние поверхности перед обработкой		Сталь 60С2А (ГОСТ 14959—79); сталь 18ХГТ (ГОСТ 4543—71), HRC 53—57									
Оборудование, частота вращения шпинделя, мощность		Станок токарно-винторезный 16К20, $n = 12,5 \dots 1600$, $N = 10$									
№	Содержание перехода (операции)	Вид режущего инструмента	Режим резания			СОЖ	$t_{\text{осв}}$	7 шт. заготов.			
			n	v	S_0				S_m	t	
1	Протачивание конуса у корпусов: $\varnothing 40,7$ мм ($l = 94$ мм)	Резец проходной, оснащенный пластиной из ВОК-60	1200	200	0,3—0,4	360—480	0,3	1	—	0,3	2500
2	$\varnothing 70,3$ мм ($l = 127$ мм)	То же									
Элементы старой технологии			Техническо-экономическая эффективность внедрения								
Оборудование: то же. Материал режущей части инструмента: Т15К6. $n = 1200$; $v = 153$; $S_0 = 0,3$; $i = 1$; $T = 20$ шт. заготов.			Увеличилась производительность обработки на 110 %. Многократно повысилась стойкость резца. Шероховатость обработанной поверхности снизилась. Годовой экономический эффект 28 р. на один комплект.								



Точение рабочей поверхности поршня

Точение с ударом цилиндрической поверхности

Изготавливаемая деталь	Штамп верхний																	
Материал обрабатываемой детали, твердость	Сталь 5ХНМ (ГОСТ 5950—73), HRC 39—44																	
Оборудование	Станок токарный специальный ТТ1912																	
Содержание перехода (операции)	Вид режущего инструмента	Режим резания <table border="1" style="margin-left: auto; margin-right: auto;"> <thead> <tr> <th><i>n</i></th> <th><i>v</i></th> <th><i>S₀</i></th> <th><i>S_M</i></th> <th><i>t</i></th> <th><i>i</i></th> <th>СОЖ</th> <th><i>t_{осн}</i></th> <th><i>T₁</i>, мин (шт. заготов.)</th> </tr> </thead> </table>								<i>n</i>	<i>v</i>	<i>S₀</i>	<i>S_M</i>	<i>t</i>	<i>i</i>	СОЖ	<i>t_{осн}</i>	<i>T₁</i> , мин (шт. заготов.)
<i>n</i>	<i>v</i>	<i>S₀</i>	<i>S_M</i>	<i>t</i>	<i>i</i>	СОЖ	<i>t_{осн}</i>	<i>T₁</i> , мин (шт. заготов.)										
Обтачивание $\varnothing 320_{-0,50}^{+0,17}$	Резец сечением 25×25, оснащенный четырехгранной пластиной из ВОК-60	200	210	0,1	20	0,3	1	—	6,8	68 (10)								
Элементы старой технологии	Технико-экономическая эффективность внедрения																	
Оборудование: то же. Материал режущей части инструмента: Т15К6. $n = 400$; $v = 43$; $S_0 = 0,15$; $t = 0,3$; $t_{\text{осн}} = 21$; $T = 52$ мин ($T = 2$ шт. загот.)	Увеличилась производительность обработки на 200 %. Шероховатость обработанной поверхности снизилась. Годовой экономический эффект 20—25 р. на один комплект. Увеличилась стойкость резца в 5 раз.																	

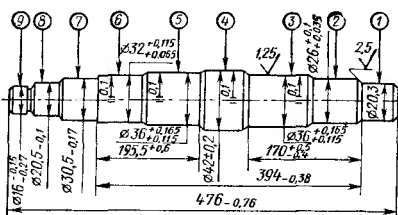


Точение коллекторной втулки

Изготавливаемая деталь	Коллекторная втулка									
Материал обрабатываемой заготовки, твердость, состояние поверхности перед обработкой	Сталь 30ХГСА, HRC 34—38, окалина									
Оборудование, частота вращения шпинделя, мощность	Станок токарно-винторезный с ЧПУ модели 16К2Ф3С1, $n = 2000$, $N = 10$									
Содержание перехода (операции)	Вид режущего инструмента	Режим резания						СОЖ	$t_{\text{осн}}$	T , шт. заготов.
Протачивание поверхностей 1—3	Резец прорезной (25×25×150), оснащенный пластиной из керамики	1000	300	0,4	400	1	1	—	0,5	120
Элементы старой технологии					Технико-экономическая эффективность внедрения					
Оборудование: станок круглошлифовальный универсальный модели 3А130. $t_{\text{вн}} = 27$, $S_{\text{м}} = 272$; $t_{\text{осн}} = 1,4$; $T = 60$ шт. заготов.					Увеличилась производительность обработки на 150 %. Снизилась шероховатость обработанной поверхности с $R_a = 1,25$ мкм до $R_a = 0,63$ мкм. Годовой экономический эффект 20 000 р.					

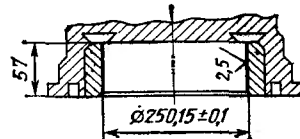
Точение шеек вала взамен шлифования

Изготавливаемая деталь		Вал	Режим резания								$t_{\text{осн}}$	T , шт. заготов.	
$\#$	Содержание перехода (операции)	Вид режущего инструмента	n	v	S_e	S_m	t	e	СОЖ				
1	Протачивание поверхности 1—4	Резец подрезной (25×20×150), оснащенный пластиной из керамики	1250	170	0,3	375	1	1	—	1,5	120		
2	Протачивание поверхностей 5—9 и фасок	То же											
Элементы старой технологии			Технико-экономическая эффективность внедрения										
Оборудование: станок круглошлифовальный 3Б153У. $v_s = 25$; $S_m = 470$; $t_{\text{осн}} = 11$; $T = 60$ шт. заготов.			Увеличилась производительность обработки на 450 %. Снизилась шероховатость обработанной поверхности с $R_a = 1,25$ мкм до $R_a = 0,63$ мкм. Годовой экономический эффект 20 000 р.										



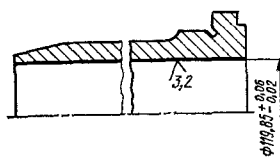
Растачивание барабана тормоза

Изготавливаемая деталь	Барабан тормоза задний							
Материал обрабатываемой заготовки, твердость	Чугун, НВ 190—240							
Оборудование	Автоматическая линия фирмы «Морандо» (Италия)							
Содержание перехода (операции)	Вид режущего инструмента	Режим резания					СОЖ	$t_{\text{осн}}$
Растачивание обода тормоза окончательное	Резец, оснащенный круглой пластиной из композита 01	n	v	S_e	S_M	t	i	T , шт. заготов.
Элементы старой технологии		Технико-экономическая эффективность внедрения						
Оборудование: то же. Материал режущей части инструмента: керамика В-3. Режим резания: тот же; $t_{\text{осн}}$ то же, $T = 50$ шт. заготов.		Повысилась стойкость инструмента в 5 раз.						



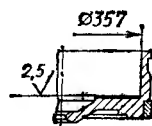
Растачивание закаленной гильзы цилиндров

Изготавливаемая деталь	Гильза цилиндра								
Материал обрабатываемой заготовки, твердость	Чугун специальный, HRC 45—50								
Оборудование, частота вращения шпинделя	Станок отделочно-расточный вертикальный 2777В, $n = 1000$								
Содержание перехода (операции)	Вид режущего инструмента	Режим резания						СОЖ	$t_{\text{осн}}$
		n	v	S_e	S_m	t	i		T , шт. загот.
Растачивание отверстия	Головка расточная регулируемая многозубая, оснащенная композитом О1	1000	370	0,2	200	0,6	3	4 %-ный раствор Укринола-1 в воде	0,32
Элементы старой технологии		Технико-экономическая эффективность внедрения							
Оборудование: станок XLO (США). Режущий инструмент: расточная головка с керамикой. $v = 270$; $t_{\text{осн}} = 0,58$; $T = 35$ шт. загот.		Увеличилась производительность обработки на 70 %. Повысилась стойкость инструмента в 1,5 раза. Точность обработки возросла в 2 раза. Годовой экономический эффект 1200 р. на одну головку.							



Подрезка торца маховика большегрузного автомобиля

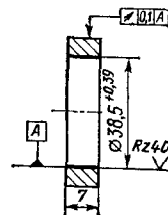
Изготавляемая деталь	Маховик									
Материал обрабатываемой заготовки, твердость	Чугун СЧ 21, НВ 200—241									
Оборудование	Автоматическая линия фирмы «Морандо» (Италия)									
Содержание перехода (операции)	Вид режущего инструмента	Режим резания						СОЖ	$t_{\text{осн}}$	
Подрезка торца чистовая	Резец проходной, оснащенный круглой пластиной из композита 01	n	v	S_o	S_m	t	t	Укри- нол-1	2,6	200
Элементы старой технологии	Технико-экономическая эффективность внедрения									
Оборудование: то же. Материал режущей части инструмента: керамика ВОК-60. Режим резания: тот же; $t_{\text{осн}}$ то же; $T = 10$ шт. заготов.	Повысилась стойкость инструмента в 20 раз.									



Растачивание гильз из специального чугуна

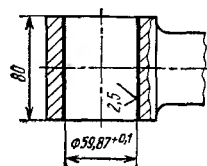
Растачивание седла клапана

Изготавливаемая деталь	Седло клапана								
Материал обрабатываемой детали, твердость, состояние поверхности перед обработкой	Чугун специальный, HRC 42—46, окалина после термообработки								
Оборудование, частота вращения шпинделя, мощность	Полуавтомат токарный DAMF-6/160, $n = 100 \dots 1400$, $N = 12$								
Содержание перехода (операции)	Вид режущего инструмента	Режим резания					СОЖ	$t_{\text{осн}}$	T , мин (шт. заготов.)
Растачивание отверстия	Резец расточный, оснащенный круглой пластиной из композита О1 ($l = 200$ см. $\varnothing 25$ мм)	n	v	S_0	S_M	t	i		
		1400	170	0,1	140	0,25	1	Эмульсия	0,054
Элементы старой технологии		Технико-экономическая эффективность внедрения							
Оборудование: станки внутришлифовальные ЗА228, ЗА240, ЗА227, ЗК227В. Режущий инструмент: круг шлифовальный ПП 35×40×10, Э5 50СТЗК5. $v_{\text{кр}} = 33$; $S_{\text{ноп}} = 0,06$; $i = 42$; $t_{\text{осн}} = 0,396$; $T = 16$ мин ($T = 40$ шт. заготов.).		Увеличилась производительность обработки на 600 %. Годовой экономический эффект 57 500 р.							



Растачивание взамен планетарного шлифования

Изготавливаемая деталь	Полуось внутренняя								
Материал обрабатываемой заготовки, твердость	Сталь 12Х2Н4А, HRC 58—62								
Оборудование	Станок алмазно-расточный ADW-4								
Содержание перехода (операции)	Вид режущего инструмента	Режим резания						СОЖ	$t_{\text{осн}}$
		<i>n</i>	<i>v</i>	<i>S_o</i>	<i>S_M</i>	<i>t</i>	<i>i</i>		<i>T_{заг.}</i>
Растачивание отверстия	Вставка резцовая, оснащенная композитом 10	530	100	0,23	121,9	0,3	1	ЭГТ	0,65
Элементы старой технологии	Технико-экономическая эффективность внедрения								
Режущий инструмент: шлифовальный круг; $n = 5000$; $v_{kp} = 20$; $S_{\text{шп}} = 0,05$.	Производительность обработки увеличилась в 3 раза (по сравнению с планетарным шлифованием).								

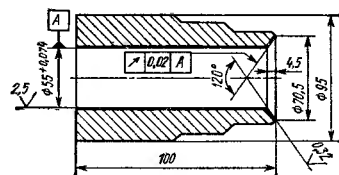


Высокоскоростное отделочное растачивание отверстий малого диаметра

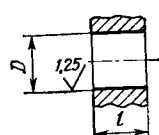
Растачивание отверстий высокой точности

Растачивание отверстий высокой точности

Растачивание стали с высоким содержанием хрома									
№ п/п и др.	Изготавливаемая деталь	Материал обрабатываемой заготовки, твердость	Оборудование, частота вращения шпинделя, мощность	Режим резания			СОЖ	$t_{\text{осн}}$	T_s мИН
				n	v	S_0	S_m	t	i
1	Растачивание отверстия $\varnothing 55^{+0.074}$	Резец специальный, оснащенный пластиной из композита О1	630	108	0,175 0,125	110,3 78,8	2,0 0,5	—	1,92
2	Растачивание фаски $4,5 \times 120^\circ$	То же			0,10 0,09 0,03	63 56,7 18,9	1,0 1,0 0,5	—	20
Элементы старой технологии				Технико-экономическая эффективность внедрения					
Оборудование: 1-й переход — станок внутришлифовальный; 2-й переход — станок токарно-винторезный модели 1К62. Режущий инструмент: круг ПП 35×50×10 (1-й переход); материал режущей части инструмента: Т15К6 (2-й переход); $v_g = 40$; $S_m = 5690$ (1-й переход); $v = 108$; $S_0 = 0,14$ (2-й переход); $t_{\text{осн}} = 8,26$.				Увеличилась производительность обработки на 330 %. Выполнена концентрация операций, повысилось качество обработки.					



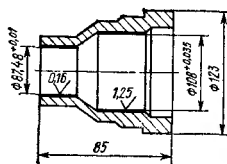
Растачивание точных отверстий

Изготавливаемая деталь		Корпус бабки пильного диска										
Материал обрабатываемой заготовки, твердость		Чугун СЧ 20 (ГОСТ 1412—79), НВ 170—220										
Оборудование, частота вращения шпинделя, мощность		Станок отделочно-расточочный ОС-9458, $n = 450 \dots 1055$, $N = 2,2$										
												
№	Содержание перехода (операции)	Вид режущего инструмента	Режим резания						СОЖ	$t_{\text{осн}}$	T , мин	
			n	v	S_0	S_M	t	t				
1	Растачивание отверстий диаметром D , мм: 130Н7 ($l = 125$ мм) 110Н7 ($l = 85$ мм) 90Н7 ($l = 85$ мм) 150Н7 ($l = 100$ мм) 5 90Н7 ($l = 30$ мм)	Вставка резцовая, осищенная композитом 01 То же	665 851 1055 600 900	271,5 294 298,3 271 256	0,045 0,035 0,028 0,045 0,033		30	0,3	1	—	31	350
Элементы старой технологии			Технико-экономическая эффективность внедрения									
Оборудование: станок специальный 8МП664. Режущий инструмент: развертка или раскатка. $t_{\text{осн}} = 55$; $T = 55$ мин.			Увеличилась производительность обработки на 150 %. Геометрическая точность обработанных отверстий улучшилась. Трудоемкость обработки снизилась на 1300 нормо-ч.									

10*

Растачивание отверстий с высокими требованиями к шероховатости поверхности

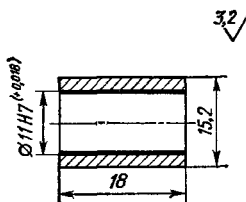
Изготавливаемая деталь	Пуансон-матрица										
Материал обрабатываемой заготовки, твердость	Сталь Х12М (ГОСТ 4543—71), HRC 56—60										
Оборудование, частота вращения шпинделя	Станок токарно-винторезный 1К62, $n = 12,5 \dots 1600$										
№	Содержание перехода (операции)	Вид режущего инструмента	Режим резания						СОЖ	$t_{\text{осн}}$	$T, \text{ мин}$
			n	v	S_0	S_M	t	i			
1	Растачивание отверстия $\varnothing 108^{+0,036}$	Резец расточный (25×25×150), оснащенный пластиной из композита 10 То же	250	85	0,04	10	0,5	1	—	6,6	20
2	Растачивание отверстия $\varnothing 87,48^{+0,01}$		315	87		12,6					
Элементы старой технологии			Технико-экономическая эффективность внедрения								
Оборудование: станок внутришлифовальный универсальный ЗА228П. Режущий инструмент: круг ПП 63×32×32. $v_s = 40; S_M = 3060; t_{\text{осн}} = 24,2.$			Увеличилась производительность обработки на 300 %.								



Растачивание посадочного отверстия фрез

Растачивание отверстия в специальной керамике

Изготавляемая деталь	Втулка																			
Материал обрабатываемой заготовки, твердость, состояние поверхности перед обработкой	Керамика ЛМК-60 (ТУ 16-538-148-77), НВ 120—140, корка																			
Оборудование, частота вращения шпинделя, мощность	Станок токарный 1В320, $n = 38 \dots 2000$, $N = 3$																			
Содержание перехода (операции)	Вид режущего инструмента	<p style="text-align: center;">Режим резания</p> <table border="1" style="width: 100%; border-collapse: collapse;"> <thead> <tr> <th>n</th> <th>v</th> <th>S_0</th> <th>S_M</th> <th>t</th> <th>i</th> <th>СОЖ</th> <th>$t_{\text{осн}}$</th> <th>T, шт. заготов.</th> </tr> </thead> <tbody> <tr> <td>1130</td> <td>90</td> <td>0,12</td> <td>135,6</td> <td>0,15</td> <td>1</td> <td>—</td> <td>0,17</td> <td>400—500</td> </tr> </tbody> </table>	n	v	S_0	S_M	t	i	СОЖ	$t_{\text{осн}}$	T , шт. заготов.	1130	90	0,12	135,6	0,15	1	—	0,17	400—500
n	v	S_0	S_M	t	i	СОЖ	$t_{\text{осн}}$	T , шт. заготов.												
1130	90	0,12	135,6	0,15	1	—	0,17	400—500												
Растачивание отверстия $\varnothing 11H7^{+0,018}$	Резец ($\varnothing 10 \times 25$), оснащенный композитом 10																			

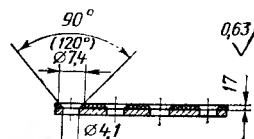


Технико-экономическая эффективность внедрения — новое производство

Продолжение прил. 9

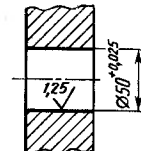
Обработка отверстий в специальном углепластике

Обрабатываемая заготовка	Двухслойные листы						
Материал обрабатываемой заготовки	Углепластик КМУ-4Л						
Оборудование, частота вращения	Пневмодрель ручная СМ-21-9-2500, $n = 2500$						
Содержание перехода (операции)	Вид режущего инструмента	Режим резания					
		n	v	S_o	S_m	t	i
Зенкование отверстий до $\varnothing 7,4$ мм	Зенковка с режущим элементом из композита 05	2500	55	—	—	1,7	—
Элементы старой технологии	Технико-экономическая эффективность внедрения						
Оборудование: то же. Режущий инструмент: зенковка твердосплавная.	Отслоение углепластика отсутствует за счет повышения стойкости инструмента в 20 ... 30 раз. Годовой экономический эффект 158 600 р.						

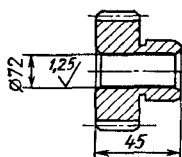


Растачивание легированной стали

Изготавливаемая деталь	Шека									
Материал обрабатываемой заготовки, твердость	Сталь 35ХГСЛ (ГОСТ 977—75), НВ 217									
Оборудование, частота вращения шпинделя, мощность	Станок отделочно-расточный 2706Г10С7123, $n = 1205 \dots 5000$, $N = 2,2$									
		n	v	S_0	S_m	t	i	СОЖ	$t_{\text{осн}}$	T , шт. заготов.
Растачивание отверстия $\varnothing 50^{+0,025}$	Резец, оснащенный четырехгранный пластиной из ВОК-60	1050	160	0,07	73,5	0,451	1	—	1,63	240
Элементы старой технологии		Технико-экономическая эффективность внедрения								
Оборудование: то же. Материал режущей части инструмента: Т30К4. $t_{\text{осн}} = 2,8$; $T = 80$ шт. заготов.		Увеличилась производительность обработки в 1,7 раза. Шероховатость обработанной поверхности снизилась. Годовой экономический эффект 1300 р.								

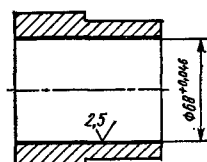


Растачивание посадочного отверстия шестерни

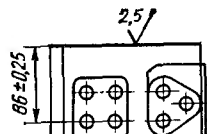
Изготавливаемая деталь	Шестерня																									
Материал обрабатываемой заготовки	Сталь 40Х																									
Оборудование, частота вращения шпинделя, мощность	Станок токарно-винторезный 16К20Ф3С5 с ЧПУ, $n = 1600$, $N = 10$																									
Содержание перехода (операции)	Вид режущего инструмента	<table border="1"> <thead> <tr> <th colspan="6">Режим резания</th> <th rowspan="2">СОЖ</th> <th rowspan="2">$t_{\text{осн}}$</th> <th rowspan="2">T, шт. загот.</th> </tr> <tr> <th>n</th> <th>v</th> <th>S_0</th> <th>S_M</th> <th>t</th> <th>i</th> </tr> </thead> <tbody> <tr> <td>1000</td> <td>226</td> <td>0,25</td> <td>250</td> <td>1,3</td> <td>1</td> <td>—</td> <td>0,51</td> <td>60</td> </tr> </tbody> </table>	Режим резания						СОЖ	$t_{\text{осн}}$	T , шт. загот.	n	v	S_0	S_M	t	i	1000	226	0,25	250	1,3	1	—	0,51	60
Режим резания						СОЖ	$t_{\text{осн}}$	T , шт. загот.																		
n	v	S_0	S_M	t	i																					
1000	226	0,25	250	1,3	1	—	0,51	60																		
Растачивание предварительное	Резец расточный специальный, оснащенный четырехгранный пластиной из ВОК-60																									
Элементы старой технологии		Технико-экономическая эффективность внедрения																								
Оборудование: станок внутришлифовальный универсальный модели ЗА228. $t = 0,2 \dots 0,4$; $t_{\text{осн}} = 4,5$; $T = 70$ шт. загот.		Увеличилась производительность обработки на 800 %. Годовой экономический эффект 28 р. на один комплект.																								

Растачивание автоматной стали

Изготавливаемая деталь	Втулка									
Материал обрабатываемой заготовки	Сталь А10 (ГОСТ 8731—65)									
Оборудование, частота вращения шпинделя, мощность	Станок токарно-венторезный модели SV 18RA, $n = 12,5 \dots 1600$, $N = 6,0$									
Содержание перехода (операции)	Вид режущего инструмента	Режим резания					СОЖ	$t_{\text{осн}}$		
		n	v	S_0	S_M	t	t	T , шт. загот.		
Растачивание отверстия $\emptyset 68^{+0,046}$	Резец расточный (25×20×70), оснащенный вставкой с режущей частью из ВОК-60	1600	342	0,07	112	0,35	1	—	1,4	240
Элементы старой технологии		Технико-экономическая эффективность внедрения								
Оборудование: то же. Материал режущей части инструмента: Т15К6. $t_{\text{осн}} = 5,2$; $T = 120$ шт. загот.		Увеличилась производительность обработки в 3 раза. Шероховатость обработанной поверхности снизилась. Годовой экономический эффект 350 р. на комплект резца.								

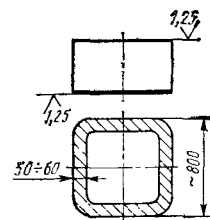


Фрезерование привалочной плоскости корпусной детали

Изготавливаемая деталь	Корпус распределителя																									
Материал обрабатываемой заготовки, твердость	Чугун СЧ 21 (ГОСТ 1412—79), НВ 200—240																									
Оборудование	Станок вертикально-фрезерный, встроенный в автоматическую линию																									
Содержание перехода (операции)	Вид режущего инструмента	<table border="1"> <thead> <tr> <th colspan="6">Режим резания</th> <th rowspan="2">СОЖ</th> <th rowspan="2">$t_{\text{оси}}$</th> <th rowspan="2">T, шт. заготов.</th> </tr> <tr> <th>n</th> <th>v</th> <th>S_o</th> <th>S_M</th> <th>t</th> <th>i</th> </tr> </thead> <tbody> <tr> <td>912</td> <td>458</td> <td>0,043</td> <td>700</td> <td>1—2</td> <td>1</td> <td>Эмульсия</td> <td>0,25</td> <td>1500</td> </tr> </tbody> </table>	Режим резания						СОЖ	$t_{\text{оси}}$	T , шт. заготов.	n	v	S_o	S_M	t	i	912	458	0,043	700	1—2	1	Эмульсия	0,25	1500
Режим резания						СОЖ	$t_{\text{оси}}$	T , шт. заготов.																		
n	v	S_o	S_M	t	i																					
912	458	0,043	700	1—2	1	Эмульсия	0,25	1500																		
Фрезерование плоскости разъема	Фреза ступенчатая \varnothing 160 мм. оснащенная круглыми пластинами \varnothing 7 мм из композита 05																									
Элементы старой технологии		Технико-экономическая эффективность внедрения																								
Оборудование: станок карусельно-шлифовальный М3756.		Увеличилась производительность обработки на 80 %. Высвобождено два станка.																								

Фрезерование привалочной плоскости коробки скоростей тяжелого трактора

Изготавливаемая деталь	Корпус коробки скоростей									
Материал обрабатываемой заготовки, твердость	Чугун СЧ 21 (ГОСТ 1412—79), НВ 220—269									
Оборудование	Многоцелевые станки МСМ 13×20 (японская фирма «Окума») и ВTN-13А (японская фирма «Тосиба»)									
Содержание перехода (операции)	Вид режущего инструмента	Режим резания						СОЖ	$t_{\text{осн}}$	
Фрезерование привалочных поверхностей	Фреза ступенчатая $\varnothing 160$ мм, оснащенная пластинами из композита 05	n	v	s_z	s_m	t	i	—	3	45
Элементы старой технологии	Технико-экономическая эффективность внедрения									
Оборудование: то же. Режущий инструмент: фреза P2622-160 (фирма «Сандвик Коромант») $v = 100 \dots 150$; $s_m = 250 \dots 350$; $t = 1 \dots 5$; $t_{\text{осн}} = 10$, $T = 19$ шт. заготовок.	Увеличилась производительность обработки на 200 %. Шероховатость обработанной поверхности снизилась в 1,5 раза. Произведена замена импортного инструмента.									

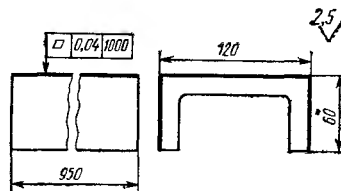


Фрезерование чугунного литья по корке

Изготавливаемая деталь	Корпус распределителя																																		
Материал обрабатываемой заготовки, твердость, состояние поверхности перед обработкой	Чугун СЧ 18 (ГОСТ 1412-70), НВ 120-230, литейная корка																																		
Оборудование, частота вращения шпинделя, мощность	Станок специальный двухшпиндельный карусельно-фрезерный 6М23, $n = 31,5 \dots 500$, $n = 50 \dots 800$, $N = 10,4$																																		
Содержание перехода (операции)	Вид режущего инструмента	<table border="1"> <thead> <tr> <th colspan="6">Режим резания</th> <th rowspan="2">СОЖ</th> <th rowspan="2">$t_{осн}$</th> <th rowspan="2">T, мин</th> </tr> <tr> <th>n</th> <th>v</th> <th>S_0</th> <th>S_m</th> <th>t</th> <th>i</th> </tr> </thead> <tbody> <tr> <td>500</td> <td>500</td> <td>0,054</td> <td>800</td> <td>3-4</td> <td>1</td> <td></td> <td>1,3</td> <td>360</td> </tr> <tr> <td>800</td> <td>800</td> <td>0,038</td> <td></td> <td>0,5</td> <td></td> <td></td> <td></td> <td></td> </tr> </tbody> </table>	Режим резания						СОЖ	$t_{осн}$	T , мин	n	v	S_0	S_m	t	i	500	500	0,054	800	3-4	1		1,3	360	800	800	0,038		0,5				
Режим резания						СОЖ	$t_{осн}$	T , мин																											
n	v	S_0	S_m	t	i																														
500	500	0,054	800	3-4	1		1,3	360																											
800	800	0,038		0,5																															
Фрезерование плоскостей U и C черновое и чистовое	Фреза торцовая насадная $\varnothing 315$ мм, оснащенная пластинами из композита 05																																		
Элементы старой технологии		Технико-экономическая эффективность внедрения																																	
Оборудование: то же. Материал режущей части инструмента: ВК8. Черновой рабочий ход: $v = 49,5$; $t = 3 \dots 4$; $S_m = 175$; чистовой рабочий ход: $v = 78,5$; $t = 0,5$; $S_m = 175$; $t_{осн} = 5,95$; $T = 240$ мин.		Увеличилась производительность обработки на 340 %. Снизилась шероховатость обрабатываемой поверхности с $Rz = 40$ мкм до $Ra = 1,5$ мкм. Годовой экономический эффект 69 000 р.																																	

Фрезерование чугуна по корке

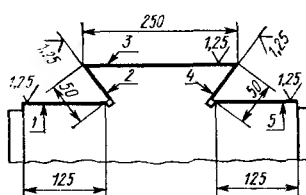
Изготавливаемая деталь		Брус									
Материал обрабатываемой заготовки, твердость, состояние поверхности перед обработкой		Чугун СЧ 12 отбеленный, НВ 240—280, корка									
Оборудование		Станок продольно-фрезерный модели ГФ1462									
№	Содержание перехода (операции)	Вид режущего инструмента	Режим резания						СОЖ	$t_{\text{осн}}$	$T, \text{мин}$ (шт. загот.)
			n	v	S_z	S_m	t	i			
1	Фрезерование черновое	Фреза двухступенчатая $\varnothing 160$ мм ($z = 18$), оснащенная круглыми пластинами из композита 05	800	400		600	4,0			2,1	
2	Фрезерование чистовое	То же	1200	600	0,04	900	0,5	1	—	1,4	140 (40)
Элементы старой технологии			Технико-экономическая эффективность внедрения								
Оборудование: 1-й переход — то же; 2-й переход — станок продольно-шлифовальный МС336.			Увеличилась производительность обработки на 600 %. Произведена концентрация операций. Годовой экономический эффект 68 700 р.								
Материал режущей части инструмента: ВК8 (1-й переход).											
1-й переход: $n = 32$; $v = 64$; $S_m = 250$; $t = 4,0$; $t_{\text{осн}} = 8,0$; $T = 120$ мин ($T = 15$ шт. загот.)											
2-й переход: $t_{\text{осн}} = 13$.											



Продолжение прил. 9

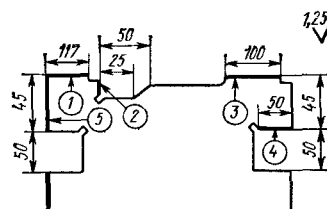
Фрезерование на продольно-шлифовальном станке

Изготавливаемая деталь	Основание суппорта станка								
Материал обрабатываемой заготовки	Чугун СЧ 28 (ГОСТ 1412—79)								
Оборудование, частота вращения шпинделя, мощность	Станок продольно-шлифовальный фирмы «Вальдрих Кобург» (ФРГ), $n = 600 \dots 2800$, $N = 30$								
Содержание перехода (операции)	Вид режущего инструмента	Режим резания						СОЖ	$t_{\text{осн. общ}}$
Фрезерование поверхностей 1—5	Фреза регулируемая $\varnothing 125$ мм ($z = 8$), оснащенная композитом 01 (для обработки поверхностей типа «ласточкина хвоста»)	n	v	S_z	S_m	t	i	—	351
Элементы старой технологии		Технико-экономическая эффективность внедрения							
Оборудование: то же. $t_{\text{осн}} = 702$.		Увеличилась производительность обработки в 2 раза. Шлифование заменено фрезерованием. Годовой экономический эффект 2000 р. на фрезу.							



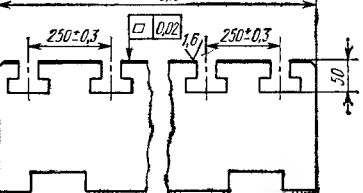
Фрезерование на продольно-шлифовальном станке

Изготавливаемая деталь	Поперечина																															
Материал обрабатываемой заготовки	Чугун СЧ 32 (ГОСТ 1412—79)																															
Оборудование, частота вращения шпинделя, мощность	Станок продольно-шлифовальный фирмы «Тосиба» (Япония), $n = 1000 \dots 3000$, $N = 4$																															
Содержание перехода (операции)	Вид режущего инструмента	<table border="1" style="width: 100%; border-collapse: collapse;"> <thead> <tr> <th colspan="6">Режим резания</th> <th rowspan="2">СОЖ</th> <th rowspan="2">$t_{\text{осн}}$</th> <th rowspan="2">T, шт. загот.</th> </tr> <tr> <th>n</th> <th>v</th> <th>S_z</th> <th>S_M</th> <th>t</th> <th>i</th> </tr> </thead> <tbody> <tr> <td>2400</td> <td>1200</td> <td>0,125</td> <td>3000</td> <td>0,25</td> <td>1</td> <td>—</td> <td>60</td> <td>8</td> </tr> </tbody> </table>							Режим резания						СОЖ	$t_{\text{осн}}$	T , шт. загот.	n	v	S_z	S_M	t	i	2400	1200	0,125	3000	0,25	1	—	60	8
Режим резания						СОЖ	$t_{\text{осн}}$	T , шт. загот.																								
n	v	S_z	S_M	t	i																											
2400	1200	0,125	3000	0,25	1	—	60	8																								
Фрезерование поверхностей 1—5	Фреза регулируемая $\varnothing 160$ мм ($z = 10$), оснащенная композитом О1																															
Элементы старой технологии		Технико-экономическая эффективность внедрения																														
Оборудование: то же. $t_{\text{осн}} = 240$; $T = 2$ шт. загот.		Увеличилась производительность обработки в 3 раза. Шлифование заменено фрезерованием. Годовой экономический эффект 2500 р. на фрезу.																														



Фрезерование на продольно-шлифовальном станке

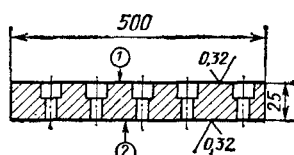
Фрезерование окончательное стола станка в сборе

Изготавливаемая деталь	Стол станка модели МС643Ф3																													
Материал обрабатываемой заготовки, твердость	Чугун СЧ 21 (ГОСТ 1412—79), HB 180—240																													
Оборудование, частота вращения шпинделя, мощность	Станок продольно-фрезерный МС643Ф3, $n = 200 \dots 1600$, $N = 30$																													
Содержание перехода (операции)	Вид режущего инструмента	Режим резания																												
Фрезерование зеркала	Фреза торцовая $\varnothing 250$ мм, оснащенная круглыми пластинами из композита 05	<table border="1"> <thead> <tr> <th>n</th><th>v</th><th>S_z</th><th>S_m</th><th>t</th><th>i</th><th>СОЖ</th><th>$t_{осн}$</th><th>T, мин (шт. заготов.)</th> </tr> </thead> <tbody> <tr> <td>1250</td><td>980</td><td>0,026</td><td>800</td><td>0,8—1,0</td><td>2</td><td>—</td><td>166</td><td>360 (2)</td> </tr> <tr> <td>1600</td><td>1256</td><td>0,01</td><td>400</td><td>0,1</td><td></td><td></td><td></td><td></td> </tr> </tbody> </table>	n	v	S_z	S_m	t	i	СОЖ	$t_{осн}$	T , мин (шт. заготов.)	1250	980	0,026	800	0,8—1,0	2	—	166	360 (2)	1600	1256	0,01	400	0,1					
n	v	S_z	S_m	t	i	СОЖ	$t_{осн}$	T , мин (шт. заготов.)																						
1250	980	0,026	800	0,8—1,0	2	—	166	360 (2)																						
1600	1256	0,01	400	0,1																										
Элементы старой технологии		Технико-экономическая эффективность внедрения																												
Оборудование: то же. Режущий инструмент: фреза ($z = 1$), оснащенная твердым сплавом. $v = 85$; $S_m = 250$; $t = 0,1$; $i = 6$; $t_{осн} = 1270$, $T = 100$ мин.		Увеличилась производительность обработки в 6 раз. Годовой экономический эффект 34 000 р.																												

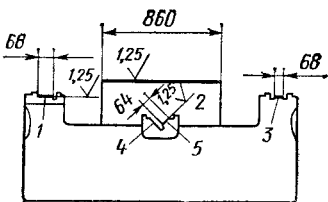
Продолжение прил. 9

Фрезерование закаленных стальных направляющих

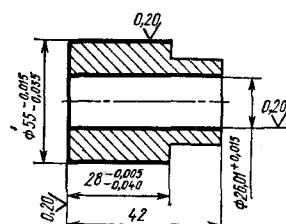
Изготавливаемая деталь		Направляющая									
Материал обрабатываемой заготовки, твердость, состояние поверхности перед обработкой		Сталь ШХ15 (ГОСТ 801—79), HRC 60—62, окалина									
Оборудование, частота вращения шпинделя, мощность		Станок продольно-шлифовальный фирмы «Хеккерт» (ГДР), $n = 1400$, $N = 5,5$									
№	Содержание перехода (операции)	Вид режущего инструмента	Режим резания						СОЖ	$t_{\text{осн}}$	T , шт. загот.
			n	v	S_z	S_m	t	i			
1	Фрезерование поверхности 1. Повернуть деталь на 180°	Фреза регулируемая $\varnothing 120$ мм ($z = 8$), оснащенная СТМ	1400	527	0,25	2800	0,3	1	—	1,5	200
2	Фрезерование поверхности 2	То же									
Элементы старой технологии			Технико-экономическая эффективность внедрения								
Оборудование: станок продольно-шлифовальный МС-3. $v_{kp} = 25$; $v = 15$; $S_{\text{пол}} = 10$; $t = 0,03$; $t_{\text{осн}} = 3,0$; $T = 100$ шт. загот.			Увеличилась производительность обработки в 2 раза. Шлифование заменено фрезерованием. Годовой экономический эффект 12 500 р.								



Фрезерование поверхностей станины высокоточного станка

Изготавливаемая деталь	Станина координатно-расчетного станка																									
Материал обрабатываемой заготовки	Чугун СЧ 28 (ГОСТ 1412—79)																									
Оборудование, частота вращения шпинделя, мощность	Станок продольно-шлифовальный модели SZ-2500 фирмы «Хеккерт» $n = 1000 \dots 3000, N = 100$																									
Содержание перехода (операции)	Вид режущего инструмента	<table border="1"> <thead> <tr> <th colspan="6">Режим резания</th> <th rowspan="2">СОЖ</th> <th rowspan="2">$t_{\text{осн. общ}}$</th> <th rowspan="2">$T, \text{ шт. загот.}$</th> </tr> <tr> <th>n</th> <th>v</th> <th>S_z</th> <th>S_m</th> <th>t</th> <th>i</th> </tr> </thead> <tbody> <tr> <td>3300— 2300</td> <td>800— 1200</td> <td>0,21— 0,4</td> <td>3000— 8000</td> <td>0,1— 0,3</td> <td>2—4</td> <td>—</td> <td>255</td> <td>10</td> </tr> </tbody> </table>	Режим резания						СОЖ	$t_{\text{осн. общ}}$	$T, \text{ шт. загот.}$	n	v	S_z	S_m	t	i	3300— 2300	800— 1200	0,21— 0,4	3000— 8000	0,1— 0,3	2—4	—	255	10
Режим резания						СОЖ	$t_{\text{осн. общ}}$	$T, \text{ шт. загот.}$																		
n	v	S_z	S_m	t	i																					
3300— 2300	800— 1200	0,21— 0,4	3000— 8000	0,1— 0,3	2—4	—	255	10																		
Фрезерование поверхностей 1—5	Фреза регулируемая $\varnothing 63$ или $\varnothing 160$ мм, оснащенная композитом О1																									
Элементы старой технологии		Технико-экономическая эффективность внедрения																								
Оборудование: то же. $t_{\text{осн. общ}} = 510$.		Увеличилась производительность обработки в 2 раза. Шлифование заменено фрезерованием. Годовой экономический эффект 39 760 р.																								

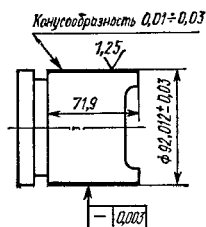
Прецisionная обработка алмазным резцом

Изготавливаемая деталь		Втулка шестеренного насоса НШ-32У-25										
Материал обрабатываемой заготовки, твердость		Сплав алюминиевый антифрикционный, НВ 80—115										
Оборудование		Станки алмазно-расточные 2705 и ОС-181, станок токарно-винторезный 16К20										
												
№	Содержание перехода (операции)	Вид режущего инструмента	Режим резания	n	v	S_b	S_m	t	i	СОЖ	t_{osci}	T, смен
1	Растачивание $\emptyset 26,01^{+0,015}$	Резец, оснащенный АСПК	3100	263	0,11	341	0,1—0,2	—	—	Н. св.	30	
2	Точение поверхности $\emptyset 55^{-0,015}_{-0,035}$	То же	1600	276	0,12	192	0,12	1	—	—	—	
3	Подрезка торца	»	380	620	0,10	38	0,1—0,2	—	—	—	—	
Элементы старой технологии			Технико-экономическая эффективность внедрения									
Оборудование: 1-й переход — станок алмазно-расточный горизонтальный 2А710; 2-й переход — станок алмазно-расточный горизонтальный 2А715; 3-й переход — станок токарный специальный КК-662. Материал режущей части инструмента: ВК8.			Увеличилась производительность обработки на 80 %. Повысилась стойкость инструмента в 50—100 раз. Высвобождено пять станков.									

Продолжение прил. 9

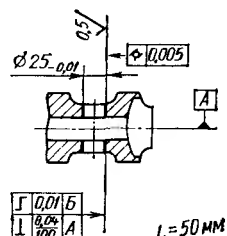
Точение поршня автомобильного двигателя

Изготавляемая деталь	Поршень							
Материал обрабатываемой заготовки, твердость	Сплав алюминиевый литьйный АЛ30, НВ 90—120							
Оборудование	Автоматическая линия фирмы «Лассаль» (Франция)							
Содержание перехода (операции)	Вид режущего инструмента	Режим резания				СОЖ	$t_{\text{осн}}$	T , шт. загот.
Обтачивание юбки поршня по копиру	Резец проходной, оснащенный вставкой с режущей частью из АСПК	700	200	0,11	77	0,4	1	Укри-иол-1 0,92 10 000
Элементы старой технологии		Технико-экономическая эффективность внедрения						
Оборудование: то же. Режим резания: тот же; $t_{\text{осн}}$ то же, T то же.		Произведена замена импортного инструмента.						



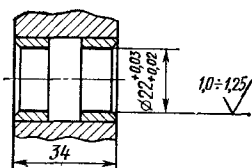
Растачивание отверстий под поршневой палец

Изготавливаемая деталь	Поршень									
Материал обрабатываемой заготовки, твердость	Сплав алюминиевый литьйный АЛ30, НВ 90—120									
Оборудование	Автоматическая линия фирмы «Лассаль» (Франция)									
Содержание перехода (операции)	Вид режущего инструмента	Режим резания						СОЖ	$t_{\text{осн}}$	
Растачивание двух отверстий под поршневой палец	Вставка резцовая, оснащенная карбонадо	n	v	S_0	S_M	t	i	Укринол-1	0,21	10 000
Элементы старой технологии		Технико-экономическая эффективность внедрения								
Оборудование: то же. Режим резания: тот же; $t_{\text{осн}}$ то же, T то же.		Произведена замена импортного инструмента.								



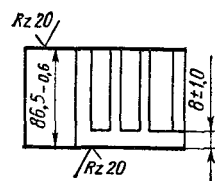
Алмазное растачивание бронзы

Изготавливаемая деталь	Толкатель							
Материал обрабатываемой заготовки, твердость	Бронза БрОЦС4-4-2,5, HB 60—70							
Оборудование	Станок алмазно-расточный горизонтальный 2А710							
Содержание перехода (операций)	Вид режущего инструмента	Режим резания						СОЖ
		<i>n</i>	<i>v</i>	<i>S₀</i>	<i>S_M</i>	<i>t</i>	<i>i</i>	<i>t_{осн}</i>
Растачивание втулки	Вставка резцовальная, оснащенная АСПК	3200	210	0,06	192	0,2	1	—
Элементы старой технологии		Технико-экономическая эффективность внедрения						
Оборудование: то же. Материал режущей части инструмента: ВК3. Режим резания: тот же; <i>t_{осн}</i> то же; <i>T</i> = 350 шт. заготовок.		Повысилась стойкость инструмента в 50—70 раз.						



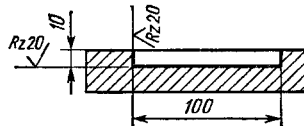
Алмазное фрезерование алюминиевого сплава

Изготавливаемая деталь	Крышка гидрораспределителя							
Материал обрабатываемой заготовки, твердость	Сплав алюминиевый АК5М2, НВ 70—90							
Оборудование	Станок барабанно-фрезерный ГФ-1080							
Содержание перехода (операций)	Вид режущего инструмента	Режим резания						СОЖ
Фрезерование привалочных плоскостей		n	v	S_z	S_M	t	i	$t_{\text{осн}}$
	Фреза ступенчатая $\varnothing 145$ мм, оснащенная АСПК	1250	570	0,21	800	3,2	2	—
Элементы старой технологии	Технико-экономическая эффективность внедрения							
Оборудование: то же. Материал режущей части инструмента: ВК6.	Повысилась стойкость инструмента в 50—100 раз.							



Алмазное фрезерование стеклопластика

Изготавляемая деталь	Корпус																															
Материал обрабатываемой заготовки	Стеклопластик																															
Оборудование, частота вращения шпинделя, мощность	Станок вертикально-фрезерный 6Н12П, $n = 25 \dots 1600$, $N = 7$																															
Содержание перехода (операций)	Вид режущего инструмента	<table border="1" style="width: 100%; border-collapse: collapse;"> <thead> <tr> <th colspan="6">Режим резания</th> <th rowspan="2">СОЖ</th> <th rowspan="2">$t_{\text{осн}}$</th> <th rowspan="2">T, мин</th> </tr> <tr> <th>n</th> <th>v</th> <th>S_e</th> <th>S_m</th> <th>t</th> <th>i</th> </tr> </thead> <tbody> <tr> <td>1200</td> <td>150</td> <td>0,3</td> <td>360</td> <td>10</td> <td>1</td> <td>—</td> <td>0,30</td> <td>1080</td> </tr> </tbody> </table>							Режим резания						СОЖ	$t_{\text{осн}}$	T , мин	n	v	S_e	S_m	t	i	1200	150	0,3	360	10	1	—	0,30	1080
Режим резания						СОЖ	$t_{\text{осн}}$	T , мин																								
n	v	S_e	S_m	t	i																											
1200	150	0,3	360	10	1	—	0,30	1080																								
Фрезерование паза	Фреза концевая $\varnothing 40$ мм ($z = 4$), оснащенная АСБ																															
Элементы старой технологии	Технико-экономическая эффективность внедрения																															
Оборудование: то же. Материал режущей части инструмента: ВК6. $v = 100$; $S_e = 0,1$; $S_m = 80$; t то же; $t_{\text{осн}} = 1,37$; $T = 45$ мин.	Увеличилась производительность обработки в 3 раза. Годовой экономический эффект 1000 р. на одну фрезу.																															



СПИСОК ЛИТЕРАТУРЫ

1. Использование продольно-шлифовальных станков для обработки чугунных корпусных деталей фрезами со вставками из сверхтвердых материалов. Методические рекомендации. М.: НИИМАШ, 1983. 11 с.
2. Металлорежущие станки для эффективной эксплуатации инструмента из синтетических СМ и керамики. Методические рекомендации. М.: ВНИИТЭМР, 1986. 85 с.
3. Металлорежущий инструмент. Каталог. Ч. II: НИИМАШ, ч. II, 1983 — 142 с.
4. Номенклатура режущего инструмента из минералокерамики и сверхтвердых материалов на основе нитрида бора, выпускаемого заводами Минстанкпрома. М.: НИИМАШ, 1984. 44 с.
5. Обработка деталей станков с применением минералокерамики новых марок. Методические рекомендации МР-04-26—80. НПО Оргстанкнпром. М.: 1980. 55 с.
6. Общемашиностроительные нормативы режимов резания, норм износа и расхода при точении алмазиниевых сплавов резцами из синтетических сверхтвердых материалов. М.: НИИМАШ, 1982. 25 с.
7. Общемашиностроительные нормативы режимов резания, норм износа и расхода резцов, сверл и фрез при обработке неметаллических конструкционных материалов (пластмасс). М.: НИИМАШ, 1982. 144 с.
8. Общемашиностроительные нормативы режимов резания резцами с механическим креплением минералокерамических пластин. Обработка на станках с ручным управлением и ЧПУ. М.: НИИМАШ, 1983. 45 с.

ПРЕДМЕТНЫЙ УКАЗАТЕЛЬ

А

- Алмазные круги для шлифования и заточки керамики — Балансировка 146 — Виды связок 145, 146 — Правка 146 — Свойства 145 — Технические характеристики 145
— сверхтвердых материалов 162, 164
Алмазные пасты — Применение 146
— Состав 146
Алмазы поликристаллические — Классификация 13, 14
— Коэффициент трения 14
— Основные характеристики 48
— Свойства 5, 14
Амборит 5

Б

- Белбор 5
Боразон 10
Борштанга с механическим креплением трехгранных пластин из керамики для токарных станков с ЧПУ — Конструкция 66

Вюрцин 9

Предметный указатель

Г

ГОСТ 7730—74	56	ГОСТ 19084—80	60
9206—80Е	146	19085—80	60
13135—80Е	176	25003—81	55, 56
16167—80	144	26476—85	252, 254
16171—81Е	145	26611—85	60, 61
16172—80Е	145	26612—85	60, 61
18242—72	56	26615—85	63
19042—80	250	26630—85	55

Д

Державки расточные — Обозначение согласно ISO 253

З

Заготовки двухслойные для напайного инструмента — Конструкция, размеры 53
Зенковки с механическим креплением пластины из композита 05 для обработки отверстий в высокоабразивных углепластиках — Конструкция 45
— Преимущества перед твердосплавными зенковками 45

И

Инструменты режущие — Технологические особенности применения инструментов, оснащенных СТМ и керамикой 130—134

Инструменты режущие, оснащенные керамикой — Наибольшая эффективность применения 134 — Номенклатура 235—249 — Оптимальные условия эксплуатации 166 — Применение 5, 6, 139, 144

— зарубежного производства — Особенности конструкций 66—68

Инструменты режущие, оснащенные композитом — Применение 5, 6

— с двухслойными режущими элементами с рабочим слоем на подложке из твердого сплава — Направление конструирования 46, 49

— с неразъемным креплением — Методы крепления 30 — Рекомендуемое применение 30 — Примеры конструкций 31, 32

— с разъемным креплением — Преимущества 32 — Примеры конструкций 31, 36, 37, 39, 40, 43—45

Инструменты режущие, оснащенные поликристаллическим алмазом — Применение 5, 6

Инструменты режущие, оснащенные сверхтвердыми материалами — Главное направление развития конструкций 30 — Наибольшая эффективность применения 134 — Номенклатура 222—234 — Области применения 27, 29 — Оптимальные условия эксплуатации 166 — Применение 130, 132, 133, 135—138, 140, 141—143 — Рекомендуемые условия заточки 163

— алмазные — Применение 73

Информационная карта комплексной обработки шпинделя резцами из разных материалов 272

— обработки резьбового кольца сверлильного патрона 269, 270

— подрезки торца маховика большегрузного автомобиля 282

— прецизионной обработки алмазным резцом 308

Информационная карта растачивания автоматной стали 297

— алмазного бронзы 311

— барабана тормоза 280

— в специальном углепластике 294

— высокоскоростного отделочного отверстия малого диаметра 286, 287

— гильз из специального чугуна 283

— закаленной гильзы цилиндра 281

— легированной стали 295

— отверстий в специальной керамике 293

— отверстий высокой точности 287, 288

Предметный указатель

- отверстий под поршневой палец 310
- отверстий с высокими требованиями к шероховатости поверхности 291
- полусосы внутренней взамен планетарного шлифования 285
- посадочного отверстия фрез 292
- посадочного отверстия шестерни 296
- стали с высоким содержанием хрома 289
- точных отверстий 290
- Информационная карта точения втулки из специального порошкового сплава 268**
 - гильз из конструкционной стали 271
 - гильз цилиндров двигателя 263, 264
 - коллекторной втулки 278
 - конической поверхности закаленной детали 278
 - наружной поверхности гильзы 273
 - поршия автомобильного двигателя 309
 - прокатных валков 261, 262
 - пулансона штампа 267
 - рабочей поверхности поршия 276
 - шеек вала взамен шлифования 279
 - шпинделя станка 16К20 274
- Информационная карта точения и подрезки торцов гильз цилиндров двигателя 265, 266**
- Информационная карта точения с ударом цилиндрической поверхности 277**
- Информационная карта фрезерования алмазного стеклопластика 313**
 - закаленных стальных направляющих 306
 - на продольно-шлифовальном станке 302—304
 - окончательное стола станка в сборе 305
 - поверхностей станины высокоточного станка 307
 - привалочной плоскости коробки скоростей тяжелого трактора 299
 - привалочной плоскости корпусной детали 298
 - чугуна по корке 301
 - чугунного литья по корке 300

К

- Карбонит 14**
- Карта информационная — см. Информационная карта**
- Керамика — Классификация 15**
 - Основные преимущества применения 15
 - Повышение прочности 23
 - Рекомендации по выбору 28
- Киборит 10**
- Кирпичева — Кика закон механического подобия 11**
- Композиты — Понятие 5**
 - Свойства 5, 12
- Коэффициент трещиностойкости — Понятие 13**
- Круги алмазные — см. Алмазные круги**

M

- Материалы керамические — см. Керамика**
- сверхтвердые — см. Сверхтвердые материалы (СТМ)

Н

- Напряжение при диаметральном сжатии диска — Формула для расчета 13**
- Ниборит 10**
- Нитрид бора — Диаграмма состояния 8**

П

- Пасты алмазные — см. Алмазные пасты**
- Пластины режущие — Изготовление с помощью медного электрода 94**

Предметный указатель

- Обозначение 250, 251
- Пластины режущие из керамики** — Алмазные инструменты, используемые при шлифовании 144, 145 — Геометрические параметры 55 — Доводка рабочих поверхностей алмазными пастами на притирах 146, 147 — Допустимые зоны выкрашивания 55 — Допустимые параметры шероховатости поверхности 55 — Допустимые предельные отклонения основных параметров 54 — Классы точности 55 — Критические дефекты 56 — Маркировка 56 — Определение режущих свойств 26 — Повышение качества и стабильности свойств 26 — Причины повторной заточки 144 — Расположение и допустимые размеры зон выкрашивания 55, 56 — Способы плоского шлифования 145 — Станки, рекомендуемые при шлифовании 145
 - на основе нитрида кремния — Изготовление 22, 26 — Физико-механические свойства 20, 21
 - оксидной — Изготовление 15, 22—25 — Физико-механические свойства 16—18
 - оксидно-карбидной — Изготовление 15 — Улучшение свойств 23
- Пластины режущие из композита** — Допуски и предельные отклонения размеров 35
 - алмазные многогранные для резцов — Конструкции и размеры 52
 - двуслойные — Преимущества 46
 - для резцов — Конструкции 33
 - для торцовых регулируемых фрез — Конструкции 34
 - сменные многогранные, оснащенные СВБН — Конструкции 50, 51 — Обозначение 50, 51 — Размеры 50, 51
 - цельные — Преимущества 45, 46
- Пластмасса** — Классификация по обрабатываемости фрезерованием 109
- Состав 100
- Предел прочности стали при растяжении** 255—257
- Приближенные соотношения** чисел твердости по Бринеллю, Роквеллу, Шору, Виккерсу 255—257

P

- Расточные головки с пластинами из керамики** 63, 65
- Расточные оправки с пластинами из керамики для станков с ЧПУ** — Конструкция 65
- Резцовые вставки** диаметром 10 мм, оснащенные композитом 01, 02 или 10 — Последовательность заточки на универсально-заточных станках с помощью трехповоротных тисков 148—154
 - оснащенные поликристаллами АСПК — Конструкции и размеры 47, 48 — Недостатки 46
 - расточные круглого сечения с пластиной из композита 01 38
 - расточные регулируемые с механическим креплением пластин из композита 36, 37
 - с неразъемно закрепленным поликристаллом композита 01, 02 или 10 31
- Резцы алмазные** — Примеры применения на заводах автомобильной промышленности 141—143
- Резцы-вставки** — Обозначение 254
- Резцы** для координатно-расточных станков, оснащенные композитом 01, 02 или 10 — Последовательность повторной заточки на универсально-заточных станках с помощью трехповоротных тисков 156—161
 - комбинированные с пластинами из керамики для расточной борштанги — Конструкция 65
 - расточные для координатно-расточных станков, оснащенные композитом 01 или 10 31
 - расточные, оснащенные композитом 01 или 10 — Конструкции 31
 - с креплением ромбических пластин из керамики с отверстием — образным рычагом — Конструкция 62

Предметный указатель

- с механическим креплением многогранных пластин из керамики — Конструкция 61 — Технологические возможности 116, 117
- специальные с механическим креплением пластин из керамики с подводом СОЖ — Конструкция 66
- специальные токарные с пластинами из керамики — Конструкция 64
- с регулируемым стружколовом фирмы «Фельдмюлле» — Конструкция узла крепления 67
- токарные двусторонние с пластинами из керамики для наружного точения и растачивания — Конструкция 64
- токарные для наружного точения — Обозначение 252
- токарные комбинированные с двумя режущими пластинами из керамики для съема больших припусков за один рабочий ход — Конструкция 64
- токарные расточные с механическим креплением квадратной пластины из керамики — Конструкция 62
- токарные сборные с механическим креплением пластин из композита — Конструкция 36
- токарные сборные с перетачиваемыми вставками, оснащенными композитом 01, 02 или 10 31
- токарные ступенчатые для обработки прокатных валков 37

С

- Сверхтвердые материалы** — Измерение твердости 11 — Классификация 9, 10 — Определения коэффициента трещиностойкости 13 — Определение термостойкости 10 — Получение 7, 9 — Понятие 7
- на основе нитрида бора — см. Композиты
- на основе углерода — см. Алмазы поликристаллические
- Силинит-Р** — Определение коэффициента трещиностойкости 25, 26
- Особенности 25
- Славы алюминиевые** — Классификация 109
- Применение 109
- Станки для эффективной эксплуатации режущих инструментов, оснащенных СТМ и керамикой** — Корреляционная зависимость между жесткостью станка и стойкостью инструмента 167 — Способы увеличения стойкости инструмента и точности обработки 168 — Улучшение параметров работоспособности 172
- алмазно-расточные — Требования 177, 178
- продольно-шлифовальные — Суммарная жесткость некоторых станков 174 — Технические характеристики двухстоечных станков, рекомендуемых для работы торцовыми фрезами из СТМ 178 — Технические характеристики одностоечных станков, рекомендуемых для работы торцовыми фрезами из СТМ 177 — Точность обработки на некоторых станках 173
- сверлильно-расточной и фрезерной групп — Основные характеристики 184—211
- токарной группы — Основные характеристики 179—184
- токарные — Основные характеристики 179—184, 186 — Требуемый уровень жесткости шпиндельных узлов 169 — Условные характеристики для оценки работоспособности 168, 169
- фрезерные — Суммарная жесткость некоторых станков 174 — Технические характеристики 170, 171, 174—176 — Точность обработки на некоторых станках 173 — Требования к шпиндельным узлам 172

Т

- Технический глинозем** — Получение 23
- Точение инструментом, оснащенным керамикой** — Выбор заготовок 133
- Коэффициент стойкости в зависимости от вероятности безотказной работы резцов 124
- Коэффициент стойкости в зависимости от скорости резания и коэффициент расхода пластин в зависимости от стойкости 123

Предметный указатель

- Критерий износа пластин 123
- Ориентировочная масса пластин 128, 129
- Особенности обработки резцами, оснащенными В-3 81
- Особенности обработки резцами, оснащенными ВОК-60 77—80, 83—86
- Особенности обработки резцами, оснащенными ОНТ-20 и силинитом-Р 86, 87
- Особенности обработки резцами, оснащенными ЦМ-332 и ВШ-75 75—77
- Отношение основного времени к штучному времени обработки 127
- Оценка работоспособности керамических пластин различной формы 118
- Подачи при точении резцами с пластинами из ВОК-60 и В-3 118
- Последовательность выбора режимов резания и определения расхода керамики 115
- Расход пластин в зависимости от трудоемкости обработки 126, 127
- Расход сборных элементов резца на один корпус 126
- Рекомендуемые диапазоны режимов резания 114
- Скорость и мощность резания при точении серого чугуна с НВ 169—222 резцами с пластинами из ВОК-60 и В-3
- Скорость и мощность резания при точении стали с НВ 179—260 резцами с пластинами из ВОК-60 и В-3
- Скорость резания при точении закаленных сталей резцами с пластинами из ВОК-60 121
- Стойкость резцов с пластинами из ВОК-60 и В-3 при различных скоростях резания в зависимости от вероятности безотказной работы 124
- Требования к деталям станка 133
- Ширина и угол наклона фаски на режущей пластине 118
- Точение инструментом, оснащенным композитом** — Рекомендуемые режимы резания 91, 93
- Точение инструментом, оснащенным поликристаллическим алмазом** — Рекомендуемые режимы резания 92
- алюминиевых сплавов — Геометрические параметры резцов 110 — Значения подач в зависимости от требуемой шероховатости обработанной поверхности 110 — Значения скоростей резания 110 — Формула для расчета тангенциальной составляющей силы резания 110 — Формула для расчета эффективной мощности резания 110 — пластмасс — Группы обрабатываемости пластмасс 100 — Значения подач 102 — Значения скоростей резания 103 — Особенности 99, 100 — Рекомендуемые геометрические параметры резцов 100 — Формула для расчета скорости резания 101
- Точение инструментом, оснащенным СТМ** — Геометрические параметры режущей части инструмента 70, 71
- Критерий затупления инструмента 70
- Параметры, влияющие на шероховатость обработанной поверхности 71
- Способы повышения стойкости инструмента 70, 71
- Факторы, влияющие на износ и стойкость инструмента 69, 72
- Эмпирические зависимости для определения режимов резания 73, 74

У

Углерод — Диаграмма состояния 8

Ф

Фрезерование — Частота вращения заготовки или торцовой фрезы в зависимости от ее диаметра и скорости резания 258—260

Фрезерование инструментом, оснащенным керамикой — Особенности обработки фрезами, оснащенными В-3, ВОК-60, ВОК-63, 87, 88, 90

- Особенности обработки фрезами, оснащенными ОНТ-20 89
- Особенности обработки фрезами, оснащенными силинитом-Р 89
- Рекомендуемые диапазоны режимов резания 114

Предметный указатель

- Фрезерование инструментом, оснащенным композитом** — Рекомендуемые диапазоны режимов резания 92, 93
— сталь и чугунов — Геометрические параметры режущей части фрез 94 — Значения подач в зависимости от параметров шероховатости обработанной поверхности, конструкции и геометрических параметров фрезы, обрабатываемых материалов 95, 96 — Значения скоростей резания в зависимости от подачи, глубины резания, твердости обрабатываемого материала и материала режущей части 96—99 — Критерий затупления фрез 94
Фрезерование инструментом, оснащенным СТМ — Выбор инструмента в зависимости от вида обработки 72
— Выбор критерия затупления 73
— Выбор оптимальных параметров резания 72
— Геометрические параметры режущей части инструмента 73
— Эмпирические зависимости для определения режимов резания 75
Фрезерование пластмасс инструментом, оснащенным поликристаллическим алмазом — Значения подач при обработке фрезами с ножами 104
— Значения скоростей резания фрезами с ножами 105—107
— Классификация обрабатываемости пластмасс в зависимости от структуры наполнителя 101
— Формула для расчета эффективной мощности резания 108
Фрезы торцовые насадные нерегулируемые с механическим креплением неперетачиваемых прецизионных пластин из композитов 01, 05 или 10Д — Конструкция 43
— регулируемые кассетной конструкцией с механическим креплением неперетачиваемых прецизионных пластин из композитов 01, 05 или 10Д — Конструкция 38, 40, 41 — Размеры 42
— регулируемые со вставным ножами, оснащенными композитом 01 или 10 — Конструкция 38, 39 — Применение 42, 44
— с квадратными пластинами из керамики 63
— ступенчатые нерегулируемые с механическим креплением круглых неперетачиваемых пластин из композита 05 44
Фрезы торцовые сборные с регулируемыми вставками с пластинами из керамики фирмы «Фельдмюлле» 67

Э

- Эльбор** 9
Эффективность технико-экономическая от внедрения инструментов, оснащенных СТМ и керамикой — Алгоритм расчета экономической эффективности вследствие снижения себестоимости изготовления изделия с применением инструмента, оснащенного СТМ и керамикой 218—221
— Карта условий обработки 216
— Определение затрат на инструмент и оборудование 219
— Определяющие факторы 212
— Показатели расчета эффективности от внедрения нового технологического процесса 213—215
— Сводная таблица экономической эффективности от внедрения инструмента из керамики и композита 220
— Формула для расчета экономической эффективности 218